

Л. М. БЕПЕНЬКИЙ

---

# РАСЧЕТ СУДОВЫХ КОНСТРУКЦИЙ В ПЛАСТИЧЕСКОЙ СТАДИИ



Ленинград  
"Судостроение"

1963



Рецензент докт. техн. наук С. М. Бабий

Научный редактор докт. техн. наук Г. В. Бойков

**Велицкий Л. М.**Б43 Расчет судовых конструкций в пластической стадии. - Л.: Судостроение, 1968. - 443 с., ил.  
КСИИ

В книге впервые комплексно рассмотрены основные подходы прикладной теории пластичности и методы расчета судовых конструкций в пластической стадии. Основное внимание уделено решению прикладной теории пластичности. Рекомендованы способы определения предельной местной прочности корпусных конструкций при их деформации и размоте. Книга содержит обширный справочный материал.

Для инженеров-технических работников проектных организаций, судостроительных и судоремонтных заводов и студентов старших курсов кораблестроительных институтов.

В 280300000-049 КБ-15-9-83

39.427

547999

548242

© Издательство "Судостроение", 1968 г.

$D$  - диаметр рассекания;  
цилиндрическая жесткость пластам.

$E$  - модуль упругости при растяжении.

$E_{\sigma}$  - модуль упрочнения.

$E_{\sigma}$  - касательный модуль.

$f = E_{\sigma}/E$  - безразмерный модуль упрочнения.

$F$  - площадь; площадь поперечности сечения балки.

$F_{\sigma}/F$  - площадь сечения свободной части профиля и откили профиля соответственно.

$F'_0$  - площадь сечения прасованного полой профиля.

$F_0, F_1$  - расстояния в светле части площади сечения соответственно.

$F'_0 = F'_0 B$  - безразмерная площадь сечения свободной полой профиля.

$\bar{F}_0 = F'_0 B$  - безразмерная площадь сечения откили профиля.

$F'_0 = F'_0 B$  - безразмерная площадь сечения прасованного полой профиля.

$f$  - максимальный прогиб.

$\bar{f} = f/h$  - безразмерный максимальный прогиб.

$f_{\text{от}}$  - остаточный максимальный прогиб.

$G$  - модуль упругости при сдвиге; модуль сдвига.

$H$  - крутящий момент в пластине.

$h$  - высота балки; толщина пластины.



$J$  - момент инерции площади поперечного сечения балки, вычисленный относительно нейтральной оси сечения.

$K_R$  - условный коэффициент расширения.

$L$  - длина трубы; длина перекрытия.

$l$  - длина пролета балки; ширина перекрытия.

$M(x)$  - изгибающий момент в поперечном сечении балки от поперечной нагрузки.

$M_0$  - предельный момент сечения (при изгибе).

$M_{0M}$  - предельный момент сечения при кручении.

$M_K$  - крутящий момент в сечении стержня.

$M_{ост}$  - остаточный изгибающий момент.

$M_T$  - момент фибровой текучести.

$M_{max}$  - максимальный изгибающий момент.

$M_N$  - продольный момент сечения при  $N \neq 0$ .

$M_0$  - продольный момент сечения при  $\Delta + \bar{\Delta}$ .

$M_x, M_y$  - изгибающие моменты в плоскости.

$M_z$  - суммарный изгибающий момент в поперечном сечении балки от поперечной нагрузки и продольных сил.

$m = \frac{M(x)}{M_0}$  - безразмерный изгибающий момент в поперечном сечении балки от поперечной нагрузки; безразмерный изгибающий момент в сечении пластины.

$m_0 = M_0/M_0$  - безразмерный продольный момент сечения при  $N \neq 0$ .

$m_T = M_T/M_0$  - безразмерный момент фибровой текучести.

$m_m = M_{max}/M_0$  - безразмерный максимальный изгибающий момент.

$m_z = M_z/M_0$  - безразмерный суммарный изгибающий момент в поперечном сечении балки от поперечной нагрузки и продольных сил.

$N$  - продольная сила в поперечном сечении балки, пластины.

$N_0$  - предельная продольная сила сечения.

$N_{ост}$  - критическая сила.

$N_{ост}$  - остаточная продольная сила.

$N_0$  - предельная продольная сила сечения при  $M_N \neq 0$ .

$N_x, N_y$  - продольные усилия в пластине.

$n = N/N_0$  - безразмерная продольная сила сечения.

$\bar{P}$  - сосредоточенная сила; параметр, пропорциональный историчекому значению поперечной нагрузки.

$P_0$  - предельная нагрузка.

$\bar{\rho}$  - пороговая продольная сила в поперечном сечении балки, пластины.

$\bar{\rho}_0$  - предельная пороговая продольная сила сечения.

$\bar{\rho}_T$  - предельная пороговая продольная сила сечения при  $M_N \neq 0$ .

$\bar{\rho}_z, \bar{\rho}_y$  - обобщенные напряжения, обобщенные деформации.

$\bar{\rho}_x, \bar{\rho}_y$  - обобщенные силы, обобщенные перемещения.

$\bar{\rho}$  - интенсивность поперечной распределенной нагрузки.

$\bar{\rho}_0$  - интенсивность продольной нагрузки.

$R$  - реакция; реакция в узловой точке перекрытия.

$S$  - статический момент площади; суммирующее усилие в пластине; расстояние между средами балками перекрытия.

$T$  - работа внешних сил.

$u, v, w$  - компоненты перемещений.

$\bar{u}, \bar{v}, \bar{w}$  - компоненты скоростей.

$[u]$  - величина разрыва осевых перемещений в сечении, перпендикулярном в срединной плоскости пластины.

$\omega$  - угол.

$\gamma$  - тангенциальный сдвиг.

$\varepsilon$  - тангенциальное удлинение (деформация).

$\varepsilon_z$  - интенсивность деформации.

$\epsilon_x, \epsilon_y, \epsilon_z, \epsilon_{xy}, \epsilon_{yz}, \epsilon_{zx}$  - компоненты деформаций.

$\dot{\epsilon}_x, \dot{\epsilon}_y, \dot{\epsilon}_z, \dot{\epsilon}_{xy}, \dot{\epsilon}_{yz}, \dot{\epsilon}_{zx}$  - компоненты скоростей деформаций.

$E_1, E_2, E_3$  - главные упругие (деформации).

$\epsilon^e$  - пластическая составляющая удлинения (деформации).

$\epsilon^e$  - упругая составляющая удлинения (деформации).

$\theta$  - угол наклона оси балки в пластическом состоянии.

$K$  - кривизна оси балки.

$K_x, K_y, K_{xy}$  - кривизны в "кручении" средней плоскости пластины.

$\mu$  - коэффициент Пуассона; безразмерная длина нагружаемого участка перекрытия.

$\sigma$  - нормальные напряжения.

$\sigma_{oxy}$  - касательные напряжения.

$\sigma_T$  - предел текучести материала (при растяжении).

$\sigma_L$  - выносливость напряжений.

$\sigma_x, \sigma_y, \sigma_z, \tau_{xy}, \tau_{yz}, \tau_{zx}$  - компоненты напряжений.

$\sigma_1, \sigma_2, \sigma_3$  - главные напряжения.

$\tau$  - касательные напряжения.

$\tau_T$  - предел текучести материала при сдвиге.

$\Psi_k, \Phi_k, \chi_k$  - пластические функции.

Необходимость учета пластических деформаций при расчете судовых конструкций растет с каждым годом. Она связана, с одной стороны, с общим прогрессом в судостроении: совершенствованием конструкций и снижением их массы, ростом размеров судна и увеличением их скорости плавания, применением технологических процессов постройки корпусов судов с другой стороны, - с осуществленной интенсификацией использования стали, привнесшей в эксплуатацию, в частности и в высокопрочную углеродистую сталь. Круг практических вопросов, непосредственно связанных с рассмотрением пластических деформаций, возникающих в конструкциях, весьма широк. В основном он состоит:

проблем проектирования конструкций, обеспечивающих местную прочность корпуса (оценки запаса прочности конструкций, их статические, динамические расчеты; нагрузки, нормирование прочности в т.д.);

проблем эксплуатации и ремонта конструкций корпусов, полученных поврежденными в виде остаточных деформаций (оценки возможности ремонта поврежденных конструкций, оценки его прочности, возможности проведения эксплуатационных судов с поврежденными и восстановленными при этом ограничениями, выбора методов устранения повреждений и т.п.);

проблем проектирования технологических процессов, связанных с пластическим деформированием материалов конструкций (коллекция гибки и правки корпусных конструкций, штамповка, сварка и др.).

Представительным примером являются несколько примеров. Во втором разделе местная прочность судовых конструкций регламентируется назначением корпусных напряжений и расчетных нагрузок,

При определении которых предполагалось, как известно, что конструкция работает велаги дупуре. В то же время действующие нормы для деформации судных конструкций допускают их эксплуатацию при значительных остаточных деформациях, которые достаточно часто встречаются на судах. Чтобы, например, в пластине обшивки появились остаточные прогибы, соответствующие отсутствию с полной деформации, на все длины недеформованной нагрузки, в некоторых случаях на корабле превращаются в расчетные. Но в это же время разрушения пластины. Если прочность сварного шва пластины обеспечена, для ее разрушения потребуются нагрузки, еще в два-три раза больше.

Таким образом, наличие существенного противоречия между реальной практикой эксплуатации конструкций кораблей и методикай нормирования ее местной прочностью по допусковым напряжениям.

Устойчивость пластиней хорошо известна. Там же можно в сочетании с соответствующими расчетными напряжениями и методикай расчете все методики нормирования для судовых шпангоу и средних размерной обшивки типов в традиционных конструкциях дает приемлемые результаты.

Однако на реальных участках обшивки использование этих методов может повлечь за собой перекривления. Например, на группах судов с горизонтальным способом шпангоута (типа ро-ро), где для грузовых операций используется такelage автоматизация, требование обеспечить работу местной шпангоу в упругой стадии приводит к неадекватно большим толщинам. Расчет же, учитывающий возможность появления пластических деформаций, максимизация остаточных прогибов является залогом в процессе эксплуатации судна, использующий нормы для деформации, дает реальные результаты, которые хорошо согласуются с практикой сварного судостроения [24, 26].

Согласно уже нет сомнения в том, что в шпангоуте обшивки местной прочностью судных конструкций не может обойтись без рассмотрении пластических деформаций. Это можно получить все более широкие прикладные средки совместности (см., например, [27, 65, 91] и др.). Переход к новой методике нормирования местной прочностью, учитывающей возможность появления в конструкциях пластических деформаций, связан не только с разработкой новых программ, характеризующих реальное состояние конструкций, но и с использованием методов расчета, позволяющих оценить основные особенности ее поведения в реальном состоянии, в том числе в том же расчетных элементах нагрузок. Для последних вряду с тради-

ционными методами определения в регламентации здесь можно воспользоваться в обратном направлении, основывающемся на использовании информации о конкретных конструкциях с образованными остаточными прогибами. В большинстве случаев эти прогибы - результат действия на конструкции местных поперечных нагрузок.

Если расчет позволяет установить связь между величинами этих нагрузок и остаточными прогибами, возникающими в конструкции от их действия, то, обратив направление на судах, можно оценить влияние указанных нагрузок, возникающих перекривления. Этот подход оказывается эффективным в большом числе случаев и даже в тех случаях, когда наблюдаемые остаточные прогибы конструкции - результат их взаимодействия с многократного действия шпангоу сил [18, 21].

Если бы изварным думать, что переход к новым программам, характеризующим реальное состояние конструкций, и соответствующее изменение расчетных величин нагрузок мало скажется на общей конструкции. Пластические деформации, возникающие в конструкции, влекут за собой существенное перераспределение в ней внутренних усилий. Вследствие этого конструкция, спроектированная по допусковым напряжениям, оказывается существенно перекривленной по отношению, например, к продольным нагрузкам [5, 27, 65 и др.]. Так, сравним две одноосевые балки, нагруженные равномерно распределенной нагрузкой шарнирно-соединен в жестко защемленную на одном конце. Если на допусковом напряжении они распределены, то предельная нагрузка в жестко защемленной балке окажется на 38,3% больше. Если же с увеличением шарнирно-соединенной балки увеличить балку, равносильную ей по допусковому напряжению, на жестко защемленную балку окажется на 45% больше.

В этих простейших примерах проявляется обман законности: в пластической стадии эффект от повышения степени статической неопределенности конструкции превращается существенно сильнее, чем в упругой стадии. Пластические деформации также значительно снижают влияние жесткости опор и связей, характеризующих стержней и др. Прогресс в пластической стадии становится особенно большим, потому возрастает роль связей стержней и соответствующих конструкций, обеспечивающих расчет. Местные ослабления конструкций могут гораздо существенно снизить на предельную нагрузку, чем в случае стержня прочностью по допусковому напряжению, и соответственно неадекватно высокие требования к местной подкрепке.

Все это свидетельствует о том, что учет пластических деформаций имеет существенное значение на результатах выбора оптимальной конструкции и конструктивных параметров ее элементов.

Нарезание судовых конструкций, особенно с выделением в них остаточных деформаций, — один из самых массовых видов эксплуатационных дефектов. Практически всегда имеет место, у которого только поврежденной не было бы. И наиболее распространенными причинами повреждений, например, бортовых конструкций придают им значение при авариях, особенно часто у промышленных судов [14]. Эксплуатационная среда определяет прочность, полученная у нас в стране возможность распространения, особенно изморозии в море для передачи груза и работоспособности, полученная только в условиях обычной операции. Изморозии часто возникает в неблагоприятных гидрометеорологических условиях, например при волнении 5 баллов. В результате при каждом высадочном рейсе бортовые конструкции практически всех промышленных судов требуют ремонта.

Типичны повреждения днищевых конструкций в процессе эксплуатации от осадки — осадки гидроабразивных элементов (удар песком в носу), возникающих при ходе судна со значительной скоростью и с малой осадкой носом против фронта волны. Особенно подвержены элементу судостроения суда, особенно в рефрижераторы длиной 80-150 м. Воздействие гидроабразивной осадки в районе (0,05-0,30) от носового переборщика, передка остаточные признаки повреждения носовых, створа из от фюзеляжа на сварном шве, часто "подсаживаются" фюзеляжа в районе носового обтекателя, теряют устойчивость от осадки створа фюзеляжа, иногда имеют место остаточные признаки повреждения в целом (см., например, [108]).

Значительным повреждением бортовых и днищевых конструкций, особенно с носовым изморозием, на судах, работающих в Северном и Тихоокеанском бассейнах. Нередки местные повреждения при швартовке в зимнее время в Балтийском море. Весные осадки повреждают на подвесных судах, применяемых в Северо-Западной Атлантике, особенно в районе полуострова Лабрадор. Толщина поврежденных корпусов связана с авариями. Можно назвать и другие признаки повреждения.

К наиболее серьезным задачам проблемы повреждения корпусов принадлежит оценка последствий повреждения корпусов судна — деформации поврежденной конструкции. Анализ показывает, что практически во всех случаях наиболее опасными последствиями повреждения являются прочностные последствия. Рядовые поврежде-

ния качества и внешнего вида судна, опасность нарушения водонепроницаемости, или провала, приводит к необходимости ограничения [8].

Любое повреждение рассмотренного типа связано с изменением формы конструкции и пластическим деформированием ее материала. Для оценки, обеспечиваемых форму прочности, наиболее опасным может оказаться изменение формы конструкции; для оценки, обеспечиваемых остаточную прочность, опасным пластическим деформациями, которые могут быть значительными и, влияя на ход, излучательный материал. Поэтому достаточные сейчас критерии для деформации повреждений основаны на ограничении величин пластических деформаций и, следовательно, требуют оценки работы конструкции в пластической среде. Пластический элемент всегда является предельным элементом для деформации повреждений [8].

Рядовые повреждения повреждений повреждений свидетельствуют о наличии остаточных деформаций условиями эксплуатации судна. В этом случае возникает задача с учетом изменений в конструкции — проведения профилактических мероприятий, которые гарантированы бы в последующем нормальную работу конструкции [12]. Эта задача в практической части связана и с потребностью в оценке местной прочности. Основное ее отличие состоит в том, что, рассматривая деформации и повреждения на конкретном судне в конкретных условиях эксплуатации, необходимо будут разработаны решения более комплексными, и необходимый эффект может быть достигнут лишь только путем затрат. Это особенно важно, если такого рода работы должны выполняться во время оперативного ремонта судна, когда время и возможность их проведения весьма ограничены.

Изучение типичных повреждений с помощью специальных средств и систематическим анализом имеет значение не только для проверки поврежденной конструкции, но особенно важное значение имеет для исследования судна, хотя бы частичное регламентации того, что обычно выполняется на весьма широком термине "хорошая работа". В ряде случаев может оказаться, что такой вид работы ограниченной, либо систематически на производственной деятельности судна, можно существенно снизить его повреждаемость.

Изучение повреждений также и для систематической организации систематического исследования повреждений, особенно в связи с повреждением не фюзеляжа поврежденного транспортного судна, при которой обеспечивается поврежденного транспортного судна связано с другими производственными операциями и осуществлению вы-

росли интервалы между периодами (вместо одного года теперь два - четыре и более). Поскольку все основные нагрузки (ветер, вес, температура) зависят от погоды и в значительной степени от географического положения, эффективная проектная нагрузка становится непостоянной величиной. Безусловно, оценка надежности сооружений для предельного режима в море возможности продолжения эксплуатации судна, выходящего по режиму, выбора необходимых при этом действий и многого другого.

Необходимость пластического анализа для проектирования таких технологических процессов изготовления деталей корпуса, как лонжеронная гибка, правка, штамповка, не требует доказаний: оценка кручения, сжатия элементов при гибке, ее оптимальной последовательности, выбор формы штампов - далеко не полный перечень задач этого анализа. Технологическая, или правка, оценка имеет и задачи определения сверхлинейных деформаций.

Важнейшим вопросом, можно ли считать, что данные прикладного использования пластического анализа для проектирования весьма широк: например, при расчете сталевых элементов и в процессе проектирования корпуса судна, и при его постройке, и в процессе эксплуатации, и в связи с ремонтом.

Тема задач, рассмотренных теорией пластичности, становится все более разнообразной. Наибольший интерес при расчете судовых конструкций, во всех случаях, представляет:

- 1) уругоупругие задачи и расчеты предельного состояния;
- 2) жесткопластические задачи и геометрически нелинейная постановка;
- 3) задачи теории предельного равновесия.

Когда пластическая деформация, развивающаяся в конструкции, имеет тот же порядок, что и упругие деформации, на работу конструкции в равной мере влияют обе составляющие деформации, и задача должна решаться в уругоупругоупругой постановке. Если же при этом преобладают, как правило, имеет тот же порядок, что и в упругой стадии. Поскольку большинство судовых конструкций обладают относительно высокой жесткостью и упругие деформации у них малы, то во многих случаях ограничиваются в расчете пластической стадией, т.е. задачу часто можно считать геометрически нелинейной.

Когда пластические деформации достигают настолько больших значений, что упругие преобразуются, становится возможным жесткопластическая постановка задачи. Однако при этом следует учитывать

еще рядные особенности поведения по сравнению с упругой стадией, и для большинства судовых конструкций предельно уже нельзя считать малыми. Отсюда вытекают методы пластической геометрически нелинейной постановки, которая теперь оправдана себе в большом числе случаев [9]. Такие ограничения исходных предположений существенно упрощают решение задач, значительно расширяют круг практически важных вопросов, который может быть рассмотрен без больших осложнений.

Большое место занимает задача теории предельного равновесия (геометрически нелинейная задача для идеального жесткопластического материала), позволяющая определять предельную нагрузку. Анализ показывает, что для очень многих судовых конструкций, особенно для корпуса морских судов, предельная нагрузка играет роль первоочередного значения меньшей нагрузкой: при нагрузках меньше предельной состояние предельной конструкции обычно весьма неустойчиво, при нагрузках больше предельной состояние предельной конструкции становится устойчивым и должно рассматриваться как неопределенное. Если определяются материал и предельная нагрузка для и критерий прочности.

Газары об использовании пластических методов при расчете судовых конструкций, нельзя не отметить, что теория пластичности - одна из молодых бурно развивающихся частей механики твердого деформируемого тела, и история применения ее методов в инженерных расчетах пока очень коротка. Первые работы по теории пластичности, связанные с именем Сен-Венана и М.Лева, относятся к 30-м годам прошлого века [129], а самые элементарные представления о расчете простейших конструкций в пластической стадии - понятия пластических шарниров, появившиеся при работе балок, трехшарнирные схемы разрушения пролета балки - оформились уже в начале столетия.

В последние десятилетия, в том числе судостроения, теория пластичности вышла в 80-е годы, и в год за год число теоретических и прикладных исследований в этой области очень быстро растет. Вероятно известны работы В.А.Пашаева, В.А.Михайлова, В.В.Давыдова, А.А.Курдюмова, А.И.Матвеевича, Е.В.Ремизова, А.Е.Соловьевского применительно к расчету судовых конструкций, многолетнее сотрудничество В.В.Васильева и расчету судовых конструкций, многолетнее сотрудничество В.В.Васильева, работы К.Г.Абрамова, Г.В.Войнова, В.В.Давыдова, В.В.Крылова, В.И.Кудряшова, А.М.Курдюма, А.В.Косинова, В.А.Пашаева, С.М.Лева, В.А.Степанова, В.В.Сорокина, В.В.Савина, В.И.Степанова, Г.В.Тарасова, М.В.Михайлова, В.С.Курдюмова, В.В.Савина и др. Тем не менее применяемая теория пла-

твности в практике судостроения пока ограничена; методом расчета судовых конструкций в пластической стадии еще не вошли в повседневный арсенал инженеров. В учебных курсах специализированных факультетов эти вопросы поминались ориентировочно и без должной широкой основы.

Нужно сказать, что в отечественной и иностранной литературе по пластичности очень немного книг, которые без особых дополнительных усилий можно бы было использовать инженерам для первоначального ознакомления с предметом, включая бы его в круг основных понятий теории пластичности, давая возможность воспользоваться ее результатами. Сейчас довольно сложно выполнить эту задачу без больших затрат времени, особенно если приходится применять идеи и речь идет о расчете специальных судовых конструкций. Такая ситуация препятствует внедрению в практику судостроения и эксплуатации факта методов пластического анализа конструкций.

Данная книга - попытка частично восполнить этот пробел. При ее написании ставилась задача дать первоначальное знакомство с предметом, которое обеспечило бы возможность первоначального ознакомления, не требуя от читателей специальной подготовки. Целенаправленно сделана попытка последовательно рассмотреть основные методы и приемы, имеющие прикладное значение и дающие возможность их прямого практического использования в судостроении. Конечно, эта книга не сможет дать готовые методы и рекомендации, особенно в тех случаях, когда речь идет о комплексной оценке реальной прочностной способности конструкций уже потому, что многие вопросы еще не имеют решения. Автор, однако, надеется, что книга сможет оказать полезную тем, кто захочет освоить пластические методы и применить их к расчету судовых конструкций, будет способствовать более широкому внедрению этих методов в практику судостроения и эксплуатации факта.

Книга рассчитана на инженеров, занимающихся практической деятельностью. Поэтому особенно важными и полезными (приведены в литературе) сведения, если они не содержатся в учебниках, методах или результатах. Не содержащая книги, конечно, оказалась научные вопросы автора, книга лет написания этого приложения вопросы теории пластичности применительно к задачам реальной прочности судовых конструкций, решения и технической эксплуатации корпусов. Результаты этих исследований, выполненные автором в Ленинградском техническом институте рыбной промышленности, в этом отношении широко в Ленинградском институте

технических морском училище, также были отражены в книге.

В этих работах большое участие принимали коллеги и ученики автора А.В.Варунов, В.В.Михайлов, В.К.Лурин, А.Д.Ферин, В.П.Исидурин, В.П.Кожин, А.И.Осолодкин, Б.В.Толчий, Э.А.Вардольский, без постоянной поддержки и помощи которых написание этой книги было бы невозможным. В.В.Толчий и Э.А.Вардольский выполнили большую работу по проверке ряда расчетов и составлению таблиц.

Много способствовали улучшению содержания книги пост. техн. наук С.М.Балаш, ассистентом и прочтением рукописки, и пост. техн. наук Г.В.Войтке, взявший на себя труд редактирования книги.

Эта книга - первая попытка создать пособие по расчету судовых конструкций в пластической стадии, охватывающее широкий круг вопросов. Автор отдает себе отчет, что недостатки произведенной книги во всех ее аспектах ему вряд ли удастся а поэтому будет благодарен читателям за все замечания по содержанию книги, в частности относительно пластических методов, которые могут представлять прикладной интерес для судостроения и эксплуатации, связанных с эксплуатацией факта.

Открыт и принимал адрес выразить в действительности "Судостроение" по адресу: 191063, г.Ленинград, ул.Горького, 4.

§ 4. Пластические деформации при сложном напряженном состоянии

4.1. **Диаграмма напряжений при деформации.** Зависимости между нормальными напряжениями в поперечном сечении растянутого стержня  $\sigma$  и относительными удлинениями  $\epsilon$  характеризуются кривой, которую принято называть диаграммой напряжения при растяжении. У координат осями (наполюсгоризонтальной и наполюсвертикальной) она имеет три характерных участка (рис.1): начальный прямолинейный участок  $OA$  - упругая область, горизонтальный участок  $AC$  - площадка текучести и кристаллический участок  $CD$  - зона упрочнения. Уругий расчет ограничивается рассмотрением напряжений только в упругой области, где справедлива закон Гука (до точки  $A$ ):

$$\sigma = E \cdot \epsilon, \quad (1.1)$$

где  $E$  - модуль упругости материала при растяжении, численная величина (в кг/см<sup>2</sup>) ( $\alpha$  - этот модуль начального участка диаграммы и ось  $\epsilon$ ).

Рассматриваемые здесь напряжения являются условными и определяются как  $\sigma = P/F_0$ , где  $P$  - сила, растягивающая стержень; а  $F_0$  - площадь поперечного сечения стержня до деформации.

Ордината точки  $A$  диаграммы - предел пропорциональности материала  $\sigma_{пл}$  - максимальное напряжение, при котором отклонение от (1.1) составляет заданной величины (обычно 0,002%). Эту границу пропорциональности закона Гука обычно рассматривают независимо от границы упругой области - точки  $B$  диаграммы.

Ордината последней - предел упругости материала  $\sigma_y$  - максимальное напряжение, при котором остаточные

удлинения достигают заданной величины (обычно 0,001-0,002%).

Ордината максимального удлинения ось  $\epsilon$  предел текучести материала  $\sigma_y$ . Так как у многих материалов диаграмма не имеет площадки текучести, по ГОСТ 1497-61 предел текучести - напряжение, при котором остаточные удлинения составляют 0,2%.

Ордината самой высокой точки диаграммы (точка  $D$ ) - предел прочности материала  $\sigma_d$  - максимальное условное напряжение, которое выдерживает образец при растяжении.

Для аналитического расчета пластического деформирования необходимо уточнить диаграмму справа от точки  $B$  (пластической области): в теории пластичности связь между напряжениями в деформированном состоянии (фактически заданной величиной). Напряжения здесь имеют предел упругости  $\sigma_y$ . Однако для расчетов стали величина  $\sigma_{пл}$ ,  $\sigma_y$  и  $\sigma_T$  одинаковы, и в большинстве практических расчетов можно считать, что в упругой области  $\sigma < \sigma_T$ , а в пластической области  $\sigma \geq \sigma_T$ . (Исключение, в частности, составляет область устойчивости, см. § 23).

Если в упругой области после нагружения стержня, например до точки 1 на диаграмме, начать уменьшать напряжения, процессивно видно не будет уменьшаться и удлинение; на диаграмме линия разгрузки совпадает с прямой  $OA$ , так как нагружение и разгрузка в упругой области осуществляется одним и тем же законом Гука по (1.1). Если начать разгрузку в пластической области, например на точке 2 диаграммы, то на последней мы получим линию 2 - 2'. Она является прямой, параллельной упругому участку диаграммы  $OA$ . Поэтому в теории пластичности обычно предполагают, что разгрузка осуществляется по закону Гука. Абсцисса точки 2 характеризует остаточные деформации  $\epsilon_{ост}$ , о которых еще речь ниже. Их можно вычислить как

$$\epsilon_{ост} = \epsilon - \sigma/\epsilon, \quad (1.2)$$

где  $\sigma$  и  $\epsilon$  - соответствующие напряжения и деформации в конце нагружения перед разгрузкой (ордината и абсцисса точки 2).

Независимые зависимости  $\sigma = \epsilon$  при нагружении и разгрузке приводят к неоднозначности связи между напряжениями и деформациями в пластической области. Как видно из



характеристики деформированного материала при сжатии, построим диаграмму напряжений при сжатии. Незначительные эксперименты показали, что у пластичных материалов, к которым принадлежат и материалы шпунтов, при разрывах  $\sigma$  диаграммы растяжения и сжатия совпадают. Поэтому в теории пластичности широко распространено допущение, что зависимость  $\sigma - \epsilon$  при растяжении и сжатии одинакова.

**1.2. Зависимость зависимости  $\sigma - \epsilon$ .** Как видно из приведенного, зависимость между  $\sigma$  и  $\epsilon$  реального материала достаточно сложна. Это составляет во многих случаях шаг в теоретическом анализе, так и при решении практических задач приходится к упрощенным идеализированным зависимостям (диаграммам)  $\sigma - \epsilon$ . Одна из наиболее простых и распространенных - диаграмма идеального упруго-пластического материала (рис.2,а). В случае, когда пластические деформации шпунта принимают упругие, если пренебречь посылками, получаются диаграммы идеального эластичного и эластичного материала (рис.2,б). Пренебрегая при этом упрочнением реального материала и используя диаграммы упругоэластичности материала с линейным упрочнением (рис.2,в) и неупругоэластичного материала с линейным упрочнением (рис.2,г). Иногда для упрощенных решений диаграммы  $\sigma - \epsilon$  используют линеаризованную систему из трех отрезков прямых (упругий участок, линейная текучесть, линейное упрочнение). Линейная распространяемая зависимость функции типа  $\sigma = A\epsilon^m$ , где  $A$  и  $m$  - константы причем  $m$  - выбирает обычно в пределах от 0 до 1. В отечественной литературе широко используются следующие формы простейших диаграмм  $\sigma - \epsilon$ , приведенных в 1.3. Выводимыми [5]:

$$\sigma = E\epsilon(1 - \omega), \quad \omega = \omega(\epsilon), \quad (2.4)$$

где  $\omega$  - величина порыва, зависящая от форм диаграммы в участке  $\epsilon$ . В упругой области  $\omega = 0$ , в пластической области  $0 \leq \omega \leq 1$ .

**1.3. Вторичное и первичное нагружение.** Если после разгрузки материала начать вновь нагружать, то, как показывают эксперименты, на диаграмме  $\sigma - \epsilon$  линия разгрузки и вторичного нагружения точно не совпадает и получается петля (рис.3, линия  $80^{\circ} B^1$ ).

Она возникает из-за гистерезиса и складывается из того, что разгрузка и вторичное нагружение связаны с потерей энергии (рассеиванием) энергии, которая переходит в тепло. Однако первая гистерезиса очень велика, и в дальнейшем большинство случаев ее влияния пренебрегают, считая, что зависимость  $\sigma - \epsilon$  при разгрузке и вторичном нагружении совпадает с линией до начала вторичного предельного значения нагружения (точка  $B$  на рис.3). Это допущение может быть существенно только в задачах расчета конструкций на долговременные циклические нагрузки. Если приходится в этом случае рассуждать о энергии на-из энергии цикла гистерезиса и энергии цикла нагружения - разгрузки очень велика, однако при многократном вторичном цикле суммарная рассеянная энергия становится значительной, и пренебрежение этим обстоятельством может повлечь за собой заметные ошибки.

Особые эффекты возникают при нагружении, в котором материал последовательно испытывает пластические деформации разных знаков. Если предварительно растянуть стержень, сплюснуть в нем шпунтовую линию предела упругости, а затем разгрузить и подвергнуть сжатию (рис.3, линия  $80^{\circ} B^1$ ), то при сжатии пластические деформации останутся при напряжениях  $\sigma = \sigma_0^1$  и всегда  $|\sigma_0^1| < |\sigma_0|$

( $\sigma_0$  - предел упругости материала при первом нагружении стержня). При этом разрыв между  $\sigma_0^1$  и  $\sigma_0$  будет тем больше, чем больше была деформация стержня в предельно-пластической области. Аналогичный эффект возникает, если сначала стержень подвергнуть сжатию в пластической области, а потом разгрузить и растянуть.

Этот эффект, впервые подробно изученный И.Кузнецовым (публикация 1881-1885 г.г.), носит имя автора и называется эффектом Бауэнгера. Событиями оно неоднородности микропластических деформаций поликристаллического материала. Эффект Бауэнгера может заметно повлиять на результаты, если режим нагружения связан с значительным циклом пластических деформаций, а сама деформация значительна. В дальнейшем тем в книге, где эффект Кузнецова упоминается, это специально оговорено. В остальных случаях им не пренебрегают.

#### 1.4. Влияние различных пластических деформаций. <sup>1</sup> В исследова-

<sup>1</sup> Источник раздела приведен совместно с А.И.Смоловым.

ных теорий пластичности формулах зависимости  $\sigma - \epsilon$  время развития пластических деформаций не рассматривается. Однако известно, что пластические деформации развиваются иначе во времени. На рис. 4 представлено развитие деформаций в образцах различного размера, изготовленных из односторонне растянутого образца малоуглеродистой стали (А6) (временная пластичность  $\sigma_{0.2} = 228 \text{ МПа}$ , предел прочности  $\sigma_b = 440 \text{ МПа}$ ). Выявляется существенная зависимость пластической деформации от времени при нагрузке; при увеличении нагрузки возрастает выдержка во времени и фиксируется меньшая деформация, после чего нагрузка постепенно снижается.

На рисунке:  $\sigma$  - максимальная нагрузка в точке;  $\delta$  и  $\epsilon$  - относительное удлинение образца во время  $t$  при  $\sigma = \text{const}$ . На рисунке видно, что время возникновения развития пластических деформаций увеличивается с нагрузкой и нагрузкой, а время прекращения полного прекращения деформаций - темпем и темпем (40).

Если аналогично рассмотреть динамическое деформирование образца, соответствующее данной выдержке при постоянном удлинении  $\epsilon$ , во время выдержки наблюдается полное вырешивание. Особенно сильно эти эффекты обнаруживаются при выдержке, когда при постоянной нагрузке во время равномерно меняется во времени  $\sigma$  и  $\epsilon$ . Но также происходит уменьшение размера пластической зоны по высоте сетчатой балки. Это приводит к полной автономному росту прогиба.

Известно из эксперимента, наиболее приемлемые рассматриваемые эффекты были отмечены от высокотемпературной неустойчивости ползучести стали в формулах их можно рассмотреть как эффекты неустойчивости. Это дает возможность воспользоваться методами неустойчивости, в частности решениями релаксационных моделей [312].

Для построения модели, наиболее простой модели, позволившей отразить основные особенности явления, оказывается модель, состоящая из соединенных в определенной последовательности двух упругих элементов разного жесткости, одного жесткого элемента и одного неупругоупругого элемента. Эта модель принимает к уравнению вида

$$n\delta\dot{\epsilon} + \epsilon_0\dot{\sigma} = n\dot{\sigma} + \sigma - \left(\sigma - \frac{\sigma_0}{\lambda}\right)\dot{\sigma}, \quad (1.5)$$

где  $\delta = \frac{d\epsilon}{d\sigma}$ ;  $\dot{\sigma} = \frac{d\sigma}{dt}$ ;  $n$  -  $\epsilon$ ,  $\epsilon_0$  и  $\sigma_0$  - константы;  $\lambda$  - принято считать временем релаксации.

Если показать, что здесь  $\sigma_0$  - предел текучести материала и при  $\sigma < \sigma_0$  материал работает упруго, то  $\epsilon$  и (1.5) - модуль упругости при растяжении. При бесконечной выдержке деформация  $\delta = \sigma - \sigma_0$  и из (1.5)

$$\delta = \sigma_0 + \epsilon_0 \left( \epsilon - \frac{\sigma_0}{\lambda} \right). \quad (1.6)$$

Это уравнение отвечает всем указанным диаграммам упруго-пластического материала с линейным упрочнением (см. рис. 2, 3), в  $\epsilon_0 = \lambda \sigma_0$  - модуль упрочнения;  $\sigma_0$  - угол наклона диаграммы в зоне упрочнения и ось  $\epsilon$ .

Указанное позволяет дать уравнение (1.5) физическое объяснение применительно к рассмотренному явлению. Будем считать  $\sigma_0$ ,  $\epsilon_0$  и  $\lambda$  параметрами диаграммы растяжения при бесконечной выдержке нагрузки (рис. 3). Теперь пусть в результате нагружения с конечной (и достаточно большой) скоростью напряжение в деформированном состоянии стабилизируется в данной точке характерной точкой  $A$ . Если в некоторый момент времени  $\sigma = \text{const}$ , реализуется процесс ползучести. На рис. 5 на изображении линии  $AB$ . Процесс выключения, и выделение деформации, которые могут реализоваться в результате ползучести, отмечены общими точками  $\delta$ . Аналогично при  $\epsilon = \text{const}$  реализуется процесс релаксации напряжения, отмеченный линией  $AC$  на рисунке от - нагружения, и ординаты точки  $C$  - максимальное  $\sigma$ , которое может быть при этом деформации. При повторном нагружении, когда изменил нагрузку постоянная ( $P = \text{const}$ ), реализуется промежуточный случай, в котором и  $\sigma$  и  $\epsilon$  переменны (диаграмма, линия  $AD$  на рисунке).

Математика имеет соответствующее соответствие: уравнение ползучести можно упростить до соответствующего соответствия (1.5) в результате замены единичным образом малоуглеродистой стали на алюминий, релаксация и повторная нагрузка (при  $P = \text{const}$ ) при  $\epsilon_0 = 600 \cdot 1000 \text{ МПа}$  и  $\lambda = 2,3 \cdot 10^{-6} \text{ 1/с}$ . Известно, что эти значения  $\epsilon_0$  типичны для модуля упрочнения, полученного при крутильно-двухфазной аппроксимации сложной диаграммы растяжения малоуглеродистой стали.

Предложенная физическая трактовка (1.3) позволяет легко ее обобщить, т.е. использовать при любой форме диаграммы растяжения, включая  $\epsilon_0 = \epsilon_0(\epsilon)$ . Можно также, проведя и крутильно-двух-

ной аппроксимации диаграммы с произвольным числом участков, при этом используются (1.5), считая  $E_p = const$  в пределах участка, но разным на разных участках.

**1.3. Дуплицинг.** Следовательно, конечно, нельзя не учитывать особенности поведения стали в пластической области. В дополнение следует учесть наряду с ролью времени действия нагрузки и соответствующую скорость нагружения. Динамический характер нагружения может оказать заметное влияние на механические характеристики материала [132], а при малой пластичности поведения нагрузки пластическими деформациями могут не успеть реализоваться.

На диаграмме растяжения при переходе на другую осяз в пластическую может иметь место крут, параметризуемый параметром  $\lambda$  и тем же пределом текучести, описанным введением которого достигается 1.25 [87]. Возможные дополнительные особенности, типичные образом в зоне упрочнения, имеют зависимость  $\sigma - \epsilon$  при сдвиге [82]. Целый ряд существенных эффектов выявляется при изменении нагружения [25], при повышении температуры [113], наличии релаксационного волочения и др. [32, 132, 133].

Статистик еще одно важное обстоятельство. Информация о механических свойствах материала, которую инженер имеет при выполнении расчетов, как правило, ограничена значениями статистических параметров, указанными в ГОСТе для данной марки материала. Известно, что ГОСТ регламентирует минимальные значения этих характеристик; реально же их значения могут быть существенно больше. Например, у стали марки 40 по ГОСТу  $\sigma_{0.2} = 240$  МПа, в действительности это значение может достигать 300-400 МПа, во среднем диапазоне 300-320 МПа. Столь же большой разброс характерен и другие механические характеристики стали, а также теми параметрами диаграмм растяжения, как длина пластической текучести, угол наклона диаграммы в зоне упрочнения и др. Поэтому в принципе достоверное описание зависимости  $\sigma - \epsilon$  для реальной конструкции возможно только статистическими методами. Известно также, что сталь после проката приобретает существенную анизотропию механических свойств: испытывая образец листового материала, нагруженный вдоль и поперек направления проката, выявляет заметную разницу в значениях механических характеристик и форме диаграмм растяжения.

Учет упомянутых факторов, естественно, весьма усложняет расчет конструкций в пластической стадии, здесь это практически невозможно для большинства прикладных задач. Это составляет при-

бытие к упрощенным приближенным формам зависимости  $\sigma - \epsilon$  (см. выше), заведомо смирясь с тем, что расчет в пластической стадии имеет скорее приближенный характер. Но даже такой расчет, как показывает опыт, в очень многих случаях дает гораздо более достоверную информацию о действительных запасах прочности конструкции, чем расчет в упругой стадии.

Очень важно также правильно выбрать условия факторы, наиболее существенно влияющие на поведение конструкции в пластической области, и учесть их комплексно. Например, при ее проектировании без комплексного обоснования проводить расчет уточненную зависимость  $\sigma - \epsilon$ , прибавляя ее к реальной диаграмме растяжения, а не учитывать случайный характер механических характеристик, время реализации пластических деформаций и т.п.; все существенно усложнит расчет, но практически не повысит точность результатов.

## § 2. Условия пластичности

**2.1. Обобщенное напряженное и деформационное состояние.** В произвольное состояние материала в точке в общем случае можно охарактеризовать девять компонентами напряжений, которые действуют на трех взаимно перпендикулярных площадках (рис.6): тремя нормальными напряжениями -  $\sigma_x, \sigma_y, \sigma_z$  и шестью касательными напряжениями -  $\tau_{xy}, \tau_{yx}, \tau_{xz}, \tau_{zx}, \tau_{yz}, \tau_{zy}$ .

(Первый индекс при  $\tau$  - обозначение оси, вдоль которой направлено это напряжение; второй индекс - обозначение оси, нормальной к площадке, на которой действует данное напряжение.) Без ссылки между собой эти девять компонент являются уравнениями равновесия

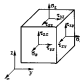


Рис.6. Компоненты напряжений.

$$\left. \begin{aligned} \frac{\partial \sigma_x}{\partial x} + \frac{\partial \tau_{xy}}{\partial y} + \frac{\partial \tau_{xz}}{\partial z} + X - \rho; \\ \frac{\partial \tau_{xy}}{\partial x} + \frac{\partial \sigma_y}{\partial y} + \frac{\partial \tau_{yz}}{\partial z} + Y - \rho; \\ \frac{\partial \tau_{xz}}{\partial x} + \frac{\partial \tau_{yz}}{\partial y} + \frac{\partial \sigma_z}{\partial z} + Z - \rho \end{aligned} \right\} \quad (2.4)$$

( $X$ ,  $Y$  и  $Z$  - проекции удельной объемной силы соответственно на оси  $x$ ,  $y$  и  $z$ ) и законом связности касательных напряжений

$$\tau_{xy} = \tau_{yx}; \quad \tau_{yz} = \tau_{zy}; \quad \tau_{zx} = \tau_{xz}. \quad (2.5)$$

Для неизвестных получаемые в итоге из условий равновесия бесконечно малого параллелепипеда в предположении сплошности и изотропности материала в малости элементарных переменных по сравнению с размерами всего параллелепипеда (геометрически линейная деформация).

Если рассматриваемый параллелепипед изотропен, то значения компонентов напряжений, действующих на его поверхности, будут изменяться. Можно пойти также по линии всего параллелепипеда, что все касательные напряжения обратятся в нуль. Тогда его плоскости взаимности  $\sigma_{11}$  и  $\sigma_{22}$  и  $\sigma_{33}$  и  $\sigma_{12}$  и  $\sigma_{21}$  и  $\sigma_{13}$  и  $\sigma_{31}$  и  $\sigma_{23}$  и  $\sigma_{32}$  (обычно принимают  $\sigma_{11} > \sigma_{22} > \sigma_{33}$ ). Три главных напряжения характеризуют напряженное состояние материала в точке, так же как девять напряжений в произвольно ориентированных декартовых осях. Если последнее, всегда можно найти главные напряжения  $\sigma_{11}$  ( $n = 1, 2, 3$ ) как корни кубического уравнения

$$-\sigma^3 + J_1(T_0)\sigma^2 + J_2(T_0)\sigma + J_3(T_0) = 0; \quad (2.6)$$

$$\left. \begin{aligned} J_1(T_0) &= \sigma_{11} + \sigma_{22} + \sigma_{33}; \\ J_2(T_0) &= -\sigma_{11}\sigma_{22} - \sigma_{22}\sigma_{33} - \sigma_{33}\sigma_{11} + \tau_{12}^2 + \tau_{13}^2 + \tau_{23}^2; \\ J_3(T_0) &= \sigma_{11}\sigma_{22}\sigma_{33} - \sigma_{11}\tau_{23}^2 - \sigma_{22}\tau_{13}^2 - \sigma_{33}\tau_{12}^2 + \\ &+ 2\tau_{12}\tau_{13}\tau_{23}. \end{aligned} \right\} \quad (2.6)$$

Коэффициенты кубического уравнения  $J_1(T_0)$ ,  $J_2(T_0)$

и  $J_3(T_0)$  являются скалярными инвариантами, вторым и третьим инвариантами тензора напряжений и  $T_0$ . Они не зависят от выбора координатных осей; их совокупность является полной характеристикой напряженного состояния материала в точке. Инварианты можно выразить в виде главных напряжений.

Деформированное состояние материала в точке характеризуется девятью компонентами деформации:  $\epsilon_x$ ,  $\epsilon_y$  и  $\epsilon_z$  - относительными удлинениями соответственно вдоль осей  $x$ ,  $y$  и  $z$ ;  $\gamma_{xy}$ ,  $\gamma_{yz}$  и  $\gamma_{zx}$  - относительными сдвигами соответственно в плоскостях  $xy$ ,  $yz$  и  $zx$ . Деформации точки тогда определяются тремя компонентами:  $u$ ,  $v$  и  $w$  - проекциями перемещения этой точки соответственно на оси  $x$ ,  $y$  и  $z$ . Компоненты деформации и перемещений геометрически связаны между собой, что отражается уравнениями Коши

$$\left. \begin{aligned} \epsilon_x &= \frac{\partial u}{\partial x}; \quad \epsilon_y = \frac{\partial v}{\partial y}; \quad \epsilon_z = \frac{\partial w}{\partial z}; \\ \gamma_{xy} &= \frac{\partial v}{\partial y} + \frac{\partial u}{\partial x}; \quad \gamma_{yz} = \frac{\partial w}{\partial z} + \frac{\partial v}{\partial y}; \\ \gamma_{zx} &= \frac{\partial w}{\partial z} + \frac{\partial u}{\partial x}. \end{aligned} \right\} \quad (2.5)$$

Если во этих уравнениях исключить  $u$ ,  $v$  и  $w$ , получаются уравнения совместности деформации

$$\left. \begin{aligned} \frac{\partial^2 \tau_{xy}}{\partial x \partial y} &= \frac{\partial^2 \epsilon_x}{\partial y^2} + \frac{\partial^2 \epsilon_y}{\partial x^2}; \quad \frac{\partial^2 \tau_{yz}}{\partial y \partial z} = \frac{\partial^2 \epsilon_y}{\partial z^2} + \frac{\partial^2 \epsilon_z}{\partial y^2}; \\ \frac{\partial^2 \tau_{zx}}{\partial z \partial x} &= \frac{\partial^2 \epsilon_z}{\partial x^2} + \frac{\partial^2 \epsilon_x}{\partial z^2}; \\ 2 \frac{\partial^2 \tau_{xy}}{\partial y \partial z} &= \frac{\partial}{\partial z} \left( \frac{\partial \tau_{yz}}{\partial x} + \frac{\partial \tau_{zx}}{\partial y} + \frac{\partial \tau_{xy}}{\partial z} \right); \\ 2 \frac{\partial^2 \tau_{yz}}{\partial z \partial x} &= \frac{\partial}{\partial x} \left( \frac{\partial \tau_{xz}}{\partial y} + \frac{\partial \tau_{xy}}{\partial z} + \frac{\partial \tau_{yz}}{\partial x} \right); \\ 2 \frac{\partial^2 \tau_{zx}}{\partial x \partial y} &= \frac{\partial}{\partial y} \left( \frac{\partial \tau_{xy}}{\partial z} + \frac{\partial \tau_{yz}}{\partial x} + \frac{\partial \tau_{zx}}{\partial y} \right). \end{aligned} \right\} \quad (2.6)$$

Уравнения (2.5) описывают геометрические условия постановки задачи. Если деформация образца считать малой, в них учитываются только члены

$$\left. \begin{aligned} \varepsilon_x &= \frac{\partial u}{\partial x} + \frac{1}{2} \left[ \left( \frac{\partial v}{\partial x} \right)^2 + \left( \frac{\partial w}{\partial x} \right)^2 + \left( \frac{\partial z}{\partial x} \right)^2 \right]; \\ \dots \dots \dots \\ \gamma_{xy} &= \frac{\partial u}{\partial y} + \frac{\partial v}{\partial x} + \frac{\partial v}{\partial x} \frac{\partial u}{\partial y} + \frac{\partial u}{\partial x} \frac{\partial v}{\partial y} + \frac{\partial v}{\partial x} \frac{\partial w}{\partial y}; \\ \dots \dots \dots \end{aligned} \right\} \quad (2.7)$$

Аналогично тем же самым образом есть уравнения для деформаций  $\varepsilon_y$ ,  $\varepsilon_z$  и  $\varepsilon_{yz}$ . Они относятся к деформации в том же направлении - таким координатным осем, вдоль которых нет сдвига.

Если в (2.4) и (2.5) - статическим и геометрическим уравнениям - присоединить рассматриваемые ниже физические уравнения, связывающие компоненты напряжений и деформаций, то вместе с граничными условиями получится система уравнений, совокупность которых есть полная задача: напряжения, деформации и перемещения. В литературе подобных физических уравнений является основной закон Гука:

$$\varepsilon_x = \frac{1}{E} [\sigma_x - \mu (\sigma_y + \sigma_z)]; \quad \gamma_{xy} = \frac{\tau_{xy}}{G};$$

(2.8)

где  $E = \frac{E}{2(1+\mu)}$  - модуль упругости при сдвиге;  $\mu$  - коэффициент поперечной деформации (коэффициент Пуассона).

**2.2. Уменьшение объема. Коэффициент поперечной деформации.**  
Деформация материала можно представить системой из двух частей, связанной только с изменением объема материала в результате его деформирования, и части, связанной только с изменением его формы. Численные объемы определяются так: **изменением объема** **в направлении**

$$\sigma_y = \frac{\sigma_x + \sigma_y + \sigma_z}{3} \quad (2.9)$$

Если  $\sigma_x = \sigma_y = \sigma_z$ ;  $\tau_{xy} = \tau_{yz} = \tau_{zx} = 0$ , происходит только изменение объема материала, форма остается без изменений. Реализовать такого рода напряженное состояние практически можно лишь при неограниченном состоянии. Вычисленные напряжения по сдвиге образцов в специальных деформаторах показывают, что даже при весьма высоких значениях напряжений  $\sigma_x$  изменение объема происходит почти исключительно упруго, пластическая деформация проявляется лишь. (Так, при  $\sigma_x = 10\ 000$  МПа пластическая деформация изменения объема у железа не превышает 0,5% [29].) Поэтому в расчетах всегда принимается, что в действительности деформация упрямоэластична и соответствует формулам, а изменение объема подчиняется закону Гука

$$\theta = 3 \frac{1-2\mu}{E} \sigma_y \quad (2.10)$$

где  $\theta$  - статическое изменение объема.  
Свойствами указанного является переменность в пластической области неферритности поперечной деформации. При одностороннем напряженном состоянии, когда  $\sigma_y = \sigma_x = \sigma$ ,  $\mu' = -(\varepsilon_y/\varepsilon_x) = -(\varepsilon_z/\varepsilon_x)$  (здесь  $\mu'$  имеет знак, чтобы отделить его от  $\mu$  - знака в упругой области). Поскольку статическое изменение объема

$$\theta = \varepsilon_x + \varepsilon_y + \varepsilon_z \quad (2.11)$$

и в данном случае  $\varepsilon_y = \varepsilon_z$ , то  $\varepsilon_y = \varepsilon_z = \frac{1}{2}(\theta - \varepsilon_x)$ .

При расчетах пластических деформаций, когда сам материал происходит упруго деформация,  $\varepsilon_x \gg \theta$ , где  $\theta$  по (2.10) всегда имеет порядок упругих деформаций. Тогда  $\varepsilon_y = -\varepsilon_z = -\frac{1}{2} \varepsilon_x$  и  $\mu' = 0,5$ . Для стали в упругой области, как известно,  $\mu = 0,3$ . Следовательно, в рассматриваемой области

твом пластических деформаций коэффициент логарифмической деформации  $\mu'$  растет от 0,5 до 0,8.

Если в расчете любая превращается величина упругих деформаций (рассматривается только пластическая деформация), то соответственно принимаются  $\mu' = 0,5$  и  $\beta = 0$ .

**2.3. Условие пластичности.** При сплошном напряженном состоянии переход материала из упругого состояния в пластическое происходит, когда максимальное нормальное напряжение достигает предела упругости. В практических расчетах для этой цели применяется обычно предел текучести, превращаясь разницей между последним и пределом упругости. При сплошном напряженном состоянии условие перехода в пластическое состояние на столь элементарно и формулируется в форме так называемых условий пластичности.

В настоящее время для пластичных материалов в большинстве случаев используется либо условие пластичности Треска (Сен-Венана - Треска), либо условие пластичности Мизеса (Губер - Мизеса). Первое предполагает, что пластическая деформация начинается, когда максимальное касательное напряжение достигает предела текучести при чистом сдвиге. Это приводит к следующим соотношениям:

$$|\sigma_1 - \sigma_2| = \sigma_T, \quad |\sigma_1 - \sigma_3| = \sigma_T, \quad |\sigma_2 - \sigma_3| = \sigma_T. \quad (2.42)$$

Условие пластичности Мизеса записывается так

$$\sigma_1 - \sigma_T = \sigma_2. \quad (2.43)$$

где  $\sigma_i$  - интенсивности напряжений - величины, пропорциональные касательным напряжениям, возникающим на плоскости, равнонаправленной с главными напряжениями (соответственно касательным напряжениям;  $\sigma^2$  - пропорциональное условное пластическое напряжение, максимальное касательное напряжение, возникающее при чистом сдвиге, максимальное касательное напряжение, возникающее при чистом сдвиге).

$$\left. \begin{aligned} \sigma_i &= \frac{1}{2} \sqrt{(\sigma_1 - \sigma_2)^2 + (\sigma_2 - \sigma_3)^2 + (\sigma_3 - \sigma_1)^2}, \\ \sigma_i &= \frac{1}{2} \sqrt{(\sigma_x - \sigma_y)^2 + (\sigma_y - \sigma_z)^2 + (\sigma_z - \sigma_x)^2 + 6(\tau_{xy}^2 + \tau_{yz}^2 + \tau_{zx}^2)}. \end{aligned} \right\} \quad (2.44)$$

Для плоской задачи ( $\sigma_3 = 0$ ) условие пластичности Треска:

$$\left. \begin{aligned} \text{при } \sigma_1 > \sigma_2 \geq 0 \quad \sigma_1 - \sigma_2 &= \sigma_T; \\ \text{при } \sigma_1 \geq 0; \sigma_2 < 0 \quad \sigma_1 - \sigma_2 &= \sigma_T; \\ \text{при } \sigma_1 < \sigma_2 < 0 \quad \sigma_2 - \sigma_1 &= -\sigma_T; \\ \text{при } \sigma_2 > \sigma_1 \geq 0 \quad \sigma_2 - \sigma_1 &= \sigma_T; \\ \text{при } \sigma_1 < 0; \sigma_2 > 0 \quad \sigma_2 - \sigma_1 &= \sigma_T; \\ \text{при } \sigma_1 < \sigma_2 < 0 \quad \sigma_2 - \sigma_1 &= -\sigma_T; \end{aligned} \right\} \quad (2.45)$$

условие пластичности Мизеса

$$\sigma_1 = \sqrt{\sigma_1^2 - \sigma_1 \sigma_2 + \sigma_2^2} = \sigma_T. \quad (2.46)$$

Графические условия пластичности Треска и Мизеса для плоской задачи показаны на рис.7. Наибольшее расстояние между ними имеет место при чистом сдвиге и составляет 13,5%.

Условие пластичности является объектом многократных экспериментальных исследований. Всперываемые данные обычно указываются между расчетными значениями по рассмотренным условиям пластичности, в одних случаях несколько лучше согласуются с условием пластичности Треска, в других - с условием пластичности Мизеса [82]. Поэтому на сегодня оба условия пластичности можно считать практически равноценными, и выбор одного из них обычно делается лишь соображениями удобства решения задачи. Более подробно о рассмотренных вопросах можно ознакомиться в [49, 55, 56, 82].

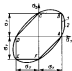


Рис.7. Условия пластичности Треска (1) и Мизеса (2) для плоской задачи.

§ 3. Пластические деформации при обтекании напряженным состоянием

3.1. Прямизначимые подходы к построению физических уравнений теории пластичности. В теории пластичности в настоящее время выделяется различное количество физических уравнений, описывающих связь между напряженными и деформированными. Она отличается друг от друга различными допущениями, степенью сложности, соответствующим экспериментальным данным. На параметры этих уравнений можно выделить две большие группы, известные под названием теории деформаций (деформационной теории) и теории течения.

Для теории деформаций характерна алгебраическая связь между напряженными и деформациями. При нагружении для одноосного напряженного состояния можно записать

$$\varepsilon = \frac{\sigma}{E'}, \quad (3.1)$$

где  $E'$  - переменная, зависящая от величины  $\varepsilon$ .

Это - обобщение закона Гука на случай нелинейной зависимости между  $\sigma$  и  $\varepsilon$ . При  $E' = E = const$  уравнение (3.1) обращается в закон Гука.

Для теории течения характерна дифференциальная связь между составляющими напряжений, определяющими компоненты формы тела, и производными пластических деформаций. Простыми примерами являются как

$$d\varepsilon = d\varepsilon^e + d\varepsilon^p, \quad (3.2)$$

где  $d\varepsilon^e$  - упругие составляющие  $d\varepsilon$ , а  $d\varepsilon^p$  - ее пластические составляющие.

Первая определяется законом Гука  $d\varepsilon^e = \frac{d\sigma}{E}$ , вторая - соотношением типа

$$d\varepsilon^p = dA(\sigma - \sigma_0), \quad (3.3)$$

где  $dA$  - переменная, зависящая от  $d\varepsilon^p$ , а  $\sigma - \sigma_0$  - составляющая напряжений, определяющая величину формы тела.

(Для одноосного напряженного состояния среднее напряжение  $\sigma_0 = \frac{1}{3}\sigma$ .)

Можно представить (3.3) в несколько иной форме:

$$\frac{d\varepsilon^p}{d\varepsilon} = A'(\sigma - \sigma_0), \quad \text{где } A' = \frac{dA}{d\varepsilon}. \quad \text{Если } \varepsilon - \text{но-}$$

вый параметр, от которого зависит пластическая деформация  $\varepsilon^p$ , то мы вправе рассмотреть отношение  $\frac{d\varepsilon^p}{d\varepsilon} = \dot{\varepsilon}^p$

как производную  $\dot{\varepsilon}^p$  по  $\dot{\varepsilon}$ . Тогда

$$\dot{\varepsilon}^p = A'(\sigma - \sigma_0). \quad (3.4)$$

Это наиболее распространенная форма связи  $\sigma$  и  $\varepsilon$  в теории течения. Величину  $\dot{\varepsilon}^p$  называют скоростью пластических деформаций. Нужно, однако, помнить условность этого названия, ибо  $\dot{\varepsilon}$  не является временем в его обычном физическом понимании (в теории пластичности время развития деформации не рассматривается, см. § 1). Выбор  $\varepsilon$  произволен и обусловлен лишь удобством решения задачи. Важно только, чтобы  $\varepsilon \in C^2(x)$ .

3.2. Теория деформаций. Для одноосного напряженного состояния составляющие напряжений, определяющие величину формы тела, можно представить как

$$\sigma_x - \sigma_0; \sigma_y - \sigma_0; \sigma_z - \sigma_0; \tau_{xy}; \tau_{yz}; \tau_{zx}. \quad (3.5)$$

Из них можно выделить девять дивизоров напряжений  $\mathbb{N}$ . Аналогично для деформаций: компоненты дивизора деформаций  $\mathbb{D}$

$$\varepsilon_x - \varepsilon_0; \varepsilon_y - \varepsilon_0; \varepsilon_z - \varepsilon_0; \frac{1}{2}\gamma_{xy}; \frac{1}{2}\gamma_{yz}; \frac{1}{2}\gamma_{zx}, \quad (3.6)$$

где среднее удлинение

$$\varepsilon_0 = \frac{\varepsilon_x + \varepsilon_y + \varepsilon_z}{3}. \quad (3.7)$$

Физические уравнения, связывающие компоненты напряжений и деформаций, можно получить на основе следующих гипотез:

- 1) зависимость объема деформации от объема деформации по закону Гука;
- 2) компоненты дивизора деформаций прямо пропорциональны компонентам дивизора напряжений.

Первое соотношение (3.10) и (3.7) принимает вид

$$\varepsilon_x = \frac{1-\nu}{E} \sigma_x, \quad (3.8)$$

второй имеет

$$\begin{aligned} \frac{\varepsilon_x - \varepsilon_0}{\sigma_x - \sigma_0} &= \frac{\varepsilon_x - \varepsilon_0}{\sigma_x - \sigma_0} = \frac{\varepsilon_x - \varepsilon_0}{\sigma_x - \sigma_0} = \frac{\gamma_{xy}}{2\tau_{xy}} = \\ &= \frac{\gamma_{xy}}{2\tau_{xy}} = \frac{\gamma_{xy}}{2\tau_{xy}} = \Psi, \end{aligned} \quad (3.9)$$

где  $\Psi$  - коэффициент пропорциональности, зависящий от различных деформаций.

Тогда

$$\varepsilon_x - \varepsilon_0 = \Psi(\sigma_x - \sigma_0); \quad \gamma_{xy} = 2\Psi\tau_{xy}; \quad (3.10)$$

При  $\Psi = \frac{1}{2G} = const$  уравнения (3.8) и (3.10) имеют обобщенный закон Гука по (2.8). Здесь  $G$  - модуль сдвига, модуль упругости при сдвиге. Если предположить  $\Psi = \frac{1}{2G} + \Upsilon$ ,

где  $\Upsilon$  зависит от величин деформаций, то, используя его в (3.10) и преобразуя их с учетом (3.8), можно выписать законы в пластическую составляющую деформаций:

$$\begin{aligned} \varepsilon_x &= \frac{1}{E} [\sigma_x - \nu(\sigma_y + \sigma_z)] + \Upsilon(\sigma_x - \sigma_0); \\ \gamma_{xy} &= \frac{\tau_{xy}}{G} + 2\Upsilon\tau_{xy}; \end{aligned} \quad (3.11)$$

Первое слагаемое в правой части этих уравнений - обобщенный закон Гука, определяющий упругие составляющие деформаций; второе слагаемое - пластическая составляющая деформаций. Эти урав-

нения заменяются уравнениями Гейки.

В уравнениях (3.10) остался неизвестной величиной  $\Psi$ . Чтобы ее определить, нужно сформулировать дополнительные соотношения, зависящие от той же переменной. Наиболее распространено соотношение упругости в теории деформаций называется гипотезой "единой кривой": истинная зависимость напряжений  $\sigma_i$  - функции пластичности деформаций  $\varepsilon_i$ , но зависящая от вида напряженного состояния. Здесь  $\sigma_i$  определяется по (2.14); а

$$\left. \begin{aligned} \sigma_1 &= \frac{\sigma_0}{\sqrt{3}} \sqrt{(\sigma_x - \sigma_y)^2 + (\sigma_y - \sigma_z)^2 + (\sigma_z - \sigma_x)^2 + \frac{2}{3}(\tau_{xy}^2 + \tau_{yz}^2 + \tau_{zx}^2)}; \\ \text{или} \\ \sigma_1 &= \frac{\sigma_0}{\sqrt{3}} \sqrt{(\sigma_1 - \varepsilon_1)^2 + (\sigma_2 - \varepsilon_2)^2 + (\sigma_3 - \varepsilon_3)^2}. \end{aligned} \right\} \quad (3.12)$$

Поскольку функции  $\sigma_i = \sigma_i(\varepsilon_i)$  не зависят от вида напряженного состояния, для данного материала ее можно определить экспериментально, поскольку любой вид нагружения, например одноосное растяжение. Для простейшего  $\sigma_1 = \sigma$ ;  $\sigma_2 = \sigma_3 = \theta$ ;

$\varepsilon_1 = \varepsilon$ ;  $\varepsilon_2 = \varepsilon_3$ . Подставив его в уравнение  $\sigma_1$  по (2.14) и  $\varepsilon_1$  по (3.12), найдем  $\sigma_1 = \sigma$ ;  $\varepsilon_1 = \varepsilon - \varepsilon_0$ . С учетом (3.8) и  $\sigma_0 = \sigma_0/3$   $\varepsilon_0 = \varepsilon - \frac{1-\nu}{3E} \sigma$ .

Таким образом, зависимость  $\sigma_1 = \sigma_1(\varepsilon_1)$  можно получить путем простейшего эксперимента образца двурамки нагруженной при растяжении.

Подставив в  $\sigma_1$  по (3.12) значения компонентов деформаций по уравнению (3.10). В результате при учете (2.14) получим  $\sigma_1 = \frac{\sigma_0}{\sqrt{3}} \Psi \varepsilon_1$ . Выразив отсюда  $\Psi$  и подставив его в (3.10), найдем

$$\sigma_x - \sigma_0 = \frac{3\sigma_0}{\sqrt{3}E} (\varepsilon_x - \varepsilon_0); \quad \tau_{xy} = \frac{\sigma_0}{\sqrt{3}E} \gamma_{xy}; \quad (3.13)$$

В такой форме уравнения были предложены А.А.Колмогоровым [54] и получили широкое применение при решении равноосных задач, особенно в швейной отрасли.

Предложенные уравнения можно использовать только для случая нагружения (активной деформации). При этом условием является то, что в процессе деформирования величина напряжений  $\sigma_i$  не уменьшается, т.е.  $d\sigma_i > 0$ . Если  $d\sigma_i < 0$ , имеет место разгрузка (пассивная деформация), которая происходит упруго (см. § 2). В этом случае связь между приращением напряжений и деформацией определяется законом Гука.

**3.3. Теория течения.** Уравнения теории течения можно построить, используя систему деформаций, аналогичную приведенной выше при рассмотрении теории деформаций. Для этой цели можно ввести в рассмотрение скорости пластической деформации:

$$\dot{\epsilon}_1^p = \frac{d\epsilon_1^p}{dt}; \dots; \frac{1}{2} \dot{\epsilon}_{xy}^p = \frac{1}{2} \frac{d\epsilon_{xy}^p}{dt}; \dots \quad (3.44)$$

Это — компоненты вектора скорости пластических деформаций. Напомним, что время  $t$  здесь условно и является любым параметром, от которого зависит величина деформаций.

Исходя из гипотезы могут быть сформулированы следующие соотношения:

- 1) изменение объема подчинено закону Гука;
- 2) компоненты вектора скорости пластических деформаций являются пропорциональными компонентам вектора напряжений.

Первое приводит к (3.8), второе к

$$\frac{\dot{\epsilon}_i^p}{\sigma_i - \sigma_0} = \dots = \frac{1}{2} \frac{\dot{\epsilon}_{xy}^p}{\tau_{xy}} = \dots = \lambda^p, \quad (3.45)$$

откуда

$$\dot{\epsilon}_i^p = \lambda^p (\sigma_i - \sigma_0); \quad \dot{\tau}_{xy}^p = 2\lambda^p \tau_{xy}; \quad (3.46)$$

Это уравнения А.Тейса. Их следует дополнить численным значением скорости упругих деформаций по закону Гука (2.8).

Для определения коэффициента пропорциональности  $\lambda^p$  в уравнениях (3.46) можно ввести дополнительное гипотетическое условие. Оно может быть сформулировано аналогично гипотезе единой кривой: интенсивность напряжений  $\sigma_i$  является функцией интенсивности скорости пластических деформаций  $\dot{\epsilon}_i^p$ , не зависящей от вида напряженного состояния (гипотеза Ф.Джонста). Здесь

$$\dot{\epsilon}_i^p = \frac{\sigma_i}{\tau} \sqrt{(\dot{\epsilon}_1 - \dot{\epsilon}_2)^2 + (\dot{\epsilon}_2 - \dot{\epsilon}_3)^2 + (\dot{\epsilon}_3 - \dot{\epsilon}_1)^2}. \quad (3.47)$$

Определять вид зависимости  $\sigma_i$  от  $\int \dot{\epsilon}_i^p dt$  можно, как и в теории деформаций, пользуясь диаграммой растяжения. Для одноосного напряженного состояния  $\dot{\epsilon}_1^p = \dot{\epsilon}^p$ ;  $\dot{\epsilon}_2^p = \dot{\epsilon}_3^p = -\frac{1}{2} \dot{\epsilon}^p$ . (Последнее вытекает из условия, что

пластические деформации не изменяют объема.) Тогда по (3.47)  $\dot{\epsilon}_1^p = \dot{\epsilon}^p$  и соответственно, поскольку для

рассматриваемого случая направления деформаций в процессе нагружения не меняется,  $\int \dot{\epsilon}_i^p dt = \epsilon^p$ . Такие соотношения зависимости  $\sigma_i$  от  $\int \dot{\epsilon}_i^p dt$  для одноосного растяжения совпадают с зависимостью  $\sigma - \epsilon^p$  и может быть получена по диаграмме растяжения путем несложного пересчета по абсциссе (исключая упругую составляющую удлинения).

На основании сформулированных в начале параграфа всех законных в данной мере предположений, если оперировать не скоростью пластических деформаций, а приращениями этих деформаций. При этом величина деформации может служить условием  $\dot{\epsilon}_i^p > 0$ .

**3.4. Ассоциированный закон течения.** Рассмотрим ниже формулировку функциональных уравнений в теории течения — так называемый ассоциированный закон течения, полученный в последние годы весьма широкое распространение. Для этого введем понятие потенциальной энергии — некоторой функции компонентов напряжений  $\sigma = \sigma(\sigma_1, \dots, \tau_{xy}, \dots)$ , частные производные от которой

Во всех компонентах пропорциональным соответствующим компонентам скорости пластических деформаций:

$$\dot{\epsilon}_x^p = \lambda^p \frac{\partial \dot{\gamma}}{\partial \sigma_x}; \dots; \dot{\gamma}_{xy}^p = \lambda^p \frac{\partial \dot{\gamma}}{\partial \tau_{xy}}; \dots \quad (3.18)$$

Все составляющие имеют простой геометрический смысл. Если рассмотреть  $\sigma_x, \dots, \tau_{xy}$  как декартовы координаты многомерного пространства (пространства напряжений), то уравнение  $f=0$  изображает в нем некоторую поверхность. Компоненты скорости пластических деформаций  $\dot{\epsilon}_x^p, \dots, \dot{\gamma}_{xy}^p, \dots$  можно рассмотреть как составляющие вектора  $\dot{\Gamma}^p$  в том же пространстве. Тогда выражения (3.18) означают, что вектор  $\dot{\Gamma}^p$

направлен по нормали к поверхности  $f=0$  в точке, соответствующей данному напряженному состоянию. Неважно отметить, что для изотропного материала свойством пластического потенциала обладает условие пластичности  $f=0$  [49, 55, 82, 166] и вместо (3.18) написать

$$\dot{\epsilon}_x^p = \lambda^p \frac{\partial f}{\partial \sigma_x}; \dots; \dot{\gamma}_{xy}^p = \lambda^p \frac{\partial f}{\partial \tau_{xy}}; \dots \quad (3.19)$$

Все уравнения известны под названием «основного закона течения». Условие пластичности  $f=0$  описывает на поверхности нагружения поверхность текучести (рис. 8)<sup>4</sup>, и вектор  $\dot{\Gamma}^p$  при деформации направлен по нормали к этой поверхности [49, 82].

Посмотрим, как основанный на этом законе течения согласуется с полученными выше уравнениями. В случае зависимости  $f=0$  от трех осей пластичности Ильюша (2.13), предположив прежде всего в квадрате  $f = \sigma_1^2 - \sigma_2^2 = 0$ . Если это подставить в выражения (3.19), получим уравнения, совпадающие с уравнениями

<sup>4</sup> Здесь и ниже на рисунках для наглядности мы изображаем только двумерные для простоты напряженные состояния в главных напряжениях.

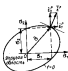


Рис. 8. Кривая текучести и вектор скорости пластической деформации.

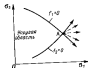


Рис. 9. Направление вектора скорости пластической деформации в угловой точке.

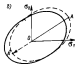
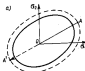


Рис. 10. Поверхности нагружения при изотропии (а) и трансанизотропии (б) упругости.



Рис. 11. Простой (а) и сложный (б) случаи нагружения.

Рейса (3.16) с точностью до постоянного множителя. Если принять в качестве  $f = 0$  условие пластичности Треска, нетрудно убедиться в том, что ассоциированный закон (3.19) не совпадает с уравнением Рейса. Его тем не менее не дает основной отклик ассоциированный закон в сочетании с условием пластичности Треска. В такой форме он является широко применимым для расчета эласто-пластичных систем.

**3.5. Обобщенный ассоциированный закон течения.** Применительно ассоциированного закона течения выкажет целый ряд специфических вопросов. В отличие от условия пластичности Ильюса условием пластичности Треска - критерием-линейно; отмеченная ему поверхность текучести имеет ребор (в плоской задаче точки), для производных от  $f$  протравливает реборы. Здесь норма в поверхности текучести не имеет единственного направления. Для таких точек предполагается, что вектор скорости пластических деформаций может быть направлен произвольно в пределах вектора, образующего нормаль к поверхности текучести, охватывая в этой точке. На рис. 9 рассмотренная точка обозначена буквой  $A$ ;  $f_1 = 0$  и  $f_2 = 0$  - уравнения поверхности, содержащая в этой точке. Сплошными стрелочками обозначены векторы в точке  $A$ , направленные по нормаль соответственно к  $f_1 = 0$  и  $f_2 = 0$ ; пунктирные стрелочки - возможные направления вектора  $\dot{\epsilon}$ .

Тогда ассоциированный закон можно написать как линейную комбинацию законов для поверхностей, принадлежащих в точке  $A$ :

$$\dot{\epsilon}_i^p = A_i^1 \frac{\partial f_1}{\partial \sigma_x} + A_i^2 \frac{\partial f_2}{\partial \sigma_x} ; \dots \quad (3.20)$$

где  $A_i^1$  и  $A_i^2$  - произвольные неотрицательные коэффициенты пропорциональности.

До сих пор речь шла об идеальном пластическом материале. Ассоциированный закон течения успешно используется для металлов, обладающих упрочнением. В этом случае создается понятие поверхности нагружения. Поверхность нагружения и поверхность текучести представляют собой граничную упроченную остовную материальную, выходящую в стадии упрочнения. С ростом напряжений для упрочняющегося материала поверхность текучести выдвигается (деформируется, перемещается), прикре-

пляет к поверхности нагружения. Этот выдвиганием может быть предельный критерий, что дает большую возможность в выборе поведения материала в зоне упрочнения. При так называемом упрочнении и упрочнении и поверхность нагружения выдвигается как результат разнородного расширения поверхности текучести (рис. 10, а). Произвольные или типичные упрочнения приводят к анизотропному упрочнению. Эффект Бауэнгера здесь учесть нельзя (стрелки  $OA$  и  $OA'$  равны). При так называемом трансформационном упрочнении и поверхность нагружения выдвигается с поверхностью текучести, если последние как геометрически неизменяемую фигуру перемещается в направлении деформации (рис. 10, б; поверхность текучести - сплошная линия, поверхность нагружения - пунктирная линия). В этом варианте эффект Бауэнгера, на прямой мере пластического, часто объясняется (стрелки  $OA$  и  $OA'$  не равны). Известная также возможность расширения и сжатия поверхности текучести выдвигается и др. [55].

Если выдвигание поверхности нагружения, то применяемый ассоциированный закон не отличается от обычного вида, только в уравнении (3.19) под  $f = 0$ , а в (3.20) под  $f_1 = 0$  и  $f_2 = 0$  понимается соответственно не поверхность текучести, а поверхность нагружения.

**3.6. Ассоциированный закон в теории деформаций.** В форме ассоциированного закона могут быть получены функционалы упрочнения в рамках теории деформаций. Допустим, что вектор пластической составляющей деформации  $\dot{\epsilon}^p$  (не ее вектор скорости пластической деформации) направлен по данной нормали к поверхности текучести (поверхности нагружения).

Тогда вытекают (3.19)

$$\epsilon_i^p = \gamma \frac{\partial f}{\partial \sigma_x} ; \dots ; \gamma_{xy}^p = \gamma \frac{\partial f}{\partial \sigma_{xy}} ; \dots \quad (3.21)$$

Если в качестве  $f = 0$  взять условие пластичности Ильюса по (2.13), то после дифференцирования по пределу и упрочнению, отмеченному от пластической составляющей упрочнения Рейса по (3.11) на постоянный множитель. Если в качестве  $f = 0$  взять условие пластичности Треска, не получим такой же вытекающей упрочнения Рейса, как в теории течения для ассоциированного случая - упрочнения Рейса. Уравнение (3.21) можно написать в следя-

процессом закона деформирования.

**1.1. Сопоставление теории деформаций в твердом теле.** Как видно из вышесказанного, уравнения, которые дает теория деформаций, проще уравнений теории течения. Поэтому, естественно, в рамках теории деформаций удается получить решение большого числа практических задач. Однако хорошее сопоставление результатов экспериментов с теорией дает в случае ограниченного числа случаев по сравнению с теорией течения. Теория деформаций всегда хорошо себя оправдывает при рассмотрении так называемого простого нагружения.

Простым называется нагружение, при котором во всех точках тела все компоненты дивергента напряжений растут пропорционально одному параметру. (Если это условие не выполняется, нагружение называется сложным.) А.А.Ильинским показано, что для несжимаемого материала (при  $\theta = 0$ ) в тех случаях, когда зависимость  $\sigma_1 = \sigma_1(\epsilon_1)$  имеет вид степенной функции  $\sigma_1 = A \epsilon_1^n$ , простое нагружение возможно, если все внешние нагрузки, действующие на тело, возрастает пропорционально одному параметру  $[\epsilon_1]$ . Это условие выполняется теорией о простом нагружении. Она позволяет также и для некоторых других частных случаев зависимости  $\sigma_1 = \sigma_1(\epsilon_1)$ . Однако эту теорию нельзя считать универсальной для произвольной зависимости  $\sigma_1 = \sigma_1(\epsilon_1)$ .

Эксперименты показывают, что теория деформаций дает вполне удовлетворительные результаты также при рассмотрении нагружения, близкого к простому, когда соотношения компонентов дивергента напряжений изменяются не слишком сильно и могут рассматриваться как возмущения вокруг простого нагружения, которое и является простым нагружением (рис.12). При этих типах сложного нагружения результаты экспериментов обычно лучше согласуются с теорией течения. А.А.Ильинским показано, что при простом нагружении теория деформаций и теория течения приводят к одинаковым результатам [55].

Рассмотрим сложное, сопоставим несоизмеримый закон течения и несоизмеримый закон деформирования. Вначале ограничимся рассмотрением идеальной пластической среды. При простом нагружении, когда компоненты дивергента напряжений имеют пропорционально одному параметру, в пространстве напря-

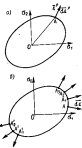


Рис.12. Простое (а) и сложное (б) нагружения.

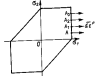


Рис.13. Анизотропный закон течения в условии пластичности Треска.

ный путь нагружения изображает прямой (рис.12,а). После деформации материала в пластической области действующие напряжения будут соответствовать точке А на поверхности течения, которая является пересечением поверхности пластической деформации  $\bar{\sigma}_1^p$  и поверхности во внешней области и поверхности течения. В теории течения аналог пересечения (попросту) пластической деформации  $\bar{\sigma}_1^p$  и поверхности течения для произвольных значений напряжений является не будет. Это дает право для произвольных суммарной величины пластической деформации  $\bar{\sigma}_1^p$  изобразить ее проектированием на поверхность течения  $\bar{\sigma}_1^p$ , т.е.  $\bar{\sigma}_1^p = \int dr^p$ . При этом, естественно, направления векторов  $d\bar{\sigma}_1^p$  и  $\bar{\sigma}_1^p$  будут совпадать. Отсюда следует, что вектор  $\bar{\sigma}_1^p$  также направляет во внешней области и поверхности течения, что является основным допущением в несоизмеримом законе деформирования. Выяснит, выделено  $\bar{\sigma}_1^p$  по теории течения и теория деформаций будут совпадать. При сложном нагружении, поскольку соотношения компонентов дивергента напряжений изменяются, в пластической области точка А

будет действовать на поверхность текучести и, следовательно, будет меняться направление вектора  $\vec{d}\vec{x}^P$  (точки  $A_1, A_2, A_3$  на рис.12,б). Тогда, если вычислять  $\vec{T}^P$  по величине  $d\vec{x}^P$ , нужно прибегнуть к геометрическому суммированию последних: алгебраическое суммирование даст неверные результаты. При этом, естественно, направление векторов  $\vec{d}\vec{x}^P$  и их суммы  $\vec{T}^P$  совпадают не будут, и если  $d\vec{x}^P$  направлена по внешней нормали к поверхности текучести, то  $\vec{T}^P$  будет иметь иное направление.

Таким образом, соответствия между предельными теориями деформаций и теориями напряжений не получается, следовательно, не совпадают и результаты. Если напряжение связано и прочностью, все означает, что в пластическом состоянии точка  $A^1$  (рис.12,б) на поверхности текучести будет колебаться вокруг своего среднего положения (точки  $A_1^1$  и  $A_2^1$ ). Соответственно будет изменяться и направление векторов  $\vec{d}\vec{x}^P$ . Если отклонения от среднего положения не слишком велики и в первом приближении в обе стороны, то направление суммарного вектора  $\vec{T}^P$  будет близким к нормали в точке  $A$ . Это и оправдывается близостью результатов теории деформаций и теории течения.

Если поверхность текучести кусочно-линейна, как в условиях пластичности Треска, и при данном нагружении точка  $A$  остается в пределах одного линейного участка поверхности (рис.13), то направление вектора  $\vec{d}\vec{x}^P$  остается неизменным. Следовательно, здесь допустимо алгебраическое суммирование  $\vec{d}\vec{x}^P$ , направление векторов  $\vec{d}\vec{x}^P$  и  $\vec{T}^P$  совпадают, и значит, в этом случае теория деформаций и теория течения должны давать одинаковые результаты. Аналогичные рассуждения применимы и при рассмотрении упругопластического материала.

**3.8. Обобщенные напряжения и деформации.** Ассоциативный закон может быть написан в обобщенных напряжениях и деформациях. Под обобщенными деформациями понимается любая совокупность независимых величин  $\gamma_k$  ( $k = 1, 2, \dots$ ), которая полностью определяет деформации в рассматриваемом объеме, под обобщенными напряжениями  $\hat{Q}_k$  - такие величины, из которых можно вычислить направление соответствующих обобщенных деформаций, чтобы подсчитать направление работы внутренних сил  $W_{\hat{Q}_k}$  (за счет возникающих при этом направленных действительных деформаций):

$$\delta W_{\hat{Q}_k} = \sum_k \hat{Q}_k \delta \gamma_k. \quad (3.22)$$

Если устранить  $\delta \gamma_k$  к нулю и подставить правую и левую части во  $d\vec{x}$ , получим

$$\dot{W}_0 = \sum_k \hat{Q}_k \dot{\gamma}_k; \quad \dot{\gamma}_k = \frac{d\gamma_k}{dt}; \quad \dot{W}_0 = \frac{dW_0}{dt}, \quad (3.23)$$

где  $\dot{\gamma}_k$  - обобщенная скорость деформации.

Если представляется возможность разделить  $\gamma_k$  на упругую и пластическую составляющие  $\gamma_k = \gamma_k^e + \gamma_k^p$ , то ассоциативный закон течения по (3.19) можно представить так

$$\dot{\gamma}_k^p = A_k \frac{\partial \Phi}{\partial \hat{Q}_k}; \quad k = 1, 2, \dots \quad (3.24)$$

где  $\Phi = 0$  - условие пластичности, выраженное через обобщенные напряжения. Соответствующий ассоциативный закон деформирования по (3.21)

$$\dot{\gamma}_k^e = \dot{\gamma}_k - \dot{\gamma}_k^p; \quad k = 1, 2, \dots \quad (3.25)$$

Эти представления, как будет показано ниже, во многих случаях позволяют существенно упростить решение задачи. Кроме того, рассматривая вопросы теории упругости можно сослаться на [49, 55, 57, 103, 216]; см. также обзор [24, 40, 53, 90] и др.

#### § 4. Теория предельного равновесия

**4.1. Постановка и задачи теории предельного равновесия.** При расчете конструкций из пластического материала в первую очередь необходимо определить напряжения, деформации и перемещения, возникающие в конструкции от действия заданных внешних сил, может быть такая постановка задачи определена тем количеством предельной нагрузки конструкции. Методы решения этой задачи рассматриваются в теории предельного равновесия. Важным элементом ее особенности является простейший пример.

Рассмотрим равновесие предельного стержня, под действием которого материал изогнется упругопластическим (упругая часть стержня см. рис. 2, 4). С ростом растягивающей силы  $P$  стержень деформируется упруго, или нормально упругоэластично  $\sigma$ , возникающая в его поперечных сечениях, не достигнет предела текучести  $\sigma_T$ . При  $\sigma = \sigma_T$ , что соответствует значению силы  $P = P_0 = \sigma_T F$

( $F$  - площадь поперечного сечения стержня), стержень начнет деформироваться пластически. Его удлинение будет расти без заметных нагрузок (пластическая текучесть) и лишь не существенно, поскольку не предположили, что материал не обладает упругостью. Дальнейшее рост внешней нагрузки невозможен:  $P_0$  - та максимальная (предельная) нагрузка, которую может выдержать стержень.

Обратим внимание на то, что для определения предельной нагрузки  $P_0$  важными являются особенности деформирования стержня при нагрузках, меньших  $P_0$ . Этот эффект - следствие взаимодействия изогнутого упругоэластичного стержня, возникшего его деформации при  $P < P_0$ ; в данном примере не учитывались возможные явления поперечного сечения стержня в процессе нагружения.

При такой постановке очевидно, что результат не изменится, если считать материал стержня идеальным жесткопластическим (см. рис. 2, 4), полагаем, что при  $P < P_0$  деформаций стержня не происходит.

Таким образом, выше рассмотрены не совместно единственными его результатом является определение предельной нагрузки. Под предельной нагрузкой понимается такое характерное значение внешней нагрузки, при котором возникает развитие в материале пластических деформаций перемещения стержня от себя теоретически неограниченными.

Задача решается при следующих предположениях:

- материал конструкции не обладает упругостью, можно считать его идеальным жесткопластическим;
- изогнутые геометрические конструкции в результате деформаций считаются жесткими, задачи решаются в геометрически неизменной постановке.

Добавим, что в теории предельного равновесия не рассматриваются задачи устойчивости. Поэтому при определении предельных нагрузок предполагается, что конструкция в ее элементах устойчивости не терпит. Также существенно, что для определения предельной нагрузки нет необходимости анализировать деформации конструкции при  $P < P_0$ ; достаточно рассмотреть ее равновесие в предельном состоянии, когда в конструкции появились максимальные перемещения. Это характерно для методов теории предельного равновесия, а во многих случаях весьма значительное упрощение получается результатом, практический приемлемости метода, однако, ограничено рамками указанных предположений (справедливость этих предположений доказать не всегда удается).

Сформулированные допущения позволяют идти более строго к определению предельной нагрузки: считать ее таковой значением внешней нагрузки, при котором в конструкции не идеальном жесткопластическом материале возникает перемещение, отличное от нуля. Поскольку не задана равновесия в геометрически неизменной постановке, указанные перемещения определяются непосредственно и формально могут принимать любые значения. Члены разра-

нить эту неопределенность, найти переменные и оценить конечные конструкции после достижения предельной нагрузки, а также отклониться от допущения о малой деформации геометрии конструкции в результате деформаций и найти solution в геометрии деформированной системы. Тогда вычислится (см.гл.3), что в одних случаях предельная нагрузка, как в приведенном выше примере, является максимальной нагрузкой, которую может выдержать конструкция из идеального упругоупругого материала, в других - для указанного материала, при котором в такой конструкции возникает прогиб; для роста прогиба, однако, требуется дальнейшее увеличение нагрузки.

Сказанное уже свидетельствует о том, что достижение в реальных конструкциях предела упругости не является критерием для рассмотрения или очерчивания несущей способности конструкции. При оценке последней нельзя не считаться с возможной потерей устойчивости системы тонкостенными элементами конструкции (примеры учета этих эффектов при определении предельной нагрузки приведены в § 17), с взаимодействием возникающих балок изгиба (или изгиба и кручения в § 10 и 24), общей потери устойчивости конструкции (см. § 23) и другими факторами. Может произойти и внезапное упрочнение материала (см. § 22). Поэтому вычисленные предельные значения предельной нагрузки в приведенной выше траектории для оценки несущей способности реальных конструкций действительно требуют специального анализа. Здесь можно лишь сказать, что применительно к указанному виду достижения предельной нагрузки обычно означают наличие в нем заметных остаточных прогибов, которые с меньшей дефектной несимметричностью или координатами. Более подробно эти вопросы освещены в заключительной главе.

#### 4.2. Предельный момент сечения балки при чистом изгибе.

Рассмотрим процесс развития пластических деформаций в сечении балки из идеального упругоупругого материала при чистом изгибе. В упругой стадии распределение нормальных напряжений по высоте сечения линейно (рис.14,а). С ростом изгибающего мо-

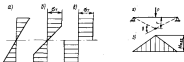


Рис.14. Распределение напряжений по высоте сечения балки в упругой (а), упруго-пластической (б) стадиях и при предельном состоянии (в).



Рис.15. Схема балки (а) и ее изгиба М (б).

мента  $M$  в точках сечения, наиболее удаленных от нейтральной оси, напряжения  $\sigma$  достигают предела текучести материала  $\sigma_y$ . Если считать идеальным всем, которое при дальнейшем увеличении  $M$  расширяется в направлении к нейтральной оси (рис.14,б). Когда пластические зоны соприкоснутся (рис.14,в), по всей высоте сечения нормальные напряжения будут равны  $\sigma = \pm \sigma_y$ . Поскольку материал не обладает упрочнением, дальнейший рост  $\sigma$  и, следовательно,  $M$  невозможен. Это означает, что достигается предельное состояние сечения. Ему отвечает предельный момент сечения  $M$  - наибольшая величина, которую может выдержать сечение балки из идеального упругоупругого материала, будучи полностью охваченным пластическими деформациями.

Для определения предельного момента  $M_0$  воспользуемся условием равновесия элементов в изогнутой балке в сечении:

$$\int \sigma z dF = M, \\ \int \sigma dF = 0; \quad (4.1)$$

где  $F$  - площадь поперечного сечения балки.

Если совместить нулево координат с нейтральной осью сечения и подставить в (4.1)  $\sigma = \pm \sigma_T$ , то

$$\sigma_T \int_{F_+} dF - \sigma_T \int_{F_-} dF = 0; \quad \sigma_T \int_{F_+} z dF - \sigma_T \int_{F_-} z dF = M_0, \quad (4.2)$$

где  $F_+$  и  $F_-$  - соответственно растянутой и сжатой части площади сечения.

Из формул (4.2)

$$F_+ = F_- = \frac{1}{2} F; \quad (4.3)$$

$$\left. \begin{aligned} M_0 &= \sigma_T W_0; \quad W_0 = S_+^* + S_-^*; \\ S_+^* &= \int_{F_+} z |dF; \quad S_-^* = \int_{F_-} z |dF, \end{aligned} \right\} \quad (4.4)$$

где  $W_0$  - предельный момент сопротивления сечения;  $S_+^*$  и  $S_-^*$  - статические моменты соответственно растянутой и сжатой частей сечения, вычисленные относительно нейтральной оси.

Таким образом, в предельном состоянии и нейтральная ось лежит по площади сечения пополам.

**4.3. Предельная нагрузка балки.** Рассмотрим прямоугольную однопролетную шарнирно-опертую балку, нагруженную сосредоточенной силой  $P$  в середине пролета, концы которой при качбе могут беспрепятственно обдвинуться (рис.15). В месте  $P$  в средней части балки напряжения достигнут  $\sigma_T$ ; здесь возникает пластическая зона. Увеличение изгибающих моментов  $M$  возможно лишь, пока наибольший изгибающий момент в балке  $M_{max}$  не достигнет величины предельного момента  $M_0$ . Нагрузку  $P$ , при которой

$$M_{max} = M_0, \quad (4.5)$$

мы будем рассматривать как предельную нагрузку  $P_0$ . Превышение этой нагрузки приводит к  $M_{max} > M_0$ , что для балки из сплошного изотропного материала невозможно. В данном примере  $M_{max} = \frac{Pl}{4}$  ( $l$  - длина пролета балки). Подставим его в (4.5), найдем

$$P_0 = \frac{4M_0}{l}. \quad (4.6)$$

Рассмотрим особенности деформирования балки при  $P = P_0$ .

Сечение под силой, в котором достигнут предельный момент, является охвачено пластическими деформациями, и напряжения в нем удлинению могут неограниченно возрастать, что приведет к образованию здесь слезы оси балки<sup>2</sup>. Форма арки балки при этом приобретает такой вид, как если бы в рассматриваемом сечении произошел шарнир (см. изображение изогнутой оси балки пунктиром на рис.15,а).

Эту аналогию широко используют в теории предельного равновесия деформированного состояния сечения балки, в котором действует ее нарастающий момент, равный предельному моменту  $M_0$ , как будто с ее пластическим шарниром. После появления в балке пластического шарнира она превращается в двушарнирную жесткопластическую конструкцию (пластический механизм). Возможные прогибы в шарнире пролета балки могут возрастать неограниченно, и это является ее предельным состоянием.

Рассмотрим другой пример: аналогично однопролетной балке с жесткими опорами по концы нагружена равномерно распределенной нагрузкой интенсивностью  $q$  (рис.16,а). Балка в упругой стадии статически неопределима. Наибольший момент в опорном сечении  $M_{оп} = -\frac{ql^2}{12}$ , а наибольший изгибающий мо-

<sup>2</sup> Одна из причин серого доломателства этого явления приведены в гл.6.

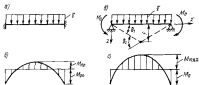


Рис.16. Силы и моменты  $M$  балки: а, б - в упругой стадии; в, г - в предельном состоянии.

мент в пролете  $M_{np} = \frac{qL^2}{8}$ . Поскольку  $|M_{01}| > |M_{02}|$

первые пластические деформации возникнут в сечении заделки: с ростом нагрузки будет достигнута  $M_{01} = M_0$  и, следовательно, возникнет статический шарнир. Это, однако, не означает наступления предельного состояния балки.

При дальнейшем росте нагрузки лишь прекратится рост максимальных моментов в заделках и тем является осью балки. Балка превратится в шарнирно-опорную, независимо нагруженную на опоры максимальным  $M_0$  (рис.16,в); возникшие статические шарниры в заделках сделают рассматриваемую балку статически определимой, и дальнейший рост внешней нагрузки не вызовет появления в ней неограниченных перемещений. Поэтому последующее рассмотрение не отличается от рассмотренного выше расчета статически определенной балки, нагруженной сосредоточенной силой. Предельная нагрузка здесь имеет место, когда максимальный момент в пролете  $M_{max} = \frac{qL^2}{8} - M_0$  (рис.16,г) достигнет значения  $M_0$ . Подставив в (4.5) вместо  $M_{max}$   $M_0$  имеем

$$q_0 \sim \frac{16M_0}{L^2} \quad (4.7)$$

В рассмотренном примере можно сказать, что для определения  $q_0$  потребовалось рассмотрение работы балки лишь на последней ста-

дии после образования статических шарниров в сечениях заделок. Благодаря этому при задании предела нагрузки - отпала необходимость в раскрытии статической неопределенности балки. Пластическая механика, образованная в предельном состоянии у рассматриваемой балки (на рис.16,в - пунктирные линии), приближенно не отличается от пластического механизма статически определенной балки (см. рис.15,а); тот же дуговой механизм с тремя шарнирами. Разница лишь в том, что шарниры по концам балки на рис.15,а были конструктивными (шарнирные опоры), а в рассматриваемом примере - статическими.

#### 4.6. Статический метод определения предельной нагрузки.

Как уже неоднократно указывалось выше, для определения предельной нагрузки нет необходимости рассмотрения всей последовательности деформирования конструкции в процессе нагружения - достаточно рассмотреть ее равновесие в предельном состоянии. Однако на некоторых этапах такого рассмотрения использовался тем или иным образом предельный анализ однопролетных балок: использовалась связь между моментом балки, развивавшаяся максимальный изгибающий момент в пролете  $M_{max}$  и приравнялась предельному моменту сечения  $M_0$ , что давало уравнение для определения предельной нагрузки. Если по концам прямоугольной балки есть заделки, можно дополнительно сказать, что в заделках появятся пластические шарниры. В этом случае при использовании связи между максимальным моментом вместо заделок возникает шарнир и приравняется внешний момент, равный  $M_0$ .

Таким образом, во всех случаях мы рассматривали связь моментов в сечениях, когда балка превратится в дуговую пластическую механику, что является для нее предельным состоянием. Равновесие балки обосновывается при определении максимальных моментов, а согласно (4.5) на в одной из точек балки возникает перемещение не превосходит  $\delta_T$ , так как в любом сечении  $M \leq M_0$ . Следовательно, (4.5) играет роль условия пластичности и служит уравнением для определения предельной нагрузки. Характерно, что использовались выше уравнения, в част-

ности взаимосвязи, характеризующие деформации и перемещения балки, не было необходимости.

Такой метод определения предельных нагрузок называется статическим методом; рассмотренные особенности расчета охватываются в любой задаче; достаточно использовать уравнения равновесия (в общем случае это дифференциальные уравнения равновесия и граничные условия на концах балки) и условия пластичности; деформации и перемещения в расчетах не фигурируют.

#### 4.5. Кинематический метод определения предельной нагрузки.

Другой путь исследования равновесия конструкции в предельном состоянии - использование понятия виртуальных перемещений:

$$\delta(U - W) = 0, \quad (4.8)$$

где  $U$  - работа внешних сил;  $W$  - работа внутренних сил, т.е. сумма внутренних работ внешних и внутренних сил системы, входящих в равновесие, на возможных перемещениях равна нулю. Как известно, (4.8) приводит к системе уравнений

$$\frac{\partial U}{\partial q_k} = \frac{\partial W}{\partial q_k}, \quad k = 1, 2, \dots, \quad (4.9)$$

где  $q_k^m$  - обобщенные перемещения.

Иногда допущения теории предельного равновесия позволяют писать в (4.9) уравнения. На предположении, что материал - идеальный жесткопластический, складует работу внутренних сил сводятся только в связи с пластическими деформациями материала. Поэтому она эквивалентна, превращаясь в тепло, которое выделяется в окружающем пространстве, и называется  $q$  и  $q^m$ .

в  $\delta$  рассуждениях  $D$ . То же допущение и несимметричные линейные перемещения выдвигают предположение, что в предельном состоянии изменению перемещений и деформаций происходит при постоянных значениях внутренних сил, а сами перемещения и деформации связаны между собой линейными соотношениями. Вследствие этого работы внешних и внутренних сил связываются линейными функциями перемещений, что позволяет в (4.8) отбросить эти переменные.

Кинематический метод определения предельных нагрузок обычно основывается на использовании равенств в предельном состоянии работы внешних сил  $U$  и внутренних сил  $D$  (энергии рассеивания)

$$U = D. \quad (4.10)$$

Для выполнения  $U$  и  $D$  должны быть известны формы перемещений.

Обратимся к рассмотренным выше примерам. У балки, нагруженной поперечной силой сосредоточенной силой  $P$  (см. рис. 15, а), в сечении под силой, где действует максимальный изгибающий момент, в предельном состоянии возникает пластический шарнир. Работу внешних сил можно вычислить как  $U = P \delta$  ( $\delta$  - прогиб в сечении под силой). Для определения энергии рассеивания должна быть известна угловая сила  $\theta$  в пластическом шарнире  $\theta = D_p \Delta = M_0 \theta$ .

Поскольку материал - идеальный жесткопластический, а пластические деформации сосредоточены в сечении пластического шарнира, нагрузка ось балки будет представлять собой ломаную, состоящую из двух отрезков прямых. В силу этого, а также из соображений допущения о жесткости материала по сравнению с размерами балки, позволим себе заменить вычисленную угловую вычисленным его тангенса,  $\theta = \frac{\delta}{l}$ . Подставив это в выражение для  $D$ , в зависимости вместо  $\theta$  в (4.10), получим уравнение

$$P \delta = M_0 \frac{\delta}{l},$$

в этом уравнении  $P$  дан индекс - ноль, поскольку здесь нагрузка фигурирует как предельная.

Отсюда  $\beta_0 = \frac{4M_0}{l}$ , что совпадает с результатом, полученным выше статическим методом [формула (4.6)].

Рассмотрим балку с жесткими заделками по концам, нагруженную равномерной распределенной нагрузкой  $q$  (см. рис. 16, в). Работу элементов сдвиг можно определить как  $U = 2 \int_0^{l/2} q \omega dx$ .

Поскольку выгнута вся балка, как и выше, пополам, достаточно

из двух отрезков длины, то при  $\theta \ll \pi \ll \frac{l}{2}$   $\omega = l \frac{\theta^2}{6}$ .

Тогда, выполнив интегрирование, найдем  $U = \frac{1}{2} q l^3 \theta$ . Заметим, что

Тогда  $B = M_0 (2\theta_1 + \theta_2)$ .

Как видно из рис. 16, в,

$$\theta_1 = \frac{2l}{l}, \theta_2 = 2\theta_1 = \frac{4l}{l}.$$

Тогда  $B = M_0 \frac{6l}{l}$ .

Подставляя  $U$  и  $B$  в (4.10), получим уравнение для определения  $q_0$ :

$$\frac{1}{2} q_0 l^3 \theta = M_0 \frac{6l}{l}.$$

Отсюда  $q_0 = \frac{18M_0}{l^3}$ , что совпадает со значением  $q_0$ , полученным выше статическим методом - формула (4.7).

Рассмотренные примеры содержат основные особенности вариационного метода, характерные для любой задачи: задается форма возмущений - вариационный механизм (в примерах - форма прогибов), определяется напряжения, отвечающие этому виду возмущений (в примерах эти напряжения характеризуют предельный моментом сечения), и отыскивается предельная нагрузка, используя начало возможных перемещений в форме (4.10).

Заметим, что выделенные начала возможных перемещений - не обязательная принадлежность вариационного метода. Существует лишь то, что здесь является вариационный механизм и тем или иным методом исследуется его равновесие. Начало возможных перемещений - одна из методов коллиминации равновесия. Другой метод - прямое использование уравнений статического равновесия -

показан выше при рассмотрении предельных нагрузок перекрытий (гл. 4).

**4.6. Вариационная теория теории предельного равновесия.** Возможности выделенных выше статического и вариационного методов определения предельной нагрузки значительно возрастает благодаря существованию экстремальных теорий теории предельного равновесия.

Статическая экстремальная теория состоит из следующих: предельная нагрузка  $P_0^*$ , отвечающая любому статическому допустимому полю напряжений, всегда меньше действительной предельной нагрузки  $P_0$  или равна  $P_0$ :

$$P_0^* \leq P_0, \quad (4.11)$$

Под статически допустимым понимается такое поле напряжений, которое удовлетворяет уравнениям равновесия и граничным условиям в напряжениях; при этом не в одной точке напряжения не превосходят тех, которые имеют условия пластичности. Для определения предельной нагрузки здесь, естественно, используется статический метод.

Кинематическая экстремальная теория состоит из следующих: предельная нагрузка, отвечающая любому кинематически возможному полю перемещений (около точек перемещений)  $P_0^{**}$ , больше действительной предельной нагрузки  $P_0$  или равна  $P_0$ :

$$P_0^{**} \geq P_0. \quad (4.12)$$

Кинематически возможными являются такие поля перемещений (около точек перемещений), которые удовлетворяют граничным условиям в перемещениях. (Для балки, как известно, это - условия ее опоры.) Для определения предельной нагрузки здесь используется кинематический метод. Объединяя (4.11) и (4.12), можно написать

$$P_0^* \leq P_0 \leq P_0^{**} \quad (4.13)$$

Эти неравенства открывают широкие возможности для приближенного решения реальных задач теории продольного равновесия. Приближенно заданное поле напряжений в оболочке, задание его упрощенным решением в соответствующих граничных условиях и определении величины напряжений по условиям единственности (или их ограничения в области  $M_{\text{зад}}$ ), статическим методом находят  $P_0^*$ . Затем приближенно заданное поле перемещений, удовлетворяющее граничным условиям в перемещениях, кинематическим методом находят  $P_0^{**}$ .

На основании экстремальных теорем, и в частности (4.13), можно утверждать, что действительная предельная нагрузка будет лежать между  $P_0^*$  и  $P_0^{**}$ . Близость значений этих величин означает, что полученные решения достаточно близки к точному решению. Когда  $P_0^* = P_0^{**}$ , решение задачи в рамках допущений теории продольного равновесия является точным.

Если  $P_0^*$  и  $P_0^{**}$  существенно различны, есть возможность улучшить результат. Повторив решение, задав напряжениям можно задать с точностью до некоторого числа неопределенных параметров, значения которых, согласно (4.11), можно рассчитать исходя из условия максимума предельной нагрузки. Аналогично ведется и поле перемещений, а неопределенные параметры согласно (4.12) определяются исходя из условия минимума предельной нагрузки.

В настоящей и последующих главах подробно иллюстрируется численными примерами. С количеством экстремальных теорем можно ознакомиться в [49, 95, 82, 516 и др.] .

## § 5. Особоупругие оболочки

5.1. Численно предельных моментов симметричной сферической оболочки. Воспользуемся результатами приведенного параграфа для численного предельных моментов симметричной оболочки конической формы. Упрямую оболочку профиля

и очевидно имеет ось симметрии, которая в факте согласно (4.3) займемной осью. Тогда статические моменты обеих половинок оболочки одинаковы:  $S_1^* = S_2^* = S^* = \frac{\delta h^2}{4}$  (  $\delta$  и  $h$  - ширина и высота сечения), а предельный момент сопротивлений по (4.4)

$$W_0 = 2S^* = \frac{\delta h^2}{2}$$

Для заданного профиля с присоединенными полями (рис.17) предельные моменты:  $F^*$  - величина профиля без присоединенного поля;  $F$  - полное значение сечения (с присоединенным полем);  $S^*$  - статический момент площади профиля относительно присоединенного поля. Толщину присоединенного поля будем считать малой по сравнению с высотой профиля  $h$ .

В начале рассмотрим случай, когда  $F^* \Delta \ll F/2$ . Внутренняя ось здесь располагается в центре профиля (на рис.17 ось симметрии с осью  $\eta$ ), и ее отстояние от присоединенного поля  $x_{\text{ос}}$  можно определять, разделив (4.3) на  $F^* \Delta \ll F/2$ . Это дает

$$x_{\text{ос}} = \frac{1}{2} (F^* - \frac{F}{2}) \quad (5.1)$$



Рис.17. Сечение оболочки.



Рис.18. Сечение оболочки. — — — внутренняя ось.



Рис.19. Сечение оболочки.

Статические моменты площади растнутой и оной частей профилей

$$S_1^* = S' - F' z_{on} + \frac{1}{2} \delta z_{on}^2;$$

$$S_2^* = (F - F') z_{on} + \frac{1}{2} \delta z_{on}^2.$$

Подстановка это в (4.4) с учетом  $z_{on}$  по (5.1), получим

$$W = S' - \frac{1}{2\delta} (2F' - F)^2. \quad (5.2)$$

В случае, если  $F' \leq F/2$ , нейтральная ось располагается в прилегающей пластке и  $S_1^* = S'$ , а  $S_2^* = 0$ .

Тогда

$$W_0 = S'. \quad (5.3)$$

Для данных случаев профилей определяем  $W_0$  удобным способом числами в табличной форме. Такой пример для несимметричного двутрапа с задрозированной стенкой (рис.1В) приведен в табл.1, который можно рассматривать как талочку. Там обозначено:  $z_i$  - отстояние центра тяжести площади сечения  $i$ -го элемента профиля от оси сравнения  $y$ ;  $F_i$  - площадь сечения  $i$ -го элемента (ось сравнения расположена в нижней пластке). В графе 6 таблицы вычисляем сумму членов графы 5 с возрастанием  $i$  от 1 до 5, вычислив для каждой, расположенной в верхней пластке, цифры здесь - сумм площади элемента, отстоящего в правой стороне, и всех элементов, расположенных ниже него. Длины графы 6 дают возможность выписать, пользуясь условием (4.8), в какой элементе профиля располагается нейтральная ось:

$$\frac{z_{k-1}}{2} F_k \leq \frac{F}{2} \leq \frac{z_k}{2} F_k, \quad (5.4)$$

где  $k$  - номер элемента, в котором расположена нейтральная ось.

В нашем примере  $F/2 = 284 \text{ см}^2$ . Из графы 6 видно, что неравенство (5.4) выполняется, если  $k=4$ ;

$$\frac{z_3}{2} F_4 = 268 \text{ см}^2 \quad \text{и} \quad \frac{z_4}{2} F_4 = 288 \text{ см}^2. \quad \text{Тогда}$$

образом, нейтральная ось расположена в нижней части стенки. На рис.1В ее отстояние от оси сравнения обозначено через  $z_{on}$ .

Подставив согласно (4.3) можно найти, составив уравнение

Т а б л и ц а 1. Вычисление продольного момента сопротивления сечению

Элемент		Размеры, мм	$z_i$ , см	$F_i$ , см <sup>2</sup>	$z_i^2 (F_i)$ , см	$(z_i - z_{on})$	$S_i^* (F_i)$
№ (рис.1В)	Наименование						
1	2	3	4	5	6	7	8
1	Верхняя пластка	2000x10	100	200	200	95	19 000
2	Верхняя часть стенки	500x8	75	40	240	70	2 800
3	Ребро жесткости	100x8	50	8	248	45	360
4	Нижняя часть стенки	500x8	25	40	288	20	800
5	Нижняя пластка	2000x14	0	280	568	5	1 400
				568			24 860

$\delta_k z_k + \frac{1}{2} F_k = \frac{F}{2}$  ( $\delta_k$  - толщина  $k$ -го элемента;  $z_k$  - часть высоты этого элемента, расположенная выше нейтральной оси). Отсюда

$$z_k = \frac{1}{\delta_k} \left( \frac{F}{2} - \frac{1}{2} F_k \right). \quad (5.5)$$

В нашем примере  $z_k = \frac{1}{0,8} (284 - 248) = 45,0 \text{ см}$ .

Тогда по

рис.1В  $z_{on} = 50,0 - 45,0 = 5,0 \text{ см}$ .

По вычислениям  $z_{on}$

произведем вычисления в графе 7. Сумма членов в графе 8 дает нам искомый продольный момент сопротивления.

**5.2. Определение продольной нагрузки однопролетных балок.** Рассмотрим общую последовательность определения продольной нагрузки однопролетных двутрапчатых балок (см. также пример § 4).

Сторога говоря, в соответствии с асимптотическими теоремами, каждая задача должна решаться независимо статистическим и аналитическим методами. Если результаты решений совпадают, это свидетельствует о том, что полученные решения в рамках теории предельного равновесия являются точными. (Возможна несколько иной путь: решить задачу аналитическим методом, проверить, удовлетворяют ли полученные напряжения условиям пластичности и уравнениям равновесия; или, соответственно: найти из статистического решения форму перемещений, проверить, выполняются ли равенства работ внешних и внутренних сил и удовлетворяются ли граничные условия по перемещениям). Для однопроцентных балок, однако, при некоторых формах нагрузки равенств часто столь просто, что сомнений в их точности не возникает, и необходимость в этих проверках практически отпадает.

В статистическом методе решение совмещается со условием выполнения изгибающих моментов. Для балки, шарнирно опертой по концам (рис. 19), в предельном состоянии изгибающие моменты  $M(x)$  определяются только величиной и формой поперечной нагрузки:

$$M(x) = M_Q(x), \quad (5.6)$$

и можно воспользоваться условием  $\frac{dM(x)}{dx} = 0$  [или в данном случае  $\frac{dM_Q(x)}{dx} = 0$ ] найти в соответствии с максимумальным моментом  $M_{max}$ , который здесь зависит только от формы нагрузки. Подставляя в (5.6)  $x = c$ , получим

$$M_{max} = M_Q(c) = Pl \sqrt{c}; \quad \bar{c} = \frac{c}{l}, \quad (5.7)$$

где  $P$  — параметр, пропорциональный которому измеряется величина зон соответствующих поперечной нагрузке;  $\sqrt{c}$  — величина, зависящая от  $\bar{c}$  и формы поперечной нагрузки.

Применив  $M_{max} = M_0$  согласно (4.5), найдем предельную нагрузку

$$P_0 = \alpha \frac{M_0}{l}; \quad \alpha = \frac{1}{\sqrt{c}}. \quad (5.8)$$

Если рассуждения владеть, если концы балки жестко заделаны. Отличие от шарнирно-опертой балки здесь будет лишь в величине предельного момента вблизи от концов  $M_0$ , приложенных по концам балки, или в составе изгибающих моментов, образующихся в балках. Также обратим, вместе (5.6) в данном случае  $M(x) = M_Q(x) - M_0$ , где  $M_Q(x)$  — изгибающий момент от поперечной нагрузки в случае шарнирного опирания концов.

Тогда  $\frac{dM(x)}{dx} = \frac{dM_Q(x)}{dx}$  и положение  $M_{max}$

(значения  $c$ ) будет таким же, как и у шарнирно-опертой балки. Значит, останутся неизменными  $\sqrt{c}$  и  $\alpha$ , а условие  $M_{max} = M_0$  здесь приведет к

$$P_0 = 2\alpha \frac{M_0}{l}. \quad (5.9)$$

Из соотношения (5.8) и (5.9) следует, что предельная нагрузка однопроцентной пластической балки жестко заделанной по концам, всегда вдвое больше предельной нагрузки такой же балки при шарнирном опирании со концов.

Существенное отличие возникает, когда один конец балки жестко заделан, а другой шарнирно оперт. Здесь к изгибающим моментам от поперечной нагрузки шарнирно-опертой балки  $M_Q(x)$  добавляется изгибающий момент от  $M_0$ , приложенного в сочленении заделки (например, на прямой опоре).

$$\text{Поскольку } M(x) = M_0(x) - M_0 \frac{x}{l} \quad \text{и} \quad \frac{dM(x)}{dx} = \frac{dM_0(x)}{dx} - \frac{M_0}{l} = 0$$

В связи с этим рассуждением на последнем значении  $C$  — обобщен  $M_{\text{max}}$  в отличие от предыдущих случаев зависит от  $M_0$  и параметра  $P$ :  $c = c(P, M_0)$ . Дифференциал над решением не имеет особенностей, но уравнение  $M_{\text{max}} = M_0$  оказывается невыполнимым относительно  $P_0$ .

В **численном методе** решение в опорных точках балки проводится не столь строго. Работе винтовых свай в общем виде может быть представлена как

$$V = \int_0^l q(x) \omega dx, \quad (5.10)$$

где  $\omega$  — прогиб балки.

Если учесть, что несущая способность однопролетной двухсторонней балки в большинстве случаев сопровождается образованием двухстороннего предельного момента (особые случаи рассмотрены ниже, то нагрузка ось балки — левая, состоящая из двух отрезков прямых (предельная левая на рис.19). Тогда

$$\omega = \begin{cases} f \frac{x}{c} & \text{при } 0 \leq x \leq c; \\ f \frac{l-x}{l-c} & \text{при } c \leq x \leq l; \end{cases} \quad (5.11)$$

$$V = \frac{f}{c} \int_0^c q(x) x dx + \frac{f}{l-c} \int_c^l q(x) (l-x) dx, \quad (5.12)$$

где  $f$  — прогиб в сочлене предельного пластического шарнира (максимальный прогиб);  $c$  — позиция шарнира.

В общем случае величина  $c$  неизвестна. Вспомогательные определяются как

$$D = M_0 (\theta_1 + \theta_2 + \theta_3), \quad (5.13)$$

где  $\theta_1$ ,  $\theta_2$  и  $\theta_3$  — углы slopes в пластических шарнирах (рис.19),

$$\theta_1 = \frac{f}{c}, \quad \theta_2 = \frac{f}{l-c}; \quad \theta_3 = \theta_1 + \theta_2 = \frac{fl}{c(l-c)}. \quad (5.14)$$

Подставив это в (5.13), получим для балки с винтовой нагрузкой на левую

$$D = M_0 f \frac{2l}{c(l-c)}. \quad (5.15)$$

Для шарнирно-опертой балки следует положить в (5.13)

$$\theta_1 = \theta_2 = 0$$

$$D = M_0 f \frac{l}{c(l-c)}. \quad (5.16)$$

Если левый опор шарниран, в правый конец балки жестко заделан, то  $\theta_1 = 0$  и

$$D = M_0 f \frac{l+c}{c(l-c)}. \quad (5.17)$$

Привлекая  $V$  и  $D$  согласно (4.15), получим линейное уравнение статических предельных нагрузок  $P_0$ .

Выясняя из него  $P_0$  оказывается зависящим от  $c$  — обобщенного пластического шарнира. Как указывалось,  $c$  может быть неизвестно. Для его нахождения следует использовать классическую пластическую теорему теории предельного равновесия (§ 4). Взяв для предельной  $c$ , получим при наименьшем возможном статическом моменте. Согласно этой теореме действительным будет тот из них, который дает наименьшую

пределную нагрузку. Следовательно, с целью новата условия на условия максимума  $P_0$ .

**5.2. Пример. Пределная нагрузка балки, нагруженной равномерно распределенной нагрузкой.** Считаем левый конец балки шарнирно-опорным, правый - жестко заделанным. Решим задачу статическим методом, запишем

$$M(x) = \frac{q_1}{2} x^2 - \frac{q_1 x^2}{2} - M_0 \frac{x}{l}$$

Ищем на условиях  $\frac{dM(x)}{dx} = 0$

$$\frac{q_1}{l} = \frac{1}{2} - \frac{1}{2\alpha}; \quad \alpha = \frac{q_1 l^2}{M_0}$$

Подставляем полученное в  $M(x)$ , найдем  $M_{max} = M(c)$ , в  $M(c) = M_0$  дает уравнение  $\alpha^2 - 72\alpha + 4 = 0$ . Корень этого уравнения  $\alpha = 11,66$ . Вычисляем  $q_1$  статическим  $q_1$ , получим

$$q_0 = 11,66 \frac{M_0}{l^2}$$

Используя кинематический метод, рисуем эпюры сил найдем по (5.12) при  $q(x) = q = const$ , что дает  $U^m = \frac{1}{2} q l^2$ . Приравняем ее изогнуте расхождению по (5.17), найдем предельную нагрузку

$$q = \frac{M_0}{l} \frac{1+c}{c(1+c)}; \quad \bar{c} = \frac{c}{l}$$

Условие  $\frac{dq_0}{dc} = 0$  приводит к уравнению  $\bar{c}^2 + 2\bar{c} - 1 = 0$ , корень которого  $\bar{c} = \sqrt{2} - 1 = 0,4142$ . Подстановка последнего и значения для  $q_0$  приводит к результату, полученному статическим методом.

**5.4. Таблица предельных нагрузок однопролетных консольно-балочных систем. Особые случаи.** В табл.2 дан трех случаев вычисления предельной нагрузки при заданных значениях  $\alpha$  - коэффициента предельной нагрузки, позволяющего вычислить ее в форме

$$q_0 = \alpha \frac{M_0}{l^2}; \quad P_0 = \alpha \frac{M_0}{l}; \quad M_1 = \alpha M_0. \quad (5.18)$$

В таблице приняты следующие обозначения. Величины нагрузки:  $q$ ,  $P$  и  $M_1$  - соответственно интенсивность распределенной нагрузки, сосредоточенная сила, сосредоточенный момент;  $l$  и  $c$  - длина пролета и отстояние сосредоточенного шарнира, образующегося в пролете балки, от ее левого конца;

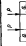
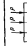
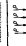
$$\bar{\alpha} = \frac{\alpha}{l}; \quad \bar{b} = \frac{b}{l}; \quad \bar{c} = \frac{c}{l}. \quad (5.19)$$

Балки с жесткими заделками на обоих концах особо не рассматриваются, так как известно ясно, их предельная нагрузка является больше предельной нагрузки шарнирно-опорных балок, а величина  $c$  у обеих балок одинакова. Все балки с шарниром на обоих концах в предельном состоянии образует двухжесткий трехшарнирный статический механизм, формой которого однозначно определяется величина  $c$ . Величинами составляет особые случаи, для которых  $c$  не привязано. У консольных балок в предельном состоянии образуется один шарнир - в заделке. Поэтому  $c$  для них не привязано. (Здесь также есть особые случаи.)

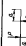
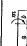
Остановимся на **особых случаях**. У шарнирно-опорной балки, симметрично нагруженной двумя силами  $P$  и  $M_1$  (отрезок 2, табл.2), на участке между силами при  $\alpha \leq 1 \leq c - \alpha$   $M(x) = M_{max} = const$  имеет место частый случай. Поэтому допустим шарниры здесь не привязаны. Нетрудно убедиться, что кинематический метод дает такие же значения  $P_0$  при произвольном изменении значений сил  $P$  и  $M_1$  в пределах этого участка, но симметрично относительно середины пролета, в том числе: для одного шарнира сосредоточен пролетом в двух симметрично расположенных шарнирах в пределах участка.

Частый случай и аналогичная ситуация имеет место также:

8 Таблица 2. Продолжение таблицы 6.

№ п.п.	Схема нагрузки	Для стержневых конструкций					
		$\Delta$	$\delta$	$\alpha$	$\beta$	$\gamma$	$\delta$
1	2	$\alpha$	$\alpha$	$\alpha$	$\alpha$	$\alpha$	$\alpha$
2		$\frac{1}{a \cdot b}$	$\frac{1}{a}$	$\frac{1}{2}$	$\frac{1+\alpha}{\alpha \cdot b}$	$\frac{1}{b}$	$\frac{1}{b}$
3		$\frac{1}{a}$	$\frac{1}{2}$	$\frac{1}{2}$	$\frac{1+\alpha}{a}$	$\frac{1}{2}$	1
4		2	$\frac{1}{2}$	$\frac{1}{2}$	$\frac{1}{b}$	$\frac{1}{2}$	$\frac{1}{b}$
5		$\frac{1}{3}$	$\frac{1}{2}$	$\frac{1}{2}$	$\frac{1}{3}$	$\frac{2}{3}$	$\frac{1}{2}$

ПРОДОЛЖЕНИЕ ТАБЛ. 2

6		$\frac{1}{\alpha(1-\alpha)}$	—	—	$\frac{1}{\alpha}$	$\alpha$	$\frac{1}{1-2\alpha}$
7		1	—	—	1	—	1
8		$\frac{1}{\alpha}$ при $\alpha > \frac{b}{2}$ $\frac{1}{b}$ при $\alpha < \frac{b}{2}$	—	—	1	—	1
9		$\frac{1}{b}$	$\frac{1}{2}$	11,66	$\frac{1}{b}$	0,4102	2
10		$\frac{1}{(1-\alpha^2)^2}$	$\frac{1+\alpha^2}{2}$	$\frac{2(6-2\alpha+5\alpha^2+2\alpha^3)}{3^2(2-\alpha)^2}$	$\frac{1}{b}$	$\sqrt{2-3\alpha+5\alpha^2-1}$	$\frac{2}{3\alpha}$

ПРОДОЛЖЕНИЕ ТАБЛ. 2

№	2	3	4	5	6	7
10		$\frac{a \cdot b \cdot \gamma}{a - b \cdot \gamma}$	$\frac{1 + \sqrt{3}}{2}$	$2 \frac{a \cdot b \cdot \sqrt{3} - 2b^2}{b^2(2 - \sqrt{3})}$	$2 \cdot \sqrt{1 + \sqrt{3} - \sqrt{3}}^2$	$\frac{2}{a(1 + \sqrt{3})}$
11		$\frac{2 \cdot h \cdot (a + b) \cdot \gamma}{b \cdot \sqrt{3} \cdot (a - b \cdot \frac{\sqrt{3}}{2})}$	$a + b$	$\frac{2 \cdot a \cdot b \cdot \sqrt{3} + b^2}{b^2(2 + \sqrt{3})}$	$\sqrt{1 + 2\sqrt{3} - 1}$	$\frac{1}{b}$
12		15,58	0,577 3	20	$\frac{1}{2}$	
13		15,58	0,422 7	21,58	0,347 5	$\frac{1}{2}$

ПРОДОЛЖЕНИЕ ТАБЛ. 2

№	2	3	4	5	6	7
14		$\frac{h}{b \cdot \sqrt{3} \cdot (a + b)}$	$\frac{a + b \cdot \sqrt{3}}{2}$	—	—	$\frac{1}{b}$
15		$\frac{15,58}{b \cdot 0,949 7}$	$\frac{1 + 0,422 7 \sqrt{3}}{2}$	$\frac{24}{1 + 0,577 7}$	$0,419 2 \cdot \sqrt{3} \cdot \frac{1}{2}$	$\frac{b}{2 + \sqrt{3}}$
16		$\frac{15,58}{1 + 0,949 7}$	0,422 7 \cdot \sqrt{3}	$\frac{21,58}{1 + 0,577 7}$	$0,585 8 \cdot \frac{1}{4}$ $0,240 652 7$	$\frac{b}{4 - \sqrt{3}}$

у шарнирно-опертой балки, нагруженной четырьмя силами  $P$  (страни 4), на участке между средними силами; у консоли в балке с одной заделкой, нагруженной сосредоточенными моментами  $M$  (страни 6 и 7); у консоли, нагруженной двумя противоположно направленными силами  $P$ , на участке между консолью и балкой и на балке (страни 5).

У шарнирно-опертой балки, также нагруженной двумя противоположно направленными силами (страни 5), вне моментов несимметричной относительно середины пролета. Соответственно несимметрично и образуются пластические механизмы: в пролете возникает два шарнира при  $x = a$  и  $x = l - a$ ; возникает ось балки - законная, состоящая из трех straight линий; при  $x = l/2$   $w = 0$ .

У шарнирно-опертой балки, нагруженной на опоре сосредоточенными моментами  $M$  (страни 6), пластической механизм возникает шарнир образуются в опорном сечении, которое получает возможность вращаться вокруг опоры; в остальной части балки  $w = 0$ . Также возникают сдвиги механизмы у шарнирно-опертой балки, нагруженной  $M$  (страни 6) в пролете (страни 7 при  $a = b$ ). Здесь возможны сдвиги механизмы: в силу несимметричности опоры  $M$  ( $w$ ) механизм должен быть несимметричным; шарнир в центре от середины пролета на расстоянии  $\Delta$  возникает пластический шарнир. Угол между шарниром и опорой равен  $x = l/2$ ; по оси балки  $\Delta \rightarrow 0, w \rightarrow 0$ . У такой же балки при  $a \neq b$  образуются обычные двуплечные трансформированные механизмы; при  $a < b$  прогиб направлен вниз, при  $a > b$  - вверх в соответствии со знаком  $M_{max}$ . Формулы для балки, нагруженной  $M$  в различных вариантах и в табл. 2 - прилагаются.

**§ 5. О применении принципа независимости действий сил для определения предельных нагрузок.** Практической важности таблиц предельных нагрузок однопролетных балок, которые при-

ведены выше, по сравнению с таблицами элементов упругого метода аналогичных балок можно дать действительную оценку.

С одной стороны, в данных случаях значительно расширяется круг задач, где приведенные выше формулы могут быть использованы непосредственно: выше показано, что только в расчете однопролетных балок прямо следует расчет шарнирных балок, рам с неподвижными узлами, рабы пластических механизмов у перекрестий и рам с подвижными узлами. Кроме того, в § 6 показано, что на предельную нагрузку балки не влияет жесткость опор и консоли; их можно всегда считать жесткими.

Со, с другой стороны, в теории предельного равновесия, как фактически показала теория, нельзя использовать принцип независимости действия сил. Это значит, что нельзя автоматически сложить нагрузку на случаи, приведенные в таблицах, и соответственно предельные моменты отсчитывать на рисунки; для любой нагрузки, которой нет в таблицах, нужно решать задачу заново.

Показано, что тем не менее достаточно широко можно пользоваться определенными предельными нагрузками, где также суммирование возможно. Для самостоятельного использования аналогичных методов. У однопролетной двухопертой балки шарниры расположенные согласно (5.13)-(5.15) может быть представлено как

$$D = M_0 \int_0^1 X(\xi) d\xi, \quad (5.20)$$

где  $X(\xi)$  зависит только от формы распределения опорных сил и  $X = c/l$ .

Аналогично из (5.20)-(5.22) следует, что работа внешних сил определяется как

$$U = P_0 \Psi(\xi), \quad (5.23)$$

где  $P$  - параметр, пропорционально которому изменяется все составленные опорные нагрузки;  $\Psi(\xi)$  - величина, зависящая от формы опорных нагрузок и значений  $c$ .

Приведя формулы  $U$  и  $D$ , получим выражение предельной

$$\text{нагрузки } P_0 = \frac{X(\xi)}{\Psi(\xi)} \frac{M_0}{l}.$$

Отсюда коэффициент



балки (угам поворота в сечении элемента равен нулю, ибо прогибы отсутствуют).

Когда речь идет об упругой податливости или фиксированном смещении опор балки, нужно иметь в виду, что при определенных предельной нагрузке любая статически неопределимая упругая балка благодаря возникшему пластическому шарниру превращается в такую или иную статически определимую балку. Напряженно-деформированное состояние статически определимой балки, как известно, не зависит от смещения опор.

Из сказанного следует, что смещения и податливость опор и заделок балки теоретически не влияют на ее предельную нагрузку, и при определенных предельной нагрузке упругие (определенные) опоры и упругие заделки следует считать жесткими. Сказанное не может быть распространено на упругие или жесткопластические опоры и заделки, когда реакции опор или реакционные моменты в заделке ограничены некоторыми предельными значениями. Значение последних может зависеть от предельной нагрузки балки. С точки зрения мы рассмотрим при рассмотрении предельных нагрузок перерезаний.

Упомянутое выше кратко проверилось экспериментально. Сопоставляя по хорошо известным результатам испытаний перерезанных балок, выполненные в 1928-1929 гг. в Германии Г.Майером-Лейбманом [83]. Он испытывал двухпролетную балку, симметрично нагруженную сосредоточенными силами (рис.20). Средняя опора балки по нагрузке имитирует фиксированное смещение. Результаты испытаний приведены в табл.3. В этой таблице приняты следующие обозначения:  $T$  — балки 3. Данные испытаний двухпролетных балок

Характеристика	Длина балки		
	1	2	3
$\Delta$ — см	0	0,46	-1,42
$P_{(0)}$ — т	3,50	4,67	0
$P_0$ — т	13,1	13,0	13,45



Рис.20. Схема балки (эксперимент Г.Майера - Лейбмана).

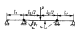


Рис.21. Схема балки.

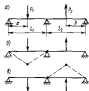


Рис.22. Схема двухпролетной балки (а), ее пластические механизмы (б, в, г) и опорные моменты (д).

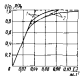
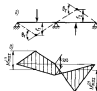


Рис.23. Максимальные прогибы однопролетных балок, жестко заделанных по концу. 1 — балки, нагруженные сосредоточенной силой посредине пролета; 2 — балки, нагруженные равномерно распределенной нагрузкой интенсивностью  $q$ ; — — — треугольный прогиб; - - - — истинный прогиб.

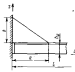


Рис.24. Балка, закрепленная одним концом.

$\Delta$  - величина смещения средней опоры (плюс, если опора смещена вниз; минус, - если опора смещена вверх);  $P_{10}$  - расчетная нагрузка на балку, возникающая в ней вследствие смещения опор, разлик в деформациях;  $P_0$  - экспериментально найденная предельная нагрузка. Из таблица видно, что смещение опор, приводит к существенным изменениям расчетной нагрузки практически во всем диапазоне нагрузки балки  $P_{10}$ .

Вывод о том, что упругая податливость опор в значительной мере влияет на предельную нагрузку балки, в рамках линейной теории предельного равновесия бесспорна, но применимость этих линейных имеет свои границы. Вслед за тем становится известной пример с трехпролетной балкой (рис.21). Крайние пролеты обесцениваются упругой величиной моментов среднего пролета, податливости которых зависят от величины  $l_1/l_2$ . С рассматриваемым положением, предельная нагрузка  $P_0 = \frac{8M_0}{l_2}$  не должна зависеть

от  $l_1/l_2$ . В то же время при  $l_1/l_2 \rightarrow \infty$  средний пролет балки следует считать шарнирно-опорным, в этом случае отвечает в два раза меньшая предельная нагрузка  $P_0 = \frac{4M_0}{l_2}$ .

Получается скачкообразное изменение  $P_0$  при переходе от балки со сплошным упруго податливыми опорами по концам к шарнирно-опорной балке. Это явление и, естественно, противоречит экспериментальным данным [10].

Противоречие разрешится, если учесть упругоэластическую стадию деформирования балки. При больших  $l_1/l_2$  (очень податливые опоры) пластические деформации на средних опорах начнутся соответствующим при больших углах поворота опорных сечений, тогда прогибы балки между опорами станут меньше, а следовательно, уменьшится допущение о малости перемещений, на котором основана теория предельного равновесия.

Наконец-то становится ясным, что в практических расчетах при упругих предельных нагрузках следует применять во внимание только опоры в заделах, обеспечивающие достаточную жесткость, чтобы обеспечить наличие существенных пластических деформаций при относительно малых прогибах. Сделать это можно, используя метод определения прогибов, изложенный в главе параграфа.

**5.2. Упругоэластическая многопролетная балка.** При пропорциональном нагружении многопролетной неразрезной балки опоры ее пролет можно рассмотреть как многопролетную балку с упругими заделками по концам, которые обеспечат гибкой жесткостью смещению пролетов и действующим тем же самой нагрузкой. Но здесь было показано, что податливость заделок на предельную нагрузку балки не влияет, и, если задача есть, то ее лучше рассмотреть как жесткую.

Следовательно, при определении предельной нагрузки неразрезной многопролетной балки на всех ее промежуточных опорах следует пометить жесткие заделки и соответственно считать предельные нагрузки и моменты пролета как шарнирно-опорной балки. Тогда при пропорциональном нагружении предельная нагрузка балки в целом будет равна максимальной предельной нагрузке на члене выбранном для многопролетных пролетов, т.е. предельной нагрузке самого слабого пролета. Дальнейший рост нагрузки на балку невозможен, так как в этом пролете действует нагрузка предельного пролета.

Существенно, что при определении предельных нагрузок неразрезных балок не следует опасаться раскрытия статической неопределенности балки. Это характерно для теории предельного равновесия в целом.

Вышеуказанный метод расчета неразрезных балок может быть применен в следующих случаях:

для балок ступенчато-переменного сечения, если в пределах длины каждого пролета предельный момент сечения постоянен, но для разных пролетов различен;

для свободных случаев нагрузки, когда в сечении пролетах нагрузка имеет разное направление и на опоре между ними не возникает комбинированного момента;

для балки переменного сечения, когда на опорах не возникают пластических шарниров.

Первые два случая рассмотрены ниже, последний в § 7.

**6.3. Балка ступенчато-перевального сечения.** Особенности расчета неразрывных многопролетных балок ступенчато-перевального сечения, когда в пределах длины каждого пролета предельный момент постоянен, но для разных пролетов различен, связаны с тем, что на промежуточных опорах таких балок сложное поведение предельный момент. В расчет на два заданных предельных момента здесь можно закладывать только одну. Действительно, на опоре роств нагрузка на балку в соответствующем предельном состоянии на опоре пластически деформируется первым возникает в балке сносной части балки, приращенной к сечению. После образования той пластического шарнира рост предельного момента на опоре прекращается. Таким образом, у балки ступенчато-перевального сечения, в отличие от прямолинейной, при расчете на пролет как многопролетной однопролетной балки заданные моменты в разных пластических шарнирах могут иметь разные значения.

Предположим, например, рассмотрим средний пролет балки, представленной на рис.22. Пусть  $M_1$  и  $M_2$  - предельные моменты крайнего и среднего пролетов и  $M_1 < M_2$ . Тогда в предельном состоянии моменты в шарнирах на средних опорах будут равны  $M_1$ , а в шарнире над осью  $P - M_2$ .

Соответственно при решении задачи статическим методом неизвестный предельный момент в среднем пролете будет иметь вид

$$M_{max} = \frac{P l_2}{4} - M_1 \quad \text{и должен быть равен } M_2. \text{ Это дает}$$

$$P_0 = \frac{4(M_1 + M_2)}{l_2}.$$

В каноническом методе работы внутренних сил определяются как  $D = 2M_1 \theta_1 + M_2 \theta_2$  и после подстановки значений  $\theta_1$  и  $\theta_2$  (рис.21) в приведенный работе выкладки ося  $D = P l$  даст также то выражение  $P_0$ .

**6.4. Особый случай выкладки.** Особые пластические механизмы в многопролетных неразрывных балках могут возникнуть, когда отдельные пролеты имеют различную предельную нагрузку. Предположим это на примере двухпролетной балки, нагруженной сосредоточенными силами (рис.22,а). Нагруженные пропорционально:  $P_1 = P$ ;  $P_2 = \bar{P} P$ . Возможно будет иметь

канонический метод, последовательно рассмотрев канонический механизм пластического механизма.

**Механизм 1** (рис.22,б) - в предельном состоянии переходит только первый пролет. Расчет сводится к рассмотрению этого пролета как однопролетной балки, шарнирно-опертой на левом конце и жестко защемленной на правом. Тогда согласно теореме предельная нагрузка, отмеченная данными механизмом,

$$P_0^{(1)} = \frac{l + \bar{b}}{\bar{b}(1 - \bar{a})} \frac{M_2}{l_1}; \quad \bar{a} = \frac{a}{l_1}. \quad (6.1)$$

**Механизм 2** (рис.22,в) - в предельном состоянии переходит только правый пролет. Он аналогичен механизму 1 и

$$P_0^{(2)} = \frac{l + \bar{b}}{\bar{b}(1 - \bar{a})} \frac{M_2}{\bar{P} l_2}; \quad \bar{a} = \frac{b}{l_2}; \quad \bar{P} = \frac{P_2}{P_1}. \quad (6.2)$$

**Механизм 3** (рис.22,г) - в предельном состоянии переходит оба пролета. Этот механизм можно рассмотреть как комбинационный, получившийся при одновременной реализации механизмов 1 и 2, у которых углы сдвига на средней опоре имеют разные знаки. Поэтому при их сложении в рассмотренном механизме пластический шарнир на опоре исключается; шарниры в пролетах остаются для образования механизма с одной ступенчатой осью.

Работа внешней силы

$$D = P_1 f_1 + P_2 f_2. \quad (6.3)$$

Поскольку нагрузка ось балки - шарнирная, состоящая из трех отрезков прямых,  $f_1$  и  $f_2$  связаны между собой геометрически:

$$f_1 = f_2 \frac{l_1 - a}{l_2 - b}. \quad (6.4)$$

Взяв за основу равенства и углы сдвига в шарнирах

$$D = M_2 (\theta_1 + \theta_2); \quad \theta_1 = \frac{f_1}{a} + \frac{f_1}{l_1 - a}; \quad \theta_2 = \frac{f_2}{l_2 - b} + \frac{f_2}{b}. \quad (6.5)$$

Прямоугольником  $U$  и  $D$  с учетом (6.3)-(6.5) и условная безразмерная обозначили, найдем

$$\rho_0^{(1)} = \frac{\alpha + \bar{\delta}}{\beta \delta [(1-\bar{\delta}) + \beta \lambda (1-\delta)]} \frac{M_0}{l_1}; \quad \lambda = \frac{l_2}{l_1}. \quad (6.6)$$

В соответствии с канонической экстремальной теоремой реализуется тот из механизмов, который дает максимальное значение  $P_0$ . Это  $P_0$  и будет действительной предельной нагрузкой. Указанное, например при  $\alpha = \bar{\delta} = 0,5$ , приводит к

$$\rho_0 = \alpha \frac{M_0}{l_1},$$

$$\alpha = \begin{cases} \bar{\delta} & \text{при } \bar{\beta} \lambda \leq \frac{1}{3} & (\text{механизм 1}); \\ \frac{\bar{\delta}}{1-\bar{\beta} \lambda} & \text{при } \frac{1}{3} < \bar{\beta} \lambda \leq 3 & (\text{механизм 3}); \\ \frac{\bar{\delta}}{\bar{\beta} \lambda} & \text{при } 3 < \bar{\beta} \lambda & (\text{механизм 2}). \end{cases}$$

Для решения задачи статическим методом можно рассмотреть систему избыточных моментов (рис.22,а). Последнее имеет при выстрелных условиях в сечении под опорой  $\rho_1$  и  $\rho_2 = M_{max}^{(1)}$  и  $M_{max}^{(2)}$  и на средней опоре -  $3M$ . Она связана между собой двумя уравнениями:

$$\left. \begin{aligned} M_{max}^{(1)} &= \rho_1 \frac{\alpha(l_1 - \alpha)}{l_1} + 3M \frac{l_1 - \alpha}{l_1}, \\ M_{max}^{(2)} &= \rho_2 \frac{\beta(l_2 - \delta)}{l_2} + 3M \frac{l_2 - \delta}{l_2} \end{aligned} \right\} \quad (6.7)$$

Если в (6.7) положить  $M_{max}^{(1)} = M_1 = M_0$ , то из первого уравнения получим  $P_0^{(1)}$ , соответствующее с (6.5); из второго уравнения можно найти ограничение области применимости этого решения, потребовав, чтобы  $M_{max}^{(2)} \leq M_0$ . Аналогично,

точно, можно положить  $M_{max}^{(2)} = M_2 = M_0$ , из второго уравнения (6.7) получим  $P_0^{(2)}$ , соответствующее с (6.5), а первое уравнение даст ограничение области из условия  $M_{max}^{(1)} \leq M_0$ . Известно, что  $M_{max}^{(1)} = M_{max}^{(2)} = M_0$  и механизм из (6.7)  $M_1$ , получим  $P_0^{(2)}$  по (6.6), и далее, потребовав, чтобы  $M_2 \leq M_0$ , найдем соответствующее ограничение.

Рассмотренный путь решения задачи прямой и ясным путем нагрузки смежных пролетов нагрузками противоположного направления.

**6.5. Приближенное определение профилей в предельном состоянии.** Во многих практических задачах при применении упомянутого метода теории предельного равновесия очень важно оценить величину прогибов, возникающих при действии нагрузок, близких к предельным. Для этой цели можно воспользоваться приближенными методами, несомненно достоянием общей практики и приемлемыми для любых стержневых систем, значения которых выносятся в условиях настоящего параграфа [27].

Метод основан на предположении, что стержень имеет идеальную профиль, а материал идеально упругопластический. Идеальный профиль - это симметричная кривая ота от оси.  $F$  его можно упругопластический стержень (см. рис.14) совпадает с предельным состоянием, т.е. упругопластический стержень отсутствует. Местом в стержне идеального профиля в условиях поперечного изгиба пластическая деформация концентрируется в стальных сечениях и их влияние на прогибы можно полностью учесть, приняв в этих сечениях пластическое шарниры.

Тогда величина пластических деформаций в подобной системе, по существу, совпадает ее упругой и только повышает степень статической неопределенности. В предельном состоянии вследствие повышения шарниров системы становится кинематически неизменной и имеет одну степень свободы. Если здесь назначить один шарнир - тот, который назначается. Последняя, система останется кинематически неизменной и будет статически определенной или во всяком случае (для сложных систем) степень ее статической неопределенности будет неже, чем в исходном состоянии. Последнее обстоятельство очень упрощает расчет, выполнение которого можно найти про-

гибы от действия нагрузки, равной предельной нагрузке.

Огибае, связанное с असимметричным предельным поперечным изгибом, можно считать, связавшем прогибы балки идеального и прямоугольного профилей (рис.23). Через  $EJ$  там обозначена жесткость идеальной балки. На рисунке видно, что прогибы этих балок достаточно близки даже при нагрузках, мало отличающихся от предельных.

Во связанном состоянии огибаем связи предельного расчетного прогиба в предельном состоянии:

из огибаемой рассматриваем предельного равновесия конструкции определяем распределение в ней пластических шарниров в предельном состоянии;

в результате анализа работы этой конструкции в упругой стадии или физических соображений выявляют, какой шарнир оказывается последним;

в расчетную схему конструкции вводят пластические шарниры в действующем в них предельном моменте в тех сечениях, где они должны появиться в предельном состоянии, на исключенном шарнире, образуемом последним;

выполняют укрупненный расчет конструкции с такими исключительными шарнирами и определяют прогибы, возникающие при действии нагрузки, равной предельной, которые и являются искомыми.

Если одновременно решить вопросы о положении пластического шарнира, соответствующего последнему, возникает затруднение, можно выполнить расчет в нескольких вариантах, начиная из расчетной схемы разные шарниры, в состоянии которых можно предположить, что они образовались последними; для вычислительных целей выбирает тот вариант, который дает наибольшие прогибы.

Например, у балки, показанной на рис.21, в предельном состоянии есть три шарнира: на промежуточных опорах и в сечении под силой  $P$ . Последним окажется шарнир на промежуточной опоре. Поэтому, моментом шарнира только в сечении под силой  $P$ , мы можем и решить однопролетную балку с моментами (Момент пролетя между опорами  $l_1$ , длина консоли  $l_2/l_2$ ), нагруженной на конце консоли силой  $P_0/2$  и моментом  $M_0$ . Укрупненный расчет такой статически определенной балки дает прогибы на концах консоли

$$f = \frac{P_0 l_1^3}{48EJ} - \frac{M_0 l_1^2}{8EJ} + \left( \frac{P_0 l_1}{4} - M_0 \right) \frac{l_1 l_2}{8EJ}$$

Подставляя  $P_0 = \frac{8M_0}{l_2}$ , найдем для предельного состояния

$$f = \left( \frac{1}{3} + \frac{l_1}{l_2} \right) \frac{M_0 l_1^2}{8EJ}$$

## § 7. Балка переменно го сечения.

Учет впадины жеза

7.1. Необходимость предельного состояния балки переменно го сечения. Основная особенность предельного состояния балки переменно го сечения состоит в том, что положение пластических шарниров здесь определяется не только формой кривой изгибающей моменты  $M(x)$ , но и характером изменения предельных моментов  $M_0(x)$  по длине балки. Помимо того же шарнире однопролетной балки с жесткими консолями на концах, нагруженной произвольной поперечной нагрузкой одного направления.

При решении задачи о статическом методе в условиях упругости под напряжением можно представить в следующем виде:

$$P \int \psi(x) dx - M_0^* \left( 1 - \frac{x}{l} \right) - M_1^* \frac{x}{l} \leq M_0(x), \quad (7.3)$$

где  $M_0^*$  и  $M_1^*$  - изгибающие моменты в опорных сечениях соответственно при  $x=0$  и  $x=l$ ;  $P \int \psi(x) dx$  - изгибающий момент от поперечной нагрузки;  $P$  - параметр, характеризующий которую изменяется все соответствующее поперечной нагрузке;  $\psi(x)$  - функция, определяющая форму кривой изгибающих моментов от поперечной нагрузки.

Для упрощения формулы (7.3) лучше использовать форму кривы

$$\sigma_0(x) = \frac{M(x)}{M_0(x)}, \quad (7.2)$$

найти ее значения при  $x = c_i$  ( $i = 1, 2, 3$ ) и определить, чтобы в этих сечениях  $|m(c_i)| = 1$ . Тогда в остальных сечениях балки будет обеспечено  $|m(x)| < 1$ . Указанные ниже обозначения соответствуют выбору значений  $P$ ,  $M_0^*$  и  $M_1^*$ . Тогда вместо неравенств (7.1) можно записать систему трех уравнений

$$\left. \begin{aligned} P_0 l \varphi(c_1) - M_0^* \left(1 - \frac{c_1}{l}\right) - M_1^* \frac{c_1}{l} &= -M_0(c_1); \\ P_0 l \varphi(c_2) - M_0^* \left(1 - \frac{c_2}{l}\right) - M_1^* \frac{c_2}{l} &= M_0(c_2); \\ P_0 l \varphi(c_3) - M_0^* \left(1 - \frac{c_3}{l}\right) - M_1^* \frac{c_3}{l} &= -M_0(c_3), \end{aligned} \right\} \quad (7.3)$$

из которой определяются значения  $P_0$ ,  $M_0^*$  и  $M_1^*$  для заданного состояния. Здесь предполагается  $c_1 < c_2 < c_3$ , а значения при  $M_0(c_i)$  выбраны исходя из условия, что абритушились преобразованные изогнутые линии абсолютно жесткой балки: знаки углов скрутки и соответствующие моменты в крайних шарнирах и в среднем шарнире должны быть противоположными. Это обеспечивается соответствующим выбором, полученных статических и кинематических моментов.

Заметим, что при этом решении задачи не имеет значения и не тот или иной вид отклонения от абсолютного и § 5 для применительной балки, только крайние шарниры не обязательно должны размещаться в сечении балки и их положение может рассматриваться исходя из условия минимума предельной нагрузки.

Если концы балки шарнирно опираются, то  $M_0^* = M_1^* = 0$  и в (7.3) остается только второе уравнение, из которого определяется значение  $P_0$ . Если шарниры опираются один конец балки, соответственно обращается в нуль один из опорных моментов и в (7.3) остается два уравнения.

При рассмотрении предельного состояния выше были использованы предположения о предельном моменте в пластическом шарнире без каких-либо оговорок о характере возможных сечений по длине балки. Справедливость этого предположения, ибо в упругой стадии, как известно, равнозначные сечения приводят к различным значениям поля изгибаемых - концентрирование изгибаемых, - которые не могут быть описаны в рамках технической теории балки.

Можно строго доказать: распределение изгибовых моментов, находящееся в предельном состоянии,  $\sigma_x = \sigma_0 \sigma_T$ , которое приводит к предельному моменту по (4.4), удовлетворяет как условиям пластичности Треска (2.15), если  $\sigma_x = \sigma_{max} = 0$  так и дифференциальными уравнениями равновесия (2.1), если учесть, что сечения в сечении участка балки остаются жесткими и изгибаются тем же образом. При этом не нарушаются и граничные условия. Поэтому такое распределение изгибовых моментов статически допустимо.

Таким образом убедитесь в том, что скорости деформации, отвечающие пластическому шарниру ( $\dot{\epsilon}_x = \dot{\epsilon}_0$ ,  $\dot{\epsilon}_x = \dot{\gamma}_{xx} = 0$ ,

где  $\dot{\epsilon}_0$  - величина угла скрутки), удовлетворяют уравнению непрерывности деформаций (2.6), заданному в скоростях, и граничным условиям. Не нарушается и ассоциированный закон течения, поскольку знаки  $\dot{\epsilon}_x$  и  $\dot{\epsilon}_x$  совпадают, а статическое и кинематическое решения дают одинаковые результаты. Все это согласно экстремальным теоремам теории предельного равновесия (см. § 4) свидетельствует в том, что предельные предположения в отношении изгибовых и скоростей деформаций приемлемы.

Таким образом, использованные предположения в статических шарнирах в предельных моментах при определенном предельном изгибовом балки переменного сечения являются принципиально верными вне зависимости от характера изменения сечения по длине балки. Если лишь один шарнирчатый: наличие дополнительных шарниров на предельном состоянии сечения должна быть пропорциональными.

## 7.2. Предельная нагрузка балки с переменным сечением

В качестве примера рассмотрим прямоугольную жестко защемленную

<sup>1</sup> Настоящий раздел написан совместно с В.Л.Давидовичем.

один с равномерно поперечным сечением, закрепленным по концам книжки. Для простоты будем считать нагрузку и конструкцию балки симметричными относительно осей пролета. Тогда

$$M_0^* = M_1^* = M^*; c_1 = l - a_1 - c; c_2 = l/2.$$

Если значение пластической нагрузки образуется в пределах книжки, то величину  $c$  можно определять исходя из условия

$$\left. \frac{dM(x)}{dx} \right|_{x=c} = 0 \text{ или } R_0 l \left. \frac{d\psi(x)}{dx} \right|_{x=c} + \frac{dM_0(x)}{dx} \Big|_{x=c} = 0, \quad (7.4)$$

а  $R_0$  и  $M^*$  — из уравнений (7.3).

Для пролета особенно интересно задание определенными размерами книжки, при которых координат шарнир образуется в сечении балки у конца книжки, т.е. когда  $c = a$  (рис.24). (Это обеспечивает наибольшее увеличение расчетного пролета балки на один шаг и обычно дает максимальную выгоду в материале, если предотвратить балку по предельной нагрузке. В книжке при этом не происходит пластических деформаций, что вычислительно облегчает обеспечение ей устойчивости.) Тогда  $M_0(c) = M_0(l/2) = M_{0p}$  — предельному моменту рассматриваемой балки или равной устойчивой книжки, и из (7.3)

$$R_0 = \frac{2}{\psi(l/2) - \psi(a)} \frac{M_{0p}}{l}; M^* = \frac{\psi(l/2) + \psi(a)}{\psi(l/2) - \psi(a)} M_{0p}. \quad (7.5)$$

Если, например, нагрузка на балку равномерно распределена и имеет интенсивность  $q$ , а  $R = ql$ , то

$$\psi(x) = \frac{x}{2l} \left(1 - \frac{x}{l}\right); \psi(l/2) = \frac{1}{8}; \psi(a) = \frac{3}{2} \left(1 - \frac{a}{l}\right); \bar{a} = a/l; \quad (7.6)$$

$$M^* = \frac{1 + 6\bar{a}(1 - \bar{a})}{(1 - 2\bar{a})^2} M_{0p}; \bar{q} = \frac{16 M_{0p}}{ql^2}, \quad (7.7)$$

где  $l_x = l - 2a$  — длина пролета балки между концами книжки.

Укажем, обозначаемые полными шариками у конца книжки, определяются из (7.4). Чтобы воспользоваться им, нужно иметь выражение  $M_0(x)$ . Для книжки с приближенной кривой (рис.24), если считать, что площадь поперечного сечения балки с книжкой меньше площади присоединенного элемента книжки (закрепленной ось сечения лежит в плоскости), при  $0 < x < a$

$$M_0(x) = M_{0p} + \sigma_T \delta_K \nu (a-x) \left[ k_p + \frac{\nu}{2} (a-x) \right]; \nu = \frac{b}{a}, \quad (7.8)$$

где  $\delta_K$  — толщина книжки.

Тогда (7.4) при использовании (7.6)–(7.8) даст уравнение, из которого можно найти  $a$ . Получается

$$a = a_{\max} - \frac{1}{2} - \frac{4 M_{0p}}{\sigma_T \delta_K k_p \nu}. \quad (7.9)$$

Книжка показывает, что это граничное значение  $a$ . При  $a < a_{\max}$  шарнир всегда появляется у конца книжки; при  $a > a_{\max}$  шарнир может образоваться в пределах книжки  $0 < c < a$ .

Если между концами балки и заданной есть зазор (рис.24), то в сечении заданной предельной момент сжатообразно падает [в выражении (7.8) при  $x=0$  вычитает  $M_{0p}$ ]. Тогда, чтобы обеспечить образование шарнира у конца книжки, нужно дополнительно удовлетворять условию  $M_0(0) \geq M^*$ . Поскольку (7.7) и (7.8), имеем

$$\sigma_T \delta_K a \nu \left( k_p + \frac{a \nu}{2} \right) \geq \frac{1 + 6\bar{a}(1 - \bar{a})}{(1 - 2\bar{a})^2} M_{0p}. \quad (7.10)$$

Отсюда определяется другое граничное значение  $a = a_{\min}$ . При  $a > a_{\min}$  условие (7.10) выполняется.

В личном решении воспользуемся выражением (7.8), определяя книжку в случае, если балка во всех сечениях имеет посто-

тошо боковой расщепленной полкой обшивки. Это обычно обеспечивается, когда, например, расчетная база является продольно перерезанной балкой и задана ее формой обусловлена конструкцией и нагрузкой обшивки продольно (рис.25,а). В случае изогнутого углового соединения (рис.25,б) за мере приближения к углу размеры расщепленного пояса увеличиваются и в шкворном сечении, приближенном через угол (1-1 на рис.25,б), расщепленный пояс обращается в нуль [77]. Такой случай требует особого подхода и прежде всего проверки выполнения условия  $|m(x)| < 1$  для шкворного сечения, которое вследствие указанного вида загиба и оказывается наиболее слабым.

Конечно, рассмотренное здесь - лишь пример, иллюстрирующий возможность применения анализа предельного состояния балок перерезанного сечения к расчету элементов соединений. Эти результаты при выборе размеров или доп.к. рассмотрены в дальнейшем с другими требованиями, в частности связанными с обеспечением необходимых запасов на устойчивость, остаточную прочность и т.п.

#### § 8. Влияние продольных и поперечных сил на предельное состояние сечения балки

8.1. Продольная ось симметрии сечения балки при совместном действии изгибающего момента и продольной силы. Продольная сила  $N$ , так же как изгибающий момент  $M$ , действует в сечении только в предельном напряжении  $\sigma$ . Поэтому для предельного состояния сечения при совместном действии  $M$  и  $N$  характерно наличие во всех его точках  $\sigma = \pm \sigma_T$  аналогично рассмотренному в § 4. Сечение будет лишь в уравнении равновесия

$$\int_F \sigma dF = N; \int_F \sigma z dF = M. \quad (8.1)$$

Подставив сюда  $\sigma = \pm \sigma_T$  и разбив площадь сечения на растянутую и сжатую части:  $F_+$  и  $F_-$ , получим

$$N_N = \sigma_T (S_+ + E); M_N = \sigma_T (S_+ - S_-); S_+ = \int_{F_+} z dF; S_- = \int_{F_-} z dF. \quad (8.2)$$

Здесь  $M_N$  и  $N_N$  - значения  $M$  и  $N$ , при совместном действии которых сечение переходит в предельное состояние.

Начало координат принято в центре тяжести сечения, а статические моменты растянутой и сжатой частей площади сечения  $S_+$  и  $S_-$  вычислены с учетом знака  $z$ . Эти они отличаются от  $S_+^0$  и  $S_-^0$  на (4.4). Но тогда  $S_+ + S_- = S$  - статический момент всей площади сечения, а  $S = 0$ . Следовательно,  $S_+ = -S_- = M_0 = 2S_T S_+$ .

Из (8.2) следует, что значение продольной силы  $N$  приводит к сдвигу нейтральной оси сечения по сравнению с ее положением при чистой изгибе, и, когда  $N$  достигнет значения  $\sigma_T F$ , эта ось выйдет за пределы сечения. При этом  $E$  (или  $F_+$ ) обратится в нуль. Такое значение продольной силы называют предельным

$$N_0 = \sigma_T F. \quad (8.3)$$

В этом случае  $S_- = 0$ , так как  $E = 0$ ; тогда  $S_+ = S = 0$ . Следовательно, если продольная сила  $N$  достигнет предельного значения  $N_0$ , то согласно (8.2)  $M_N = 0$ , т.е. сечение во всем может воспринять изгибающий момент. Выражения (8.2) позволяют, зная форму профиля, найти положение нейтральной оси сечения в зависимости изгибающего момента от продольной силы в предельном состоянии  $M_N = M(N)$ . Последнее удобно представлять в свернутой форме, обозначая

$$m = \frac{M_N}{M_0}; \quad n = \frac{N_N}{N_0}. \quad (8.4)$$

8.2. Влияние продольной силы на предельный момент одностороннего профиля. Если для прямоугольного профиля высотой  $h$  и шириной  $b$  обозначить через  $\beta$  ординату нейтральной оси, то

$$E = F \left( \frac{1}{2} - \beta h \right); E = F \left( \frac{1}{2} + \beta h \right); N_N = -2N_0 \beta; \quad (8.5)$$

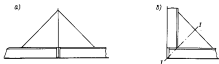


Рис. 25. Конструктивные узлы углов с балками: а - элемент железобетонной плиты; б - усиленное угловое соединение.

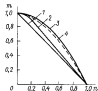


Рис. 26. Зависимость  $m/n$  для симметричных профилей. 1 - арматура; 2 - ступица при  $F_C = 0,25$ ; 3 - прямоугольный; 4 - кольцевой (труба).

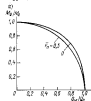


Рис. 28. Зависимость  $M/M_0$  для симметричных (а) и несимметричных (б) профилей.

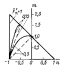
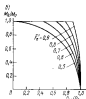


Рис. 27. Зависимость  $m/n$  для несимметричных профилей. ——— тавровый; ——— — кольцевой несимметричный ступица.



$$S_n = \frac{2h^2}{8} (1 - 4\beta^2); \quad M_n = M_0 (1 - 4\beta^2), \quad (8.6)$$

Величину  $\beta$ , получим

$$M_n = M_0 \left(1 - \frac{N_n^2}{N_0^2}\right) \quad \text{или} \quad m = 1 - n^2 \quad (8.7)$$

Для других профилей величины  $m = m(n)$  приводим в табл. 4 при следующих обозначениях:

$$F_n = \frac{F_n'}{F_0}; \quad K = \frac{F_0}{F_0'}, \quad (8.8)$$

где  $F_n'$  и  $F_0'$  - площади огибающей соответственно внешнего пояса и огибающей двутаврового профиля;  $K$  - высота профиля.

Для несимметричного двутавра  $N$  принято положительная, если в меньшем поясе напряжения от  $M$  и  $N$  одного знака;  $M$  - положительная, если меньший поясок растянут.

Зависимости для несимметричного двутавра или приближенные могут быть использованы для любых профилей с присоединенными поясами, если считать, что  $F_n = F_n' - F_0'$ , где

$F_n'$  - площадь профиля без присоединенного пояса.

Анализ зависимостей предельного момента  $M_n$  от площади огибающей  $N$  показывает, что у профилей с горизонтальной осями симметрии зависимости для  $M_n(N)$  различаются не очень резко. Это видно из рис. 26: кривые для любого симметричного двутавра располагаются между кривыми 1 и 3. При этом величина  $N$  всегда имеет  $M_n$  и поэтому не зависит от знака  $N$ . У несимметричных профилей величина  $N$  может увеличивать  $M_n$ , например у двутавров, когда  $M$  и  $N$  вызывают напряжения разного знака в меньшем пояске (рис. 27).

Т а б л и ц а 4. Продольные моменты профилей с учетом влияния продольных сил

Профиль		m
Вид	Схема	
Прямоугольный		$\pm (1 - \mu^2)$
Кольцевой		$\pm (1 - \mu^2)$
Симметричный двутавр		$\pm \left[ 1 - \frac{\mu^2}{\bar{F}_C (2 - \bar{F}_C)} \right]$ при $0 \leq \mu \leq \bar{F}_C$ ;
		$\pm 2 \frac{1 - \mu^2}{2 - \bar{F}_C}$ при $\bar{F}_C \leq \mu \leq 1$
Ассиметричный двутавр		$\frac{Fh}{W\sigma} (1 - \bar{Z}_M)(1 + \mu)$ при $-1 \leq \mu \leq \mu_B$ ;
		$\frac{Fh}{W\sigma} \left[ \bar{Z}_M(1 - \mu) - \frac{1}{4\bar{F}_C} (\mu_M - \mu)^2 \right]$ при $\mu_B \leq \mu \leq \mu_M$ ;

Продолжение табл. 4

Ассиметричный двутавр		$\frac{Fh}{W\sigma} \bar{Z}_M(1 - \mu)$ при $\mu_B \leq \mu \leq 1$ ,
		где $\mu_B = 2\bar{F}_M - 1$ ; $\mu_M = 2\bar{F}_M - \bar{F}_C^2 - 1$ ; $\bar{Z}_M = \bar{F}_M + \frac{1}{2}\bar{F}_C$
Кольцевой (труба)		$\cos \frac{\pi h}{2}$

В.3. Продольные срезовые сечения при одностороннем действии изгибающего момента и сжимающей продольной силы. При одностороннем действии в сечении балки изгибающего момента  $M$  и сжимающей силы  $G$  здесь возникает и нормальное, и касательное напряжения. Поэтому для выбора перехода материала в пластическое состояние необходимо воспользоваться условием пластичности. Если считать, что в продольных отсечках балки нормальные напряжения не возникают, условие пластичности Треска (2.15), как известно, принимает вид

$$\sigma_T = \sqrt{\sigma^2 + \tau^2}. \quad (8.9)$$

Сечение находится в предельном состоянии, если на всех его точках действует напряжение, удовлетворяющее (8.9). Условие равновесия внешних и внутренних сил в сечении имеет

$$\int_F \sigma dF = 0; \quad \int_F \sigma dz F = M; \quad \int_F \tau dF = Q. \quad (8.10)$$

Решив задачу статическим методом, при подборе статически неизвестного поля напряжений (см. § 4), найдем условия, чтобы при заданном  $M = \int_F \sigma dz F$  величина  $Q$  была максимальной. Из (8.9) и (8.10)

$$\tau = \frac{1}{2} \sqrt{\sigma_T^2 - \sigma^2} \quad \text{и} \quad Q = \frac{1}{2} \int_F \sqrt{\sigma_T^2 - \sigma^2} dF. \quad (8.11)$$

В этом случае максимум  $Q$  при  $M = \text{const}$  отвечает максимуму функции

$$\Phi = \sqrt{\sigma_T^2 - \sigma^2} + \psi \sigma,$$

где  $\psi$  - произвольный параметр [10]. Тогда вместо из условия  $\frac{d\Phi}{d\sigma} = 0$  можно получить

$$\sigma = \sigma_T \frac{\psi \sigma_T}{\sqrt{1 + \psi^2 \sigma_T^2}}. \quad (8.12)$$

Отсюда видно, что при  $\sigma = 0$   $\sigma = 0$ , т.е. начало координат совпадает с нейтральной осью. Подставляя (8.12) в (8.11), получим

$$\tau = \frac{\sigma_T}{2} \frac{1}{\sqrt{1 + \psi^2 \sigma_T^2}}. \quad (8.13)$$

Тогда из (8.10)

$$\int_F \frac{\sigma dF}{\sqrt{1 + \psi^2 \sigma_T^2}} = 0; \quad (8.14)$$

$$M_0 = \sigma_T \psi \int_F \frac{\sigma^2 dF}{\sqrt{1 + \psi^2 \sigma_T^2}}; \quad Q_0 = \frac{\sigma_T}{2} \int_F \frac{dF}{\sqrt{1 + \psi^2 \sigma_T^2}}, \quad (8.15)$$

где  $M_0$  и  $Q_0$  - значения  $M$  и  $Q$ , отвечающие предельному состоянию сечения.

Выражение (8.14) определяет положение нейтральной оси, (8.15) - зависимости  $M_0 = M(Q)$  для сечений в предельном состоянии, зависящую и параметрической форме (параметр  $\psi$ ).

Из (8.12) и (8.14) следует, что при  $\psi = 0$   $\sigma = 0$  и  $M_0 = 0$ , т.е. предельное состояние достигается только  $Q$ . В этом случае по (8.15)  $\tau = \tau_T = \sigma_T / 2$  и предельное значение  $Q$  по (8.15)

$$Q_0 = \frac{\sigma_T}{2} F \quad (8.16)$$

При  $\psi \rightarrow \infty$  по (8.12) и (8.15)  $\tau = 0$ ,  $Q_0 = 0$  и  $M_0 = M_0$ . Соответственно согласно (8.14) положение нейтральной оси при  $\sigma = 0$  или приближается к центру тяжести сечения, при  $\sigma = 0$  - идет вдоль осевой линии.

\* Области применения настоящего и предыдущих глав в разделе 8.4 результатов, полученных на ряде классических работ в области прикладной теории пластичности, согласно которым предельные перерезывающие силы прикладаны были определены в  $\sigma$  и  $\tau$  в плоскости их взаимных сечений, требует дополнительного рассмотрения; см. § 17 и приложения.

Решив задачу кинематическим методом, зададим скорости удлинения  $\dot{\epsilon}$  и сдвига  $\dot{\gamma}$  в сечении в форме

$$\dot{\epsilon} = \dot{\epsilon}_0 \cos t, \quad \dot{\gamma} = \dot{\gamma}_0 \sin t \quad (8.17)$$

( $\dot{\epsilon}_0$  - скорость амплитуды крайних точек в шпиге сечения).

Для определения напряжений воспользуемся соотношениями напряжений в точке (3.13) с условием пластичности (8.9), переписав его в виде  $f = \sigma^2 + 4\tau^2 - \sigma_0^2 = 0$ . Тогда

$$\dot{\epsilon} = \lambda' \frac{\partial f}{\partial \sigma} = 2\lambda' \sigma; \quad \dot{\gamma} = \lambda' \frac{\partial f}{\partial \tau} = 8\lambda' \tau. \quad (8.18)$$

Здесь при  $\dot{\epsilon}$  и  $\dot{\gamma}$  заданы знаки  $\lambda'$ , что рассмотренная точка является жестко-пластической, а не свободной только пластическими составляющими деформаций.

Из (8.18)

$$\sigma = \frac{\dot{\epsilon}}{2\lambda'}; \quad \tau = \frac{\dot{\gamma}}{8\lambda'}. \quad (8.19)$$

Подставив это в условие пластичности (8.9), своими знаками найдем величины

$$\lambda' = \frac{\dot{\gamma}}{4\sigma_0} \sqrt{1 + \left(\frac{2\dot{\epsilon}}{\dot{\gamma}}\right)^2}. \quad (8.20)$$

Это дает возможность с учетом (8.17) получить окончательные выражения напряжений:

$$\sigma = \sigma_0 \frac{\frac{2\dot{\epsilon}}{\dot{\gamma}} \cos t}{\sqrt{1 + \left(\frac{2\dot{\epsilon}}{\dot{\gamma}}\right)^2}}; \quad \tau = \frac{\sigma_0}{2} \frac{\sin t}{\sqrt{1 + \left(\frac{2\dot{\epsilon}}{\dot{\gamma}}\right)^2}}. \quad (8.21)$$

Так как  $\dot{\gamma}$  и  $\dot{\epsilon}$  не зависят от  $t$ , а во их отношении не существует никаких ограничений, можно обозначить  $\frac{2\dot{\epsilon}}{\dot{\gamma}} = \nu$

и (8.21) означает с переменными или напряжениями (8.22) и (8.23), полученными статическим методом.

Составление статического и кинематического решений в данном случае еще не дает оснований утверждать, что полученные результаты являются точными. Чтобы вновь право воспользоваться рассмотренными теоремами теории упругости, необходимо также доказать, что приращение энергии упругости статическим способом, в поле напряжений (скоростей деформаций) - кинематически возможно.

В остальных последующих вопросах решается соответственно, трудно ли доказать (8.17) удовлетворит условиям неравенства деформаций (2.6), если предположить, что пластические деформации локализованы в одном сечении, а сечение в нем остается жестким жестким. Однако напряжения по (8.21) не удовлетворяют дифференциальным уравнениям равновесия (2.1) и, значит, не являются статическими напряжениями. Следовательно, данные решения неточны.

Для получения точного решения нельзя ограничить анализ одним сечением, требуется решение плоской жесткопластической задачи. Также решение представляется в короткой версии методом прямоугольного сечения (задача Грима) возможно, например, в [55].

Часто говорят при рассмотрении этих решений, включая, что локализованы в это место деформации в краях напряжений и деформаций - это обычные формулы теоретической теории упругости, применимость которой как для упругих, так и для жесткопластических средин проверялась экспериментально [87], хотя поле напряжений здесь и не удовлетворяет уравнениям равновесия (2.1). В рамках этих допущений полученное решение можно считать точным: напряжения по (8.21) удовлетворяют условиям пластичности по (8.9) и соответствуют поле скоростей деформаций (8.17). Нужно лишь отметить условие в основном граничных решениях. Из (8.21) следует, что в краевых точках сечения не выполняется условие  $\tau \neq 0$ . Это, однако, не говорит о нарушении граничных условий, а может быть рассмотрено как разрыв  $\tau$  в краевых точках, где оно является скачкообразно непустот от конечного значения до нуля. Таким образом характером для жесткопластических задач [49].

Отметим, что впервые идея разложения статического решения с произвольными условиями максимума  $\bar{Q}$  при фиксированных условиях  $M$  высказана В.Ф.Даниловым [104]. Она была реализована А.Р.Равичем [150], который получил в интегральном решении, основанном на теории деформации. Решения А.Р.Равича являются точными в рамках тактической теории изгиба, хотя и не были так отмечены автором; их элементарное обобщение приводит к рассмотрению выше решения, выделенному из [104]. Хотя также довольно часто другие решения. Они приближены и основаны на разных предположениях о распределении нормальных и касательных напряжений в сечении — см. обзор [82], [84]. Взаимодействие элементов продольных и поперечных сил на продольный момент рассмотрено в [41].

**§.4. Влияние поперечной силы на продольный момент деформированных профилей.** Для несимметричного двутаврового профиля материалоплавления в (8.14) и (8.15) приводит к следующим выражениям:

$$\frac{X_{0g} F_0}{\sqrt{1+\nu^2 Z_{0g}^2}} - \frac{X_{0n} F_0^I}{\sqrt{1+\nu^2 Z_{0n}^2}} + \frac{F_c}{\nu^2} (\sqrt{1+\nu^2 Z_{0g}^2} - \sqrt{1+\nu^2 Z_{0n}^2}) = 0; \quad (8.22)$$

$$M_0 = \sigma_T F h \nu \left[ \frac{Z_{0g}^2 F_0}{\sqrt{1+\nu^2 Z_{0g}^2}} + \frac{Z_{0n}^2 F_0^I}{\sqrt{1+\nu^2 Z_{0n}^2}} + \frac{F_c}{2\nu^2} (\nu Z_{0g} \sqrt{1+\nu^2 Z_{0g}^2} + \nu Z_{0n} \sqrt{1+\nu^2 Z_{0n}^2} - \text{Arsh } \nu Z_{0g} - \text{Arsh } \nu Z_{0n}) \right]; \quad (8.23)$$

$$Q_0 = \frac{1}{2} \sigma_T F \left[ \frac{F_0}{\sqrt{1+\nu^2 Z_{0g}^2}} + \frac{F_0^I}{\sqrt{1+\nu^2 Z_{0n}^2}} + \frac{F_c}{\nu} (\text{Arsh } \nu Z_{0g} + \text{Arsh } \nu Z_{0n}) \right]. \quad (8.24)$$

Здесь также не обозначены, как и выше (в начале параграфа). Дополнительно обозначено:  $F_0^I = F_0 - F_c$  — диаметральный момент большого плеча;  $Z_{0g} = Z_{0g}/h$  и  $Z_{0n} = Z_{0n}/h$  — расстояния от нейтральной оси соответственно большого и малого плечей, отнесенные к  $h$ ;  $Z_{0g} + Z_{0n} = 1$ ;  $\nu = \nu/h$  — безразмерный параметр.

Для симметричного двутавра  $Z_{0g} = Z_{0n}$  и  $F_0^I = F_0$ ; (8.22) упрощается соответственно, а (8.23) и (8.24) приобретают вид

$$M_0 = \sigma_T F h \frac{1}{\nu} \left[ \frac{\frac{2}{3} F_0 + \frac{1}{3} (1+\nu^2) F_c}{\sqrt{1+\nu^2}} + \frac{F_c}{4\nu} \text{Arsh } \nu \right], \quad (8.25)$$

$$Q_0 = \frac{1}{2} \sigma_T F \left( \frac{2 F_0}{\sqrt{1+\nu^2}} + \frac{F_c}{\nu} \text{Arsh } \nu \right),$$

где  $\nu = \frac{1}{2} \nu$  — безразмерный параметр.  
 $F_0^I = 0$ ;  $F_c = 1$  — для двутаврового профиля

$$M_0 = M_0 \frac{1}{\sqrt{2}} \left( \sqrt{1 + \nu^2} - \text{Arsh } \nu_0 \right); \quad (8.26)$$

$$Q_n = Q_0 \frac{1}{\sqrt{2}} \text{Arsh } \nu_0.$$

У изогнутого профиля  $F_c \sim \theta$ ;  $\bar{F}_n = \frac{\theta}{2} n$

$$\left( \frac{M_0}{M_0} \right)^2 + \left( \frac{Q_n}{Q_0} \right)^2 = 1 \quad (8.27)$$

Анализ полученных зависимостей показывает, что у симметричных двутавров соотношение длинной консоли и стенок мало сказывается на форме зависимости продольного момента от переменной сдвижной силы  $M_0 = M(\theta)$ . Это видно из рис. 28, а: кривые  $M_0 / M_0 - Q_n / Q_0$  для изогнутого профиля ( $\bar{F}_n = 0,5$ ) и прямоугольного профиля ( $\bar{F}_n = 0$ ) близки друг к другу, в то же время для несимметричных двутавров ( $\theta < \bar{F}_n < 0,5$ ) различаются между собой. Следовательно, если основание для перемещаемых двутавров расположено в приближенных расчетах зависимость (8.27). Важно отметить симметричные профили на  $M = M(\theta)$  можно опирать по рис. 28, б, где представлены результаты расчетов для случая  $F_c = \theta$ . Из рисунка видно, что с увеличением несимметрии двутаврового профиля стенки длинная  $\bar{Q}$  по продольной момент уменьшается. Для несимметричных профилей с произвольным отношением длины получаются аналогичные.

**8.5. О влиянии продольных и поперечных сил на продольную нагрузку балки.** Влияние продольных и поперечных сил на продольную нагрузку балки определяется двумя факторами: величиной  $N$  и  $\bar{Q}$  на продольный момент сечения и величиной  $N$  и  $\bar{Q}$  на форму эллиптического мезансида, ко-

торый образуется в балке после достижения предельного состояния.

Учет первого фактора не вызывает сложностей. Нужно лишь, используя полученные выше решения для продольной нагрузки балок, подставить туда значения продольного момента, вычисленные с учетом влияния величин  $N$  и  $\bar{Q}$ , возникающих в пластических шарнирах в продольном состоянии.

Важно, в гл. 5, показано, что продольные силы не могут изменить форму эллиптического мезансида изогнутой балки и, следовательно, их влияние на продольную нагрузку связано только с изменением продольного момента сечений. Однако в то же время выясняется, что при наличии продольных сил распределение напряжений в балке становится гораздо чувствительнее к изменениям ее геометрии в результате деформаций, чем при поперечном изгибе, когда  $N = 0$ .

В результате появления балки при нагрузках, близких к предельной, может резко измениться: балка может фактически исчерпать запас пластичности при нагрузке меньше предельной, но может и продольно воспринять нагрузку больше предельной, но деформируясь. Поэтому при  $N \neq 0$ , как правило, определение продольной нагрузки неадекватно, необходимо описать поведение балки в предельном состоянии с учетом изменения ее геометрии, что является предметом главы 3.

Действие больших поперечных сил, как показано в § 17, может привести к существенному изменению форм эллиптического мезансида балки. При малых  $\bar{Q} / Q_0$  для продольных нагрузок остаются справедливыми полученные выше решения. Кроме того, как видно из рис. 28, при малых  $\bar{Q} / Q_0$  их влияние на продольный момент незначительно. Поэтому практически для длинных и тонких балок любого набора величин поперечной силы на продольную нагрузку балки можно пренебречь. Влияние на продольную нагрузку больших поперечных сил, в частности на шарнирные двутавры с тонкой стенкой типа длинных стержней и фанер, рассмотрено в § 17.

**9.1. Особенности расчета криволинейных балок.** Для плоских криволинейных балок в составе стальной конструкции обычно характерно малое отношение высоты балки к радиусу кривизны ее оси (меньше 1/15). Это позволяет при рассмотрении напряжений и деформаций в сечении таких балок использовать составленные, поочередно для прямолинейных балок. Поэтому в особенности расчеты в данном случае связаны лишь с особенностями взаимных моментов, продольных и поперечных сил, а также форм графиков пластических механизмов.

Среди перечисленного следует выделить особую роль в этих вопросах продольной оси. Проиллюстрируем это на примере расчета криволинейного стержня на склоне (рис. 29). В сечении такого стержня возникают изгибающие моменты и продольные силы<sup>4</sup>.

$$M(x) = T \sin \alpha; \quad N(x) = - \frac{T}{\sqrt{1 + \left(\frac{d\omega}{dx}\right)^2}}, \quad (9.1)$$

где  $\omega$  — ордината недеформированной оси стержня.

Из (9.1) видно, что  $M(x)$  и  $N(x)$  имеют наибольшее абсолютное значение в сечении максимума  $\omega$ :  $M_{\max} = T \omega_{\max}$ ;  $|N|_{\max} = T$ . Следуя процедуре стиглицкого метода, для определения предельной нагрузки  $T_0$  нужно приравнять  $M_{\max}$  предельному моменту сечения  $M_N$ , что дает

$$T_0 = \frac{M_N}{\omega_{\max}}; \quad (9.2)$$

<sup>4</sup> Здесь в явном плане перерезывающих сил не выделяется составляющая сечения балки не учитывается; продольная сила  $N$  считается перпендикулярной плоскости поперечного сечения.



Рис. 29. Склонный криволинейный стержень.

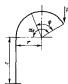


Рис. 30. Наклонная.

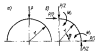


Рис. 31. Силы при (а) и действующих на него усилиях (б).

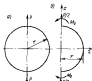


Рис. 32. Силы кругового кольца (а) и действующих на него усилий (б).

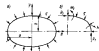


Рис. 33. Силы эллиптического кольца (а) и действующих на него усилий (б).

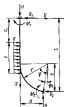


Рис. 34. Эллиптический шпигрут.

$M_N$  должно вычисляться с учетом влияния продольной силы  $N$  (см. § 8). Поэтому (9.2) всегда справедливо для случаев, когда  $N$  является продольной силой сечения  $M_N$ . (Тогда общими  $M_{\text{вдл}}$  называют с общими значениями  $M_N$ .) В противном случае необходимо исследовать значения  $M_N = M(N)$  по длине стержня, найти сечение  $X = C$ , где отклонение величина момента в продольную сторону от нуля максимальна, и определить  $\frac{M(C)}{M(N)}$  —  $\gamma$ . (Это делают во многих случаях при определении предельных нагрузок балки переменного сечения, см. § 7.) В последующих примерах мы ограничимся рассмотрением случаев, когда значения пластических шарниров определяются только плоскими изогнутой деформацией. (Дальнейшее содержание расчёт предельного момента.)

Приведенное решение останется в силе, если момент в сечении  $T$  и рассмотреть рассмотренный предельный стержень. Предельная нагрузка также будет определяться (9.2), однако исследовать предельные стержни в случае рассуждений необходимо отклонения от нулевого момента стержня. Исходя из способности симметричного стержня в результате деформации, которые не учитываются теорией предельного равновесия. (Эти вопросы рассмотрены в гл. 3). Важные в этом факторе имеют два существенных фактора в упругопластической, а для гибких стержней и в упругой стержня; для стержней стержней определяющую роль имеет упругость (см. § 23). Сказанное справедливо также для всех рассмотренных выше случаев.

**2.3. Примеры.** Максимальной величиной предельного момента в сжатых стержнях с симметричной осью состоит из предельного момента в сжатых стержнях с осью симметрии. Стержень нагружен сосредоточенной силой на конце, действующей параллельно продольной оси стержня (рис. 30). Максимальный момент в продольной силе на предельном участке

$$M(\varphi) = 2Pr \sin\left(\alpha_0 - \frac{\varphi}{2}\right); \quad N(\varphi) = -P \cos\left(\alpha_0 - \frac{\varphi}{2}\right); \quad (9.3)$$

на продольном участке

$$M(\varphi) = Pr(1 - \cos \alpha_0); \quad N(\varphi) = -P. \quad (9.4)$$

Из (9.3) и (9.4) видно, что максимальный изгибающий момент  $M_{\text{вдл}}$  действует на продольном участке. Приравняем его  $M_N$ , получим предельную нагрузку

$$P_0 = \frac{M_N}{r(1 - \cos \alpha_0)}; \quad (9.5)$$

$M_N$  вычисляется с учетом  $|N| = P$  — величина максимального значения продольной силы.

**2.3. Акси.** Рассмотрим круговой стержень с жестко закрепленным концом, симметрично нагруженный сосредоточенной силой  $P$  (рис. 31, а). Для получения акси, если отпустить стержень и заменить ее действиями реактивных усилий (рис. 31, б) в сечении  $\varphi = 0$  и  $\varphi = \pi/2$ , согласно условиям равновесия изгибающего момента, продольной и поперечной силы сечениями. Тогда максимальные моменты в продольной силе в произвольном сечении можно представить как

$$\left. \begin{aligned} M(\varphi) &= -M_1 - \frac{Pr}{2} (1 - \sin \varphi - \cos \varphi); \\ N(\varphi) &= -\frac{P}{2} (\sin \varphi + \cos \varphi). \end{aligned} \right\} \quad (9.6)$$

Из (9.6) легко установить, что  $M(\varphi)$  имеет три экстремума: при  $\varphi = 0; \pi/4; \pi/2$ . Поэтому для обоснования статической неустойчивости под изогнутой (см. § 4) необходимо, чтобы в этих трех сечениях максимальный момент с учетом его знака равнялся предельному. Тогда на в данном сечении акси изгибающий момент не превышает предельный. Отметим также, что, расположив в сечении экстремум  $M(\varphi)$  пластическим шарниром, мы получим механизм с одной ступенью свободы. Шарниры в сечении под силой и в середине у акси для этой цели недостаточны.

Из (9.6)  $M(0) = M(\pi/2) = -M_1$ . Последний из данных сечений предельным моментом сечения, вычисленным при  $N = N(0) = N(\pi/2) = -P/2$ . Тогда, зависящая по (9.6)  $M(\pi/4) = -M_1 + \frac{\sqrt{2}-1}{2} Pr$  и требуя, чтобы ее величина  $M_2$  — предельному моменту сечения, вычисленному при  $N = N(\pi/4) = -P/\sqrt{2}$ , получим уравнение для опре-

величина предельной нагрузки  $P_0$ . Она дает

$$P_0 = \frac{2}{\sqrt{2}-1} \frac{M_1 + M_2}{r} \quad (9.7)$$

(Результат для случая другой формы см. в [116].)

**2.4. Кольцо.** Рассмотрим круговое кольцо, растянутое силой  $P$  (рис. 32, а). Рассмотрим его на линии действия сил (рис. 32, б), нагрузка убывает, что в этих сечениях продольных сил не возникает. Поэтому расчет растянутого кольца можно свести к рассмотрению лишь расчета одного произвольного сечения. Нагибающий момент здесь  $M(x) = M_0 - \frac{P}{2} x$  имеет максимум в сечении, где приложены силы  $P$ , и минимум в сечении, где  $M_0 = M_{\text{max}} - \frac{P}{2} r$ . Полагая, что  $M_0$  - продольный момент сечения при  $N = 0$ , и приравняв  $M_{\text{min}}$  нулю, получим

$$P_0 = 2 \frac{M_0 + M_1}{r} \quad (9.8)$$

$M_1$  вычисляется при  $N = P/2$  - значением продольной силы поперечного сечения кольца.

Рассмотрим эллиптическое кольцо, нагруженное равномерно распределенным давлением интенсивностью  $q$  (рис. 33, а). Учитывая симметрию, выделим четверть кольца (рис. 33, б), на которой давление которой  $R_1 = qa$ , а  $R_2 = qb$ . Выражениегибающего момента здесь

$$M(y) = M_1 - \frac{q}{2} \frac{a^2 - b^2}{b^2} y^2 \quad (9.9)$$

при составлении которого уравнение эллипса дано в виде

$(x/a)^2 + (y/b)^2 = 1$ . Из (9.9) следует, что  $M(y)$  имеет два экстремума: при  $y = 0$  и  $y = b$ . Случай соответствующей  $M$ , продольным моментом сечения при  $|N| = R_1 = qa$  и приравняв  $M(b) = M_2$  - продольному моменту сечения при  $|N| = R_2 = qb$ , получим выражение продольной

нагрузки

$$q_0 = \frac{M_1 + M_2}{a^2 - b^2} \quad (9.10)$$

Здесь предельно допустимо  $a > b$ . При  $a \approx b$ , когда величина  $b^2$  по сравнению с  $a^2$  можно пренебречь,  $M_1 = M_2 = M_0$  (9.10) совпадает с выражением для предельной нагрузки одноосевой балки с жесткими опорами по концам. При  $a = b = r$  (9.10) также сводится к круглому кольцу, нагрузка равномерно распределенной нагрузкой, изгибающие моменты равны нулю и возникает только продольная сила  $N = q r$ . Предельная нагрузка здесь вычисляется при  $N = N_0$  и равен  $q_0 = N_0 / r$ . При этом формула в (9.10)  $M_1 = M_2 = 0$ , формула дает неопределенность  $0/0$ , и кольцо можно рассчитывать только на устойчивость.

**2.5. Криволинейный шпигуль.** Рассмотрим криволинейный шпигуль, форма которого может быть произвольной прямой, скругленной с одной стороны (рис. 34). На части шпигуля приложены нагрузки равномерно распределенной нагрузкой интенсивностью  $q$ . (Такая сила соответствует нагрузке боковой конструкции шпигуля крыльями при вращении во время взлета или при задержании взлета, если шпигуль можно рассматривать как криволинейную балку.) Для конкретного случая рассмотрим, что нагрузка расположена в пределах произвольной части стороны и может вычислять произвольную часть дуги по выбранному участку. (Граница этого участка будет установлена ниже.)

При решении задачи статически неопределимой методом статически допустимых или напряжений может быть выделено в двух вариантах: изгибающие моменты в сечении кольца имеют одинаковые знаки (вариант 1) или разные знаки (вариант 2). Вариант 1 приводит к выделению изгибающих моментов, создаваемых криволинейной балкой длиной  $l$ ; соответственно совпадает с предельной нагрузкой. Поэтому здесь достаточно рассмотреть вариант 2, а в соответствии со статической экстремальной теоремой (см. § 4) можно выбрать тот из них, который дает область предельной нагрузки. Рассмотрим случай в шаровых сечениях показанных на рис. 34. Исходя из условий равновесия балки

$$R_1 - qc + R_2 = 0; \quad qc(c + \frac{c}{2}) - R_2 l + M_0 - M_1 - M_2 = 0 \quad (9.11)$$

Наибольшей имеет в продольном сечении на нагруженной части пружинящего участка

$$M(x) = M_1 - R_1 x + \frac{q(x-c)^2}{2}, \quad N(x) = -H \quad (9.12)$$

и на ненагруженной части пружинящего участка

$$\left. \begin{aligned} M(\varphi) &= -M_2 - R_2 (b - r \cos \varphi) + H(a - r + r \sin \varphi); \\ N(\varphi) &= -R_2 \cos \varphi - H \sin \varphi. \end{aligned} \right\} \quad (9.13)$$

На пружинящем участке  $M(x)$  имеет две экстремумы. Один расположен в сечении вышки, другой - в нагруженной части балки и может быть найден по (9.12) с использованием условия

$$\frac{dM(x)}{dx} = 0. \quad \text{Последнее дает область экстремума}$$

$$c_m = c_1 + \frac{R_1}{q}. \quad (9.14)$$

Выяснив условие существования локального экстремума, построим, чтобы с помощью экстремальных значений наибольших моментов с учетом знака различать предельную нагрузку сечения. Это дает

$$M_1 - R_1 \left( c_1 + \frac{R_1}{q} \right) + \frac{R_1^2}{q} = -M_2, \quad (9.15)$$

где  $M_1$  и  $M_2$  - продольные моменты сечения, вычисленные при  $N = N_1 = -N_2 = -H$ . Так как в рассматриваемых сечениях наибольшие моменты имеют разные знаки,  $M_1$  и  $M_2$  могут иметь разные значения (см. § 8). На пружинящем участке  $M(\varphi)$  также имеет два экстремума; один в сечении вышки; расчеты же второго выведем ниже из условия  $\frac{dM(\varphi)}{d\varphi} = 0$ . Последнее по (9.13) дает

$$\varphi_m = \arctg \frac{H}{R_2}, \quad (9.16)$$

и исходя из условия существования локального экстремума

$$-M_2 - R_2 (b - r \cos \varphi_m) + H(a - r + r \sin \varphi_m) = M_1, \quad (9.17)$$

где  $M_1$  - продольный момент сечения, вычисленный при

$N = N_2 = -R_2 \cos \varphi_0 - H \sin \varphi_0$ , а  $M_2$  - продольный момент при  $N = N_1 = -R_2 \cos \varphi_m - H \sin \varphi_m$ .

Здесь мы предполагаем, что  $\varphi_m$  относится к ненагруженной части балки.

Уравнения (9.14), (9.15) и (9.17) нужно решить совместно как систему, параметрами которой являются неизвестные реакции  $R_1, R_2, H$  и продольная нагрузка  $q$ . Сложно, однако, сразу применить (9.14) для  $c_m$  и (9.15) для  $\varphi_m$ , а также условия существования экстремума, связывающие  $M$  и  $N$  в продольном сечении, а значения  $N$  в сечениях, где наибольшие моменты имеют экстремумы. Все это значения зависят от неизвестных реакций. Решение такой системы возможно только численно.

Отметим, что указанные выше результаты относятся справедливо, если учесть только влияние продольной силы на поперечные сечения, где отклонение наибольшего момента и продольную моменту сечения незначительно (сильнее только в случае пружинящего стержня). Для пружинящей части стержня это справедливо, ибо имеет  $M = \cos \varphi$ , и, значит,  $c_m$  по (9.14) изменяться не может. Для пружинящей части величину  $\varphi_m$  нужно считать исходя из условия макс.  $[M(\varphi) - M(N)]$ , где  $M(N)$  - продольный момент сечения, вычисленный при  $N$ . Это может быть проверено, если  $\frac{dM(\varphi)}{d\varphi} - \frac{dM(N)}{dN} = 0$ . Учитывая, что

$$\frac{dM(N)}{dN} = \frac{dM(N)}{dN} \frac{dN}{d\varphi} \quad \text{в соответствии (9.13), получим}$$

$$-R_2 r \sin \varphi_m + H r \cos \varphi_m - \frac{dM(N)}{dN} (R_2 \sin \varphi_m - H \cos \varphi_m) = 0$$

$$\text{или}$$

$$\left( 1 - \frac{R_2}{H} \operatorname{tg} \varphi_m \right) \left[ 1 + \frac{1}{r} \frac{dM(N)}{dN} \right] = 0$$

Так как  $1 + \frac{1}{r} \frac{dM(N)}{dN} \neq 0$ , то  $1 - \frac{R_2}{H} \operatorname{tg} \varphi_m = 0$ ,

а последнее приводит к (9.16).

В качестве примера приведем результаты расчета по изложенной методике алгоритма среднего расчетного прибора СРТ-300. В расчете принято:  $l = 2,70$  м,  $a = 2,40$  м,  $b = 1,64$  м,

$c = 1,50$  м,  $C_T = 0,60$  м; профиль шпангоута - трехлопастный угловой 80 x 55 x 3, расчетная площадь обшивки  $B$  в  $500$  м<sup>2</sup>; материал - сталь с  $\sigma_T = 240$  МПа. По результатам расчета выдвинута предельная нагрузка оказалась в 2,25 раза больше предельной нагрузки прямолинейной балки длиной  $l$  (берем  $l$  соответственно изогнутого или выпрямленной). Это означает несомненность якоря в соответствующем  $M \neq 0$ .

Мы ограничились анализом статическим методом. Это оправдано тем, что во всех рассмотренных задачах деформированное поле напряжений очевидно, а лишь в последней задаче потребовалось рассмотреть статически неустойчивое поле напряжений в двух направлениях. В более сложных случаях может потребоваться контроль полученных результатов с помощью и в аналитическом и в табличном. Для этого достаточно разместить в выделенных местах закрашенные выгибающие моменты пластических шарниров, оценить в них силы от балки, отвлеченными выгибающими моментами, и проверить кинематическую возможность получившейся под перемещением. Дальнейшее вычисление предельной нагрузки кинематическим методом не встречает принципиальных затруднений, например, решение для растянутого кельма в [109]. Обращает на себя внимание то, что пластические механизмы, образующиеся в криволинейных стержнях, обычно имеют большее число пластических шарниров по сравнению с прямолинейными балками.

**9.6. Особенности расчета рам с прямоугольными вырезами.** Ограничим наш рассмотрение плоских рамных с прямоугольными вырезами, составленных из прямых стержней, - наиболее распространенным типом рам в составе конструкций корпусов. Для предельного состояния существует  $n$ , зависит ли угол рамы пологим или выгнутым. В узлах рамы, ограниченных стержнями, которые несут поперечную нагрузку, выгибающие моменты всегда имеют поперечные вырезы.

Если эти узлы неограничены, в предельном состоянии якоря всегда появляются пластические шарниры, и расчет рам сводится к расчету стержней от стержней или мембраны или одномерных балок. Переход от мембранного расчета многопролетных шарнирных балок (см. § 5). Единственным отличием состоит в том, что в стержнях рамы возникают продольные силы, если их ось совпадает с направлением действия внешних нагрузок. Однако эти продоль-

ные силы постоянны по длине стержня и поэтому не влияют на форму деформируемого пластического механизма. Их наличие может сказаться лишь на величине продольного момента обшивки (§ 8). В большинстве случаев это мало существенно, а учет его не увеличивает затруднений.

Наличие вырезов узла у рамы может существенно изменить форму пластического механизма и поэтому весьма значительно повлияет на предельную нагрузку. Проиллюстрируем это на примере расчета простой шпангоутной рамы при якоря кинематического метода, который позволяет более четко выявить интересующие нас особенности.

**9.1. Простая шпангоутная рама.** Рассмотрим простую раму, являющуюся узлом которой шарниры опоры, а к концу вертикальной стержней приложена сила  $P$  (рис.35,а). Обозначим через  $M_1$ ,  $M_2$  и  $M_3$  - продольные моменты стержней стержней рамы, а для определенности допустим, что  $M_1 < M_2 < M_3$ . Очевидно, что возможны якоря выгибающих моменты показаны на рис.35,б. Но якоря видны, что в раме есть лишь стержни, где выгибающие моменты достигают неустойчивых значений: в узлах и под силой  $P$ . Выявляем возможные комбинации расположения пластических шарниров в этих стержнях, затрудняя выявить те же якоря, которые представляют раму в пластическом механизме с одной стороны свободно. Результат показан на рис.36, где представлены все возможные варианты. Рассмотрим их, следуя процедуре, проиллюстрированной решением § 5.

В  $x$  и  $y$  и  $z$  и  $l$  - балочного типа (рис.36,а). Работу вырезов сил  $U = Py$ ; углы slopes в пластических шарнирах

$$\theta_1 = r/b; \theta_2 = r/a + r/b; \theta_3 = r/a,$$

энергия распада  $D = M_1\theta_1 + M_2(\theta_2 + \theta_3)$ .

Выразившем  $U$  и  $D$  после подстановки в преобразованной, получим выражение продольной нагрузки, связанной длиной мембраны:

$$P_0^{(0)} = M_1 \frac{1}{b} + M_2 \left( \frac{2}{b} + \frac{1}{a} \right). \quad (9.18)$$

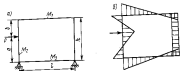


Рис. 35. Связь (а) и эпюр изгибающих моментов (б) простой прямоугольной рамы.

**Механизм 2** - механизм перекоса (рис. 35, б). Работу механизма сдвиг остается такой же, как у механизма 1; угол сдвига во всех шарнирах по абсолютному значению одинаков и равен  $\theta = l/\alpha$ ; изгибающий момент равен  $D = 2(M_1 + M_2)\theta$ . Пролетная нагрузка  $P_0$  и  $D$ , получим

$$P_0^2 = (M_1 + M_2) \frac{2}{\alpha} \quad (9.19)$$

**Механизм 3** - комбинированный (рис. 35, в). Он получается заданием механизма перекоса в фиксированном виде. При этом, чтобы комбинированный механизм имел только одну степень свободы, нужно исключить шарнир в верхнем левом углу, где угол сдвига у соседних механизмов имеет противоположные знаки. Работа механизма сдвиг здесь остается той же, что и раньше; угол сдвига в шарнирах

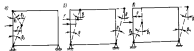


Рис. 36. Пластические механизмы рамы: а - безоткосный тип; б - перекос; в - комбинированный.

$\theta_1 = \theta_2 = l/\alpha$ ;  $\theta_3 = \theta_4 = r/\lambda$ ; изгибающий момент  $D = M_1\theta_1 + M_2(\theta_2 + \theta_3 + \theta_4)$ ; пролётная нагрузка

$$P_0^2 = M_1 \frac{1}{\alpha} + M_2 \left( \frac{2}{\alpha} + \frac{r}{\lambda} \right) \quad (9.20)$$

В соответствии с канонической предельной теоремой (см. § 4) во всех шарнирных сечениях  $P_0$  будет достигнута величина  $\lambda > \beta$ ;  $P_0^2 > P_0^{pl}$ , а следовательно, механизмы 1 возможны realizоваться не могут. Согласно (9.19) и (9.20), нетрудно показать, что  $P_0^2 > P_0^{pl}$  при  $\frac{M_2}{M_1} < \frac{2\lambda}{\alpha} - 1$ . Таким образом, окончательно

$$P_0 = \begin{cases} (M_1 + M_2) \frac{2}{\alpha} & \text{при } \frac{M_2}{M_1} \geq \frac{2\lambda}{\alpha} - 1; \\ M_1 \frac{1}{\alpha} + M_2 \left( \frac{2}{\alpha} + \frac{r}{\lambda} \right) & \text{при } \frac{M_2}{M_1} < \frac{2\lambda}{\alpha} - 1. \end{cases} \quad (9.21)$$

Вместо нагрузки с заданными расчетом рам можно пользоваться, например, в [33].

§ 10. Кручение. Пролётная нагрузка имеет несимметричную и поперечную кривую

**10.1. Частая кривая. Пролётный момент сдвига.** Начнем со сечения в углу того сечения и рассмотрим процесс развития в нем пластических деформаций. В угловой области распределение касательных напряжений  $\tau$  в сечении будет равноудалено (рис. 37, а). С ростом крутящего момента  $M_k$  максимальные касательные напряжения в точках у центра сечения достигнут  $\tau_T$  - предела текучести при сдвиге, и затем здесь возникнет область пластического течения, которая при дальнейшем увеличении  $M_k$  будет расширяться в направлении к центру сечения (рис. 37, б). Когда пластическая зона достигнет центра (рис. 37, в), все сечение окажется сплошной пластической деформацией, что является его предельным состоянием.

Крутящий момент  $M_{sk}$ , воспринимаемый сечением в предельном состоянии, - предельный момент сечения при кручении, - можно вычислить

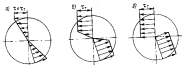


Рис. 37. Напряжения в сечении круглого стержня при кручении: а - упругий стержень; б - упруго-пластический стержень; в - предельное состояние.

или

$$M_{\text{ок}} = 2\pi \int_0^R \tau_r r^2 dr = \tau_r \frac{\pi D^3}{12}, \quad (10.1)$$

где  $D$  - диаметр сечения.

Приняв токжества при сдвиге по условию пластичности Треска  $\tau_r = \sigma_r/2$ , по условию пластичности Мизеса  $\tau_r = \sigma_r/\sqrt{3}$

(см. § 2). Тогда предельный

$$M_{\text{ок}} = \tau_r W_{\text{ок}}; \quad W_{\text{ок}} = \frac{\pi D^3}{12}, \quad (10.2)$$

где  $W_{\text{ок}}$  - предельный момент сопротивления сечения при кручении.

Полный момент сопротивления круглого сечения, или момент инерции,  $W_p = \frac{\pi D^4}{64}$  и  $W_{\text{ок}}/W_p = 1,33$ .

При расчете концевых сечений рассуждения совершенно аналогичны, и

$$W_{\text{ок}} = \frac{\pi (D^3 - d^3)}{12}, \quad (10.3)$$

где  $d$  - внутренний диаметр вала.

Для тонкого концевых сечений

$$W_{\text{ок}} = \frac{\pi D^2 t}{2}, \quad (10.4)$$

где  $t$  - толщина вала.

Задачу определения предельного момента сечения при кручении можно решить и в общем виде для сечений произвольной формы. Для частного кручения характерное возмущение в поперечном сечении стержня только касательных напряжений, т.е.  $\sigma_x = \sigma_y = \sigma_z = \tau_{xy} = 0$ . (Ось  $x$  совмещена с осью стержня.) Тогда дифференциальные уравнения равновесия (см. § 2) сводятся к

$$\frac{\partial \tau_{xy}}{\partial y} + \frac{\partial \tau_{xz}}{\partial z} = 0.$$

Это тождество удовлетворяется, если

$$\tau_{xy} = \tau_r \frac{\partial \Psi}{\partial z}; \quad \tau_{xz} = -\tau_r \frac{\partial \Psi}{\partial y}, \quad (10.5)$$

где  $\Psi = \Psi(y, z)$  - функция напряжений.

Главные касательные напряжения в плоскости сечения

$$\tau = \sqrt{\tau_{xy}^2 + \tau_{xz}^2} \quad \text{в предельном состоянии должны быть равны}$$

$\tau_r$ . Откуда

$$\left(\frac{\partial \Psi}{\partial y}\right)^2 + \left(\frac{\partial \Psi}{\partial z}\right)^2 = 1. \quad (10.6)$$

На контуре сечения  $\tau$  должно быть направлено по касательной к контуру. Для однозначности контура это условие в (10.6) удовлетворяется, если  $\Psi$  - поверхность равного света, ориентированная по контуру. Разными радиусами кривизны и внутренним сгибом сечения вали с учетом (10.5)

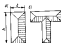


Рис. 38. Схемы поверхности равного сдвига для прямоугольного контура (а) и контура, составленного из прямоугольников (б).



Рис. 39. Деформация сдвига и набор при повороте с кручением.

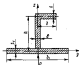


Рис. 40. Схема несимметричного профиля.

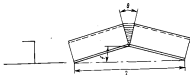


Рис. 41. Схема tapered сдвига.

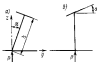


Рис. 42. Поворотный набор (а) и набор с поворотным свободным поперечем (б).

$$M_x = - \iint (\varepsilon_{xy} z - \varepsilon_{xz} y) dy dz = 2 \tau_1 \iint y dy dz. \quad (10.7)$$

Таким образом, для сечений с произвольными контурами предельный момент сдвигивания при кручении пропорционален удвоенному объему тела, ограниченного плоскостью сечения и поверхностью равного сдвига, которая образуется по его контуру. Нормаль к поверхности равного сдвига, как известно, имеет постоянный угол с нормалью к ее основанию, равный  $45^\circ$ . Для круглого сечения диаметром  $D$  эта поверхность имеет вид кругового конуса высотой  $\frac{1}{2} D$ ; для прямоугольного же профиля, составленного из прямоугольников, она имеет вид "крыши" (рис. 38). Известно позволяет для последних контуров вычислять  $W_{\text{сдв}}$ , пользуясь элементарными геометрическими представлениями. Так, для прямоугольного профиля (рис. 38, а) высота "крыши" равна  $h/2$  и

$$W_{\text{сдв}} = - \frac{b^2}{8} (3h - b). \quad (10.8)$$

Для вытянутого прямоугольника (п о л о с а), когда  $h \gg b$ ,

$W_{\text{сдв}} \approx - \frac{b^2 h}{8}$ . Эта формула при  $h/b > 12$  дает ошибку менее 3%. Для профиля, составленного из вытянутых прямоугольников (та у р а, ш е л л е р а, л у т т а к е р а и т. п., рис. 38, б):

$$W_{\text{сдв}} \approx \frac{1}{8} \sum_k b_i^2 h_i, \quad (10.9)$$

где  $b_i$  и  $h_i$  — соответственно ширина и высота  $i$ -го элемента профиля;  $k$  — число прямоугольных элементов в профиле.

Плоскосты, близкие к плоскостям равного смещения, можно считать, если не горизонтально расположенную плоскость, имеющую форму сечения, называть одной плоскостью. Естественный отток образующей линии даст коническое представление. Это аналогично представлению А. Давида, в книге которого [36] можно найти более подробное изображение рассмотренного вопроса и многочисленные примеры как для естественных, так и искусственных конструкций.

Известно, что при кручении круглых стержней происходит деформация поперечных сечений — сечения, плоские до деформации, в результате деформации искривляются. Это состоит из особой поперечной деформации сдвига. Если деформация сдвига, т.е. угловым перемещением соседних продольных, в сечении под действием нормальных напряжений, что, естественно, осуществляется на его предельном состоянии. Подробно эти вопросы изложены, например, в [121, 122], где рассмотрено большое число примеров, касающихся предельного состояния сечения, предельных внутренних сил и т.д.

### 10.2. Предельная нагрузка балки несимметричного сечения.

Величина сдвигающего момента в четверках тонкостенных стержней. На стержень круглого сечения, однако, имеют существенные особенности, связанные с наличием осязкой, в которой происходит деформация, что приводит к кручению балки из законов получения теории В.В.Васюкова [22, 25, 118]. Крутящий момент сечения имеет вид деформированный при сдвиге профиля от перпендикулярной плоскости его предельного состояния, называемый плоскостью обшивки, находится в плоскости, перпендикулярной оси балки; отсюда профили также находятся в плоскости своей неизменной жесткости (рис. 38).

Рассмотрим величину деформации балки с круглым сечением несимметричного профиля в предельном состоянии крутящего момента (рис. 40), нагруженной в плоскости оттока. Рассмотрим сечение профиля в положении и показываем в угловой точке отсеченного крутящего момента с углом в соответствии с наличием в сечении соответствующих нормальных напряжений в отсеченном профиле от перпендикулярной плоскости — см. рис. 24, а также [25, 102, 122] и др. Значит с предельным состоянием сечения будем решать, считая, что величина деформации профиля трансформируется по сравнению с ней по-

радой, площадь сечения профиля меньше площади сечения предельного состояния, площадь нормальных напряжений в угловой плоскости материала трансформируется. Рассмотрим отток в  $\theta$  и  $\beta$  и  $\gamma$  и  $\delta$ , заданы все напряжения в сечении балки; внутренняя ось сечения располагается в предельном состоянии; собственно профили растут, в напряжениях в нем равны  $\sigma$ ; предельный момент растет частями, напряжения в нем  $\pm \sigma$ ; распределение напряжений в предельном состоянии может быть несимметричным относительно оси  $Z$ .

Условие равновесия внешних и внутренних сил в сечении

$$\begin{aligned} \int \sigma dF &= 0; \\ \int \sigma x dF &= M_0; \\ \int \sigma y dF &= 0. \end{aligned} \quad (10.40)^*$$

Для первых условий совпадают с (4.1) в точке срезания предельного момента сечения (см. § 4) и, естественно, приводят к тем же результатам:

$$F_+ = F_- = \frac{F}{2}; \quad (10.41)$$

$$M_0 = \sigma_T (S_+^2 + S_-^2), \quad (10.42)$$

Примечание к чертежу редактора. В перечисленных условиях, кроме того, можно быть определенным условием равновесия балки относительно сдвигающего момента, обуславливающего несимметричность поперечного сечения относительно плоскости действия нагрузки. Этот отток углов при отсеченном состоянии, характерных для сдвигающих конструкций, не является и заметным компонентом результатов сдвигающего состояния.

\* Настоящий и следующий разделы написаны совместно с В.П.Давидом.

где  $F_+$  и  $F_-$  - результирующая и суммарная части плоской системы соответственно;  $S_+^M$  и  $S_-^M$  - статические моменты  $F_+$  и

$F_-$  относительно выбранной оси.

Обозначим, как и ранее,  $F_N = b_1 c_1$ ;  $F_C = h_1 \delta$ ;  $F_N^1 = b_1 c_1^1$ ;  $F = F_N + F_C + F_N^1$ . Кроме того, введем безразмерные коэффициенты  $0 < \eta_1 < 1$  и  $0 < \eta_2 < 1$ , считая, что  $\frac{F_N^1}{2} \eta_1$  - результирующая часть плоской системы параллельного пояса при  $y > 0$ ,  $\frac{F_N^1}{2} \eta_2$  - то же самое для другой половины параллельного пояса при  $y < 0$ . Тогда

$$F_+ = F_N + F_C + \frac{F_N^1}{2} (\eta_1 + \eta_2); \quad (10.13)$$

$$F_- = \frac{F_N^1}{2} (2 - \eta_1 - \eta_2).$$

Подстановка это в (10.11), получим

$$F_N + F_C - F_N^1 (1 - \eta_1 - \eta_2) = 0. \quad (10.14)$$

Статические моменты здесь вычислим как  $S_+^M = h \left( F_N + \frac{F_C}{2} \right)$ ;  $S_-^M = 0$ , и после подстановки в (10.12) получим

$$M_0 = G_T S_+^M = G_T h \left( F_N + \frac{F_C}{2} \right). \quad (10.15)$$

Третье условие (10.10) представим как

$$\int_0^L y dF - G_T \int_{F_+} y dF - G_T \int_{F_-} y dF; \quad (10.16)$$

$$\left. \begin{aligned} \int_{F_+} y dF - F_N \frac{b}{2} + \frac{F_N^1 b_1}{4} \eta_1 - \frac{F_N^1 b_1}{4} \eta_2; \\ \int_{F_-} y dF - \frac{F_N^1 b_1}{4} (1 - \eta_1) - \frac{F_N^1 b_1}{4} (1 - \eta_2). \end{aligned} \right\} \quad (10.17)$$

Это приводит к уравнению

$$F_N b + F_N^1 b_1 (\eta_1 - \eta_2) = 0. \quad (10.18)$$

Решая совместно (10.14) и (10.18), найдем

$$\begin{aligned} \eta_1 &= \frac{1}{2} \left[ 1 - \frac{F_N}{F_N^1} \left( 1 + \frac{F_C}{F_N} + \frac{b}{b_1} \right) \right]; \\ \eta_2 &= \frac{1}{2} \left[ 1 - \frac{F_N}{F_N^1} \left( 1 + \frac{F_C}{F_N} - \frac{b}{b_1} \right) \right]. \end{aligned} \quad (10.19)$$

Решая ограничения неравенств  $\eta_1$  и  $\eta_2$ , получим границы, в пределах которых справедливо данное решение:

$$\frac{F_N}{F_N^1} \left( 1 + \frac{F_C}{F_N} + \frac{b}{b_1} \right) < 1. \quad (10.20)$$

Таким образом, при выполнении (10,20) все условия (10,10) удовлетворяются, и, следовательно, прямое поле напряжений является статически допустимым. Это отвечает предельный момент оттока по (10,15), что совпадает с парадоксом предельного момента изогнутого профиля с симметричным свободным поперечем (5,3). Это значит, что совпадут в значении предельный момент балки, найденные статическим методом.

Решив ту же задачу кинематическим методом, и, задавая кинематическое возможное поле перемещений сдвух концов образцом (рис.41): деформированный ось балки представляется собой плоскую, состоящую из двух отрезков прямых и вращающуюся в определенной плоскости стенки. Вся балка остается жесткой на жестком осях в районе сдвига, где развивается пластические деформации (на разрыве на закрутке); вершины сечения лежат в присоединенной плоскости, как термометр не вращается.

Поскольку ось вращения параллельна балке, оставшиеся жесткости, лежат в присоединенной плоскости, материал обогнутого профиля будет вращаться только растяжением: продольные удлинения. Другой компонент деформации здесь не возникает. Поэтому в деформированной зоне имеют место только нормальные напряжения, равные  $\sigma_y$ . Момент, который они создают относительно оси вращения, равен (10,15) - предельному моменту симметричного профиля. Загрязнение рассматривается здесь  $D = M_0 \theta - M_0 \frac{d\theta}{dx}$ . Это поле не отличается от результатов, полученных в § 4 и 5.

Таким образом, рассмотренные равновесие статическим и кинематическим методом для создания результата. Это в соответствии с экстремальными теоремами теории предельного равновесия (§ 4) свидетельствует о том, что они являются точными. Однако следует иметь в виду, что симметричные профили при изогнутом ограничении (10,20) не предельную нагрузку балки не в плане. Для равных балок сдвух концов (10,20) практически всегда выполняется.

В предельном равновесии рассматриваются изогнутые балки сдвига. Возможность распределения результатов решения не плоскую, подравненную несколькими балками, не очевидно и была проверена методом перемещений на моделях, которые представляли собой элемент оболочки с двумя балками сдвига, как на рис.39. В эксперименте обнаружилось: соотношения размеров элементов про-

фили, его форма (угловой профиль непосредственно сопоставляется с теоретическим профилем), относительное расположение (модели с угловыми линиями, повернутыми поперечем в одну сторону, в разные стороны), протекание балки, условия их закрепления (первое опирание в жесткая модель), толщина листовых оболочек и пр. Всего было построено 62 модели. В жестких концах модели имели жесткие опоры. Несомненно нагрузка была распределена на большей части протекания балки и приспосабливалась в плоскости их сдвига (плотность оболочки между балками сдвига не нарушалась).

Эксперименты дали следующие результаты:

1. Величина коэффициента профиля балки на его изогнутую плоскость не обнаружена. Предельные нагрузки балок углового и теоретического профиля при одинаковых предельных моментах сопротивления оказались приблизительно одинаковыми.

2. В угловой области наблюдалась отклонения кинематического сдвига от своей первоначальной плоскости (закручивание) - см. рис. 39. Соотношение с угловой равновесием (см. § 34 и [20]) мало отличается количественно соответствия. Однако резкий рост этих отклонений имел место лишь при жесткости предельного состояния. В больших случаях случалось наблюдаться изменение знака отклонений: в предельном состоянии сдвиг зачастую резко отклонялся в направлении, противоположном направлению отклонения, имевшего место в угловой области.

Этот эффект можно объяснить тем, что в состоянии, близком к предельному, резко возрастает "чувствительность" сдвига к малым крутящим моментам, возникающим вследствие случайных неровностей или эксцентриситетов и приложенных нагрузок. Эти моменты, практически не влияющие на работу сдвига в угловой области, вызывают отклонение его закручивания в предельном состоянии и определяют знак угла закручивания. Аналогичная картина в ряде случаев имеет место и у балки симметричного профиля. Однако кинематические профили проявляют существенно оболочку склонность к закручиванию. При этом естественно необходимо также помнить, что балки несимметричного профиля обладают меньшей устойчивостью плоской формы.

3. Величина кинематической податливости оболочки в направлении, перпендикулярном направлению сдвига, на предельную нагрузку сдвига не обнаружена. В угловой области имеют плоские оболочки соответствующим образом на рис.39. Однако с развитием пластических деформаций в сдвиге, когда началось формирование пластических шар-

красе, рост прогибов обшивки между набором возрастало (могло даже возникнуть увеличение прогибов), и в ней красе ось шарнира образовывалась слом. Красе роль поперечного ребра жесткости, слом обшивки предотвратил быгибу обшивки.

Аналогичные явления наблюдались при исследовании моделей о зномы тонкой обшивкой. Малые сдвигиные напряжения в обшивке, возникающие вследствие гибкости набора и изогнутой стали, уменьши лопере устойчивости обшивки: в пластике возникали гофры со значительными стрелками прогиба. Однако во мере развития пластических деформаций в наборе в обшивке появились поперечный слом, обозначивший положение ее участка в гибкости набора как присоединенного полуса; этикетки потери устойчивости обшивки на несущую способность набора не обнаруживалась.

**10.3. Перевернутая нагрузка бабок поворотного набора.** Сказанное выше может быть легко обобщено и применено при рассмотрении поворотного набора, встречающегося в самолетостроении, когда стенки бабок набора интерпретируются обшивкой (рис. 42, в). В отличие от решения космической изгибаемой в собственно профиле относительно оси  $X$  при удовлетворении третьего уравнения равновесия (10.10), так же как в изогнутом решении, компенсируется несимметрией распределения напряжений в присоединенном полусе (разной параметром  $\eta_1$  и  $\eta_2$ ). Прямой момент сопротивления в этом случае вместо (10.25) определяется следующим образом:

$$M_0 = \sigma_1 A \left( F_0 + \frac{F_C}{2} \right) \cos \alpha, \quad (10.21)$$

где  $\alpha$  - угол отклонения стенки набора от нормали к обшивке. Отрицательное направление момента (10.20) приобретает вид

$$\frac{F_0}{F_0^*} \left[ 1 + \frac{F_C}{F_0} + \left( 2 + \frac{F_C}{F_0} \right) \frac{h}{b_1} \sin \alpha \right] \leq 1. \quad (10.22)$$

При их выполнении и выполнении предельного момента сечении по (10.21) методики определения предельных нагрузок бабок поворотного набора не отличается от мето-

дики определения нагрузок бабок прямого набора.

Судя по полученным результатам несимметричной устойчивости свободного полуса плоскости стенки (рис. 42, б) такие конструкции встречаются в самолетостроении у поворотного набора при существенной изогнутой кривизне обшивки) вообще не влияют на предельную нагрузку бабок.

Приведенные выкладки проверялись экспериментально на моделях, изготовленные сплавом дюралюминий, и подтвердились как для симметричного, так и для несимметричного поворотного набора. Угол  $\alpha$  варьировался от 0 до  $30^\circ$ . Режим отклонения поворотного набора после достижения предельной нагрузки всегда происходило в сторону увеличения угла  $\alpha$  до момента отрыва набора. В исследованных случаях значительно обшивки отклонения значений предельных нагрузок от их средних значений у поворотного набора по сравнению с прямым набором. Это свидетельствует о снижении устойчивости работы конструкции в состоянии, близком к предельному, при малых поворотах набора.

Было также исследовано четыре модели с бабками таврового профиля, имеющие разворотные свободные полуса (рис. 42, в). Отличий в их поведении и в значениях предельной нагрузки по сравнению с обшивкой, у которой стенки перпендикулярны стенке, не обнаружено.

§ 15. Пределные конструкции  
после достижения предельного состояния

15.1. Пределная нагрузка как индикатор прочности. Учет геометрической нелинейности. Пределные нагрузки, вычисленные с помощью теории предельного равновесия, относятся к пределу конструкции в предельном состоянии, когда дальнейшее разрабатывание пластическим деформациям она превращается в кинематический механизм пластической нелинейности. Возникающие при этом перемещения конструкции неограничены, ибо в теории предельного равновесия предполагается, что изменение геометрии конструкции исключается ее деформацией трансформации тела (задача решается в геометрически нелинейной постановке).

Поскольку теория предельного равновесия не может ответить на вопрос, какими будут перемещения в конструкции после достижения предельной нагрузки. Ответ на этот вопрос имеет большое практическое значение. Прежде всего он связан с оценкой предельной нагрузки как критерия предельной прочности конструкции.

Когда достигнута предельная нагрузка возникает в конструкции нелинейные перемещения, это означает ее разрушение, и предельная нагрузка может быть отождествлена с разрушающей нагрузкой. В этом случае можно оценить, насколько точно предельная нагрузка характеризует момент разрушения, но может ли разрушение произойти при меньших нагрузках.

Когда на достигнута предельная нагрузка означает появление балки, но ограниченных перемещений, дальнейший рост которых

требует увеличения внешних нагрузок, потерянные несущей способностью конструкции не прекращает. Тогда можно оценить, как велика возникшие перемещения, насколько они не способствуют для дальнейшей эксплуатации конструкции. Однако, предельная нагрузка в этом случае как критерий предельной прочности играет другую роль, является качественно иной характеристикой.

Чтобы ответить на поставленные вопросы нужно учесть в расчете нелинейную геометрию конструкции, т.е. решать задачу в геометрически нелинейной постановке. (При этом, конечно, нужно помнить, что в тогда решался вопрос о несущей способности конструкции не будет исключены, ибо здесь не рассматриваются вопросы потерь устойчивости, возникающих в местах разрушений и др., см. также § 4.)

Геометрически нелинейные задачи отличает две особенности: во-первых, исключаются равновесия конструкции изоплюсны или деформированного состояния, поэтому в уравнениях равновесия появляются члены, содержащие перемещения; во-вторых, поскольку перемещения отличны от нуля, возникают в уравнениях, связывающие деформации и перемещения (уравнения Коши, см. § 2), уравнения нелинейные члены. При этом элементы структуры (балки, пластины, оболочки) изменяются их геометрия определяется в конечном состоянии. Перемещения вдоль оси балки (в продольной поверхности пластины или оболочки) имеют существенное значение. Это позволяет упростить задачу, если в уравнениях равновесия не все компоненты перемещений, а только продольная, в уравнениях Коши только те компоненты члены, которые зависят от продольных.

При этом балка учит изменения ее геометрии, как правило, осуществляется лишь в случаях, когда нагрузка с поперечной нагрузкой на балку действует продольные балки. Если последние заданы, тогда случаи прямого момента сдвига и изгибом балки в. Если распространены такие задачи, когда продольные балки являются результирующими и возникающие как результат принятых соотношений между балкой при изгибе - продольно. Улучшения как балка от продольных сил и отличиями их направлением правые моменты соответственно цели и цели изгибов балки и в. При этом балка. При рассмотрении более сложных конструкций: пластины и оболочки, а также рамы, элементы также применяются стержней и др., учет влияния изменений геометрии существенно в этих случаях, когда возникают предельные балки или распор отсутствуют

### 11.2. Равновесие изгибаемых жесткопластичных балок.

Для геометрически нелинейной, естественной, привели к единственному условию равновесия. Получены решения для простых балок сжимаются также на элементарном. Здесь приводятся основные стороны теории предельного равновесия — ее простота, что является важно в инженерных расчетах. Показано применение метода, особенно простому методу теории предельного равновесия, проводящего ограничения ее результаты учетом геометрической нелинейности. Рассмотрение идет в такой постановке и является настоящей главой.

В изгибании, как и в теории предельного равновесия, материал приближается идеальным жесткопластичным, но вольновольно профем считается существенным. Это показывает [9], что в равновесии жесткопластичная сжимающаяся балка имеет возможность выдержать нагрузку после появления предельной нагрузки — единичной предельной нагрузки как критерий предельной прочности; в ряде случаев возможно определить предельную нагрузку при больших перерывах, когда внешние нагрузки существенно не изменяются. Здесь остается предельная статическая и кинематическая методы теории предельного равновесия, если ввести в них некоторые особенности. Сказанные предельные методы на простых примерах.

**11.3. Статический метод.** Рассмотрим шарнирную балку, нагруженную сосредоточенной силой  $P$  посередине пролета и в результате равномерными силами  $N = \rho n x$  (рис. 43, а). Поскольку материал балки жесткопластичный, прогибы в ней происходят после образования пластического шарнира. Предполагаем, что ось балки при этом приобретает форму ломана, состоящей из двух отрезков прямых (линейные балки на рис. 43, а). Поиск такой статической модели теории предельного равновесия, нужно рассмотреть вокруг изгибаемых моментов. Такой поиск представлен на рис. 43, б и является результатом графоаналитического сложения векторов моментов от поперечной нагрузки  $M(x)$  и продольной оси  $Nx$ . (Для последнего вычисления, так как прогибы не считаются существенными.) Чтобы не нарушалось условие жесткости, изгибающие моменты

$$M_G = N(x) - Nx \quad (11.1)$$

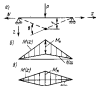


Рис. 43. Схема балки (а) и эпюры изгибающих моментов (б) и осевых сил (в).

во всех сечениях не должны превышать предельного момента сечения балки  $M_N$ , который вычисляется с учетом влияния продольной оси (см. § 8), т. е.  $M_G \leq M_N$ . Последнее есть условие жесткости

поперечной. На опыте на рис. 43, б видно, что наибольшее значение  $M_G$  имеет посередине пролета и равно жесткости сечения поперечной будет вычислено, если потребовать  $M_G \text{ макс} = M_N$ .

Разрешим  $M_G \text{ макс}$ , получим  $\frac{Pl}{2} - Nl = M_N$ . Поскольку нам известно жесткость сечения  $M_N \leq M_N$ , правая часть формулы примет ось балки является прямой. Полученное выражение содержит шарнирную точку прогиба балки  $f$  и

$$P = \frac{2}{l} (M_N + Nl), \quad (11.2)$$

т. е. жесткость балки определяется жесткостью поперечной нагрузки  $P$  и, следовательно, предельная балка в шарнирной точке не является жесткостью ее жесткости. Это и есть результат влияния жесткости геометрии балки.

Рассмотрим ту же балку, но в случае, когда прогибаемые ось балки — сжимающиеся. Эпюры моментов  $M_G$  представлены на рис. 43, в. Приравняем  $M_G \text{ макс}$  к  $M_N$ , получим вместо (11.2)

$$P = \frac{2}{l} (M_N - Nl). \quad (11.3)$$

Из этого уравнения видно, что равновесие пружины здесь должно обеспечиваться равновесием поперечной нагрузки  $P$ . В противном случае будет нарушена равная жесткости. Это также результат влияния изменения геометрии балки.

Отличительная особенность приведенных примеров по сравнению с определенным продольной нагрузкой балки при изогнутом изгибе (см. аналогичный пример в § 4 при  $N = 0$ ) состоит в том, что равновесие пластического механизма рассматривалось относительно деформированного состояния балки. Это необходимо в учете кинематического момента от продольных сил, зависящих от величины прогиба. Если считать прогиб весьма малым и положить в (II.2) и (II.3)

$$f = 0, \text{ то } P = \frac{4M_1 \kappa}{l}, \text{ что соответствует условию равновесия, определенному в недеформированном состоянии балки. Это значит}$$

$P = P_0$  есть предельная нагрузка балки, которую дает теория предельного равновесия (§ 4). Таким образом, статический метод теории предельного равновесия можно использовать для решения геометрически нелинейных задач, только разумеется конструкции можно рассматривать лишь в деформированном состоянии.

**II.4. Кинематический метод.** Напомним (см. § 4), что в кинематическом методе исследуемое равновесие кинематически возможного пластического механизма выполняется с использованием только возможных перемещений

$$\frac{\delta U}{\delta q_k^*} = \frac{\delta D}{\delta q_k^*}, \quad k = 1, 2, \dots, \quad (\text{II.4})$$

где  $q_k^*$  — обобщенные перемещения. (Число  $q_k^*$  можно выбирать по числу степеней свободы пластического механизма или число независимых параметров, с точностью до которых задано поле перемещений.)

В задачах теории предельного равновесия (геометрически нелинейной) работа внешних сил  $U$  и внутренняя рассеиваемая  $D$  — величинами функциями перемещений. Поэтому теорема (II.4) выполняется в форме  $U = D$ . В ином случае  $U$  и  $D$  — различные функции перемещений, а число возможных перемещений надо выбирать в

дифференциальной форме (II.4).

Продолжим рассмотрение примера плоского изгиба балки (рис. 43,а). Как и прежде, выберем формулу по изогнутой оси в виде линейной, состоящей из двух отрезков прямых с пластическим шарниром посередине пролета. Кинематический механизм балки имеет одну степень свободы, и поэтому перемещений всего его точек можно однозначно определить, зная, например, значение  $f$  — максимальной отрезки прогиба, которую в принципе в качестве обобщенного перемещения. Тогда по (II.4)  $\frac{\delta U}{\delta f} = \frac{\delta D}{\delta f}$ . Рассеиваемая энергия происходит только в пластическом шарнире, где угол сдвига  $\theta = \frac{2f}{l}$  и соответственно  $D = M_1 \theta = M_1 \frac{2f}{l}$ . Работу внешних сил представим как  $U = Pf = N \omega_1$ , где  $\omega_1$  — обобщенное координатное поле балки при изгибе. Балка мнуга перед  $N$  связана с тем, что направление  $N$  и направление перемещения точки ее приложения (вместо ступенчатого конца балки) противоположны. Координату  $\omega_1$  выстроим, полагая ось балки изгибаемой. (Вспомогательное в общем виде понятие, что по результату это не окажется.) Имеем в виду, что изогнутая ось балки — ломаная, состоящая из двух отрезков прямых, каждый

$$\omega_1 = l - 2\sqrt{\frac{l^2}{4} - f^2} \approx l - l(1 - 2\frac{f^2}{l^2}) = 2\frac{f^2}{l}. \quad (\text{II.5})$$

Дифференцируя  $U$  и  $D$  по  $f$  и приравняв результаты, получим

$$P = N \cdot 4\frac{f}{l} = N \frac{4}{l},$$

что приводит к формуле (II.2), полученной выше статическим методом. Если прогибные силы считать балку, просто лишь пометить величину  $N$  и направление для  $U$ . Все остальное останется без изменений, и мы придем соответственно к (II.3).

Таким образом, кинематический метод теории предельного равновесия также может быть использован для ре-

или геометрически неизменяемых за-  
дач, только при выполнении работы  
внешних и внутренних сил должны  
быть учтены допустительные условия,  
отражающие существование при  
сопоставляемых прогибах. (В явном примере - это работа  
сил  $M_1$ .) Отметим также, что результаты, полученные статическим  
и динамическим методами совпадают. В области теории предельного  
равновесия такое совпадение в силу ее экстремальных теорем со-  
впадает с тем, что выдвинуто recently в рамках экстремальных пре-  
делных этой теории напутной точкой. В явном случае возможно  
последнее неравенство, ибо на геометрически  
неизменяемые задачи экстремальные  
теоремы теории предельного рав-  
новесия распространены лишь на мо-  
дуль  $T$ . Возможность этого положения см. в [8].

**11.5. Устойчивость предельного течения.** Обратное в рас-  
смотрении результатов выполненных выше примеров. По выражениям  
(11.2) и (11.3) видно, что изменение знака предельных сил  $M$   
(илина релаксация системы) при одном и том же поле приводит к  
количественному изменению характера ее работы после прекращения  
действия и обуславливает пластический механизм. Если сила  $N$  - сжи-  
мательная, то бесконечно малое увеличение прогиба при постоянной  
поперечной нагрузке ( $P = P_0$ ) вызывает предельное равновесие ме-  
ханизма. Суммарный моментальный момент в шарнире возрастает, ста-  
новится больше предельного момента увеличения момента от про-  
гиба или, что эквивалентно и влечет за собой неограниченный  
рост прогибов. Если сила  $N$  - растягивающая, то бесконечно ма-  
лое увеличение прогиба при  $P = P_0$  уменьшает суммарный моментал-  
ный момент; в некоторый момент происходит разгрузка, материал тем  
переходит на эластическое состояние в жесткое, шарнир освобождает-  
ся и дальнейший рост прогибов становится невозможным. Сказанное вы-  
текает из того, что в рассмотренных случаях пластическое ме-  
ханизмы имеет различные формы равновесия: при растяжении мы имеем  
как минимум равновесие как устойчивое, при сжатии - как неустой-  
чивое. Когда предельные силы нет в численном выражении упру-  
гопластичности для работы балки, условия равновесия пластического ме-  
ханизма (при  $P = P_0$ ) не зависят от прогибов. Это свидетельствует  
о наличии бесчисленной формы равновесия.

Прямое значение пластическое течение и  
конструкций устойчивым, если об-  
разующийся после достижения пре-  
дельной нагрузки пластический ме-  
ханизм имеет устойчивую форму рав-  
новесия; пластическое течение ста-  
новится неустойчивым, если пласти-  
ческий механизм имеет неустойчи-  
вую форму равновесия. Максимальная устойчи-  
вость пластического течения позволяет получить опорку пре-  
дельной нагрузки как критерий про-  
дольной прочности. Если пластическое течение ус-  
тойчиво, достигшие предельной нагрузки не считают исчерпав-  
шими способность конструкции, ибо дальнейшее изменение гео-  
метрии этой конструкции она может воспринять в объеме нагруз-  
ки. Если пластическое течение неустойчиво, конструкция, дефор-  
мируясь, не может воспринять нагрузку объема предельных. Если эти  
условия не соблюдаются только в рамках принятой модели дефор-  
мирования, рассмотреть можно соответствующее состояние [9].

Если же, если пластическое течение неустойчиво, разруше-  
ние конструкции может произойти при нагрузке меньших (в частях  
и существенно меньших), чем предельная отрицательная величина  
изменения геометрии конструкции начиная развиваться уже в ре-  
гионах упругости и даже упругой стадии ее работы и будет тем  
меньше, чем меньше жесткость имеет эта конструкция. При устойчи-  
вом пластическом течении соответствующие положения, что конструк-  
ция может выдерживать нагрузку, намного превышающую предельную, и  
в этой стадии геометрически малые прогибы в жесткопласти-  
ческой постановке для ряда случаев позволяют качественно оценить  
величину возможных прогибов [9].

## § 12. Сильный изгиб балки. Рот роле

### 12.1. Особенности деформирования балки при сильном изгибе.

Рассмотрим балку, нагруженную поперечной нагрузкой  
одного направления и продольным растягивающим усилием  $N$  (рис.  
44,а). Наибольшие моменты  $M_E$  здесь определяются по (11.1).  
После достижения предельной нагрузки на участке, где  $M_E \leq M_N$ ,  
балка останется жесткой (вместе с участком); на участках, где

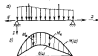


Рис. 44. Свободная балка (а) в состоянии наибольших моментов (б).

$M_{\Sigma} = M_N$ , переходит в пластическое состояние (пластический участок). Для подсчета, приравняв  $M_{\Sigma}$  по (11.1) предельному моменту  $M_N$ , можно сразу найти прогиб

$$\omega = \frac{1}{N} [M(x) - M_N]. \quad (12.1)$$

Если в пластическое состояние переходит не участок балки начерченной длины, а только сечение, в нем образуется пластический шарнир, (12.1) остается справедливой для остальной части. Но (12.1) означает, что на участке суммарных моментов  $M_{\Sigma}$ , если он строится путем графического сложения эпюр  $M(x)$  и  $N\omega$ , несущие на пластическом участке будут избыточными. Это указано на рис. 44, б наглядно.

Эпюра  $M(x)$  имеет одну максимум, если поперечная нагрузка на длине балки одна не меняет. Тогда в пролете балки не может образоваться более одного пластического участка и, как следует из (12.1), максимальный прогиб  $f$  балки будет иметь в сечении, где наибольший момент от поперечной нагрузки наибольший —

$M(x) = M_{\max}$ :

$$f = \frac{1}{N} (M_{\max} - M_N). \quad (12.2)$$

Если предположить, что поперечная нагрузка изменяется пропорционально одному параметру  $P$ , а  $N$  — постоянна, то для шарнирно-опертой балки  $M_{\max} = bP$ , где  $b$  — постоянная. При постоянной поперечной нагрузке, когда балка превращается в пластический механизм,  $P = P_0$  и  $M_{\max} = bP_0 = M_N$ . Тогда вместо (12.2) можно записать

$$f = \frac{M_N}{N} \left( \frac{P}{P_0} - 1 \right), \quad (12.3)$$

Маленькое срабатывание в для балки с эластичным по опорам; можно лишь учесть дополнительные моменты, возникающие в пластических шарнирах нагрузки. Иногда эластичный участок балки эластично срабатывает по всей длине отк от упора, которые известны. Это либо опора, где  $\omega = 0$ , либо граница с пластическим участком, где  $\omega$  определяется (12.1). На рис. 44, б форма эпюры момента вся на опоре  $M_N$  совпадает с формой  $N\omega$ . (Вопрос образования грани участка рассмотрен ниже.)

В случае, если прогибная сила  $N$  достигает предельного значения  $N_0$ , предельный момент сечения  $M_N = 0$  (см. § 8). Тогда по (12.1)

$$\omega = \frac{M(x)}{N_0}, \quad (12.4)$$

и это выражение справедливо для балки по всей длине. Заметим, что (12.4) — уравнение гибкой цепи. Продифференцировав его дважды, получим  $N_0 \frac{d^2 \omega}{dx^2} = \frac{d^2 M(x)}{dx^2} = q(x)$ . Таким образом, при  $N = N_0$  балка превращается в гибкую пластическую цепь, форма которой которой совпадает с формой эпюры изгибающих моментов от поперечной нагрузки.

**12.2. Особенности работы балок с распором.** Одна из основных особенностей работы балок с распором, когда продольные силы  $N$  являются как следствие сообразными координат конструкции или пролетной обшивки концы балки при закреплении, — необходимость определения величин этих сил, которые в процессе нагружения балки являются переменными. Для этой цели рассмотрим уравнения совместности деформаций

$$\omega_A = \omega_A + \omega_B, \quad (12.5)$$

где  $\omega_A$  — обжимная кривая при растябе балки с увеличенной силой;  $\omega_B$  — то же для балки с растянутой силой;  $\omega_C$  — об-

обобщенное удлинение оси балки.

Величину  $u_1$  , как известно, вычисляют как

$$u_1 = \frac{1}{E} \int_0^l \left( \frac{dM}{dx} \right)^2 dx. \quad (12.6)$$

Величину  $u_2$  можно представить следующим образом:

$$u_2 = \int_0^l \epsilon dx + \sum_{i=1}^r [\alpha]_i, \quad (12.7)$$

где  $\epsilon$  - одноосевые удлинения оси балки;  $[\alpha]_i$  - величина разрыва продольных перемещений на оси балки в  $i$ -м пластическом шарнире (см. рис.);  $r$  - число пластических шарниров в балке.

Чтобы определить  $u_2$  , нужно знать жесткостные характеристики конструкции, создавшей разрыв, - распорной конструкции. (Здесь рассматривается только ее реакция на действие силы  $N$ .) Если эта конструкция является упругой, то

$$u_2 = \lambda N, \quad (12.8)$$

где  $\lambda$  - коэффициент жесткости распорной конструкции в одной ее точке - величина перемещений в точке приложения единичной силы в направлении ее действия. При  $\lambda = 0$  - распор жесткий, при  $\lambda = \infty$  - распор отсутствует. Для характеристики жесткости распорной конструкции иногда удобно также пользоваться коэффициентом распора. Определяют его как

$$k_p = \frac{N}{N_p}, \quad (12.9)$$

где  $N$  - продольная сила, возникающая в балке при наличии упругого распора;  $N_p$  - та же сила в случае, если распор жесткий.

Если распорная конструкция представляет собой привинченную упругую стержень с площадью сечения  $F_p$  и модулем упругости

$E$ , в котором сила  $N$  вызывает сжатие (или растяжение) и длина которого равна длине балки  $l$  , то коэффициент жесткости

$$\lambda = \frac{l}{EF_p}. \quad \text{Тогда для упругой балки это приводит к } k_p = \frac{F}{F_p} \frac{l}{l_p},$$

где  $F$  - площадь сечения балки.

Для определения пластических удлинений оси балки  $u_2$  используются всеобщие законы в обобщенных напряжениях (см. § 3). При наличии штифта балки в качестве обобщенных напряжений можно принять  $M_N$  и  $M_M$  - продольную силу и изгибающий момент в сечении. Тогда приращение работы внутренних сил на единицу длины балки определяется как  $\delta W_{\text{вн}} = M_N \delta \epsilon + M_M \delta \alpha$  , т.е.  $\epsilon$  и  $\alpha$  должны быть обобщенными деформациями. Здесь  $\alpha = - \frac{d^2 u}{dx^2}$  - кривизна оси балки. В этом случае в качестве условий пластичности выступают зависимости между  $M_N$  и  $M_M$  для предельного состояния сечения (см. § 3), которые в общем виде можно представить как  $M_M = M(N)$  или  $\Phi = M_M - M(N) = 0$ . Такая же теория деформаций (см. § 3)

$$\epsilon = \Psi, \quad \frac{\partial \Phi}{\partial N} = -\Psi, \quad \frac{dM(N)}{dN} = \chi, \quad \alpha = \Psi, \quad \frac{\partial \Phi}{\partial M_M} = \Psi, \quad \text{и}$$

$$\delta = -\chi \frac{dM(N)}{dN}; \quad (12.10)$$

или теория течения аналогично

$$\delta = -\chi \frac{dM(N)}{dN}. \quad (12.11)$$

Приведенные на рисунке пластические шарниры, где  $\alpha = -\dot{\alpha} = \infty$  . Приращение работы внутренних сил в шарнире  $\delta W_{\text{вн}} = N \delta \epsilon + M \delta \alpha$  , где  $[\alpha]$  и  $\theta$  - обобщенные деформации;  $\theta$  - угол наклона оси балки в шарнире, а  $[\alpha]$  - величина приращенного продольного перемещения в сечении, т.е. разрыв оси балки в шарнире.

Полные размеры оси  $[u]$  в сечении ленточного шарика объясняются тем, что в этом сечении  $\xi = \infty$ . Следовательно, в осевых плоскостях плоских сечений будут бесконечными относительные удлинения во всех точках сечения, кроме точек на нейтральной оси. Последняя ось лежит относительно оси стержня (помним, что ось стержня проходит через центр тяжести сечения) на-он на длине продольных осей (см. § 8). Это значит, что и на оси стержня  $\xi = \infty$ , и следовательно, тогда балка по разным сторонам сечения перемещается друг относительно друга на конечное расстояние, в данном случае  $[u]$ .

Используя для сечения шарика, как и выше, ассоциированный закон, для осей обобщенных деформаций получим по теории деформаций и теории течения соответственно

$$[u] = -\theta \frac{dM(N)}{dN} \quad \text{и} \quad [\dot{u}] = -\theta \frac{dM(N)}{dN}. \quad (12.12)$$

Если развернуть теперь системы уравнения (12.5), используя теорию деформаций, получим

$$u_L = -\int_0^L \frac{dM(N)}{dN} \kappa dx - \int_{(s)}^L \frac{dM_L(N)}{dN} \theta_L + AN. \quad (12.13)$$

По теории течения после предварительного дифференцирования (12.5)

$$\dot{u}_L = -\int_0^L \frac{dM(N)}{dN} \kappa dx - \int_{(s)}^L \frac{dM_L(N)}{dN} \dot{\theta}_L + A\dot{N}. \quad (12.14)$$

Здесь производные от  $M(N)$  оставлены под знаком интеграла в первом слагаемом, так как знак интегрируемого момента по длине балки может изменяться и соответственно может измениться знак величина  $M(N)$  (см. § 8).

В случае, если  $M(N)$  и  $M_L(N)$  — линейные функции  $N$ , то  $\frac{dM(N)}{dN}$  и  $\frac{dM_L(N)}{dN}$  не зависят от  $N$ , и дифференцирование (12.13) по времени даст (12.14), т.е. теория деформаций и теория течения приводят к одним и тем же результатам. Это соответствует общему закону о совпадении этих теорий в линейном упругом состоянии, описанному в § 3.

Если известна ось балки — изогнутая линия, (12.13) и (12.14) могут быть применены упрощенно. Тогда необходимые моменты на плоскостях участков в проекте балки имеют один и тот же знак и производные от  $M(N)$  можно вынести за знак интеграла в знак суммы. Тогда следует учесть, что

$$\int_0^L \kappa dx = \int_0^L \frac{d^2 w}{dx^2} = \frac{dw}{dx} \Big|_{x=0} - \frac{dw}{dx} \Big|_{x=L} = \theta_0 + \theta_L, \quad (12.15)$$

где  $\theta_0$  и  $\theta_L$  — абсолютные значения углов поворота концов сечения балки.

Результаты (12.15) не меняются, если первая производная  $\kappa$  имеет разрыв, т.е. ось балки сеп в шариках. С учетом сказанного уравнение (12.13) для балки с жесткими защемлениями по концам приобретает вид

$$u_L = -(\theta_0 + \theta_L) \left[ \frac{dM(N)}{dN} + \frac{dM_L(N)}{dN} \right] + AN, \quad (12.16)$$

где  $M_N^L = M'(N)$  — продольный момент в сечении концов балки,

$M_N = M(N)$  — то же самое в проекции на пространство. Для шарико-сферной балки в (12.16) следует принять  $\frac{dM(N)}{dN} = 0$ .

12.3. Балка, нагруженная одной сосредоточенной силой (рис. 45, а). Как видно из схемы суммарных изгибающих моментов  $M_x$  (рис. 45, б), она удовлетворяет условию  $M_x \leq M_N$ , если поперечный срез балки имеет вид ломаной, состоящей из двух отрезков прямых, а в трех сечениях, где с перегибом в предельном состоянии в балке появились пластические шарниры,  $M_x$  равно предельному моменту. Максимальный изгибающий момент в пролете от сосредоточенной нагрузки  $M_{max}$  с учетом предельных моментов в опорах

$$M_{max} = P \frac{c c'}{l} - M_N' \quad \text{а по (12.2)}$$

$$f = \frac{1}{N} \left( P \frac{c c'}{l} - M_N' - M_N \right). \quad (12.17)$$

Предельная нагрузка из (12.17) при  $f = 0$   $P_0 = \frac{l}{c c'} (M_N' + M_N)$ .  
Варианты профилей балки

$$w = \begin{cases} f \frac{x}{c} & \text{при } 0 \leq x \leq c; \\ f \frac{l-x}{c'} & \text{при } c \leq x \leq l. \end{cases} \quad (12.18)$$

Поскольку, что  $N$  — единственное решение, возникающее при ее определении (12.16). Дифференцируя  $w$  по (12.18) и подставляя это в (12.6), найдем  $\theta_1$ , а также углы скоса в опорных сечениях  $\theta_0$  и  $\theta_2$ :

$$w_1 = \frac{1}{2} \frac{l}{c c'} f^2; \theta_0 = \frac{f}{c}; \theta_2 = \frac{f}{c'}. \quad (12.19)$$

Тогда (12.16) превращается в

$$\frac{1}{2} \frac{l}{c c'} f^2 - \frac{l}{c c'} f \left[ \frac{dM(w)}{dN} + \frac{dM'(w)}{dN} \right] + AN. \quad (12.20)$$

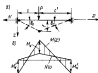


Рис. 45. Схема балки (а) и эпюра изгибающих моментов (б).

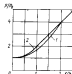


Рис. 46. Зависимости нагрузки — прогиба балки прямоугольного профиля, нагруженной по длине и нагруженной сосредоточенной силой по сечению пролета.  
1 — по теории упругости;  
2 — по теории течения.

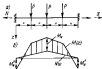


Рис. 47. Схема балки (а) и эпюра изгибающих моментов (б, в).

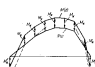
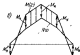


Рис. 48. Графическое представление профилей.

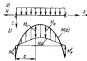


Рис. 49. Схема балки (а) и эпюра изгибающих моментов (б).

Подставляя левую часть (см. табл. 4), для эллиптического профиля получим

$$\frac{dM(N)}{dN} = \frac{dM'(N)}{dN} = -\frac{M_0}{N_0} - \frac{h}{2}, \quad (12.21)$$

для прямоугольного профиля

$$\frac{dM(N)}{dN} = \frac{dM'(N)}{dN} = -2 \frac{N}{N_0} \frac{M_0}{N_0} - n \frac{h}{2}, \quad (12.22)$$

где  $n = \frac{N}{N_0}$ .

Тогда из (12.20) для эллиптического профиля

$$n = \frac{1}{2} \beta \bar{f} (\bar{f} - 2), \quad \beta = \frac{h^2 b}{AN_0 c c'}, \quad \bar{f} = \frac{f}{h}; \quad (12.23)$$

для прямоугольного профиля

$$n = \frac{1}{2} \beta \frac{\bar{f}^2}{1 + \beta \bar{f}}. \quad (12.24)$$

График зависимости (12.23) и (12.24) определяется константой  $\beta = 1$ , чему в обоих случаях соответствует  $\bar{f} = 1 + \sqrt{1 + \frac{2}{\beta}}$ .

При больших значениях  $f$  балка работает как гибкая нить. В случае быстрого расщепления (12.20) упрощается

$$f = -2 \left[ \frac{dM(N)}{dN} + \frac{dM'(N)}{dN} \right]. \quad (12.25)$$

Если  $M(N)$  — линейная функция  $N$ , как для эллиптического профиля, то  $N$  из уравнения (12.25) выводится, т.е. в жестко-пластической области определять  $N$  нельзя. (Это аналогично расщеплению от 0 до  $N_0$ .)

Для прямоугольного профиля из (12.25), если воспользоваться

(12.22), получим

$$n = \frac{\bar{f}}{2}.$$

График его зависимости (при  $\beta = 1$ )  $\bar{f} = 2$ . Заранее отложив  $N = N_0 n$ , можно подставить его в (12.17) и найти зависимость  $F$  от  $f$  при  $f \leq 2$ . Если также учесть зависимость предельной нагрузки из табл. 2  $P_0 = \frac{2l}{cc'} M_0$ , получим при  $\bar{f} > 2$

$N = N_0$ , этой зависимости можно предать вид

$$\frac{P}{P_0} = \begin{cases} 1 + \frac{3}{4} \bar{f}^2 & \text{при } \bar{f} < 2; \\ 2\bar{f} & \text{при } \bar{f} > 2. \end{cases} \quad (12.26)$$

Получим для сопоставления численные результаты с использованием теории течения. Проведем в качестве условного времени  $t$  максимальную скорость расщепления  $f$  и дифференцируя (12.19), найдем

$$\dot{\theta}_1 = \frac{l}{cc'}; \quad \dot{\theta}_2 = \frac{1}{c}; \quad \dot{\theta}_3 = \frac{1}{c'}. \quad (12.27)$$

Подставив это в уравнение (12.16), записанное в дифференциальной форме, получим

$$\frac{l}{cc'} f = -\frac{1}{cc'} \left[ \frac{dM(N)}{dN} + \frac{dM'(N)}{dN} \right] + A \dot{N}. \quad (12.28)$$

Для прямоугольного профиля при  $A = 0$  это дает  $n = \bar{f}$  и график зависимости  $F = 1$ , а подстановка в (12.17) приводит к

$$\frac{P}{P_0} = \begin{cases} 1 + f^2 & \text{при } \bar{z} \leq 1; \\ 2f & \text{при } \bar{z} \geq 1. \end{cases} \quad (12.29)$$

Сопоставив результаты, полученные при использовании приведенной теории деформации (12.26) в теории течения (12.29), заключаем, что ось достаточно близка (рис.45). Заметим, однако, что ось существует лишь при  $P$ , близких  $P_0$ , т.е. в области, где пластический режим весьма малоприменим.

#### 12.4. Задача, возникающая при осесимметричном тлении

(рис.47,а). Для данной силы  $M_{max} x = M\left(\frac{l}{2}\right) = \frac{Pl}{2} - M_N^i$ .

При  $P = P_0$  пластические шарры возникают в середине и по мере продвижения. Проход при  $x = l/2$  по (12.3)

$$f = \frac{1}{N} \left( \frac{Pl}{2} - M_N^i - M_N \right), \quad (12.30)$$

предельная нагрузка по (12.30) при  $f = 0$   $P_0 = 2 \frac{M_N + M_N^i}{l}$ . Задача суммарных моментов  $M_{\Sigma}$ , связанных рассмотренным механизмом и удовлетворяющая условию  $M_{\Sigma} \leq M_N$ , представляется на рис.47,б. Внутренняя ось балки здесь - линия, состоящая из двух прямых:

$$\omega = f \frac{2x}{l} \quad \text{при} \quad 0 \leq x \leq \frac{l}{4}. \quad (12.31)$$

Последнее справедливо, пока с ростом нагрузки не будет нарушено условие  $M_{\Sigma} \leq M_N$ . Как видно из риса  $M_{\Sigma}$ , такая ось существует еще на участке  $l/4 \leq x \leq l/2$ . Поэтому для построения нужно вычитать  $M_{\Sigma}$  при  $x = l/4$ . Здесь по (12.31)  $\omega = f_1 = \frac{1}{2} f$ ;  $M\left(\frac{l}{4}\right) = \frac{3}{8} Pl - M_N^i$ , а с учетом (12.30)

$$M_{\Sigma} = \frac{3}{8} Pl - M_N^i - N f_1 = \frac{Pl}{8} - \frac{1}{2} (M_N + M_N^i). \quad (12.32)$$

Из этого выражения видно, что с ростом нагрузки  $P$  величина  $M_{\Sigma}$  в данной области возрастает и, следовательно, имеет некоторую величину  $M_N$ . Таким образом, полученные выше зависимости справедливы лишь при  $P \leq P_2$ , а  $P_2$  можно найти, приравняв  $M_{\Sigma} = M_N$  при  $x = l/4$ .

$$P_2 = 4 \frac{M + M^i}{l} = 2P_0. \quad (12.33)$$

При  $P > P_2$  проход в середине  $x = l/4$  лопается и определяется по (12.1)

$$f_1 = \frac{1}{N} \left( \frac{3}{8} Pl - M_N^i - M_N \right). \quad (12.34)$$

На участке  $l/4 \leq x \leq l/2$  шарры  $M(x)$  и  $N(x)$  остаются неизменными, а  $M_{\Sigma} = M_N$ . Если участок перейдет в пластическое состояние, но внутренняя ось балки при  $l/4 \leq x \leq l/2$  останется прямой, то  $M(x)$  здесь линейная функция  $x$ . Это значит, что переход материала в пластическое состояние на данном участке не сопровождается ростом деформации, которая ось не изменяется. Поэтому можно предположить, что при  $P = P_2$  образуется такой пластический шарр в середине  $x = l/4$ . Тогда шарры  $M_{\Sigma}$  приобретают вид, представленный на рис.47,в, а пределы балки (теперь ось ее - линия, состоящая из четырех отрезков прямых) определяются выражениями:

$$\omega = \begin{cases} f_1 \frac{4x}{l} & \text{при} \quad 0 \leq x \leq \frac{l}{4}; \\ f_1 + (f - f_1) \left( \frac{4x}{l} - 1 \right) & \text{при} \quad \frac{l}{4} \leq x \leq \frac{l}{2}. \end{cases} \quad (12.35)$$

Определим величину  $N$ , позволяющую найти расстояние. При  $P \leq P_2$  зависимость  $N$  от  $f$  не отличается от полученной в предыдущем примере при  $s = s^i$ , где форма внутренней оси балки в обоих случаях одна и та же. Поэтому ограничимся рассмотрением случая  $P \geq P_2$ , когда в процессе уже образовалось три шарры.

Дифференцируя по  $\lambda$  по (12.35), найдем  $\lambda_1$  по (12.6), а также угол наклона в заданных

$$\lambda_1 = \frac{4}{1} (2f_1^2 - 2f_1f + f^2); \quad \theta_0 - \theta_c = \frac{4f_1}{1}. \quad (12.36)$$

Подставим это в (12.16), получим

$$\frac{4}{1} (2f_1^2 - 2f_1f + f^2) = - \frac{\partial G_1}{\partial \lambda} \left[ \frac{dM(N)}{dN} + \frac{dM'(N)}{dN} \right] + AN. \quad (12.37)$$

Отсюда при  $\lambda = 0$  (местный максимум) для невыпуклого профиля, если воспользоваться (12.31),

$$2\bar{f}_1^2 - 2\bar{f}_1\bar{f} + \bar{f}^2 = 2\bar{f}_1; \quad \bar{f} = \frac{f}{k}; \quad \bar{f}_1 = \frac{f_1}{k}; \quad (12.38)$$

для прямоугольного профиля с учетом (12.32)

$$2\bar{f}_1^2 - 2\bar{f}_1\bar{f} + \bar{f}^2 = 2\bar{f}_1, n. \quad (12.39)$$

Из этих уравнений можно найти зависимость  $\lambda$  от  $\bar{f}$ , если исключить из них  $\bar{f}_1$ . По (12.38) и (12.39)  $\bar{f}_1 = \frac{3}{2}\bar{f} - \frac{2}{3}\frac{M}{N}$ . Вспомогательная зависимость для невыпуклого профиля с учетом (12.39) имеет вид

$$\bar{f}_1 = \frac{3}{4}\bar{f} - \frac{1}{4}\frac{1-n}{k}.$$

Подставим эту зависимость в уравнение (12.38) в рамках его применимости  $\lambda > 0$ , найдем

$$\lambda = \frac{\bar{f} - 1 + 2\sqrt{1 + 2\bar{f} - \bar{f}^2}}{5\bar{f}^2 - 10\bar{f} - 3}. \quad (12.40)$$

Нижняя граница применимости (12.40) вытекает из условия  $\lambda = 0$   $\bar{f} = 12/5$ . Верхняя граница соответствует положительному шарниру над боковыми осями. Здесь  $f_1 = \frac{3}{2}f$  и соответственно  $\lambda = \frac{1}{2 + \bar{f}}$ . Превращая это (12.40), можно найти конкретную границу  $\bar{f} = 2$ . Это соответствует  $\lambda = 1/3$ . Таким образом, формула (12.40) применима при  $2 \leq \bar{f} \leq 12/5$ ; при этом  $\lambda$  изменяется в диапазоне  $1/3 \leq \lambda \leq 1$ .

**12.5. Балка, загруженная произвольным часком сосредоточенных сил.** Если все сосредоточенные силы в пролете выразим в одну стержень и рассудит пропорционально одному параметру  $P$ , то величина работы такой балки совершенно аналогична выполняемой в предыдущем примере. Здесь вместо  $M(x)$  представляем собой картину деформации, состоящую из стержней прямых.

При  $P = P_0$  в сечении, где  $M(x) = M_{max}$ , возникает пластический шарнир. Простой в этом сечении определяется формулой (12.8), а на концах стали выгнуты ось балки дугой линейной, опущенной на шар стержней прямых. Профиль такого сечения будет выглядеть  $P = P_0$ , когда в сечении над осью, соединен с сечением первого шарнира.  $M_0$  является величиной  $M_N$ . [При определении  $M_0$  мы действуем точно так же, как для получения выражения (12.32), и, превращая его  $M_N$ , получим  $P_0$ ].

При  $P > P_0$  прогиб в этом сечении уже определяется формулой (12.2); здесь возникает второй шарнир и выгнутая ось балки будет линейной, состоящей из трех отрезков прямых. Далее вычисляется  $M_0$  в заданном сечении под силой, соединен с первыми двумя шарнирами; определяется значение  $P = P_2$ , при котором в балке возникает третий шарнир, и т.д. Вместе с ростом  $P$  в пролете балки может образоваться столько пластических шарниров, сколько там возможно сосредоточенных сил. Шарниры будут появляться последовательно в направлении от сечения, где  $M(x) = M_{max}$ , к опорам. Пластический участок балки захвачен между крайними соседними шарнирами. При этом рост пластических деформаций с увеличением  $P$  будет происходить только в шарнирах; между шарнирами ось балки остается прямой.

Эти представления имеют возможность использоваться в качестве графической прием для определения числа шарниров в пролете, фор-



$$\theta \approx \alpha - \frac{1}{N} \left[ \frac{q l^2}{2} \alpha (1-\alpha) - M'_N - M_N \right] - \theta_0; \quad (12.45)$$

$$\theta = \frac{q l^2}{2N} (1-2\alpha) = \theta_0.$$

Решая их совместно, найдем

$$\theta = \frac{q l^2}{2N} (1-2\alpha); \quad \alpha = \sqrt{\frac{2(M'_N + M_N)}{q l^2}}. \quad (12.46)$$

Из (12.46) видно, что пластические деформации могут возникнуть всю длину нити в том случае, если поперечная нагрузка возрастает до бесконечности, так как  $\alpha = 0$  при  $q = \infty$ , или, если  $N = N_0$ .

Определим величину поперечной силы  $N$ , вызвавшей начало расхождения. По (12.6), используя (12.43), найдем

$$\alpha_1 = \frac{q^2 l^2}{24 N^2} (1-2\alpha)^2 (1+4\alpha). \quad (12.47)$$

Подставив это в  $\theta_0 = \theta_c = \theta$  по (12.46) и (12.16), получим

$$\frac{q^2 l^2}{24 N^2} (1-2\alpha)^2 (1+4\alpha) = -\frac{q l^2}{N} (1-\alpha) \left[ \frac{dM(N)}{dN} + \right. \\ \left. + \frac{dM'(N)}{dN} \right] + AN. \quad (12.48)$$

Чтобы решить это уравнение, нужно приблизительно разложить  $q$ , выраженное через  $\alpha$ , в ряд попутно  $M_N$  и  $M'_N$  через  $N$ . Полагая решение задачи на примере белины прямоуглоугольного профиля, найдем в первом приближении  $q$  по концам. Распор возьмем эллипсом. Для этого случая с учетом (12.22) и формул табл.4 уравнение (12.48) примет вид

$$\frac{q l^2}{12 N^2} - \frac{M_0}{h} (1-2\alpha)(1+4\alpha) = 1. \quad (12.49)$$

Подставив сюда  $\alpha$  по (12.46), найдем  $q$

$$h = \sqrt{\frac{l}{32} \frac{q}{q_0} (7+q^2) - \frac{1}{2}}; \\ q^2 = \sqrt{36 \frac{q_0}{q} - 16}; \quad (12.50)$$

$$q_0 = \frac{8 M_0}{l^2},$$

где  $q_0$  — поперечная нагрузка белины.

Можно вычислить и максимальный прогиб белины, подставив (12.50) в (12.48), с учетом значений табл.4:

$$\bar{f} = \frac{f}{h} = \frac{1}{32} (7+q^2) \sqrt{3 \frac{q}{q_0} \frac{\theta - q^2}{3+q^2}}. \quad (12.51)$$

График зависимости этого решения определяется по (12.49) при  $N = M_0$  и  $\alpha = 0$ . Получается  $q/q_0 = 6$ . При  $q/q_0 = 6$  белина работает как гибкая нить и по (12.42);  $\bar{f} = \frac{1}{4} \frac{q}{q_0}$ .

$$\mu = \frac{1}{2} \left( q_1^2 + \frac{q}{q_0} - q \right); \quad \bar{F} = \frac{1}{2} \frac{q_1^2 + 3 \frac{q}{q_0} - 6}{q_1 + \frac{q}{q_0} - 4}; \quad (12.52)$$

$$q_1^2 = \sqrt{3 \frac{q}{q_0} \left( 4 - \frac{q}{q_0} \right)}.$$

У балки с жесткими связками по концам формулы (12.50) и (12.52) для  $\Delta$  состоят из трех членов, а в формулах (12.54) и (12.52) для  $\bar{F}$  правая часть имеет вид, указанный на рис. При этом соответственно

$q_0 = \frac{16 N_0}{l^2}$ . Полученные зависимости иллюстрируются графиками на рис.50.

Правильность полученных результатов для балки с жесткими связками можно проверить по сравнению. На (12.43) на эластическом участке кривая ось балки

$$\chi = - \frac{d^2 w}{dx^2} = \frac{q}{N}. \quad (12.53)$$

В момент появления изгибной предельной нагрузки  $q = q_0$  прогибы у неупругоэластической балки отсутствуют и, следовательно  $N = 0$ . Тогда на (12.53)  $\chi = \infty$ . Поскольку при этом  $\chi = 1/2$  (или на эластическом участке обращается в нуль),

$\chi = \infty$  может иметь место только в сечении поперек пролета. Это соответствует предельной теории Предельного равновесия: предельное состояние балки связано с образованием поперечного пролета пластического шарнира, где ось балки получает сдвиг. С ростом нагрузки балка превращается в гибкую связь, для которой  $N = N_0$ , и по (12.53)  $\chi = \frac{q}{N_0} < \infty$ . Таким образом, на гра-

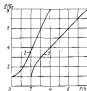


Рис.50. Зависимость нагрузки — прогиба балки, жестко заделанной по концам и нагруженной равномерно распределенной нагрузкой от центра пролета  
1 — балка изогнутого профиля;  
2 — балка прямоугольного профиля.

фика видно, что в среднем сечении кривая ось балки соответственно возрастает от нуля до бесконечности при  $q = q_0$ , а затем при увеличении нагрузки до  $q = 6 q_0$  — постоянно увеличивается по величине  $6 q_0 / N_0$ . Следовательно, в диапазоне  $q_0 < q < 6 q_0$  в материале балки происходит разгрузка. Но только деформированная при нагружении и разгрузке у пластичного материала неэластична, а это обстоятельство в приведенном виде решения не учтено.

Строго решение жесткой балки получено в [41]. Там показано, что на начальном этапе изгибных после достижения  $q = q_0$  пластический участок в средней части балки не появляется. Образовавшийся при  $q = q_0$  пластический шарнир развивается с ростом нагрузки к опорам, жесткой заделанной ось балки, которая еще шарнир остается жесткой. При последующем нагружении эти шарниры превращаются в участки нулевой длины; образуется пластический участок  $\chi$  в средней части, но здесь кривая ось балки увеличивается. Балка полностью переходит в пластическое состояние при  $q / q_0 = 6$ , когда  $N = N_0$ . Такое строгое решение достаточно близко, а соответствие его с приведенным выше приближенным решением показывает [9], что шаг при вычислении прогибов в последнем члене, чем определяется возможность его практического использования. Кроме того, из строгого решения следует [41], что учет упругих деформаций существенно ослабляет эффект разгрузки в приведенной ось только у очень жесткой балки.

**12.7. Наклон, нагруженный равномерно распределенной нагрузкой** (рис.51,в). Для определенности будем считать, что интенсивность нагрузки  $q(x)$  в пределах пролета здесь не меняет и является пропорционально одному параметру. В силу этого  $M(x)$  - постоянная функция в своем максимумом в пролете балки. Если предположить, что в районе этого максимума образуется пластический участок, то прогибы в его пределах определяются выражением (12.1), а получившаяся крива  $M(x)$  (рис.51,а) не противоречит условиям  $M_x \leq M_N$ . Участки, принадлежащие к опорам, остаются жесткими и с ростом прогибов превращаются вокруг опор. Это следует из условия:

$$\omega = \begin{cases} \theta_0 x & \text{при } 0 \leq x \leq a_1; \\ \frac{1}{M_1} [M(x) - M_N] & \text{при } a_1 \leq x \leq a_2; \\ \theta_1 (l - x) & \text{при } a_2 \leq x \leq l, \end{cases} \quad (12.54)$$

где  $a_1$  и  $a_2$  - расстояния начала и конца пластического участка соответственно.

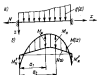


Рис.51. Схемы балки (а) и кривые деформаций (б).

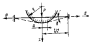


Рис.52. Схемы балки.

Чтобы определить значения  $a_1$ ,  $a_2$ ,  $\theta_0$  и  $\theta_1$ , нужно рассмотреть участки сопряжения участков. Трехсторонняя непрерывность  $\omega$ :  $[\omega]_{a_1} = 0$ ;  $[\omega]_{a_2} = 0$  - приводит к зависимостям

$$\begin{aligned} \theta_0 a_1 - \frac{1}{N} [M(a_1) - M_N] &= 0; \\ \frac{1}{N} [M(a_2) - M_N] - \theta_1 (l - a_2) &= 0. \end{aligned} \quad (12.55)$$

Нетрудно показать, что жесткие и пластические участки сопряжены всегда плавно, если только не на границе не приложена сосредоточенная сила. Поэтому здесь, кроме того

$$\left[ \frac{d\omega}{dx} \right]_{a_1} = 0; \quad \left[ \frac{d\omega}{dx} \right]_{a_2} = 0. \quad \text{Это дает еще два уравнения:}$$

$$\begin{aligned} \theta_0 &= \frac{1}{N} \left. \frac{dM(x)}{dx} \right|_{x=a_1}; \\ \theta_1 &= -\frac{1}{N} \left. \frac{dM(x)}{dx} \right|_{x=a_2}. \end{aligned} \quad (12.56)$$

Варианты (12.56) дают возможность определить  $a_1$  и  $a_2$  по уравнениям (12.55). Заметим, что в случае распределенной нагрузки возможны графически прием определяем прогибы и прогибности пластического участка, который был приведен выше для балки, нагруженной сосредоточенными силами на рис.49, только опоры  $M(x)$  и  $N(x)$  будут не ломаными, а плавными кривыми.

**12.8. Наклон, нагруженный жестким цилиндрическим телом.** Рассмотрим случай, когда нагрузка на балку передается через

вектора (паредеформирован) имеет цилиндрической формы радиусом  $R$  (рис. 52). Его поперечность обозначим  $Y(x) = R \left(1 - \frac{x}{2} \frac{x^2}{R^2}\right)$ . В средней части, приходя к стержню, балка должна искривляться. Поскольку материал — жесткопластический, это может произойти только вследствие пластических деформаций. Следовательно, участок  $-\alpha \leq x \leq \alpha$  — площадь контакта — является пластическим участком балки. Вне площади контакта изгиб  $M(x)$  — линейный (исключаем нагрузки сосредоточенные). Здесь балка должна оставаться жесткой. В противном случае будет нарушен закон  $M_{\text{ж}} \leq M_{\text{п}}$ . Следовательно однозначно определенная форма прогиба балки:

$$w = \begin{cases} R \left(1 - \frac{1}{2} \frac{x^2}{R^2}\right) + C & \text{при } 0 \leq x \leq \alpha; \\ \theta \left(\frac{l}{2} - x\right) & \text{при } \alpha \leq x \leq \frac{l}{2}; \end{cases} \quad (12.57)$$

где  $C$  — константа, а  $\theta$  — угол скрутки в пластическом шарнире по осям.

Величина  $C$  и  $\theta$  можно определять исходя из условий совместности  $w$  и  $\frac{dw}{dx}$  на границе упругого и пластического участков:  $[w]_{\alpha} = 0$  и  $\left[\frac{dw}{dx}\right]_{\alpha} = 0$ , которые принимают вид

$$\theta = \frac{C}{R}; \quad C = \frac{\theta}{2R} (l - \alpha) - R. \quad (12.58)$$

Подставляя это в (12.57) и используя безразмерные обозначения

$$\eta = x/l; \quad \alpha = a/l, \quad \text{получим}$$

$$w = \begin{cases} \frac{l^2}{2R} (\alpha - \alpha^2 - \eta^2) & \text{при } 0 \leq \eta \leq \alpha; \\ \frac{l^2}{2R} \alpha (1 - 2\eta) & \text{при } \alpha \leq \eta \leq \frac{1}{2}. \end{cases} \quad (12.59)$$

Чтобы избежать необходимости рассмотрения форм распределения жесткости меньшей нагрузки, для решения этой задачи воспользуемся каноническими моментами (см. § 11). Проведем работу внешней сил вдоль  $U = Pf = N w_{,x}$ , где  $P$  — внешняя сила, приложенная к стержню. Прогиб посредине пролета балки  $f$  и величину  $w_c$  по (12.8) определяем из условия (12.59):

$$f = \frac{l^2}{2R} \alpha (1 - \alpha); \quad w_c = \frac{l^3}{2R^2} \alpha (3 - 4\alpha). \quad (12.60)$$

Работа внутренних сил здесь производится в пределах пластического участка и в пластическом шарнире в осевых осях. В первом (12.45) и выражении  $\theta$  по (12.58)

$$\begin{aligned} D &= 2 \int M_{\text{ж}} \alpha dx + 2 M_{\text{п}}' \theta = \\ &= 2 (M_{\text{ж}} + M_{\text{п}}') \theta = 2 \frac{M_{\text{ж}} + M_{\text{п}}'}{R} l \alpha. \end{aligned} \quad (12.61)$$

Воспользуемся началом канонических перемещений по (11.4), приняв в качестве обобщенной координаты безразмерную длину пластического участка  $\alpha$ , значение которой однозначно определяет все параметры балки:  $\frac{dU}{d\alpha} = \frac{dD}{d\alpha}$ . Подставляя сюда  $U$  и  $D$  и выполнив дифференцирование, после преобразований получим

$$P = 2 \frac{N}{R} l \alpha + \frac{M_N + M_N'}{l(1-2\alpha)} \quad (12.62)$$

Выражения (12.60) и (12.62) дают однозначную зависимость между  $P$  и  $\alpha$ .

Среднюю величину  $N$  для случая раскрытия, приведен в уравнении (12.16)  $\omega_1$  по (12.60) и  $\theta = \theta_0 = \theta_1$  по (12.58):

$$\frac{l^2}{8R^2} \alpha^2 (3-4\alpha) - 2 \frac{l}{R} \alpha \left[ \frac{dM(N)}{dN} + \frac{dM'(N)}{dN} \right] + AN, \quad (12.63)$$

Наименьший момент сжатия достигается в прямо-угольном профиле при  $A = 0$ . С учетом (12.63) из этого уравнения получим

$$n = \frac{l^2}{12 R h} \alpha (3-4\alpha). \quad (12.64)$$

Интересно, что  $n$  здесь имеет максимум. Вспомогательное

$$\frac{dn}{d\alpha} = 0 \quad \text{при} \quad \alpha = 3/8 \quad \text{получается} \quad n_{\max} = \frac{3}{64} \cdot \frac{l^2}{R h}.$$

Это означает, что при  $\frac{l^2}{R h} < \frac{3}{64}$  с ростом поперечной нагрузки не происходит максимального раскрытия проволочной сетки;  $N$  не достигает значения  $N_0$  и сетка не превращается в гибкую пластинку или нить. При  $\alpha = 3/8$   $N$  начинает увеличиваться, но пластический участок балки продолжает расширяться, а материал здесь переходит в жесткое состояние. Поэтому при дальнейшем росте нагрузки пластическая деформация происходит только по границе

пластичности вплоть до  $\eta = \alpha$ . Поскольку с  $\alpha$  с ростом нагрузки растет, соответственно увеличивается икрайний участок балки. Таким же образом пластического деформирования будет достигать также икрайний участок балки. Вследствие этого по теории течения получаем неравномерное удлинение оси балки в пределах пластического участка, что подтверждается экспериментом. (Полосчатые или рифленые с использованием теория деформаций этого эффекта не учитывает.) Особые особенности деформации балки, нагруженной жестким цилиндрическим штампом, имеют место и в случае, если ее профиль - произвольный штурер. Подробно эти вопросы рассмотрены в [9, 11].

### § 13. Кольцевые проволочные каркасы в рам

13.1. Особенности деформирования произвольных балок. Предметом исследования работы произвольных балок при больших прогибах на простейших примерах, подробно рассмотрено ранее, представленных в § 9. Начнем со случая криволинейного сечения (см. рис. 85). Здесь можно полностью воспользоваться результатами § 9. Нужно лишь заметить, что  $\omega$  - ординаты деформированной оси стержня, но  $\omega_0 + \omega$  - ординаты деформированной оси стержня ( $\omega$  - прогиб), определяем образом и рассмотренные ранее случаи деформированного состояния. Здесь  $M_{\max}$  расположен в сечении максимальной  $\omega_0 + \omega$ , и, воспользовавшись (9.2), можно записать

$$T = \frac{M_N}{\omega_{\max} + f}, \quad (13.1)$$

где  $f$  - прогиб в сечении пластического шарнира.

Из (13.1) видно, что рост  $f$  приводит к увеличению усталостной  $T$ . Это означает, что пластическое течение стержня неустойчиво. (Вспомогательным § 11: неустойчивость пластического течения означает, что постоянное продольное напряжение всегда сопровождается неустойчивым изгибом стержня. Если пластическое течение устойчиво, конструкция в принципе способна сопротивляться возрастанию нагрузки и после дорасхода в предельном состоянии, если, конечно, не происходит потеря устойчивости в местных разрезах.)

При рассмотрении (13.1) наметим, что увеличивая  $T$  мы не можем не собой увеличивать предельного момента  $M_N$  (см. § 9), стоящего в числителе формулы. Поищем, что это обстоятельство не влияет на следующие выводы. Для предельного случая согласно табл.4  $M_N = M_0 \left(1 - \frac{T}{N_0}\right)$ . Подставим это в (13.1) и

$$\text{тогда найдем } T = \frac{M_0}{M_0/N_0 + \omega_0 \max + f}. \text{ Характер зависи-}$$

мости  $T$  от  $f$  не изменился.

$$\text{Для прямоугольного профиля окончательно } M_N = M_0 \left(1 - \frac{T^2}{N_0^2}\right) \\ \text{и } \frac{M_0}{N_0^2} T^2 + (\omega_0 \max + f) T - M_0 = 0. \quad \text{откуда}$$

$$\frac{dT}{df} = - \frac{T}{2 \frac{M_0}{N_0^2} T + \omega_0 \max + f} < 0$$

т. следовательно, пластическое течение неустойчиво.

Теперь рассмотрим растянутый цилиндрический стержень, нагру- ный по сравнению с предельным примером силой осев  $N$ . На вели- чину предельной нагрузки в форму образующей пластического мо- дения это значение не влияет (см. § 9). Если предположить возмож- ность  $T > T_0$  по (9.2), то условия пластичности осев напряжен- ной  $M(x) = T(\omega_0 + \omega) \notin M_N$  выполняются, если считать, что в районе  $\omega_0$  есть образован пластический участок конечной дли- ны, для которого

$$T(\omega_0 + \omega) = M_N. \quad (13.2)$$

$$\text{Если предположить осев } N(x) = \frac{T}{\sqrt{1 + \left[\frac{d(\omega_0 + \omega)}{dx}\right]^2}}$$

по (9.1) в условии пластичности осевки  $M_N = M(N)$  по § 8 и решить их совместно как систему уравнений, то можно из ее тор-

ной системы  $\omega_0 + \omega \neq f(x)$ . Это означает, что для ста- тической участка прямолинейна и ось его параллельна линии нейст- вля осев  $T$ . Но (13.2) противна в пределах пластического участка

$$\omega = -\omega_0 + \frac{M_N}{T}, \quad (13.3)$$

где  $M_N$  невелика при  $N = T$ , так как  $\frac{d(\omega_0 + \omega)}{dx} = 0$ .

Из (13.3) следует, что рост абсолютного значения  $\omega$  вдоль стержня с увеличением  $T$ , т.е. пластического течения стержня увеличивается.

Перемещение жестких участков образованной осевки на грани- чных условиях в условиях неразрывности  $\omega$  на границе этих участков в пластического течения. Аналогичные условия неразрыв- ности  $\frac{d\omega}{dx}$  дает возможность определить границы пластического участка. При  $T = N_0$  по (13.3)  $\omega = -\omega_0$ , т.е. жестко рас- тянутый осев достигнет предельного значения для осевки, стерж- нь полностью выпрямится. Пользуясь теорией течения, можно по- казать пластическое деформации стержня (удлинение осев, изменение кривизны) в процессе нагружения происходит только на границах пластического участка [9].

**13.3. Дуги.** Рассмотрим растяжение кругового кольца осев- ки  $P$  (см. рис. 13, в). Если так же, как в § 9, рассечь его и рас- смотреть различные подуголки, мы приходим к задаче о растяжении цилиндрического стержня, который отличается от рассмотренного вы- ше тем наличием на концах цилиндрических элементов  $M_0$  (рис. 13). Встретимся поэтому, что последнее не может изменить картину пере- мещения стержня. Для представления примером по рис. 13 (один из видов - недеформированная ось стержня). Образованная пластический участок длиной  $\alpha$  стержня образована с жестко- ки цилиндрическим участком. Жесткий участок остается круго- деформации, центр которой располагается на осевки в конце пла- стического участка. Координаты центра окружности  $X = -\omega$ ,  $y = \alpha/2$  ( $\omega$  - перемещение пластического участка в направлении осев  $X$ ). Если перевернуть удлиненный осев стержня, то для-

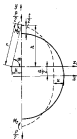


Рис. 53. Схема деформированной разрезанной кольцевой дуги.

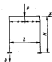


Рис. 54. Схема разреза.

на четверти кольца в процессе деформирования:  $r\alpha + a/2$ . Прямая линия от центра четверти кольца до деформации  $\frac{\pi r}{2}$ , тогда  $a = r(\pi + 2\alpha)$ . На рис. 53 также следует:

$h = r \cos \alpha$ ;  $h = r \sin \alpha$ . С другой стороны,  
 $h = r + f/2 - a/2$ . Прямая линия прямого участка длиной  $h$ , можно определить переменную  $f$  как функцию угла  $\alpha$ :

$$f = 2r \left( \frac{\pi}{2} - \alpha - 1 + \sin \alpha \right). \quad (13.4)$$

В процессе деформирования кольца в отсечке под силой  $P$  возникает и будет возрастать продольная сила  $N = \frac{P}{2} \cos \alpha$ . Возникновение этого будет зависеть значения продольного момента  $M_x$ . Ориентированный касательный момент на пластическом участке  $M_x = \frac{E}{2} (r - h) = M_x$ . Прямая линия продольному моменту

$M_x$ , возникающему с учетом продольной силы  $N = P/2$ , которая действует в пределах пластического участка, а также постоянная величина для переменных  $h$ , можно

$$P = 2 \frac{M_x + M_x}{r(1 - \cos \alpha)}. \quad (13.5)$$

Варианты (13.4) и (13.5) дают зависимость между  $P$  и  $f$ . Нетрудно убедиться, что с ростом  $f$  угол  $\alpha$  уменьшается, а сила  $P$  возрастает, т.е. пластическое течение кольца устойчиво.

В случае сдвига кольца (замкнутая линия  $P$ ) также не рассматривать возможность с использованием решения в сечении приложимом сдвигу, что пластическое течение кольца устойчиво.

**13.3. Асим** (см. рис. 31, а). Обратимся к примеру, рассмотренному в § 9 - круглой арке, место заданной ее длиной и симметрично нагруженной сосредоточенной силой  $P$ , в анализе для равномерного ее приложения (см. рис. 31, б), нетрудно убедиться, что равнодействующая продольная и поперечная сил в кольцевом сечении заданной нагрузки вдоль одной линии. Следовательно, расчет поперечки сводится к расчету сеченной арки, приложенной отсечки и можно сделать вывод о устойчивости ее пластического течения.

Если нагрузка как  $P$  и рассмотреть растягивающую арку, полученные выше результаты также могут быть использованы. Пластическое течение в этом случае устойчиво. Попробуем найти поперечку обратного пластического участка. Он приложен к шарниру арки, отсеченной концы поперечки. Высота участка - дуга окружности, центра которой рассматривается ее касательная к концу пластического участка. Решение задачи аналогично приведенному выше решению для кольца. Зависимость между силой  $P$  и вертикальным перемещением точки ее приложения  $f$  можно представить в параметрической форме:

$$\left. \begin{aligned} p &= \frac{2(M_1 + M_2)}{r(1 - \cos \psi) \left[ 1 + \left( \frac{r}{r+f} \right)^2 \right]} \\ f &= r \left[ \sqrt{2 \sin \psi + \frac{\pi}{2} - 2 \psi^2} - 1 - 1 \right], \end{aligned} \right\} \quad (13.6)$$

где  $\psi$  - параметр, изменяющийся в пределах от  $\pi/4$  (при  $F = F_0$ ) до края;  $M_1$  и  $M_2$  - предельные моменты сечения, численно соответственно при  $N = \frac{p}{2} \frac{r}{r+f}$  и

$$N = \frac{p}{2} \sqrt{1 + \left( \frac{r}{r+f} \right)^2}. \quad \text{Подробнее см. в [9].}$$

**13.4. Наклонная.** Рассмотрим поперечник шасси (см. рис.30) при  $F = F_0$ . В предельном состоянии поворачивает вся прямоугольная часть стержня (см. § 9), и при стартом жесткоэластическом повороте здесь возможно широкое зажатием колеи переменных. Предельное сдвигает сдвиг образование пластического шарнира в заделке. (Здесь критический момент будет максимальным, если учесть деформацию стержня в упругой и упругопластической стадиях.) Поворот стержня в шарнире при  $F = \text{const}$  ведет к увеличению критического момента в верхнем сечении. Следовательно, с ростом поворачивания условия  $M_T \leq M_N$  требуют уменьшения  $F$  - условия устойчивости пластического течения.

Если изменить знак силы  $F$  на обратный, максимальный изгибающий момент и продольная сила по-прежнему действуют в прямоугольной части стержня. Однако поворачиваний здесь произойти не будет, так как из-за этого изменилось бы состояние соответствующих сечений от линии действия  $F$ , а это привело бы либо к  $M_T > M_N$  - нарушению условия устойчивости при нажатии, либо к  $M_T < M_N$  - переходу к переколу в жесткое состояние. Значит, пластическому деформированию подвергается только сечение на границе прямоугольного и цилиндрического участков. Здесь при-

знаки оси стержня должны соответственно измениться от  $1/r$  до 0, т.е. происходит изгибание стержня, длина прямоугольного участка растет, а цилиндрического - соответственно уменьшается.

В результате уменьшается расстояние между линиями действия сил  $F$  и ось прямоугольного участка. Поэтому для соблюдения условия  $M_T \text{ или } M_N = M_N$  с ростом поворачивания сила  $F$  должна уменьшаться - признак устойчивости пластического течения. Знаки сил  $F$  с вертикальным перегибом точки на границе  $f$  нетрудно представить в параметрической форме [9]:

$$p = \frac{M_N}{r(1 - \cos \alpha)}; \quad (13.7)$$

$$f = r(\alpha_0 - \alpha + \sin \alpha - \sin \alpha_0),$$

где  $\alpha$  - параметр, изменяющийся в пределах от  $\alpha_0$  до края;  $M_N$  - предельный момент сечения, численный при  $N = F$ .

**13.5. Наклонно-продольная ось на работу при сжатии**  
**наклонной.** Если при рассмотрении колеса типа протектора разложить ось поворота, что в стержнях плоского реза условия возможны продольная ось (см. § 9). Возможна ее наличие на работу реза, когда прогибы колеса станут малы, например  $\Pi$ -образной рамы, зажатой поперечными горизонтальными стержнями сжатой силой (рис.34). Обозначим  $M_T$  и  $M_N$  - предельные моменты сечений горизонтального и вертикального стержней соответственно, вычисленные с учетом влияния продольной оси, действующей в этих стержнях;  $N_T$  и  $N_N$  - продольные силы в них на стержнях;  $f$  - прогиб шарнира горизонтального стержня;  $f_T$  - прогиб шарнира конца вертикального стержня;

$$M_T = M_{0T} \text{ при } M_T = 0; \quad M_N = M_{0N} \text{ при } N_N = 0; \quad N_T = M_{0T} \text{ при } M_T = 0; \quad N_N = M_{0N} \text{ при } M_N = 0.$$

Из рассмотренных критических моментов для недеформированного состояния реза легче получить все возможные пластические моменты, которые могут образоваться при действии силы  $F$  протектора значения  $F_0$ . Эти моменты представлены на рис.35.

Если в нем  $\Gamma$  (рис.35,а). В горизонтальном стержне пластические шарниры могут образоваться в трех сечениях; в вертика-

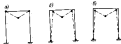


Рис. 55. Пластические механизмы рамы: а - механизмом 1; б - механизмом 2; в - механизмом 3.

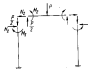


Рис. 56. Схема усилий в узлах рамы.

не пройти под силой  $P$  и в сечении, прилегающем к узлу рамы. Чтобы шарниры возникли в основаниях, в них в сечении вертикальных стержней, прилегающих к узлу, должно выполняться условие равновесия  $M_D > M_T$ . Здесь  $M_D$  вычисляется при  $N_D = P_D/2$ . В горизонтальном стержне при достижении предельной нагрузки прогибам он нет ( $f = 0$ ), поэтому  $M_T = M_{T0}$ .

Горизонтальный стержень в данном случае представляет собой балку с заделками на концах, предельное изгибающее действие  $P_D = \frac{8 M_{D0}}{l}$ . Если вертикальные стержни считать жесткими (приблизительно это выполняется), то концы горизонтального стержня при его изгибе сместятся по осевому. Поэтому расчет горизонтального стержня проводится в рассматриваемой балке с полным размером (см. § 12), а пластическое течение рамы будет устойчивым.

Схема усилий, действующих на стержни рамы, представлена на рис. 56. Из схемы видно, что вертикальный стержень можно рассматривать как консоль, нагруженную на конце поперечной силой  $N_T$  и моментом  $M_T$ , а также предельной силой  $N_D = P/2$ . Максимальный изгибающий момент здесь возникает в основании. Чтобы рассматриваемый механизм мог существовать, в вертикальном стержне не должно быть пластических деформаций, т. е. нужно потребовать выполнения условий  $M_{max} < M_D$  или

$$N_T H + M_T < M_D. \quad (13.8)$$

Существование этого механизма ограничено предельными значениями  $P$ . С ростом  $P$  растет  $N_D$  и соответственно падает  $M_D$ . Если достигнет значения  $N_D = N_{D0}$ , то  $M_D$  обратится в нуль. Поэтому при любых значениях  $N_T$  и  $M_T$  неравенство (13.8) нарушится при  $P < 2 N_{D0}$  и данная механизм превратится в механизм 2.

Итак, если  $2 < \frac{M_D - M_T}{M_D}$  (см. рис. 55, d). Если условие (13.8) нарушится, а условие  $M_D > M_T$  выполняется, параллель с тем же шарниром в горизонтальном стержне образуется по осевому шарнир в середине вертикального стержня. Для вертикального стержня с учетом возникающих прогибов (см. рис. 56)  $M_T = N_T y + M_T + \frac{P}{2} (f_T - u)$ . Прогиб этого стержня  $u$ , если в основании имеет место шарнир, а в остальной части ось стержня является прямой длиной  $u = f_T \left(1 - \frac{y}{H}\right)$ . Отсюда видно, что  $M_T$  имеет максимальное значение при  $y = H$  - в основании. Требуя, чтобы оно равнялось предельному моменту  $M_D$ , получим

$$N_T H + M_T + \frac{P}{2} f_T = M_D.$$

В этом уравнении неизвестны величины  $N_T$  и  $f_T$ . Прямое же решение, что прогиб конца вертикального стержня  $f_T$  равен  $\frac{P}{2} u_1$ , где  $u_1 = 2 \frac{f_T^2}{l}$  - обобщенная длина горизонтального стержня. Это дает возможность получить зависимость  $N_T$  от  $f$ :

$$N_T = \frac{M_D - M_T}{H} - \frac{P}{2} \frac{f^2}{lH}. \quad (13.9)$$

Отсюда следует, что при  $\frac{M_D - M_T}{H} > \frac{P}{2} \frac{f^2}{lH}$  предельная сила  $N_T > 0$ , т. е. горизонтальный стержень растянут. Если рост  $f$  должен сопровождаться увеличением  $P$ , а значит пластическое течение устойчиво. При  $\frac{M_D - M_T}{H} < \frac{P}{2} \frac{f^2}{lH}$  со-

ответственно  $N_r < 0$ , а пластическое течение нулевым. За-  
метим, что с ростом  $P$  второй член (13.9) возрастает, а пер-  
вый член убывает, так как  $M_0$  имеет ко-эф роста  $N_0 = P/2$ .

Следовательно, если пластическое течение рамы при нагрузке  $P$  мо-  
жет быть устойчивым, с ростом  $P$  оно становится неустойчивым.

Итак, если  $\beta$  (см. рис. 13, а). Если не удовлетвори-  
ются условиям  $M_0 > M_p$ , пластический шарнир образуется в сосе-  
ди вертикального стержня, приближенно к узлу. Этот механизм  
аналогичен механизму 2, только момент в узле будет не  $M_0$ , а  
 $M_p$ . Поэтому, повторив все выкладки с указанным изменением, по-  
лучим  $N_r = -\frac{P}{2} - \frac{P^2}{2EI} < 0$ . Следовательно, данная меха-  
низмы всегда приводит к нулевому пластическому.

Если изменить знак силы  $P$ , а рама также возможна образо-  
вание трех механизмов, аналогичных рассмотренным, но с дополни-  
тельным направлением прогибов горизонтального стержня. Решение этой  
задачи мало отличается от рассмотренного; пластическое течение  
во всех случаях обеспечивается устойчивым [8].

Обращает на себя внимание положение в раме большего числа  
пластических шарниров, чем получается по теории предельного рав-  
новесия.

### § 14. Особенности расчета сухих переключателей как системы перекрестных связей

14.1. Исходные допущения. В данной главе сухое переключе-  
ние рассматривается как плоская стержневая система, состоящая  
из перпендикулярных стержней двух взаимных, перпендикулярных  
друг другу и открыты на жесткий контур. Внешняя нагрузка дей-  
ствует перпендикулярно плоскости переключателя. Предполагается, что  
стержни работают на изгибный момент; в узлах пересечения стерж-  
ней возможны только реакции, перпендикулярные плоскости пере-  
ключателя. (Это общее допущение, применимо при упрощенном расчете  
сухих переключателей как системы перекрестных связей [103]. Их  
применяемость для пластического расчета в некоторых случаях не  
очевидна и требует специальных обоснований. См. заключение.)  
Если одного направления называют основным направлением,  
другое направление - перекрестным связями.

Расчетом узлах определенных предельной нагрузки методом  
теории предельного равновесия. Внешние перпендикулярные сил на  
предельную нагрузку учитывают как применительно к основным  
перекрестным (§ 17). Как на простейшем примере показана особен-  
ности расчета переключателей в взаимных плоскостях.

14.2. Статический метод. Рассмотрим переключатель, состоящее  
из двух единичных балок главного направления в одной пере-  
крестной связи (рис. 17, а). Все балки жестко заделаны на внеш-  
нем контуре. Если главное направление нагрузки равномерно  
распределенной внешней нагрузкой интенсивностью  $q_0$ ; пе-  
рекрестная связь внешней нагрузкой не несет. Обозначим:  $M_1$  и  
 $M_2$  - предельные моменты основной балки главного направления и  
перекрестной связи соответственно;  $R$  - реакция в узле пере-  
сечения балки главного направления с перекрестной связью.

Рассмотрим балку главного направления (рис. 17, б). По ее  
длине наблюдаем моменты  $M(x)$  вдоль (рис. 17, в), что

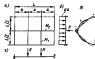


Рис. 57. Перекрытие: а - главные оси перекрытия; б - главные оси главного направления; в - центр тяжести балки. Момента инерции балки главного направления; г - схема перекрытия балки.

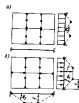


Рис. 58. Плоскостное изгибное перекрытие: а - осевые; б - моментом  $I_x$ ; в - моментом  $I_y$ .

$M(x)$  по длине балки может иметь пять экстремумов: в каждом изгибе; при  $x = c$ , где  $0 < c < l/2$ , в точке в симметричном сечении; в крайних правых. В предельном состоянии во всех перечисленных сечениях может быть достигнута предельная стоимость, и наибольшие моменты соответственно там будут равны предельному  $\bar{M}_0$ . Поэтому при составлении уравнения  $M(x)$  сразу правые концы и концы изгибов  $-M_1$ . Тогда при  $0 \leq x \leq l/2$

$$M(x) = \frac{q_0 l}{2} x - \frac{q_0 x^2}{2} - \frac{R}{2} x - M_1. \quad (14.1)$$

Отсюда исходя из условия  $\left. \frac{dM(x)}{dx} \right|_{x=c} = 0$ , найдем

$$\frac{c}{l} = \frac{1}{2} \left( 1 - \frac{R}{q_0 l} \right). \quad \text{Подставим это в (14.1) и для реализации}$$

предельного состояния потребуем, чтобы  $M(c) = M_1$ . Последнее имеет уравнение, которое можно разрешить относительно  $q$ . В результате

$$q_0 = \left( \bar{\theta} + \bar{R} + 4\sqrt{\bar{\theta} + \bar{R}} \right) \frac{M_1}{\alpha l^2}; \quad \bar{R} = \frac{Rl}{M_1}. \quad (14.2)$$

Теперь потребуем, чтобы  $M\left(\frac{l}{2}\right) = \frac{q_0 l^2}{8} - \frac{Rl}{4} - M_1 = -M_1$ .

Откуда

$$q_0 = 2 \frac{R}{\alpha l} \quad \text{или} \quad q_0 = 2\bar{R} \frac{M_1}{\alpha l^2}. \quad (14.3)$$

Привнесем правые части (14.2) и (14.3), получим уравнение для определения  $\bar{R}$ . Его корень  $\bar{R} = 32$ . При этом константа  $\bar{R}$  по (14.2) или (14.3)

$$q_0 = 64 \frac{M_1}{\alpha l^2}. \quad (14.4)$$

Чтобы выявить область применимости (14.4), нужно рассмотреть предельное состояние перекрестной балки (рис. 57, в). Для нее как максимальной балки предельное состояние достигается при

$$R_0 = 6 \frac{M_1}{L} \quad \text{или} \quad \bar{R}_0 = \frac{R_0 l}{M_1} = 6 \frac{M_1}{M_1} \frac{l}{L}. \quad (14.5)$$

Поскольку всегда должно выполняться условие  $R_0 \geq R$ ,

(14.4) для  $g_0$  справедливо лишь  $R_0 = \delta \frac{M_2}{M_1} \frac{l}{L} \geq \bar{R} = 32$ .

Если же по условиям задачи  $\delta \frac{M_2}{M_1} \frac{l}{L} < 32$ , это означа-

ет, что в решении (14.4) нарушено неравенство  $R_0 \geq R$  и следовательно (14.3) для определения  $R$  неприменимо. В качестве  $R$  можно брать его предельное значение по (14.3) и получится значение для  $g_0$  по (14.2). Не исключено также то, что при  $\delta \frac{M_2}{M_1} \frac{l}{L} > 32$ , поскольку

$R < R_0$ , у перекрестка в предельном состоянии перекрестная балка является жесткой, и его предельное состояние достигается лишь в результате поворота в предельном состоянии балки главного направления.

При  $\delta \frac{M_2}{M_1} \frac{l}{L} < 32$  в предельном состоянии переходит балка обеих направлений, но в этом случае в сечении перекрестка поворота балки главного направления предельный момент не достигается, так как  $\bar{R} < 32$ , и, следовательно,  $M(l/2) > M_T$ .

**14.3. Кинематический метод.** В предельном состоянии перекрестка, как это в данном случае очевидно, может образоваться только два кинематически возможных пластических механизма.

Механизм 1 - механизм балочного типа: переходит в предельное состояние только балка главного направления, перекрестная балка является жесткой (рис. 58, а). Последнее случится в том случае, когда балка главного направления, которая рассматривается как симметричные двухпролетные неразрезные балки. Для такой балки, согласно к § 5, 6 и табл. 2, в точке участка примет здесь обозначения, найдем  $g_0^{(1)} = \delta \frac{M_2}{M_1} \frac{l}{L}$ , что совпадает с (14.4).

Механизм 2 - переходит в предельное состояние балки обеих направлений (рис. 58, б). Работа механизма как  $U$  в этом случае совершается только вследствие перемещения балки главного направления, ибо только она несет полную нагрузку. Искомая ось балки здесь

$$\omega = \begin{cases} f \frac{x}{l} & \text{при } 0 \leq x \leq c; \\ f & \text{при } c \leq x \leq \frac{l}{2}; \end{cases} \quad (14.6)$$

$$\begin{aligned} U &= 2U_1 = 2 \left[ 2 \int_0^c q(x) \omega dx \right] = \\ &= 2qa l (1 - \bar{c}) f; \quad \bar{c} = \frac{c}{l}, \end{aligned} \quad (14.7)$$

где  $U_1$  - работа механизма как на одной балке.

Распределение усилий у балки главного направления представляет в четырех пластических шарнирах, углы скрутки в которых равны  $\theta_1 = \frac{f}{l}$ . Поэтому  $D_1 = 4M_1\theta_1 = 4M_1 \frac{f}{l}$ .

Согласно кинематической оси перекрестной балки пластический изгиб

$$D_2 = \frac{3f}{l} \quad \text{и} \quad D_2 = 4M_2\theta_2 = 12M_2 \frac{f}{l}. \quad \text{Энергия}$$

рассеивания в этой системе

$$\begin{aligned} D &= 2D_1 + D_2 = 2 \frac{M_2}{L} \frac{l}{\delta} (4 + R_0 \bar{c}) f; \\ R_0 &= \delta \frac{M_2}{M_1} \frac{l}{L}. \end{aligned} \quad (14.8)$$

Приравняв  $U$  и  $D$ , получим выражение для предельной нагрузки:

$$g_0^{(2)} = \frac{4 + R_0 \bar{c}}{2 + R_0 \bar{c}} \frac{M_1}{M_2} \quad (14.9)$$

Неизвестную величину  $\bar{\epsilon}$ , характеризующую положение нейтральной оси относительно главного направления, найдем в соответствии с квантитативной построительной теоремой (см. § 4) из условия

$$\frac{d q_0^2}{d \bar{\epsilon}} = 0. \text{ Получается } \bar{\epsilon} = \frac{2}{R_0} (\sqrt{4 + R_0} - 2).$$

Подставим  $\bar{\epsilon}$  в (14.9) и после преобразований

$$q_0^2 = \left( \frac{R_0}{\sqrt{4 + R_0} - 2} \right)^2 \frac{M_2}{a b^2}. \quad (14.10)$$

Если умножить здесь числитель и знаменатель на

$$8 + R_0 + 4\sqrt{4 + R_0}, \quad \text{тогда в (14.10). Получаем получен-$$

ные результаты для разных механизмов, полярное квантитативное построительной теоремой. Величина реакции используем I:

$$q_0^{(1)} \leq q_0^{(2)}, \quad \text{что приводит к } R_0 = 6 \frac{M_2}{M_1} \frac{l}{L} \geq 32$$

и, следовательно, получаются полные совпадения со статическим решением.

**14.1. Комбинированный метод.** Сущность его в следующем: как и в квантитативном методе, рассмотрим все квантитативные возможные пластические механизмы, но предельное равновесие каждого механизма устанавливается статическим методом. Механизм I не является ни-либо свободной, поэтому установился только на механизме 2. Здесь, поскольку перерезанная связь переходит в предельное состояние, в нагрузку она только реакция  $R$ , последние точки имеют предельное значение  $R_0$ . Его можно найти, рассмотрев предельное равновесие этой связи как балки, нагруженной двумя сосредоточенными силами (см. рис. 57, г). Это сделано выше и получено (14.5).

Ввиду главного направления можно рассмотреть тоже как изогнутую, нагруженную равномерно распределенной нагрузкой  $q_0$ , предельное значение которой можно найти, в фиксированной

сосредоточенной силой  $R$ . (Здесь расчеты балки предельного равновесия балки при изогнутом состоянии нагружения.) Такие случаи мы уже рассматривали (см. рис. 57, д) и получили (14.3). В данном случае нужно только подставить туда вместо  $R$  значение  $R_0$  по (14.5). Здесь не следует рассматривать случаи, когда

$$M(l/2) = -M, \quad \text{ибо он противоречит заданному пластическому механизму. Соответствие полученных результатов нужно, применяя различные предельные нагрузки в соответствии с квантитативной построительной теоремой, ибо она отвечает заданные квантитативные возможные пластические механизмы. Способ их установления на данном этапе уже не принципиален.$$

**14.2. Соотнесение построительных методов.** Прямая методка собой использованные методы. В статическом методе состояние трудности связано с выделением всех значений  $q_0$ , отвечающие разным статическим изогнутым балкам нагруженным, в выделении областей их применимости. Она трудности резко возрастает с увеличением схемы перерезки и особенно, когда в предельном состоянии прогиба имеет не всю конструкцию, а только ее часть, что характерно для воздействия на перерезанную балку нагрузки (§ 45).

Квантитативный метод позволяет избежать этих трудностей, но при общей процедуре имеет другой недостаток: для каждого механизма нужно рассмотреть всю систему в поле нагрузок прогиба, что сопряжено со значительными трудностями при расчете сложных систем.

Комбинированный метод (по существу разновидность квантитативного метода) позволяет избежать обеих трудностей. Он дает возможность рассмотреть систему на отдельных изогнутых балках и сделать расчет в последовательном направлении для всех предельных нагрузок. Кроме того, по сравнению с квантитативным методом уменьшается число рассматриваемых пластических механизмов: здесь собственно рассматриваются не отдельные механизмы, а группы механизмов. В каждой группе задается расслоение пластического шарнира только на контуре деформированной зоны перерезки (в нашем примере, на отрезке балки); положение шарниров в пролете балки определяется при их расчете статическим методом исходя из анализа этих изогнутых механизмов. (Последнее в принципе можно

выражаются, что отвечает разным конструктивно возможным вариантам (механизмам). Таким образом, при комбинированном методе составленные механизмы - это только возможные варианты граничных условий перекрестка в предельном состоянии. В связи с этим наиболее детально рассмотрены перекрестки построены по комбинированному методу.

## § 45. Палубные перекрестки

**45.1. Расчетная схема.** Рассмотрим несомкнутый ряд расчетных стоек, характерных для палубных перекрестков, который позволяет во-первых, получить решения для случаев, наиболее широко встречающихся на практике; во-вторых, по возможности учесть и учесть все основные типы пластических механизмов, встречающихся у палубных перекрестков; в-третьих, продемонстрировать методику расчета перекрестков на большом числе примеров, чтобы облегчить ее освоение при решении конкретных задач.

Положим считать, что перекрестки на всей своей площади нагружены равномерно распределенной нагрузкой, которая воспринимается только одной главной направлением, если не otherwise нагружены перпендикулярно ей; перекрестки имеют две оси симметрии, если специально не otherwise указано несимметрично; все балки перекрестка имеют заданные на своем контуре, если специально не otherwise указано условия опоры; число балок главной направления нечетно (пять и более); в регулярных перекрестках все балки главной направления одинаковы.

Приведем ниже решения справедливы и для случаев, когда балки направлены (или обеим направлениям) перпендикулярно нагрузке продольного сдвига<sup>1</sup>. (Такие случаи, как известно, возникают при обеих главных осях и нагрузке перпендикулярно ей при поперечной системе набора перекрестка или балки главной направления при продольной системе.) Продольные сдвиги, как известно в п. 3, не влияют на форму пластического механизма, образуемого при

<sup>1</sup> Неясно в виду достаточно жесткие перекрестки, при расчете которых в соответствии с обычными предположениями теории предельного равновесия можно не считаться с наличием упругих прогибов, происходящих при наличии продольных сил и соответственно деформаций изгибаемых элементов.

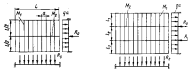


Рис. 59. Регулярное перекрестки с одной перекрестной осью.

Рис. 58. Регулярное перекрестки с двумя перекрестными осями.

построении балки предельного состояния; не вполне определенно лишь на величине предельного момента сечения балки. Расчет по перекресткам комбинированным методом (см. выше) сводится к последовательному определению предельных нагрузок отдельных балок перекрестка. Поэтому при наличии продольных сил достаточно определить предельные моменты сечений балок в соответствии с разделом § 3, а дальнейший расчет перекрестка формально лишится особенностей иметь не будет.

Приведем ниже примеры расчета с рассмотрением палубных перекрестков. Сначала рассмотрим в них особенности решения задачи определения предельных нагрузок перекрестков для более широкого класса перекрестков, у которых величина нагрузки распределена по всей или большей части площади перекрестка: сетчатых перекрестков, платформ, кораблей, выгородки и др.

### 45.2. Регулярные перекрестки с одной перекрестной осью

(рис. 59). Расчет аналогичен расчету перекрестка с двумя балками главного направления, рассмотренному в предыдущем параграфе. Для механизма I - балочного типа - составлен справедливым (14.4). Для механизма 2, когда переходит в предельное состояние перекрестная ось, справедливо  $\sigma_0^{(2)}$  по (14.2), но требует особого рассмотрения определения предельного момента реакции  $R_0$ .

Докажем, что эти реакции для всех балок главного направления одинаковы. Действительно, если перекрестная ось имеет прогибы, отличающиеся на всей своей длине, значит, все балки главной направле-

ние балки имеет пренебрежимо малое значение, если все они находятся в предельном состоянии, а предельная нагрузка для любой из них определяется по (14.2). Величина нагрузки на носок балки главного направления вычисляется, значит, только для тех случаев, когда  $q_0^{(1)} > q_0^{(2)}$ . Это возможно, как видно из (14.2), только, если все  $R_0$  одинаковы.

Таким образом, перекрестная связь — однонаправленная балка, нагруженная балками чашкой одинаковых сосредоточенных сил. Если последние больше пяти, то, как известно, их без балки можно считать равномерно распределенной нагрузкой интенсивностью  $R_0/a$ . Для такой балки по табл. 2

$$\frac{R_0}{a} = 16 \frac{M_1}{l^2}; \quad \bar{R}_0 = \frac{R_0 l}{M_1} = 16 \frac{M_1}{M_1} \frac{l}{l} \frac{a}{l}. \quad (15.1)$$

Механизм 4 реализуется, если  $q_0^{(1)} < q_0^{(2)}$ . На (14.2) и (15.1) следует, что это имеет место при  $\bar{R}_0 \geq 32$ . Таким образом, окончательно

$$q_0 = \begin{cases} 64 \frac{M_1}{a l^2} & \text{при } \bar{R}_0 \geq 32; \\ \left( 8 + \bar{R}_0 + 4 \sqrt{2 + \bar{R}_0} \right) \frac{M_1}{a l^2} & \text{при } \bar{R}_0 \leq 32. \end{cases} \quad (15.2)$$

Для перекрестки с парными-суперными по концам балками главного направления решение аналогично и

$$q_0 = \begin{cases} 40,64 \frac{M_1}{a l^2} & \text{при } \bar{R}_0 \geq 27,32; \\ \left[ 4 + \bar{R}_0 + \sqrt{2(2 + \bar{R}_0)} \right] \frac{M_1}{a l^2} & \text{при } \bar{R}_0 \leq 27,32. \end{cases} \quad (15.3)$$

**15.3. Регулярные перекрестки с двумя однонаправленными балками (рис. 60).** Для механизма 1 — балочного типа расчет следует к рассмотрению балки главного направления как перекрестной балки, предельная нагрузка которой определяется предельной нагрузкой самого слабого пролета (см. § 6). На табл. 2

$$q_0 = 16 \frac{M_1}{a l^2}; \quad i = 1, 2, \quad (15.4)$$

если подставляется балка  $\bar{l}_i$ . Механизм 2, когда переходит в предельное состояние перекрестная связь, приводит к необходимости рассмотреть балку главного направления как балку, нагруженную равномерно распределенной нагрузкой в двух сосредоточенных силах  $R_0$  (см. рис. 62). Наибольшей величины момент здесь может быть либо в крайнем пролете, либо посередине среднего пролета балки. Соответственно этому вычисляются для каждого пролета нагрузки

$$q_0^{(2)} = \left[ 2(4 + \bar{R}_0) + 4\sqrt{2(2 + \bar{R}_0)} \right] \frac{M_1}{a l^2}; \quad (15.5)$$

$$q_0^{(3)} = 8(2 + \bar{R}_0 \bar{l}_1) \frac{M_1}{a l^2}; \quad \bar{l}_1 = \frac{l_1}{l}. \quad (15.6)$$

Расчетная схема перекрестной связи в данном случае не отличается от рассмотренной для перекрестки с одной перекрестной балкой, и определяется по (15.1). На основании (15.5) и (15.6) можно убедиться, что  $q_0^{(2)} \geq q_0^{(3)}$ , если

$$\bar{R}_0 \leq 16 \frac{1 - 2\bar{l}_1}{(4\bar{l}_1 - 1)^2}.$$

**15.4. Регулярные перекрестки с тремя однонаправленными балками (рис. 61).** Для механизма 1 — балочного типа остается

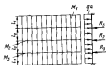


Рис. 67. Регулярное перекрытие с тремя перекрестными сечениями.

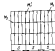


Рис. 68. Перекрытие с двумя большими главными направлениями.

определенной (15.4), но когда в предельное состояние переходит перекрестная связь, возникает большое число возможных вариантов, так как последние имеют разные предельные моменты ( $M_2$  и  $M_3$ ) и расстояния на разных расстояниях.

В е т в е т 2 - в предельное состояние переходит средней перекрестной связи, крайние перекрестные связи остаются местными. Здесь расчет сводится к уже рассмотренному случаю перекрытия с одной перекрестной связью, опорная конструкция которого служит крайние перекрестные связи. Поэтому может быть использована (15.2), если заменить там обозначения:  $l$  на  $2l_2$  и  $R_0$  на  $R_2$ .

В е т в е т 3 - в предельное состояние переходит крайние перекрестные связи, средняя перекрестная связь остается местной. Расчет здесь также сводится к рассмотренному перекрытию с одной перекрестной связью, одной из сторон опорного контура которого является средняя перекрестная связь, но при этом крайние пролеты имеют главное направление. Наибольший изгибающий момент возникает в большом пролете поперечной. Поэтому, если  $l_1 > l_2$ , то

$$q_0^{(3)} = 8 \left[ 4 + R_2 l_2 + 2\sqrt{2(2 + R_2 l_1)} \right] \frac{M_1}{\alpha l^2};$$

$$l_2 = \frac{l}{2},$$

(15.7)

где  $\bar{R}_2$  вычисляется по (15.1), если там заменить  $R_0$  на  $R_2$  и  $M_2$  на  $M_3$ . При  $l_1 < l_2$  в (15.7) нужно заменить  $l_2$  на  $l_1$ .

М е т о д и к а 4 - в предельное состояние переходит все перекрестные связи. Расчетная схема будет главным направлением представлять на рис. 63. Наибольший изгибающий момент здесь может быть либо в крайних пролетах, либо в средних пролетах. Соответственно получаются

$$q_0^{(4)} = \left( \delta + \bar{R}_2 + 2\bar{R}_1 + 4\sqrt{4 + \bar{R}_2 + 2\bar{R}_1} \right) \frac{M_1}{\alpha l^2};$$

(15.8)

$$q_0^{(5)} = \left[ \delta + \bar{R}_2 + \bar{R}_1 l_1 + 2\sqrt{2(2 + \bar{R}_1 l_1)(\delta + \bar{R}_2 + 2\bar{R}_1 l_1)} \right] \frac{M_1}{\alpha l^2};$$

$$l_1 = \frac{l}{2}.$$

(15.9)

Здесь  $\bar{R}_1$  и  $\bar{R}_2$  вычисляются по (15.1), если в первом случае заменить там  $R_0$  на  $R_1$ , а во втором  $R_0$  на  $R_2$  и  $M_2$  на  $M_3$ .

Для частного случая, когда  $l_1 = l_2$  и  $M_2 = M_3$ , очевидно, что  $q_0^{(1)} = q_0^{(5)}$ , т.е. взаимным 2 и 3 значениям соответствуют одинаковые. Но это возможно, ибо данные взаимным количеством несоместности. Поэтому они вообще рассматриваться не могут. Соответственно  $q_0$  для остальных возможных пролетов и огибающей:

$$q_0 = \begin{cases} \left[ \delta + 2\bar{R}_0 + \sqrt{2(4 + \bar{R}_0)(\delta + 3\bar{R}_0)} \right] \frac{M_1}{\alpha l^2} & \text{при } \bar{R}_0 \leq 13,54; \\ \left( \delta + 3\bar{R}_0 + 4\sqrt{4 + 3\bar{R}_0} \right) \frac{M_1}{\alpha l^2} & \text{при } 13,54 \leq \bar{R}_0 \leq 64; \\ 256 \frac{M_1}{\alpha l^2} & \text{при } \bar{R}_0 \geq 64. \end{cases}$$

(15.10)

$\bar{R}_0$  определяется по (15.1).

Если  $M_2 = M_3$ , а  $l_1$  и  $l_2$  различны (например,  $l_1 > l_2$ ),

но балки по величине, становится возможной реализация механизма 2. Однако значение значений  $\bar{R}_0$ , где  $q_0^{(II)}$  по (15.9) дает наименьшие значения  $q_0$ , умень. Верхняя его граница  $\bar{R}_0 = 84$ ; при  $l_1 = l_2$  нижняя граница этого значения строится точки и  $\bar{R}_0 = 84$ . Аналогично получается при  $l_1 < l_2$ , только соответственно реализуется механизм 2.

**15.5. Угловое перекрестие в балочном члене перекрестных связей.** Строительное скручивание, когда предельные моменты перекрестных связей единичны -  $R_0$  и расстояния между ними равны -  $b$ . Здесь могут образоваться только два механизма: либо механизм балочного типа (для него  $q_0^{(II)} = 16 \frac{M_1}{\alpha b^2}$ ), либо механизм,

когда переходит в предельное состояние все перекрестные связи. (Либо механизмы, связанные с переходом в предельное состояние части перекрестных связей. (математически возможны)). Для последнего расчетная нагрузка балки главного направления - равномерная распределенная нагрузка  $q_0 = R_0 / b$ , где  $R_0$  - реакция перекрестных связей, выражаемых по (15.1). Тогда получается

$$q_0^{(II)} = 16 \left( \frac{M_1}{\alpha b^2} + \frac{M_2}{b l^2} \right). \quad (15.11)$$

**15.6. Перекрестие с равными балками главного направления.** Рассмотрим особенности, возникающие в расчет регулярного перекрестия коллинеарными балками главного направления, на примере перекрестия с двумя перекрестными связями и двумя равными балками главного направления. (На рис. 52 равные балки показаны жирными линиями;  $M_2$  - предельный момент их сечения.) Механизмы балочного типа, естественно, здесь остаются без изменений.

Докажемся новый тип механизмов, когда перекрестные связи переходят в предельное состояние, а равные балки главного направления остаются жесткими. В этом случае последние эк-

спандируют роль жестких опор для перекрестных связей и расчет сводится к рассмотрению регулярного перекрестия между этими балками, т.е. при определении  $\bar{R}_0$  для (15.5) и (15.6) и (15.1) нужно заменить  $L$  на  $S$ .

Также можно быть жестким механизмом и механизм, когда переходит в предельное состояние все балки перекрестия. Он не приводит к жестким механизмам, если можно превратить жесткой нагрузкой, сосредоточенной равными балками. В этом случае расчет рамной балки ведется как консольной балки, симметрично закрепленной концы сосредоточенными силами  $R_0'$  - реакциями перекрестных связей, предельные значения которых по табл. 2

$$R_0' = \frac{2 M_2}{L_1}. \quad \text{В расчетной схеме перекрестной связи эти}$$

$R_0'$  нужно заменить  $R_0$  в сечениях, где установлены равные балки, имеющие соответственно их направление. Тогда исходя из расчета перекрестной связи вместо (15.1) получим

$$R_0 = \frac{\frac{2 M_2}{3} - R_0'}{\frac{L^2}{8 \alpha S} - 1}. \quad (15.12)$$

Заметим, что, если расстояние между равными балками коллинеарно, а перекрестие нужно рассмотреть для варианта определенной  $R_0$ : когда наибольший изгибающий момент расположен по середине среднего пролета перекрестной связи и в ее крайнем пролете. Подставляя  $R_0$  в (15.5) и (15.6) для коллинеарных балок главного направления, находим предельную нагрузку перекрестия  $q_0$ .

Если можно превратить жесткой нагрузкой из равных балки главного направления, из расчетной схемы не будет исключаться от расчетной схемы жесткости балок, и соответственно можно пользоваться (15.5) и (15.6):

$$q_0^{(II)} = \left[ 2(4 + \bar{R}_0') + 4 \sqrt{2(2 + \bar{R}_0')} \right] \frac{M_1'}{\alpha l^2}; \quad (15.13)$$

$$q_0^{(2)} = 8(2 + \bar{R}_0' \bar{b}_0) \frac{M_1'}{\alpha \bar{b}_0^2}; \quad \bar{R}_0' = \frac{R_0' b}{M_1'} \quad (15.14)$$

Если только нужно проверить или один параметр, когда на рваной балке направление внешней нагрузки  $q$  в рваной перекрестной сечении совпадают, что дает

$$q_0^{(4)} = 8(2 - \bar{R}_0' \bar{b}_0) \frac{M_1'}{\alpha \bar{b}_0^2} \quad (15.15)$$

Поскольку перекрестие нагружено равномерно распределенной нагрузкой, величина  $q_0$ , получившаяся на расчете величины балки по (15.5) или (15.6) в рваной балке по (15.13), (15.14) или (15.15), должна быть одна и та же. Поэтому, приравняв правые части, например (15.5) и (15.13), получим уравнение

$$2(4 + \bar{R}_0) + 4\sqrt{2(2 + \bar{R}_0)} - \\ - [2(4 + \bar{R}_0) + 4\sqrt{2(2 + \bar{R}_0)}] \frac{M_1'}{M_2} \quad (15.16)$$

с неизвестными  $\bar{R}_0$  и  $\bar{R}_0'$ . Его нужно решить совместно с (15.12) для перекрестной сечения или систему, корни которой будут значения  $R_0$  и  $R_0'$ . Аналогично нужно рассмотреть и другие возможные варианты, приравняв правые части (15.5) и (15.14), (15.5) и (15.16) и т.д.

**15.7. Длина расчетного пролета.** Приближенное решение для перекрестия с рваными балками главного направления показывает, что даже эти простейшие нерегулярности существенно увеличат длину: увеличивает необходимость для ряда вариантов, составлять и решить систему уравнений относительно  $R_0$  и  $R_0'$ , причем эти уравнения могут быть нелинейными; вычисление характерно для нерегулярных перекрестий схемы расчета, состоящий в последовательном рассмотрении отдельных балок. С увеличением схемы перекрестия

так эти трудности быстро возрастают. Прямая эти трудности, как видно из вышесказанного, состоит в том, что в составе перекрестия есть две балки разной рваной способностью (качество и размер балки главного направления), которая нагружена внешней нагрузкой.

Расчет существенно упрощается, если воспользоваться методом последовательных приближений и в каждом приближении считать равными нагрузку, например, на рваную балку известной. Тогда только качество балки останется нагруженной неизвестной внешней нагрузкой, различные приближенные значения которой являются целью расчета, и полностью сохраняется последовательность расчета, характерная для регулярных перекрестий.

Алгоритм может быть построен следующим образом: задается  $q_0$  в первом приближении и по (15.13)–(15.15) определяется наименьшее положительное значение  $R_0'$ ; по (15.13) определяется  $R_0$ ; по (15.5) и (15.6) определяются наименьшие значения  $q_0$ . Это принимается в качестве  $q_0$  второго приближения, и расчет повторяется. Заметим, что здесь возможно также учесть и внешнюю нагрузку, непосредственно и непосредственно и непосредственно и непосредственно и непосредственно. Эта нагрузка при расчете перекрестной сечения должна рассматриваться как заданная и входит в уравнение для приближенного значения реакции  $R_0$ , т.е. предосторожность перекрестия (15.12).

**15.8. Перекрестие с двумя выносами.** Условно рассмотрим такой пример, поставив между рваными балками главного направления (рваными балками) и перекрестными балками (направляющими) через линию (рис. 82). Пусть также наличие выносов для главного момента выносов в пролете между рваными балками ( $M_2'$ ) и рваного балки в пролете между направляющими ( $M_1'$ ). Получим будем считать непрерывно открытым на выносов. Последнее заключается при рассмотрении выносов балочного типа и последовательно вычислять предельную нагрузку  $q_0 = 1,66 \frac{M_2'}{\alpha \bar{b}_0^2}$  (см. табл. 2). При рассмотрении выносов выносов, оставшихся в переходе предельно неустойчивые варианты, когда рваные балки остаются в состоянии, расчет предельного пролета перекрестия

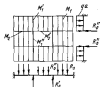


Рис. 63. Перекрестие с равномерным армированием.

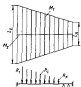


Рис. 64. Перекрестие с трапециевидным армированием.

между рамными балками в опорных изгибах не отличается от предельного случая — рассчитывается равномерное армирование. В среднем пролете вариант будет нагружен рядом одинаковых сил  $R_0^I$  — равной по глубине, предельные значения которых определяются расчетом арматур в пролете:

$$R_0^I = 8 \frac{M_1 + M_2}{8l^2} a. \quad (15.17)$$

Здесь учтем, что  $M_2' > M_2$ . Далее нужно рассмотреть полубалку как консоль, нагруженную равномерно распределенной нагрузкой интенсивности  $q_0$  и сосредоточенной силой  $R_0^I$  на конце (рис. 63), что дает

$$q_0 = 2 \left( \frac{M_1}{a l^2} + \frac{R_0^I}{a l} \right). \quad (15.18)$$

При рассмотрении нехлывчатых, отсеченных переходов в предельное состояние всех балок переарматура, прежде

всего нужно учесть, что в данном случае есть три балки различной несущей способностью, соответственно воспринимающих величину нагрузки: консольные балки, рамные балки и полубалки. Поэтому независимо от того, арматурована ли консольная часть методом последовательных приближений.

Будем считать в первом приближении нагрузку  $q_0$  заданной на рамных балках и полубалках. Тогда по (15.13)–(15.15) можно определить значения реакции рамной балки  $R_1^I$ , а по (15.18) соответственно значения реакции полубалки  $R_0^I$ . (Чтобы учесть изменение предельного момента рамной балки в его средней части, в (15.14) и (15.15) нужно заменить  $M_1'$  на

$\frac{M_1' + M_2''}{2}$ .) Конечно оказывается балкой, нагруженной известными силами  $R_1^I$ ,  $R_0^I$  и неизвестными силами  $R_0$  (рис. 63).

Последнее определяется из его расчета. (Здесь нужно учесть, что у арматуры возможно увеличение пластического шарнира не только посредине его пролета; как следствие неравномерности сечения, возможен вариант с появлением пластических шарниров в крайних пролетах между рамными балками и опорными изгибами.) Выдающееся  $R_0$  позволяет по (15.5) и (15.6) определить предельную нагрузку  $q_0$  во втором приближении.

**15.8. Учет влияния воспринимаемой внешней силы. Рамные переходы.** Схема рамных рассмотренных выше вариантов метода распределения не случайна, ведь крайняя левая балка так же нагружена и переарматура для нее определена по консольно. Последнее приводит к появлению дополнительной внешней нагрузки в среднем пролете рамных балок и полубалок. Это не исключает решения, если пользоваться методом последовательных приближений, где при расчете этих сил внешней нагрузки для них можно считать заданной и определять только未知ные реакции.

При выполнении вычислительных расчетов необходимо учитывать и влияние длины балки. Если известны несущая способность балок, их распределенная нагрузка  $P_{кр}$ , следует также рассмотреть методика, в которой балка воспринимает несущую способность, в

в месте прогиба пиллеры и перекрестки пластинки жесткими сила  $P_{cp}$ . Это не может быть целью расчета. Например, если у рассмотренного выше перекрестка пиллеры жесткими по углам лишь, изменения изогнутся только изгибаемых, связанных с перекрестком в предельном состоянии всех балок перекрестка: при расчете рамного бруса нужно учесть наличие внешней сил  $P_{cp}$ , которые суммируются с реакциями  $R_0^i$ .

**15.19. Особенности расчета перекрестков с изогнутым основным контуром.** Основными особенностями расчета перекрестков с изогнутым основным контуром связаны с тем, что, во-первых, все (или большинство) их балок имеют разную длину и способность, во-вторых, перекрестки имеют образующие пластические изгибаемые элементы, когда переходит в предельное состояние часть перекрестка в стержневой зоне, или же если возникла изогнутая равномерная распределения. Проиллюстрируем это примером расчета перекрестка с традиционным контуром и одной перекрестной балкой (рис. 64). Предельный момент у всех балок главного направления одинаков —  $M_1$ . Минимум балочного типа здесь обычно и не содержит особенностей. Интерес для анализа представляют изгибатели, связанные с переходом в предельное состояние перекрестной балки. Для балки главного направления здесь справедливо (15.2)

$$q_0 = \left( \theta + \bar{R}_l + 4 \sqrt{4 + \bar{R}_l} \right) \frac{M_1}{\alpha l^2}; \quad \bar{R}_l = \frac{R_l l}{M_1}. \quad (15.19)$$

Здесь  $l$  — номер балки главного направления. Так как  $q_0$  для всех балок одинаково, следовательно, равной длины их пролеты  $l_i$  будут разные значения равных реакций  $R_l$ . Проще, тем больше из (15.19), чем больше  $l_i$ , тем больше  $R_l$ . Поэтому в предельное состояние может перейти не вся перекрестная балка, а только ее часть, прилегающая к большей стороне внешнего контура перекрестка. Таким образом, расчетная схема перекрестной балки — балка с жесткими защемлениями на концах, нагруженная  $k$  сосредоточенными силами  $R_l$  в длине пролета  $(k+1)\alpha$ .

Максимальный момент у такой балки в отстоянии  $j$ , где приложены силы  $R_j$ , определяется выражением

$$M_j = \frac{\alpha}{k+1} \left[ j \sum_{i=1}^j R_l (k+1-i) + (k+1-j) \sum_{i=j+1}^k R_l i \right] - M_2. \quad (15.20)$$

Если  $M_j$  — максимальный изгибающий момент в пролете балки в известной точке отстояний, например  $r_i = R_l / R_1$ , то, подставив  $M_j = M_2$ , можно найти предельные значения

$$R_1 = \frac{2M_2}{\alpha} \frac{k+1}{j \sum_{i=1}^j r_i (k+1-i) + (k+1-j) \sum_{i=j+1}^k r_i i}. \quad (15.21)$$

Значения  $j$  определяется из условия (15.20), но можно его найти и по условию минимума  $R_1$  по (15.21), варьируя  $j$  от 1 до  $k$ . (Вариация по  $j$  будет соответствовать вариации количества возможных пластических изгибаемых балок с разным расположением шарнира в пролете.) Для рассмотренного примера, учитывая пролет  $R_l$  в направлении большей стороны внешнего контура перекрестка, достаточно варьировать  $j$  от 1 до  $k/2$ .

Значения отстояний  $r_i$  определяются исходя из условия постоянства  $q_0$  для всех балок главного направления. Приравняв правые части (15.19) для разных балок, получим систему линейных уравнений относительно  $r_i$ . Решить необходимость решать эту систему можно, используя метод последовательных приближений. В первом приближении возьмем  $q_0$  для всех

балки, кроме, например, первой. Тогда, применив (15.18) относительно  $R_i$ , найдем

$$r_i = \frac{l_i + \psi \sqrt{\frac{M_i}{q_0 a}}}{l_i + \psi \sqrt{\frac{M_i}{q_0 a}}} \quad (15.22)$$

Затем по (15.22) находим  $R_i$  и по (15.19) для первой балки —  $q_0$  второго приближения. Такой расчет нужно выполнять для всех значений  $k$  от  $k=2$  до  $k=n-1$  ( $n-1$  — число балок главного направления в перекрестке) и выбрать наименьшее значение  $q_0$ . Для рассматриваемого перекрытия можно уменьшить число параметров, если вместо расчета, последовательно увеличивая значение  $k$  от  $n-1$  до тех пор, пока будет иметь место уменьшение  $q_0$ .

Анализ показывает, что замена расчета традиционного перекрытия расчетом прямоугольного перекрытия средней ширины дает удовлетворительные результаты только в тех случаях, когда минимум  $q_0$  отвечает  $k=n-1$ , т.е. когда в предельном состоянии перекрестная связь поддается прогибу по всей своей длине. В противном случае анализ от такой замены может быть весьма запутанным.

## § 16. Короткие перекрытия. Локальные нагрузки

**16.1. Особенности расчета бортовых перекрытий. Бортовая нагрузка.** Для бортовых перекрытий можно выделить два типа локальных нагрузок, представляющих практический интерес: общие нагрузки, распределяемые по всей или почти по всей площади перекрытия, и локальные нагрузки, приложенные на малой площади по сравнению с площадью всего перекрытия. При действиях *общих* и *Р-образных* нагрузок в предельном состоянии образуют соответственно общие пластические механизмы, подробно рассмотренные в предыдущем параграфе применительно

и к глубоким перекрытиям. Поэтому в расчет бортовых перекрытий на действие таких нагрузок можно опираться на расчеты глубоких перекрытий. Так, если нагрузка равномерно распределена или, вообще говоря, равномерно распределена в *длину*, основное отличие бортового перекрытия состоит в том, что оно может иметь только одну ось симметрии. Это несложно учесть при расчете балки главного направления в рассмотрении перетни пластических механизмов пластическими механизмами, связанными с перекрестком в предельном состоянии перекрестных связей. (Пример расчета несимметричного перекрытия с одной перекрестной связью рассмотрен в предыдущем параграфе при анализе одного из возможных пластических механизмов перекрытия с тремя перекрестными связями.) Основное в такой мере касается и учета коргуарностей в конструкции перекрестка.

Если нагрузка является линейной по высоте борта, при симметричной системе опоры возможны два варианта. При пролонной системе ситуация такая: балка главного направления охватывается изгибающими реакцией линейной нагрузкой, в результате чего реакция на перекрестной связи становится равной по величине; перекрестная связь может в предельном состоянии деформироваться только на части своей длины и т.д. Самый расчет в этом случае аналогичен рассмотренной выше для перекрытий с контрфорсными опорными конструкциями. Только реакция в каждой опоре (особенности балки главного направления определяется здесь не различием в длине их пролета, а разницей величин линейной нагрузки). Например, в простейшем случае для перекрытия с одной перекрестной связью отношение реакций на перекрестной связи  $r_i$  будет определяться по (15.22), а

$$r_i = \frac{l + \frac{\psi}{l} \sqrt{\frac{M_i}{\gamma_i q_0 a}}}{l + \frac{\psi}{l} \sqrt{\frac{M_i}{\gamma_i q_0 a}}}, \quad (16.1)$$

где  $\gamma_i q_0$  — интенсивность линейной нагрузки на  $i$ -й балке главного направления.

Наиболее существенной особенностью расчета перекрытий на действие локальных нагрузок, возникающих при наличии судна во время швартовки, плавания в ледовых условиях и т.д. Их рассмотрение в плоском параграфе. Анализ выполняется с сохранением допущений, которые были сформулированы при рассмотрении плоских перекрытий. На заключительном этапе элемент перекрытия в форме нагрузки.

Нагрузка представляется равномерно распределенной на участке прямоугольной формы, границы которого параллельны осям координат перекрытия, а перекрытие имеет одну ось симметрии. Пример, рассмотренный в плоском параграфе, показывает, что при увеличении числа перекрестных связей в перекрытии соответственно возрастает число кинематически возможных пластических механизмов. При этом приходится рассматривать все механизмы, характерные для перекрытий с малым числом перекрестных связей, и включать их механизмы, в которых переходят в предельное состояние только одно или несколько перекрестных связей.

Поэтому здесь сразу рассматривается перекрытие с тремя и более перекрестными связями в едином продольном направлении или в поперечном, образующим при переходе в предельное состояние одну, двух и т.д. перекрестных связей. Это эквивалентно расчету перекрытий с соответствующим числом перекрестных связей. Механизмы балочного типа, сводящиеся к расчету неразрезных многопролетных балок, не имеют особенностей, требующих особого рассмотрения. Схема перекрытия показана на рис.65; нагруженный участок выделен.

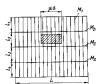


Рис.65. Перекрытие, нагруженное локальной нагрузкой.

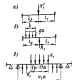


Рис.66. Схема балки перекрытия: незагруженной (а) и нагруженной (б) балки главного направления и перекрестной связи (в).

действует (незагруженные балки), возникающая в пределичном состоянии участка перекрестной связи. Незагруженная балка (рис.66,а) переходит в предельное состояние только от действия главной реакции  $R_1^H$ , значение которой определяется из расчета этой балки как

$$R_1^H = 2 \frac{l_1 + l_2}{l_1 l_2} M_1. \quad (16.8)$$

Внешняя нагрузка на всю группу главных балок по условию элемента (рис.66,б). Поэтому одновременный переход их в предельное состояние возможен лишь в случае, если приложены к ним одинаковые реакции  $R_1$  друг к другу одинаковы. Тем же образом, расчетная схема перекрестной связи сводится к балке длиной  $\gamma, a$ , нагруженной рядом сосредоточенных сил  $R_1$  и  $R_1'$  (рис.66,в).

Величина сил  $R_1'$  известна, величина сил  $R_1$  можно быть найдены при расчете этой балки как ее предельная нагрузка. Если предполагать, что такое это значение, то

#### §6.2. Пластический механизм с одной перекрестной связью.

Рассмотрим кинематический механизм, образующийся в случае, когда исключается всякая возможность для перекрестной связи. В одну кольцевую характерную внешнюю нагрузку балки ее деформированного участка  $\gamma, a$  может быть меньше длины перекрытия ( $\gamma, a \leq L$ ). Предположим также, что длина этого участка не меньше длины пролета  $\mu, a$ , на которой распределена внешняя нагрузка ( $\gamma, a \geq \mu$ ).

Тогда одновременно с перекрестной связью можно перейти в предельное состояние все балки главного направления, действуя внешней нагрузкой (нагруженные балки), в часть балки главного направления, на которые внешняя нагрузка непосредственно не

$$R_1 = \frac{16 + \frac{R_1 \beta}{M_T} (\nu_1 - \mu)^2}{\nu_1 (2\nu_1 - \mu)} \frac{M_{21}}{a} \quad (15.3)$$

Если  $R_1$  определено, предельное значение нагрузки  $q$  находится при расчете загруженной балки данного направления (рис. 65, б). Например, если нагрузка на этой балке расположена между осевыми перекрестных связей симметрично:

$$\left. \begin{aligned} q_0 &= \frac{1}{\gamma^2 - \beta} \left[ (\gamma m \bar{l} + 2) + \sqrt{(\gamma m \bar{l} + 2)^2 - (\gamma^2 - \beta) m^2 \bar{l}^2} \right] \times \\ &\times \frac{M_T}{a(l_1 + l_2)^2}; \\ \bar{l} &= \frac{l_1}{l_1 + l_2}; \quad \beta = \frac{1}{6} \left( \frac{l_2 - \beta}{l_1 + l_2} \right)^2; \quad \gamma = \frac{l_2 + 6\bar{\beta}}{2(l_1 + l_2)}; \\ m &= \frac{R_1(l_1 + l_2)}{M_T}. \end{aligned} \right\} \quad (15.4)$$

Длину деформированного участка перекрестной связи (параметр  $\nu_1$ ) определяем исходя из условия минимума  $q_0$ . Из (15.4)

видно, что условие  $\frac{dq_0}{d\nu_1} = 0$  эквивалентно условию равенства

если  $\frac{dR_1}{d\nu_1} = 0$ . Изложив (15.3), исходя из этого условия получим

$$\nu_1 = \frac{2}{\mu} \left( 1 + \sqrt{1 - \frac{1}{\mu} \frac{1}{1 + 16 \frac{M_{21}}{\mu^2 R_1^2 a}}} \right) \times \\ \times \left( \mu + 16 \frac{M_{21} q_0}{\mu^2 R_1^2 a} \right). \quad (15.5)$$

**15.5. Пластические моменты в связи перекрестных связей в случае, когда их деформированные участки совпадают**

( $\nu_1 = \nu_2$ ). Основная особенность случая, в котором совпадают предельные состояния для перекрестных связей, — необходимость специального рассмотрения условий совместности перемещений балок перекрестия. Рассмотрим  $j$ -ю загруженную балку данного направления (рис. 67, а). Максимум изгибающего момента и соответственно пластической нагрузки всегда расположится в пределах загруженного участка;  $s_j$  — его отстояние от первой перекрестной связи. Не рассматривая симметричной изогнутой оси балки можно записать следующие соотношения

$$\frac{W_{2j}}{W_{1j}} = \frac{l_1}{l_2} \frac{l_2 + l_2 - s_j}{l_1 + s_j}, \quad (15.6)$$

где  $W_{1j}$  и  $W_{2j}$  — прогибы балки в указанных точках соответственно для первой и второй перекрестных связей. Аналогичные

соотношения можно записать также для  $j-1$  и  $j+1$ -ых балок каждой перекрестной связи (рис. 67, б).

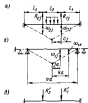


Рис. 67. Связи балок перекрестия: а — загруженная балка данного направления; б — деформированная балка; в — изогнутая ось балки данного направления.



Рис. 68. Связи нагруженной балки данного направления.

$$\frac{w_{1j}}{w_{1k}} = \frac{v_1 - 2j}{v_1 - 2k}; \quad \frac{w_{2j}}{w_{2k}} = \frac{v_2 - 2j}{v_2 - 2k}. \quad (16.7)$$

Так как  $v_1 = v_2$ , то

$$\frac{w_{1j}}{w_{1k}} = \frac{w_{2j}}{w_{2k}} \quad \text{и} \quad \frac{w_{1j}}{w_{2j}} = \frac{w_{1k}}{w_{2k}}. \quad (16.8)$$

Следовательно (16.8) справедливо для любой балки главного направления, то же (16.8) следует, что оно выполняется, если  $c_j = c_k$ , т.е. положение шарниров в пролете у всех балок одинаково. Но у всех нагруженных балок главного направления также одинаково  $q_0$ .

Поэтому условие  $c_j = c_k$  может выполняться только, если будут равны одинаковые уловые реакции  $R_{1j} = R_{1k}$  и  $R_{2j} = R_{2k}$ .

Учитывая, что ввиду моментов неагруженной балки главного направления (рис. 66, а) кусочно-линейны, обеспечить выполнимые условия  $c_j = c_k$  в этом случае, т.е. получить шарнир в одном сечении между перекрестными связями, можно только при условии, что на этом участке изгибаемый момент постоянен. Это определяет отклонение реакций  $R_1^i / R_2^i = l_1 / l_2$ , и на основании расчета неагруженной балки получаем

$$R_1^i = \frac{2M_1}{l_1}; \quad R_2^i = \frac{2M_2}{l_2}. \quad (16.9)$$

Таким образом, для перекрестных связей остается справедливой схема, полученная в предыдущем случае (см. рис. 66, а), и соответственно формулы (16.3) для определения  $R_1$ , а также  $R_2$  после замены там  $M_{21}$  на  $M_{22}$  и  $R_1^i$  на  $R_2^i$ . По условиям  $R_1$  и  $R_2$  на основании расчета нагруженной балки

главного направления определяем предельную нагрузку перекрестия  $q_0$ .

#### 16.4. Пластические механизмы с одной перекрестной связью в отделе, когда на несоблюдениях участка выделены

( $v_1 \neq v_2$ ). Если  $v_1 \neq v_2$ , условия существования шарниров в пролете балки главного направления выполняются. Тогда соответственно  $c_1 \neq c_2$  и на расположение шарниров в пролете балки главного направления выдвигаются ограничения условиями  $v_1 \neq v_2$ . Разные значения  $c_j$  у нагруженных балок главного направления при одинаковой нагрузке  $q$  приводит к разным значениям  $R_{1j}$  и  $R_{2j}$ . Для неагруженных балок главного направления (16.9) остаются справедливыми, но выполняются тех участках, где только одно условие отсечения этой балки имеет место, отличающимся от нуля. Здесь следует пользоваться (16.2).

В наших уравнениях постоянно для определения всех неизвестных:  $q_0$ ,  $c_j$ ,  $R_{1j}$  и  $R_{2j}$ . Но в отличие от предыдущего случая эти уравнения нужно рассматривать как систему, часть уравнений которой нелинейны. Поэтому здесь целесообразно прибегнуть к методу последовательных приближений, аналогично тому, как это сделано выше применительно к нерегулярным пластическим перекрестиям.

В первом приближении вылетит  $q_0$  для всех балок кроме одной, например, первой, и для нее фиксируется  $c_1$ . По  $c_1$  с помощью уравнений совместности переменных определяем  $c_j$  для всех балок, а затем на их расчете отыскиваем уловые реакции  $R_{1j}$  и  $R_{2j}$ , соотношения которых определяются найденными значениями  $c_j$ . Затем на расчет перекрестной связи вычисляем уловые реакции первой балки  $R_{11}$  и  $R_{21}$  и выносим ее расчет, который дает  $q_0$  и  $c_1$  второго приближения.

Следует, что случай  $v_1 \neq v_2$  возможен в принципе во всех случаях. Как показано выше, его реализация приводит к  $c_j \neq c_k$  и в пластический шарнир в балке главного направления всегда располагается в пределах нагруженного участка. Следовательно, если нагружаемый участок отвал уток ( $\delta \rightarrow 0$ ) и перекрестие нагружено по длине, то положение шарниров в пролете балок опре-

является одинаковым. Тогда совместные условия  $\epsilon_j = \epsilon_k$  имеют вид  $V_1 = V_2$ . Такие невозможны  $V_1 \neq V_2$ , если перекрестие не нагружено и нагрузка симметрична.

**16.5. Случай.** Когда плоская нагрузка приложена между перекрестной осью и внутренним контуром перекрестия. Если обе перекрестные связи расположены по одну сторону от пластического шарнира в пролете балки главного направления (рис. 16.9), что имеет место, когда плоская нагрузка приложена между перекрестной осью и внутренним контуром перекрестия, между прогибами в узлах существует следующее соотношение

$$\frac{w_{2j}}{w_{2j'}} = \frac{l_2 + l_2'}{l_2} \quad (16.10)$$

Это соотношение для всех балок (при любых  $f$ ), из чего следует  $w_{1j}/w_{1k} = w_{2j}/w_{2k}$  и в (16.9)  $v_1 = v_2$ .

Следовательно, для рассматриваемого случая деформированные участки перекрестных связей равны по длине.

Из этого, однако, не вытекает, что условия равности на всех балках главного направления могут быть одинаковыми. Кроме того, поскольку в уравнениях совместности перемещений не фигурирует координата пластического шарнира в балке, вот условия для образования совместной узловой реакции.

Это является основным допущением о том, что материал перекрестия — жесткопластический. В данном случае две перекрестные связи с перемещением их участков балок главного направления образуют статически неопределимую систему, распределение усилий в которой не может быть определено условиями равновесия. В жесткопластической системе это — жесткий балк, пока деформаций в котором неограниченно. Оно может быть любым статически допустимым, что не позволяет на равновесие пластического механизма.

Получая это, в данном решении можно принять, что единственные условия равности всех нагруженных балок главного направления одинаковы. У нагруженных балок (16.10) может быть исполнено только при условии, что пластический шарнир расположен в сечении, где приложена  $R_1^I$ . Соотношение  $R_1^I$  и

$R_2^I$  остается неизменным и может быть принято, например,  $R_1^I = 0$ .

**16.6. Пластический механизм с трещи в балке перекрестной оси шарнира.** Совместные условия для любого числа перекрестных связей, расположенных по одну сторону от пластического шарнира в пролете балок главного направления. Они все имеют одинаковое значение  $V$  и составлены из условий равности для них неопределенки. Поэтому возможные реакции могут быть распространены на пластические механизмы, образующиеся при переходе в предельное состояние трех и более перекрестных осей.

Расчет двутаврового перекрестия при  $V_1 \neq V_2$  может включать не собой необходимость рассмотрения большого числа кинематически возможных механизмов по стволу пролетной балки заданного диаметра  $V_1$  и  $V_2$ . Здесь, однако, возможна организация направлениям плоски механизма  $Q_0$ , аналогичная процедуре известного метода пластического шарнира. За жесткую точку шарнира удобно принять механизм балочного типа. Затем перейти к механизму с одной перекрестной связью, перемещая в предельное состояние, последовательно увеличивая длину ее деформированного участка, пока не будет достигнут максимальный минимум  $Q_0$ ; затем подключить вторую перекрестную связь и т.д. Деформированная зона перекрестия при этом последовательно расширяется пополюс рассматриваемой ветви, пока не будет найден минимум  $Q_0$ .

**16.7. Общий алгоритм.** Разности, изложенные в настоящем и предыдущем параграфах, выявляют существенную общность вычислительной процедуры для перекрестий с различными конструктивными схемами. Когда-то применение комбинированного метода во всех случаях обещало малую реакцию перекрестия участка сдвига и определенную последовательность расчета нагруженных балок. Это позволяет предложить общий алгоритм, общий для всех типов перекрестий. Его удобно разбить на три блока: "балка", "перекрестие", "механизмы".

Б л о к "б а л к а" состоит в определении предельной нагрузки пластического шарнира, на длине которой расположена шарнира (конструктивные или пластические). Форма шарнира нагрузки и общий случай произвольны. В этом расчете может быть учтено наличие разнообразных факторов: переменности сечения

близки, красочности ее оси, перерывающих сай, местных ослоблений и виде зарисов и т.п. Общая процедура расчета детально рассмотрена в Гл. 2.

Блок "перерыва" состоит в определении предельной нагрузки перерыва для заданной группы пластических механизмов, в которых расположены пластические шарниры на кривой деформированной оси перерыва элементов (для заданных граничных условий перерыва в предельном состоянии). Расчет сводится к последовательному определению предельных нагрузок отсечных балок перерыва (с помощью балки "балка"). Величина рассчитывает балка, но несущая способность внешней нагрузки (включая внутренние балки), что позволяет найти значения условий работы. Последняя нагружена балка, исправленная нагрузка внешней нагрузке (нагруженные балки), и определяется предельное значение этой нагрузки, что и является целью расчета.

Если есть несколько таких нагруженных балок, реализующихся несущей способностью, видно как формой реализуется пластического механизма, величина или формой внешней нагрузки в данном приближении внешней нагрузки на все балки (таких балок), кроме одной, задается, что определяет их в разрезе нагруженных балок, и нагруженной остается одна балка (тип балка), при расчете которой и определяется предельная нагрузка для несущей группы механизмов. Если на расчете имеют шарниры в пределах балки механизма, в данном приближении условия совместности перемещений балок, в данном приближении соответствующим образом корректирует соответствием условий работы.

Блок "механизмы" состоит в последовательном рассмотрении всех возможных возникающих пластических механизмов, которые могут образоваться перерыва (с помощью балки "перерыва") с целью выявления механизма, отвечающего максимуму предельной нагрузки. Предоставляется наиболее удобной последовательности рассмотреть механизмы по схеме "от простого к сложному": сначала расчеты выполняются для всех механизмов балочного типа, потом для всех механизмов с одной перерывной связью, перемещая в предельном состоянии, и т.п. Если имеет деформированного участка перерывной связи балка перерыва, целесообразно начинать с минимальной длины, последовательно увеличивать ее, пока не будет достигнут локальный минимум предельной нагрузки.

17.1. Особенности предельного состояния сечений балок.

17.1.1. Особенности предельного состояния сечений балок.  
Как известно, на прочность литежных перерывов существенное влияние оказывают различные режимы, определяемые перерывающими силами. Поэтому при анализе несущей способности литежных перерывов прежде всего возникает вопрос влияния на нее перерывающих сил. Предельное состояние отсечной балки при совместном действии изгибающего момента и перерывающей силы рассмотрено ниже в § 8. Однако применительно к литежным балкам это относится во многом к спецификам. Динамические балки - флюиды, стружеры, вертикальные колы - отличаются большой массой при относительно тонкой стенке и широких полках (проектируемых полках нагрузки обшивки и вставки второго этажа). Поэтому у них при больших перерывающих силах первая пластическая деформация возникает в стенке в районе нейтральной оси. При этом, как показывает анализ [8], для соответствия размеров, характерных для литежных стружеров и флюидов, в пластическом состоянии имеет одновременно перерыв не только стенки. Обычно это сопровождается потерей устойчивости стенки, если последняя не имеет специальных подкреплений. В результате обнаруживается резкий рост прогиба балки. Эту ситуацию можно рассмотреть практически как предельное состояние отсечки, хотя полки балки остаются упругими.

Специфика предельного состояния сечений неразрезанного контура с тонкой стенкой при совместном действии изгибающего момента и перерывающей силы впервые была проанализирована Е.М.Бреуде [8]. Он рассмотрел процесс развития пластических деформаций в балках такого профиля при больших перерывающих силах и обнаружил упомянутые выше эффекты. Перелом стенки в пластическом состоянии при упругих полках автор рассматривает как предельное состояние сечений и далее, проводя аналогии с фермой, заменяет простую треугольную решетку, у которой напряжения в одном из раскосов достигли  $\sigma_T$ . Этот раскос подкреплен стальной и эксперимент с балкой, обнаружившей весьма резкий рост прогиба после перелома стенки в пластическом состоянии, что свидетель-

<sup>2</sup> Настоящий раздел написан совместно с В.М.Мазуровым.

отдает об истощении балки несущей способностью. В полках при этом нормальные напряжения составили лишь 0,46 Ст.

Весьма обстоятельно исследование описанного эффекта выполнено И.В.Ковалевым [63, 66]. На балке проведены испытания балки, представляющей собой полустатую модель двутавровой балки. Она полностью подтвердила предположение, что первой ступенью в пластическом стаде протекания является истощение несущей способности балки; нормальные напряжения в полках при этом остаются меньше  $\sigma_T$  и сохраняются почти постоянными, несмотря на некоторый последующий рост нагрузки. В упомянутых исследованиях пластическая деформация стенок во время сопряженности потерей устойчивости от сдвига с появлением гофр под углом 45°. Такой вид гофр как расклев в составе форм, образуемой ими вместе с полками и флангами, объясняется возможностью некоторого увеличения нагрузки на балку после того, как несущая способность стенок истощилась.

Анализ факторов, влияющих на предельное состояние стенок двутавровых балок, особенностей пластического течения в их стенках содержится в работах авторов [17, 18, 80]. Наилучшие результаты систематических исследований на малых моделях балок (длина 100) и контрольные испытания натурных моделей двутавровых балок. В этих исследованиях варьировались составительные размеры балок, степень несимметрии профиля, конструкция перекрестной стенок.

В результате уточненной оценки:

1. Можно выделить два режима предельных состояния стенок, наступающих в связи с истощением несущей способности стенок: первое предельное состояние связано с потерей устойчивости стенок от сдвига; второе предельное состояние - с развитием в стенке, основной плоской, неограниченной пластической деформации.

2. Потеря устойчивости стенок, как правило, является следствием весьма резкого возрастания скорости прогиба балки, что имеет основание считать это состояние предельным. Для балок с определенными размерами, характеристиками для двутавровых балок и флангов, потеря устойчивости стенок происходит одновременно с тем переходом в пластическое состояние. Наличие явления, особенно характерного для слабо полукорпусных, ступоренно сдвигает значение перегибающей сил  $\bar{M}$ , при котором происходит потеря устойчивости стенок - см. также [8].

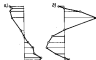


Рис. 69. Распределение продольных удлинений в упругой стадии (а) и на предельной в пластической стадии (б) у широкополосной двутавровой балки с тонкой стенкой.

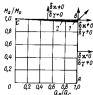


Рис. 70. Зависимость  $M(\xi)$  для широкополосной двутавровой балки с тонкой стенкой.  $1 - F_2/F_N = 0,35$ ;  $2 - F_2/F_N = 0,75$

3. Подвергнувшись стенок балок с помощью реверсности можно обеспечить их устойчивость в пластической стадии. (Подобное см. в конце пятого параграфа.) Тем не менее характер работы стенок резко меняется. Происходит нарушение связи между полками: двутавровое сечение как бы расщепляется на две ветви таврового профиля, полки начинают изгибаться независимо, превращая в наряду преобладающего участка стенок. На рис. 69, б при истощении предельного удлинения в исследовании опыта предельный продольный удлинений по длине балки в пластической стадии, на рис. 69, а - для сопоставления - ширина продольных удлинений того же стенок в упругой стадии. В результате замедленной скорости продольных удлинений на этих участках стенок возникает, что приводит к упругой нагрузке материала и позволяет балке воспринимать возросшие усилия. Предельное состояние в этом случае достигается лишь тогда, когда в обеих тавровых ветвях, на которые расщепилась двутавровая балка, возникает пластическое явление. Эта ситуация развивается как второе предельное состояние стенок. Сдвиг и в данном случае может перейти стенок в пластическую стадию сопряженности резким ростом прогиба балки, а дальнейшее увеличение внешней нагрузки приводит к появлению в ней весьма значительных прогибов. Кроме того, как показано выше, подверженные стенок, обеспечивающие

возможность достижения второго предельного состояния, как правило, не реализуется.

Напомним с учетом сделанных выше оговорок возможность прийти в состояние предельного значения перерезывающей силы для балки длиной перекрытия вместо (8.26)

$$\theta_{\text{с}} = \tau_T F_{\text{с}} \approx \frac{1}{2} \theta_T F_{\text{с}} \quad (17.1)$$

(Напомним,  $F_{\text{с}}$  - площадь сечения стержня.)

В (17.1), согласно условию пластичности Треска, принято  $\tau_T = \frac{1}{2} \sigma_T$ . Как упоминалось в § 8, с равным основанием можно было воспользоваться условием пластичности Вилера и считать  $\tau_T = \sigma_T / \sqrt{3}$ . Если принять ограниченный перерезывающий стержень по (17.1) и воспользоваться решением для предельного состояния сечения, приведенным в § 8, (8.22)-(8.24), вид кривых текучести для сечения существенно изменится.

На рис.70 она показана для симметричных двутавров при определенных площадях стержня в плоской дощке  $F_{\text{с}}/F_{\text{д}}$ , характерных для двутавров балок. По рисунку видно, что кривая текучести несомненно близка к ломаной, образованной двумя отрезками прямых  $M_{\text{д}}/M_{\text{с}} = 1$  и  $\theta_{\text{д}}/\theta_{\text{с}} = 1$ . (Напомним соотношение отклонений для равного изгибаемого значения  $\theta$  - см. также (4).) Незаметная погрешность, как показано в § 8, также допускает представление кривой в указанной ломаной. Это дает основание принять формулы  $M_{\text{д}}/M_{\text{с}} = 1$ ,  $\theta_{\text{д}}/\theta_{\text{с}} = 1$  в качестве кривой текучести для двутавров балок и считать для них, что при  $\theta < \theta_{\text{с}}$  перерезывающая сила не зависит от предельный момент сечения, а при  $M < M_{\text{с}}$  углового момента не зависит на предельное значение перерезывающей силы. (Как показывает анализ, это применимо и стержням при сращивании предельной нагрузкой и подпадающим под действие случая менее (4); наибольшая оторванная нагрузка - (25).)

Величина продольных сил  $N$ , возникающих при этом нагнетании судна, определяется из предельного состояния сечений балок - двутавров и вертикальных стержней - в соот-

ветствии на предельный уровень перекрытия (60). (На форму пластически деформируемых так же, как у гнутых перекрытий  $N$ , не влияет.) Предельное состояние сечения при совместном действии  $M$ ,  $\theta$  и  $N$  может быть описано уравнениями (8.22)-(8.24), если в правой части (8.22) заменить  $\theta$  на  $N$ ; а в левой части (8.23) -  $M$  на  $M - N x_{\text{с}}$  ( $x_{\text{с}}$  - расстояние нейтральной оси сечения от центра тяжести его площади).

Применительно к рассматриваемым балкам, как показывает анализ,  $N$  может рассматриваться как величина предельного момента. При  $N < N_{\text{с}} (1 - F_{\text{с}})$  можно пользоваться результатами, представленными на рис.70, заменив только  $M_{\text{с}}$  на  $M_{\text{с}} - N_{\text{с}}$  предельный момент сечения, вычисленный при  $\theta = 0$  и  $N = \theta$  по формулам табл.4, т.е. кривая (перерезающая) текучести может быть приближенно описана как  $M_{\text{д}}/M_{\text{с}} = 1$  и  $\theta_{\text{д}}/\theta_{\text{с}} = 1$ .

Укажем на еще один фактор, существенный для рассматриваемой задачи: направление от общего центра и центра двутавров стержней (вертикального кая)  $\sigma_{\text{д}}$  вместе с направлением от центра двутавра  $\sigma_{\text{с}}$  создает в плоской дощке в месте второго дна, которое выступает в роли присоединенных плоских балок перекрытия, в двух смежных направлениях составные. Если  $\sigma_{\text{д}}$  и  $\sigma_{\text{с}}$  одного знака, как следует из условия пластичности Треска (см. § 2), двухосность напряженного состояния не влияет на уровень присоединенных плоских рассматриваемых балок в пластическое состояние. Если  $\sigma_{\text{д}}$  и  $\sigma_{\text{с}}$  имеют разные знаки, условие пластичности -  $|\sigma_{\text{д}} - \sigma_{\text{с}}| = \sigma_T$  - в двухосности напряженного состояния снижает уровень напряжений, при котором в плоских балках возникает пластическая деформация. Этот эффект можно приблизительно учесть, условно увеличив площадь присоединенных плоских пропорционально соответственно  $\sigma_{\text{д}}/\sigma_T$  и  $\sigma_{\text{с}}/\sigma_T$ . Подробное см. в [61].

Отметим только, что использование  $\theta_{\text{с}}$  по (17.1) позволяет учесть в расчете и другие факторы, влияющие на несущую способность сечений двутавров балок. В частности, если вторичная несущая способность связана с потерей устойчивости стержня при напряжениях  $\sigma_{\text{с}} < \tau_T$ , в (17.1) следует заменить  $\tau_T$  на

$\epsilon_{\text{кр}}$ . При определении  $\epsilon_{\text{кр}}$  может быть учтено влияние сварки в подкрепленной стенке — см., например, [3].

**27.3. Влияние сварки на прочность сварных соединений.** При совместном действии в сечении нагруженного элемента  $M$  и поперечной силы  $Q$  их условно принять в качестве обобщенных напряжений (см. § 2). Тогда обобщенными деформациями должны быть соответственно  $\delta$  — кривизна оси балки в сечении и  $\gamma$  — средний сдвиг в сечении, а предельно допустимое напряжение будет иметь вид  $\delta D_0 = M \delta \delta + Q \gamma$ .

Из рассмотренного влияния сварки следует, что вектор предельных деформаций должен быть направлен по внешней нормали к кривой текучести. Так для сечения двутавровой балки или стальной колонны АВС на рис.70. Тогда получаем, что при  $M/M_0 = 1$  и  $0 \leq Q \leq Q_0$  вектор предельных деформаций параллелен оси  $M/M_0 = 1$  (стрелка на рис.70) и, следовательно,

в сечении возникают только осевые деформации ( $\delta x + \theta$ ;  $\delta \gamma = 0$ ). Соответственно при  $Q/Q_0 = 1$  и  $0 \leq M < M_0$

вектор предельных деформаций параллелен оси  $Q/Q_0 = 1$  и в сечении возникают только сдвиговые деформации ( $\delta x = 0$ ;  $\delta \gamma + \theta$ ); одновременно возникают изгибные и сдвиговые деформации возможно лишь в угловой точке кривой текучести при  $M/M_0 = 1$  и  $Q/Q_0 = 1$  ( $\delta x + \theta$ ;  $\delta \gamma + \theta$ ).

Если пластические деформации сосредоточены в одном сечении (пластический шарнир), то соответственно должны быть приняты такие обобщенные деформации:  $\delta$  — кривизна оси балки в сечении,  $\gamma$  — сдвигание [ш] — разрыв прутков балки в сечении (соответствующим сдвигом), и все остальные члены составят сбалансирован. Такими в сечении [ш] +  $\theta$  являются шарниры сдвига в отличие от обычного пластического шарнира (шарнира вращения), для которого характерно наличие  $\theta + \theta$ .

Известное позволяет строго полейти в определении предельных нагрузок балки несимметричного класса, используя методы теории предельного равновесия. Продемонстрируем это на примере расчета шарнирно-опертой балки, нагру-

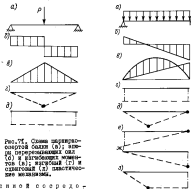


Рис.71. Состояние шарнирно-опертой балки (а); опоры поперечной силы (б) и изгибающего момента (в); нагрузка (г) и сдвиговая (д) пластическая деформация.

женной сосредоточенно в одной точке (рис. 71, а). Если балку статически осесимметрично, можно получить статически допустимое поле напряжений. Потребуем, чтобы экстремальные значения  $M(x)$  и  $Q(x)$  равнялись  $M_0$  и  $Q_0$  сечения, учитывая возможность возникновения.

На опор  $M(x)$  и  $Q(x)$  (рис. 71, в и д)  $M_{\text{max}} = \frac{Pl}{4}$  и  $M_{\text{min}} = Pl/2$ , что дает для значения предельной нагрузки

$$P_{\text{доп}} = \frac{4M_0}{l} \quad \text{и} \quad P_{\text{доп}} = 2Q_0. \quad (27.2)$$

Рис.72. Состояние балки (опоры балки — шарнирно-опертой, другой — жестко заделан) (а); опоры поперечной силы (б) и изгибающего момента (в); сдвиговая (г), изгибающая (д) и пластическая деформация (е, ж, з) пластического шарнира.

Условие применимости первого определяется условием  $M_{max} = M_0$  при  $q_{max} < q_c$ , что приводит к

$$\omega = \frac{q_c l}{M_0} > 2. \quad (17.3)$$

Решая задачу кинематическим методом, рассмотрим две кинематически возможные механизмы: механизм изгиба с одним шарниром пролета (рис. 71, г); ему соответствует  $P_{0N}$  по (17.2); см. § 4-х шарнировой с двумя шарнирами сдвига в опорных сеченьях (рис. 71, д). Работа внешних сил для последнего  $U = Pf$ ; опорные реакции  $D = 2q_c [\omega] = 2q_c f$ . Приравняем  $U = D$ , получим  $P_{0c}$  по (17.2), в условии (17.3) вытекает из кинематической экстремальной теоремы  $P_{00} < P_{0c}$ .

Заслуживает внимания вопрос применимости выработанного для пролета пластического механизма. Отметим, что шарнир сдвига не обязательно был помещать в опорных сеченьях. Он можно возить в двух любых симметричных сеченьях. От этого величина  $D$  не изменится, поскольку  $|Q(x)|$  по длине балки постоянно. (Аналогичная ситуация имеет место при рассмотрении пластического механизма балки, симметрично загруженной шарнир сосредоточенных сил, — применительно к шарниру изгибающей). Более того, здесь можно вообще отказаться от предположений о шарнирах сдвига и считать, что сдвиг во всех сеченьях балки по абсолютной величине одинаковы и равен  $\gamma = \frac{2f}{l}$ , во и тогда  $D = q_c \gamma l = 2q_c f$ . В последнем случае форма изогнутой оси балки — линия, состоящая из двух отрезков прямых, что хорошо согласуется с картинкой, набранной в экстремальной [17, 61]. Это, кстати, хорошо иллюстрирует картина шарнир сдвига как малого участка по длине балки, в пределах которого концентрируется большая сдвигами деформация.

Рассмотрим балку, загруженную равномерно распределенной нагрузкой, с шарнирами сдвига в одном из концов и жесткой заделкой на другом

(рис. 72, а) и исследуем ее предельное равновесие кинематическим методом. Кинематически возможные пластические механизмы представим на рис. 72, г-ж. Рассмотрим здесь соответствует расположению экстремальных  $Q(x)$  и  $M(x)$  на изгибе (рис. 72, б и в). Для одностороннего и двустороннего расчет откликов и цвет

$$q_{0(N)} = 11,66 \frac{M_0}{l^2}; \quad q_{0(S)} = \frac{2q_c}{l} \quad (17.4)$$

Для двустороннего механизма 1 (рис. 72, а) фиксируем значение перемещаемой силы на левом конце  $Q(0) = q_c$ , значение изгибающий момент на правом конце балки  $M(l) = -q_c l - \frac{1}{2} q l^2$  и приравняем его  $M_0$ . Получается

$$q_{0(S)}^{(1)} = \frac{2M_0}{l^2} = \frac{2q_c}{l}. \quad (17.5)$$

Для двустороннего механизма 2 (рис. 72, ж) фиксируем  $Q(l) = -q_c$  и  $M(l) = -M_0$  и удовлетворим требованию  $M(0) = 0$ . Получается  $q_{0(S)}^{(2)} = q_{0(S)}^{(1)}$ . Для комбинированного механизма 3 (рис. 72, з) фиксируется  $Q(l) = -q_c$ , равнозначности моментов в пролете, который приравняется  $M_0$ . В результате

$$q_{0(S)}^{(3)} = (1 + \omega + \sqrt{1 + 2\omega}) \frac{M_0}{l^2}, \quad (17.6)$$

где  $\omega$  по (17.3). Из (17.4) и (17.5) видно, что

$q_{0(S)} < q_{0(S)}^{(1)} = q_{0(S)}^{(2)}$ , т. следовательно, комбинированный механизм 1 и 2 реализоваться не могут. Аналогично срав-



Рассмотрим механизм, когда в предельном состоянии происходит откуперия, а киль остается жестким. Расчетная схема Флора - неподвижная балка, нагруженная равномерно распределенной нагрузкой и сосредоточенной силой  $R_2$ , расположенной по одному коилу (у киле) и шарниро опертая на другом. Во время откуперия перекрестки. Взадействие механизмов закрепления балки шарниро с кильном и сдвигном механизмом может образоваться комбинированный механизм. Он дает

$$\left. \begin{aligned} q_{\text{акт}} &= \frac{4Q_1}{\alpha l} - \frac{2R_2}{\alpha l}; \\ q_{\text{акт}} &= 2 \left( \bar{R}_2 + 4 \sqrt{\beta + \bar{R}_2} \right) \frac{M_1}{\alpha l^2}; \quad \bar{R}_2 = \frac{R_2 l}{M_1}; \\ q_{\text{акт}} &= 2 \left( 2 + \bar{R}_2 + \omega_1 + 2 \sqrt{1 + \bar{R}_2 + \omega_1} \right) \frac{M_2}{\alpha l^2}; \quad \omega_1 = \frac{Q_1 l}{M_1}. \end{aligned} \right\} (17.10)$$

При образовании механизма, отвечающего переходу в предельное состояние киле, когда откуперия остается жестким, расчетная схема Флора механизма рассмотренной в предыдущем случае, только оба кила Флора жестко связаны и вместо  $R_2$  действует  $R_2$ . Если киль симметричен балке могут реализоваться только два механизма - изгибный и сдвигной, которые приводят к

$$\left. \begin{aligned} q_{\text{акт}} &= \frac{4Q_1}{\alpha l} + \frac{2R_2}{\alpha l}; \\ q_{\text{акт}} &= 2 \left[ \beta + \bar{R}_2 + 4 \sqrt{2(\beta + \bar{R}_2)} \right] \frac{M_1}{\alpha l^2}; \\ \bar{R}_2 &= \frac{R_2 l}{M_1}. \end{aligned} \right\} (17.11)$$

Для механизма, отвечающего переходу в предельное состояние всех балок пере-

крестия, на Флор действует три реакции и киль не шарниро оперт. Схема симметричная, в результате получается

$$\left. \begin{aligned} q_{\text{акт}} &= \frac{2Q_1}{\alpha l} + \frac{R_2}{\alpha l} + \frac{2R_2}{\alpha l}; \\ q_{\text{акт}} &= \left[ 4 + \bar{R}_2 + 2\bar{R}_2 + 2 \sqrt{2(2 + \bar{R}_2 + 2\bar{R}_2)} \right] \frac{M_1}{\alpha l^2}. \end{aligned} \right\} (17.12)$$

Отметим, что в данном случае пластические механизмы всех перекрестков килей могут быть симметричны (либо сдвигные, либо изгибные); в противном случае будет нарушено условие совместности перемещений балок перекрестия.

Эти примеры дают возможность отметить основные особенности расчета двитных перекрестия. Необходимость учета сдвига, естественно, усиливает расчет, делая его более громоздким, увеличивает число пластических механизмов, требующих рассмотрения. Общий порядок расчета, однако, остается таким же, как и при рассмотрении двитных и шарниро перекрестия, и указывается в общей схеме, приведенной в предыдущем параграфе. Нужно лишь учесть возможность образования сдвигных и комбинированных механизмов при расчете изогнутых балок (так называемых "балок").

**17.6. Подкрепление стенок двитных балок.** Одной из важных особенностей проблемы, связанной с двитной двитательной нагрузкой способностью конструкции, является проблема обеспечения конструктивного обеспечения предельной жесткости и прочности. Пластические деформации в большом числе случаев концентрируются в ограниченной области (пластические шарниры и сдвиги, узлы) в киле, чтобы конструкция была способна обеспечить развитие этих часто больших деформаций. Киле снижается несущая способность сечений (узлы), происходит местное разрушение, что существенно снижает на несущую способность конструкции в целом.

Снижение и полная мере относятся к двитным перекрестиям. В частности, как указывалось киле, усиление стенок пластических деформаций в стенках двитных балок (шарниро сдвиг-

\* Настоящий раздел написан совместно с В.Д.Михуровым.

го) сдвигаются потери устойчивости. Записавши [17, 46] обнаруживаем наличие гофр, ориентированных под углом  $45^\circ$  к оси балки, средине пролета которых с ростом деформаций быстро увеличивается, переходя гофры в рваные складки. Такие гофры — весьма распространенное явление при эксплуатационных нагрузках средних перекарты больших и средних нагрузках, возникающих при сдвиге, особенно на мели, в свободных касс — см. [103] и др.

Наличие гофр сопровождается развитием больших локальных пластических деформаций, которые вносят вредный вклад в целостность конструкции (возникновение рваных). Если учесть, что вращение перекарты в критическом состоянии сопровождается упругопластическим сдвигом в пластических шарнирах в плоских балках реализуется по однородному, это явление имеет существенное значение ввиду неустойчивости перекарты. Основным индикатором целесообразности подкрепления стенок является анализ в районах появления больших сдвиговых деформаций (в основном в районе опорного контура перекарты) для обеспечения ее устойчивости.

Наличие формы потери устойчивости стенок с образованием гофр, ориентированных под углом  $45^\circ$  к оси балки, сопровождается сдвигом в направлении плоскости сдвига. В связи с этим было проведено экспериментальное исследование устойчивости параллельных пластин при чистом сдвиге в стальной рамчатой пластинчатой деформации [18]. Подкрепление выполнялось в виде ребер жесткости, параллельных одной из сторон опорного контура пластины. В эксперименте варьировались толщина пластины, соотношение сторон ее опорного контура, расстояние, определяющее размеры подкрепляющих ребер. Величина относительных сдвигов  $\gamma$ , при которых происходила потеря устойчивости для разных пластин, колебалась в пределах  $\frac{\gamma G}{E_T} = 5 \pm 500$  ( $G$  — модуль упругости при сдвиге).

Важно было отметить также 300 пластин. Констатируя наличие сдвигопластики двух форм потери устойчивости подкрепленной пластины: гофрировка, когда пластины теряют устойчивость между ребрами, а пластины остаются недеформированными, и изгибание, когда пластины теряют устойчивость вместе с ребрами. Величина потерь устойчивости пластины практически однозначно определяется

величиной относительно сдвига  $\frac{\gamma G}{E_T}$ . Это позволяет на резуль-

татах обработки данных экспериментов получить эмпирические формулы для критических сдвигов

$$\frac{\gamma_r G}{E_T} = 4,6 \left( \frac{m \delta h}{a} \right)^2; \quad \frac{\gamma_a G}{E_T} = 13,9 \cdot 10^4 \frac{W_a}{h l^2}, \quad (17.13)$$

где  $\gamma_r$  и  $\gamma_a$  — критические сдвиги, отвечающие гофрировке и изгибанию соответственно;  $\delta$  — толщина пластины;  $a$  — расстояние между ребрами;  $h$  и  $l$  — высота и длина пролета ребра;  $W_a$  — предельный момент сопротивления сечения ребра.

Отметим, что критические сдвиги по (17.13) отвечают не моменту потери устойчивости, а начертанию кривой способности пластины, когда в последней происходит существенное прогибание и дальнейший рост внешней нагрузки становится практически невозможным.

Для оценки возможности использования (17.13) для стенок балки было проведено свыше 80 испытаний коротких жестких балок арочного и круглоугольного профиля — как симметричного, так и несимметричного. Эти испытания выполнялись в виде, а также перекарты; см. также [19, 80]. Стенки балок были подкреплены вертикальными ребрами жесткости. Во время испытаний балки увеличивались на две стороны и нагружались сосредоточенной силой посредине пролета. Наблюдения показали полное соответствие формы потери устойчивости стенок балки и пластины при чистом сдвиге. Величинами критических сдвигов стенок  $\gamma_c$  даже по сравнению с критическими сдвигами пластины  $\gamma_n$  и значения были стабильны. Соотношение  $\gamma_c/\gamma_n$  колебалось в пределах 0,3–0,5. Величина на критические сдвиги стенок величинами предельных моментов в сечении балки, какой величины ее площадь сдвигаться не удалось. Анализ полученных результатов позволяет рекомендовать использовать (17.13) для расчета стенок балок, сдвига  $\gamma$  уменьшенном на коэффициент 0,3–0,5. Анализ показывает, что это приводит к реальным размерам подкреплений. Так, при высоте балки 800–1200 мм и толщине стенок 8–12 мм требуется установить ребра — параллельные и 5–12 с интервалом 250–300 мм. Это гарантирует отсутствие потери устойчивости до величины  $\frac{\gamma G}{E_T} = 10$ .

Изложенный метод определения предельной нагрузки перерезкой основан на последовательном рассмотрении всех пластических или вязкоупругих пластических механизмов. Этот формализм требует процедуры минимизации (в соответствии комбинированного) метода. Однако в практических расчетах, конечно, можно не рассматривать безразлично всевозможные пластические механизмы, которые даже предельную нагрузку, конечно больше, чем другие механизмы. Следовательно, здесь важна быть уверенности, что сформированный механизм действительно реализуется на момент, в противном случае не исключено наличие в опасной зоне - возникли предельной нагрузки перерезкой. Возможна и предельная разрывная нагрузка, когда пластический перерыв в пределах связи перерезкой возникает. Последнее всегда возникает предельную нагрузку, но решения получаются простыми.

## Глава 5

### ПРЕДЕЛЬНЫЕ НАГРУЗКИ И ДЕФОРМИРОВАНИЕ ПЛАСТИК ОБЪЕМНО ПРИ БОЛЬШИХ ПЕРЕРЫЗКАХ

#### § 10. Особенности работы пластич обшивки на предельном изгибности.

Формы пластичности

##### 10.1. Предельная нагрузка и нагрузка способности пластики

примеч. Основными особенностями в работе пластич обшивки на предельном изгибности связаны с появлением в них относительно больших прогибов. Известно, что относительно прогибы обшивки достигают в 5-10 мм обшивки на эксплуатационных судах; также порядок температурных допусков на деформативность обшивки, а это составляет 0,2-1,0 тоннами пластики. Следовательно отрывки траекты при деформации обшивки достигают 30-50 мм, а часто и существенно больше.

При таких прогибах поведение пластики в значительной мере определяется деформациями и напряжениями, возникающими из-за разрыва - продольной, возникающих смежных конструкций, обшивки и корабельных проем пластики, а также балласти ее размеров и т.д. Такие напряжения обуславливают деформационную ситуацию для работы пластики в пластической области; ее разрушение обычно происходит при весьма больших перерывных нагрузках, которые превосходят весьма большие прогибы.

Вследствие сказанного, во-первых, для пластики по сравнению с другими расчетом минимально деформации области критического предельного режима геометрически линейных видов, в которых изменение геометрии пластики в результате ее деформирования не учитывается; во-вторых, предельная нагрузка, возникающая в режиме деформации теории предельного равновесия (см. § 4), как характеристика прочности гораздо менее информативна для пластики по сравнению с изломами.

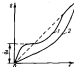


Рис. 73. Зависимость нагрузки - прогиб жесткой (1) и гибкой (2) пластин.

На рис. 73 показаны характерные для пластин с раствором вид зависимости нагрузки  $q$  - прогиб  $f$ . На рисунке видно, что достижимая предельная нагрузка  $q_0$  для пластин стали не отличается существенно от предельной способности. Для жестких пластин (кривая 1)

$q_0$  еще дает запас нагрузки, при которой начинается заметное увеличение скорости роста прогиба и интенсивное пластическое деформирование. Для гибких пластин (кривая 2), когда пластине на протяжении существования уже в упругой стадии,  $q_0$  меньше от максимального. Максимальный прогиб (дунктар) на рисунке отмечен специальным пластическим маркером, в который превращается пластина из идеально упругопластического материала при больших прогибах, когда пластин напряжении до того же значения достигают  $\sigma_T$ .

Графические возможности использованы для пластин обычной предельной нагрузкой как критерии прочности пластин несимметричным применением для ее определения точных силонных методов, жестких стержней предпочтительнее более простым графическим решением. Также расчеты в большинстве случаев, как показано выше, удается получить математическим методом теории предельного равновесия.

Заметим, что для толстых пластин, например из алюминия, предельная нагрузка является достаточно надежной оценкой предельной способности [43, 44].

**18.2. Сила предельной нагрузки пластин.** Теория тонких пластин обычно строится в рамках допущения, используемых в теории Кирхгофа-Лива; считается, что совокупность точек, лежащих на перпендикуляре к срединной плоскости пластин до деформации, остается на перпендикуляре и срединной поверхности после деформации (гипотеза "прямых" линий); нормальные напряжения не зависят, параллельных срединной плоскости, преобразованы по сравнению с другими компонентами напряжений; толщина пластин в ре-

зультате деформации не меняется. Первое допущение приводит для компонент деформации к следующим зависимостям:

$$\epsilon_x^{II} = \epsilon_x + \kappa_x z ; \quad \epsilon_y^{II} = \epsilon_y + \kappa_y z ; \quad \gamma_{xy}^{II} = \gamma_{xy} + 2\kappa_{xy} z ; \quad (18.1)$$

$$\kappa_x = -\frac{\partial^2 w}{\partial x^2} ; \quad \kappa_y = -\frac{\partial^2 w}{\partial y^2} ; \quad \kappa_{xy} = -\frac{\partial^2 w}{\partial x \partial y} ; \quad (18.2)$$

где  $\epsilon_x$ ,  $\epsilon_y$ ,  $\gamma_{xy}$  - компоненты деформации срединной по-

верхности;  $\epsilon_x^{II}$ ,  $\epsilon_y^{II}$ ,  $\gamma_{xy}^{II}$  - компоненты деформаций

слоев, отстоящих на расстоянии  $z$  от срединной поверхности (см. рисунок, что оси  $x$  и  $y$  расположены в срединной поверхности, а ось  $z$  является нормалью к ней);  $\kappa_x$ ,  $\kappa_y$ ,  $\kappa_{xy}$  - соответственно прогибы в кручении срединной поверхности.

Для случая деформации с первичными напряжениями уравнения Коши (2.5) и (2.7); в геометрически неизменяемых элементах в них увеличиваются инерционные члены, содержащие прогиб  $w$ . Уравнение неразрывности деформаций для последнего случая имеет вид

$$\frac{\partial^2 \epsilon_x}{\partial x^2} + \frac{\partial^2 \epsilon_y}{\partial y^2} - \frac{\partial^2 \gamma_{xy}}{\partial x \partial y} = \left( \frac{\partial^2 w}{\partial x \partial y} \right)^2 - \left( \frac{\partial^2 w}{\partial x^2} \right)^2 - \left( \frac{\partial^2 w}{\partial y^2} \right)^2 + \frac{\partial^2 w}{\partial x^4} + \frac{\partial^2 w}{\partial y^4} ; \quad (18.3)$$

$$\left. \begin{aligned} N_x &= \int_{-h/2}^{h/2} \sigma_x dz; & N_y &= \int_{-h/2}^{h/2} \sigma_y dz; & S &= \int_{-h/2}^{h/2} \tau_{xy} dz; \\ M_x &= \int_{-h/2}^{h/2} \sigma_x z dz; & M_y &= \int_{-h/2}^{h/2} \sigma_y z dz; & H &= \int_{-h/2}^{h/2} \tau_{xy} z dz, \end{aligned} \right\} \quad (18.4)$$

где  $N_x$  и  $N_y$  - продольные силы, направленные вдоль осей  $x$  и  $y$ ;  $M_x$  и  $M_y$  - изгибающие моменты;  $S$  и  $H$  соответственно скручивающее усилие и крутящий момент;  $h$  - толщина пластины. (Величины поперечных сил на изгибные состояния пластины считаем пренебрегаемыми, и они здесь не выписаны.) Связь между этими величинами устанавливается уравнениями равновесия:

$$\left. \begin{aligned} \frac{\partial N_x}{\partial x} + \frac{\partial S}{\partial y} - q &= 0; & \frac{\partial N_y}{\partial y} + \frac{\partial S}{\partial x} - q &= 0; \\ \frac{\partial^2 M_x}{\partial x^2} + 2 \frac{\partial^2 H}{\partial x \partial y} + \frac{\partial^2 M_y}{\partial y^2} - N_x \alpha_x - N_y \alpha_y - \\ & - 2S \alpha_{xy} + q &= 0, \end{aligned} \right\} \quad (18.5)$$

где  $q$  - интенсивность нагрузки, действующей по нормали к срединной поверхности пластины.

В геометрически нелинейной задаче члены, содержащие кривизны, на уравнениях выпадают. Нетрудно убедиться, что если принять  $N_x$ ,  $N_y$ ,  $S$ ,  $M_x$ ,  $M_y$  и  $H$  в качестве обобщенных напряжений, то обобщенными деформациями соответственно будут  $\epsilon_x$ ,  $\epsilon_y$ ,  $\tau_{xy}$ .

$\alpha_x$ ,  $\alpha_y$ ,  $\alpha_{xy}$  и приращение энергии рассматриваем, отнесенное к единице площади срединной поверхности, определяется как

$$\begin{aligned} \delta D_0 &= N_x \delta \epsilon_x + N_y \delta \epsilon_y + S \delta \tau_{xy} + \\ &+ M_x \delta \alpha_x + M_y \delta \alpha_y + H \delta \alpha_{xy}. \end{aligned} \quad (18.6)$$

### 18.3. Уравнения пластичности в несжимаемом виде течения.

Для пластины в обобщенном виде условия пластичности Треска в несжимаемом виде течения можно выписать в виде обобщенных напряжений в зависимости от соответствующих скоростей обобщенных деформаций [93]. Если рассмотрим состояние в срединной плоскости, где  $\tau_{xy} = 0$ , а  $\sigma_x = \sigma$ , а  $\sigma_y = -\sigma$ .

и заменить соответственно значения при обобщенных напряжениях и деформациях, то, введя

$$\begin{aligned} \beta_1 &= -\frac{1}{h} \frac{\dot{\epsilon}_x}{\dot{\alpha}_x}; \\ \beta_2 &= -\frac{1}{h} \frac{\dot{\epsilon}_y}{\dot{\alpha}_y}; \\ \beta_3 &= -\frac{1}{h} \frac{\dot{\epsilon}_x + \dot{\epsilon}_y}{\dot{\alpha}_x + \dot{\alpha}_y}, \end{aligned} \quad (18.7)$$

можно определить продольные силы  $N_1$ ,  $N_2$  и изгибающие моменты  $M_1$ ,  $M_2$ , отвечающие продольному состоянию пластины в какой-либо точке по формулам, приведенным в табл. 5, которые представляют собой условия пластичности пластины в обобщенных напряжениях. Конкрет적으로 см. в [9, 93].

В табл.5 обозначено:

$$n_1 = \frac{N_1}{N_0}; \quad n_2 = \frac{N_2}{N_0}; \quad m_1 = \frac{M_1}{M_0};$$

$$m_2 = \frac{M_2}{M_0}, \quad N_0 = \sigma_T h; \quad M_0 = \sigma_T \frac{h^2}{4},$$

а обозначения применены следующие со знаком плюс-минус. Знак здесь выбран таким образом, чтобы он соответствовал знакам соответствующих скоростей в обозначенных деформациях. Выбрав из табл.5 вариант в зависимости от соотношения  $\beta_i$  ( $i = 1, 2, 3$ ), применяем к ее первой колонке. Эти формулы справедливы для  $-\frac{1}{2} \leq \beta_i \leq \frac{1}{2}$ . Если же часть (или все)  $\beta_i$  оказываются  $\beta_i > \frac{1}{2}$  или  $\beta_i < -\frac{1}{2}$ , вместо соответствующих  $\beta_i$  нужно подставлять  $1/2$  или  $-1/2$ .

Собого деформации требуют случаи, когда две  $\beta_i$  равны между собой, а третья дает неопределенность типа 0/0. Условие пластичности для этого случая представлено в табл.6. В последней колонке приведенным обозначением соотношения скоростей деформации по ассоциированному закону течения. Если  $\beta_1 = \beta_2 = \beta_3$ , можно пользоваться формулами табл.5, но  $\beta_i$  в первой колонке нужно заменить соответствующими абсолютными значениями скоростей вращения  $|\dot{\chi}_i|$ , приняв в качестве  $|\dot{\chi}_3| = |\dot{\chi}_1 + \dot{\chi}_2|$ .

Эти формулы условия пластичности особенно удобны в сочетании с классическим методом теории предельного равновесия. Для этого в расчете может быть использовано и в рамках теории деформации и, если зависимость скорости течения в виде ассоциированного закона деформации: одна линия в (18.7) и табл.6 заменить скорости обозначенных деформаций на свои деформации, отобразив точки. Доказательство см. в [9]; там же применены аналогичные условия пластичности для трехосных пластин и оболочек.

**18.4. Условие пластичности при переходе от жесткого к вязкому состоянию.** При переходе к вязкому состоянию пластин, когда провалов сил нет, можно пользоваться условиями пластичности, приведен-

Таблица 5. Выражения обобщенных нагрузок

Обозначение по $\beta_i$	$\pm n_1$	$\pm n_2$	$\pm m_1$	$\pm m_2$
$\beta_3 < \beta_1 < \beta_2$ $\beta_2 < \beta_1 < \beta_3$	$-(\beta_1 + \beta_2)$	$-(\beta_1 - \beta_2)$	$1 - 2(\beta_1^2 + \beta_2^2)$	$2(\beta_2^2 - \beta_1^2)$
$\beta_1 < \beta_2 < \beta_3$ $\beta_2 < \beta_3 < \beta_1$	$-(\beta_2 - \beta_1)$	$-(\beta_2 + \beta_3)$	$2(\beta_2^2 - \beta_3^2)$	$1 - 2(\beta_2^2 + \beta_3^2)$
$\beta_2 < \beta_3 < \beta_1$ $\beta_1 < \beta_3 < \beta_2$	$-(\beta_1 + \beta_2)$	$-(\beta_2 + \beta_3)$	$1 - 2(\beta_1^2 + \beta_2^2)$	$1 - 2(\beta_2^2 + \beta_3^2)$

или ниле. Но для каждого частного случая проще получить решение, непосредственно используя условия пластичности Треска для плоской задачи (2.15) в ассоциированной закон течения (деформированной). Для этого на рис. 7 восточнее записать  $\sigma_1$  и  $\sigma_2$  на  $M_1$  и  $M_2$ , а также ввести в силу записку  $\varepsilon_1$  и  $\varepsilon_2$  на  $X_1$  и  $X_2$ . Получается

$$\left. \begin{array}{ll} \text{при } x_1 > 0; x_2 > 0 & m_1 = m_2 = 1; \\ \text{при } x_1 > 0; x_2 \leq 0 \text{ и } |x_1| > |x_2| & m_1 = 1; m_2 = 0; \\ \text{при } x_1 = -x_2 > 0 & m_1 = m_2 = 1; \\ \text{при } x_1 \geq 0; x_2 < 0 \text{ и } |x_1| < |x_2| & m_1 = 0; m_2 = -1; \\ \text{при } x_1 < 0; x_2 < 0 & m_1 = m_2 = -1; \\ \text{при } x_1 < 0; x_2 \geq 0 \text{ и } |x_1| > |x_2| & m_1 = -1; m_2 = 0; \\ \text{при } x_1 = -x_2 < 0 & m_1 = m_2 = -1; \\ \text{при } x_1 = 0; x_2 > 0 \text{ и } |x_1| < |x_2| & m_1 = 0; m_2 = 1. \end{array} \right\} (13.9)$$

### 13.5. Условия пластичности для цилиндрического изгиба пластины

13.5. При цилиндрическом изгибе пластины плоскими, параллельными сторонам опорного контура, всегда являются галами. Тогда влоса  $\varepsilon_1 = 0; x_1 = 0; \varepsilon_2 = -x_2 = 0$ , где в направлении, параллельном длинной стороне опорного контура, пластина не деформируется. На этого по (13.7)  $\beta_1 = \beta_2$  и  $\beta_2 = 0/0$ , а по табл. 6

$m_1 = \pm (1 - m_2^2)$ , что совпадает с условиями пластичности для балки прямоугольного сечения при совместном действии изгибающего момента и продольной силы (см. § 8). Следовательно, все условия для балок из идеального жесткопластического материала, приведенные в табл. 2 и 3, могут быть без корректаревых распространены на цилиндрический изгиб пластины, а решения для криволинейных поверхностей соответственно на изгиб цилиндричес-

Т а б л и ц а 6. Условия пластичности в точке течения для плоского сечения

Состояние $\beta_i$	Условие пластичности	Знаки течения $M_0; \delta_1; M_1 \delta_2; M_0 \delta_1; M_0 \delta_2$
$\beta_1 = \beta_2; \beta_2 = \frac{0}{0}$	$m_1 = m_2 = \pm [1 - (m_1 - m_2)^2]$	$\pm 2(m_1 - m_2); \pm 2(m_1 - m_2); 1; -1$
$\beta_2 = \beta_1; \beta_1 = \frac{0}{0}$	$m_2 = \pm (1 - m_1^2)$	$0; \pm 2m_2; 0; 1$
$\beta_2 = \beta_1; \beta_1 = \frac{0}{0}$	$m_1 = \pm (1 - m_2^2)$	$\pm 2m_1; 0; 1; 0$

ких оболочек бесконечной длины, у которых нагрузка вдоль образующей не изменяется.

### § 19. Прямые нагрузки пластины

**19.1. Обобщение метода предельного равновесия задачи кинематическим методом.** Рассмотренный выше приближенный метод определения предельной нагрузки основан на кинематическом методе теории предельного равновесия, но требует знания всех перемещений — формы прогиба пластины  $w$  в предельном состоянии. Но зная лишь ее  $n$ -ую составляющую (19.3) определяем предельную среднюю величину  $M_0$  и по ее соотношениям — условия пластичности, рассмотренные в предыдущем параграфе. Последнее позволяет определить значение момента в предельном состоянии независимо от выбора деформации  $D$ . Прямой задачей  $D$  работы является так, скажем тогда найти предельную нагрузку.

Заметим, что в принципе форму прогиба  $w$  можно выбрать с точностью до любого числа произвольных параметров, рассмотрев последние в соответствии с кинематической экстремальной теорией предельного равновесия (см. § 4) исходя из условия максимума предельной нагрузки. Схема решения задачи весьма отличается от использованной выше для определения предельной нагрузки балки. Так же как и для балки, не можно использовать для решения геометрически нелинейную задачу (см. гл. 3).

В этом случае требуется задать с  $w$  также заданные перемещения в определенной плоскости пластины  $\alpha$  и  $\beta$ , при определенных значениях нагрузки рассматривая участки  $\alpha$  и  $\beta$  части, которая связана с работой предельных сил  $M$ , выходящих для определенной произвольной параметром заданного вида перемещений пользоваться методом возможных перемещений, поскольку к геометрически нелинейным задачам экстремальные теоремы теории предельного равновесия неприменимы (см. § 42). Сказанные взаимоотношения примерами описанного параграфа.

**19.2. Пластина, нагруженная сосредоточенной силой.** Рассмотрим в качестве примера, предельная пластичность пластины от опорной контуры в деформированном виде пластины не достигнет последнего. Это имеет право рассматривать  $d$  с  $\alpha$  и  $\beta$  и  $\gamma$

и  $\psi$  — пластину, в которой ставится осесимметричная. Заданная простейшую форму прогиба  $w$  в виде кругового контура радиуса  $R$  (рис. 74). В полярных координатах

$$w = f(1 - \rho^2); \quad \rho = \frac{r}{R}. \quad (19.4)$$

Заметим, что при такой форме  $w$  расчет бесконечной пластины совпадает с расчетом круглой пластины радиуса  $R$ , вместо заданной на опорной контуре. Кроме того в радиальных и тангенциальных напряжениях

$$\sigma_r = -\frac{d^2 w}{dr^2} = 0; \quad \sigma_\psi = -\frac{1}{r} \frac{dw}{dr} = \frac{f}{R^2 \rho^2}. \quad (19.5)$$

В силу осевой симметрии радиальные и тангенциальные напряжения являются главными напряжениями и для определения абсолютных значений можно непосредственно пользоваться (19.5). Здесь  $\sigma_r = 0$ ;  $\sigma_\psi > 0$  и  $|\sigma_r| < |\sigma_\psi|$ . Поэтому  $\sigma_r = 0$ ;  $\sigma_\psi = 1$ .

Тогда энергии рассматриваемой во всей деформированной области, на исключительном кольцевом контурном сечении,

$$D = 2\pi \int_0^R (M_r \sigma_r + M_\psi \sigma_\psi) r dr = 2\pi M_0 f.$$

Год если в контурном сечении  $\theta = \left[ \frac{dw}{dr} \right]_R = -\frac{f}{R}$ . Соответственно здесь  $M_r = \frac{dM_\psi}{d\theta} = -\infty$ , и для  $M_\psi$  остается определенное (19.2). Следовательно,  $M_r < 0$ ;  $M_\psi > 0$  и  $|M_r| > |M_\psi|$  и согласно (19.3) обобщенные напряжения

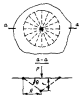


Рис. 74. Цилиндрический механический элемент.

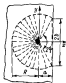


Рис. 75. Эллиптический механический элемент.

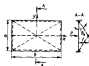


Рис. 76. Цилиндрический механический элемент.

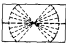


Рис. 77. Эллиптический механический элемент.

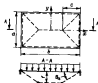


Рис. 78. Цилиндрический механический элемент.

$M_r = -1$  и  $M_\theta = 0$ . Тогда имеем

$$D_1 = 2\pi R M_r \theta = 2\pi M_0 f \quad (19.3)$$

$$D = D_1 + D_2 = 4\pi M_0 f.$$

Работа внешних сил  $U = Pf$ . Приравняв ее (19.3), найдем предельную нагрузку

$$P_0 = 4\pi M_0. \quad (19.4)$$

Полученный результат является приближенным. Он совпадает с решением в [110].

**19.3. Пластина, деформируемая сосредоточенной силой вдоль окружной контуры.** Если допустить, что сила  $P$  приложена по окружности кольца к окружной контуре, можно рассмотреть случай, когда радиус деформируемой зоны пластины  $R$  совпадает с радиусом контура  $a$ . Тогда в формулы (19.1) можно ввести коррективы в смысле деформированной зоны кольца жесткой треугольной пластинкой, прилегающей к контуру (рис. 75), где  $w = f(1 - x/a)$ . В остальной части деформируемой зоны остается справедливым (19.1), и для нахождения энергии рассеивания здесь можно пользоваться (19.3), считая соответственно  $D$  в работе жесткого элемента, т.е.

$$D_1 + D_2 = 4(\pi - \varphi) M_0 f. \quad (19.5)$$

На границе жесткого элемента возникают пластические паравры, угол скольжения которых  $\theta_N$  (для шарнира вдоль контура пластины) и  $\theta_R$  (для шарнира вдоль радиуса) равны  $\theta_N = -\frac{f}{a}$ ;  $\theta_R = \frac{f}{R} \operatorname{tg} \varphi$ . Для шарнира вдоль контура пластины приращение в направлении его оси  $\mathcal{K}_1 = -\frac{d^2 w}{dy^2} = 0$ , в шарнире ось

$$\kappa_2 = \lim_{\Delta x \rightarrow 0} \frac{\theta_K}{\Delta x} = -\infty. \text{ Следовательно, здесь по (19.6)}$$

$$m_1 = 0; \quad m_2 = -1. \quad (19.6)$$

(Заметим, что сказанное верно для любого шарика, расположенного между двумя жесткими элементами.) Энергия рассеяния здесь

$$D_3 = M_2 \theta_K \cdot 2b = 2 M_0 f \operatorname{tg} \Psi. \quad (19.7)$$

В шариках вдоль радиусов по (19.2)  $\kappa_r = 0$ ;

$$\kappa_y = \lim_{\Delta \Psi \rightarrow 0} \frac{\theta_K}{r \Delta \Psi} = \infty. \quad \text{Тогда по (8.8)} \quad m_r = 0,$$

$$m_y = 1 \quad \text{и}$$

$$D_4 = 2 M y \theta_R R = 2 M_0 f \operatorname{tg} \Psi. \quad (19.8)$$

Работа внешней силы по направлению  $U = Ff$ . Поэтому, согласно (19.5), (19.7), (19.8) и приведенной формуле  $U$ , получим

$$P_0 = 4 M_0 ( \pi - \Psi + \operatorname{tg} \Psi ). \quad (19.9)$$

Найдем  $\Psi$  исходя из условия минимума  $P_0$  в соответствии с классической экстремальной теоремой. Из

$$\frac{d P_0}{d \Psi} = 4 M_0 \left( -1 - \frac{1}{\cos^2 \Psi} \right)$$

видно, что  $\frac{d P_0}{d \Psi}$  монотонно и не имеет корней во всем диапазоне  $\Psi = 0 \div \pi/2$ . Следовательно, у  $P_0$  нет минимумов; его экстремальная функция  $\Psi$ , минимальное значение которой отвечает  $\Psi = 0$ . Последнее же предположение (19.9) и (19.4).

Наконец следует отметить о том, что решение для деформаций жесткой пластины (19.4) справедливо при любых относительных сдвигах  $P$  от

одиннадцатого контура пластины. Этот вывод, естественно, далеко не безусловен. В значительной мере он — результат введения предположений теории продольного равновесия и единичности деформаций в деформированной форме профилей; пример того, насколько осторожно нужно пользоваться предположениями равновесия теории продольного равновесия, если нет возможности для достаточной проверки их достоверности. В то же время эксперимент [9] свидетельствует о том, что пластическая зона, образующаяся в тонкой пластине при действии сдвига, близости к сдвиготочечным, имеет весьма ограниченные размеры и деформируется в районе точки приложения сдвига; чтобы не расширяться в форме жесткой зоны сдвигом, влияние опорного контура пластины, сдвиготочечной силы должна быть приложена очень близко к концу.

**19.4. Прямоугольная пластина с ребром, нагруженная сдвиготочечной силой.** Рассмотрим прямоугольную пластину, нагруженную ребром жесткости и нагруженную в центре сдвиготочечной силой  $P$  (рис. 76; ребро показано жирным пунктиром). На контуре пластины и ребро жесткости заданы. Предположим, что пластина вырезана в предельно жестком балласте образующие пластическими шариками, расположенными вдоль контура (внутренних) и расходящихся от точки приложения силы в углах контура (внешних). В ребре образуются пластические шариками в точке приложения силы  $P$  и на опорном контуре. Их ось перпендикулярна оси ребра и лежит в плоскости пластины. Тогда при  $x \geq 0$  и  $y \geq 0$

$$\kappa_y = \begin{cases} f \left( 1 - \frac{2x}{b} \right) & \text{при } y \leq \sqrt{x}; \\ f \left( 1 - \frac{2y}{a} \right) & \text{при } y \geq x, \end{cases} \quad (19.10)$$

где  $\sqrt{x} = a/b$ .

Также обозначим:  $\theta_A$  и  $\theta_B$  — углы сдвига в контурных шариках, прилегающих соответственно к сторонам контура длиной  $a$  и  $b$ ;  $\theta_D$  — угол сдвига в деформированных шариках:

$$\theta_A = -\frac{2f}{b}; \quad \theta_B = -\frac{2f}{a};$$

$$\theta_D = -\frac{2f}{\sqrt{a^2 + b^2}} \left( \frac{a}{b} + \frac{b}{a} \right). \quad (19.11)$$

Поскольку шарниры образуют между жесткими элементами, для них справедливы (19.6) с соответствующими знаками:

$M_A = M_B = -M_0$ ;  $M_A = M_0$ . Вспомогательная деформация  $\theta$ .

Тогда энергия деформации в контурных и жестких шарнирах

$$D_1 = 2(M_A \theta_A \alpha + M_B \theta_B \beta) = 4M_0 \frac{1+\nu^2}{\nu} f; \quad (19.12)$$

$$D_2 = 2M_A \theta_A \sqrt{\alpha^2 + \beta^2} = 4M_0 \frac{1+\nu^2}{\nu} f. \quad (19.13)$$

Для ребра расчет не отличается от расчета балки с деформированным трехмерным пластическим эквивалентом

$$D_3 = 4M_{sp} |\theta_A| = \frac{\delta M_{sp}}{b} f. \quad (19.14)$$

При определении предельного момента сечения ребра  $M_{sp}$  нейтральной ось всегда располагается в пластике, совпадая с осью вращения шарнира. Следовательно (19.12) - (19.14) и предельная суммарная  $U = Pf$ , получим

$$P_0 = \delta M_0 \frac{1+\nu^2}{\nu} + \frac{\delta M_{sp}}{b}. \quad (19.15)$$

Из соотношения (19.15) видно, что для очень длинных пластин при  $\nu \rightarrow 0$   $P_0 \rightarrow \infty$ . Это не соответствует действительности: при малых  $\nu$  деформированная зона не будет охватывать всю пластину. В этом случае возможен минимум  $P_0$  по  $\nu$ . Он вычислен из условия

$$\frac{dP_0}{d\nu} = 0 \quad \text{откуда} \quad \nu_0 = \sqrt{\frac{1}{1 + \frac{M_{sp}}{M_0 \alpha}}}. \quad \text{Линия по-}$$

формированной зоне пластины  $b_0 = \alpha/\nu_0$ , если в ее пределах реализуется рассмотренный нами пластический механизм. (На условии перемены знака контур на линии  $y = \pm b_0/2$ ). Таким образом, (19.15) справедлива только при  $\nu > \nu_0$ . При  $\nu < \nu_0$  нужно в (19.15) подставить  $\nu = \nu_0$  и  $b = \alpha/\nu_0$ .

При  $M_{sp} = 0$  рассмотрим недеформированную пластину, для которой  $\nu_0 = 1$  и по (19.15)  $P_0 = 16 M_0$ . Это значит, что формула  $P_0$  по (19.4). Это свидетельствует о том, что при отклонении от условия ребра (19.15) дает существенную ошибку. Решить можно лучше, рассмотрев пластический механизм, поле деформаций которого представляется комбинацией (19.1) и (19.10) (рис. 77). Отнесем эту предельную нагрузку легко вычислить при рассмотрении приведенных выше решений

$$P_0 = 4M_0 (\pi - 2\psi + 2tg \psi) + \frac{\delta M_{sp}}{\alpha} \cos \psi, \quad (19.16)$$

где  $\psi$  определяется условием на границе  $\frac{dP_0}{d\psi} = 0$ , которое дает

$$\sin \psi = \sqrt{\left(\frac{M_0 \alpha}{2M_{sp}}\right)^2 + 1} - \frac{M_0 \alpha}{2M_{sp}}. \quad (19.17)$$

Наименьшее возможное значение  $\psi = \psi_{min} = \arcsin \nu$ .

Если по (19.17)  $\psi < \psi_{min}$ , в (19.16) нужно использовать  $\psi_{min}$ ;  $P_0$  по (19.16) всегда меньше  $P_0$  по (19.15). Отсюда, что минимум в зависимости (19.15) путем уточнения формы трапеций. Для жестких ребер (19.13) вполне согласуется с данными экспериментов [9].

19.5. Прямоугольная пластина, изготовленная равномерного распределенной нагрузкой  $f$ . Рассмотрим прямоугольную пластину, жестко заделанную на одном конце и нагруженную равномерно распределенной нагрузкой интенсивностью  $f$  (рис. 79). Предположим, что в рассматриваемом состоянии пластины деформации являются образующими системы пластических шарниров, показанной на рис. 79 пунктирными линиями. (Скорости деформации шарниров, пластины в предельной нагрузке, в шарнире, совпадающей с осью симметрии, являются средними). Тогда предельная пластина имеет форму „крыла“ и при  $x \geq 0$  и  $y \geq 0$

$$w = \begin{cases} f \left( a - \frac{2y}{\alpha} \right) & \text{при } 0 \leq x \leq \frac{2c}{\alpha} y + \frac{b}{2} - c; \\ f \left( 1 - \frac{x}{c} \right) & \text{при } \frac{2c}{\alpha} y + \frac{b}{2} - c \leq x \leq \frac{b}{2}. \end{cases} \quad (19.16)$$

Угол наклона в шарнирах

$$\theta_a = -\frac{f}{c}; \quad \theta_b = -\frac{2f}{\alpha}; \quad \theta_c = \frac{4f}{\alpha};$$

$$\theta_d = \frac{2f}{\sqrt{a^2 + 4c^2}} \left( \frac{a}{2c} + \frac{2c}{\alpha} \right), \quad (19.19)$$

где  $\theta_a$  и  $\theta_b$  — углы наклона контурных шарниров;  $\theta_c$  и  $\theta_d$  — углы наклона соответственно среднего и диагональных шарниров.

Согласно (19.6) моменты в шарнирах  $M_a = M_b = -M_d$ ;

<sup>1</sup> Настоящая работа выполнена совместно с Е.Е.Тютинем и З.А.Зелениным.

$M_c = M_d = M_0$ . Энергия рассеивания в контурных шарнирах

$$D_1 = 2(M_a \theta_a a + M_b \theta_b b) = \\ = 2M_0 \frac{y + 2c}{\sqrt{c}} f; \quad y = \frac{a}{b}; \quad \bar{v} = \frac{c}{a}; \quad (19.20)$$

в среднем шарнире

$$D_2 = M_c \theta_c (b - 2c) = 4M_0 \frac{1 + 4c^2}{2} f; \quad (19.21)$$

в диагональных шарнирах

$$D_3 = 4M_d \theta_d \sqrt{\frac{a^2}{4} + c^2} = 2M_0 \frac{1 + 4c^2}{\bar{v}} f. \quad (19.22)$$

Работа внешних сил

$$U = 4 \int_0^a \int_0^b q w dx dy = qa^2 \frac{3 - 2\sqrt{3}}{6\sqrt{3}} f. \quad (19.23)$$

Согласно (19.20)–(19.22) и предельная (19.23), получим

$$q_0 = 2\alpha \frac{M_0}{a^2} \frac{y + 2c}{c(3 - 2\sqrt{3})}. \quad (19.24)$$

Найдем  $\bar{c}$  методом исхода из условия минимума  $q_0$ , потребовав  $\frac{d q_0}{d \bar{c}} = 0$ . Это дает

$$\bar{c} = \frac{1}{2} \left( \sqrt{y^2 + 3} - y \right). \quad (19.25)$$

Подставив  $\bar{c}$  в (19.24), окончательно получим

$$q_0 = \alpha \frac{M_0}{a^2}; \quad \alpha = \frac{4\beta}{(\sqrt{y^2 + 3} - y)^2} \quad (19.26)$$

Для оценки точности (19.25) можно построить приближенное статическое решение, задаваясь статически доступными полями изгибаемых и крутящего моментов, используя двойные степенные ряды (19.6):

$$M_x = \sum_i \sum_j A_{ij} x^i y^j;$$

$$M_y = \sum_i \sum_j B_{ij} x^i y^j;$$

$$H = \sum_i \sum_j C_{ij} x^i y^j$$
(19.27)

Коэффициенты  $A_{ij}$ ,  $B_{ij}$  и  $C_{ij}$  должны выбираться из условия удовлетворения:

уравнения равновесия - в данном случае третьего уравнения (18.5), где следует положить  $N_x = N_y = S = 0$ ;

граничных условий - в данном случае  $M_x = M_0$  при  $x = \pm b/2$  и  $M_y = M_0$  при  $y = \pm a/2$ ;

условиями симметрии  $M_x$ ,  $M_y$  и  $H$  относительно осей  $x$  и  $y$ .

Этим определяется минимум члена членов рядов, который должен опираться (19.27). При большем числе этих членов часть коэффициентов останется неопределенной, их значения заданы (см. ниже).

Возможно уравнения равновесия (18.5), коэффициенты в (19.27) связываются заданными от известности конкретной нагрузки  $q$ . Наибольшее возможное значение последней определяется требованием, чтобы ни в одной из точек пластины не было нарушено условие пластичности (18.9). Тогда получаются поле моментов  $M_x$ ,  $M_y$  и  $H$  будет статически доступным. Задача может решаться итерационно для разных значений коэффициентов в (19.27), оставшихся неопределенными. Критерием для выбора наиболее удачного решения согласно статической экстремальной теории (см. § 4) служит получение наибольшего значения  $q_0$ .

Если, например, задать при  $x \geq 0$  и  $y \geq 0$

$$M_x = M_y = A \left[ a_0 + a_1 \left( \frac{2x}{b} \right)^2 + a_4 \left( \frac{2x}{b} \right)^4 \right] \left[ b_0 + b_1 \left( \frac{2y}{a} \right)^2 + b_4 \left( \frac{2y}{a} \right)^4 \right] - M_0$$
(19.28)

( $A$ ,  $a_i$ ,  $b_i$  - произвольные параметры), а выражения для  $H$  разыскать из уравнения равновесия (18.5), то удовлетворение граничным условиям и условиям симметрии приводит к  $a_0 = b_0 = 1$ ;

$a_4 = -(1 + a_1)$ ;  $b_4 = -(1 + b_1)$ . Остатки  $a_1$  и  $b_1$  остаются неопределенными и могут разыскаться исходя из условия минимума  $q$ . Результаты расчетов, выполненных на ЭВМ "Мир-2" с использованием (19.28), хорошо аппроксимируются выражением  $\alpha_0 = 5,6 + 31,2 \nu$ , где  $\alpha_0$  - коэффициент в первой формуле (19.26).

Для известных значений (при известных  $\nu$ ) (19.28) приводит к известным результатам. Вместо этого здесь можно принять, например, при

$$x \leq \frac{2c}{a} y + \frac{b}{2} - c \quad M_y = A \left[ 1 - \left( \frac{2y}{a} \right)^2 \right] - M_0$$

$$\text{и } M_x = H = 0 \text{ при } x \geq \frac{2c}{a} y + \frac{b}{2} - c$$

$$M_x = B \left[ 1 - \left( \frac{x}{c} \right)^2 \right] - M_0 \text{ и } M_y = H = 0$$

(4, 5 и

6 - произвольные параметры). Такой поле моментов отвечает  $\alpha_0 = 16$ . Сопоставляя полученные  $\alpha_0$  в соответствии со статической экстремальной теорией, окончательно имеем

$$\sigma_x = \begin{cases} 16 & \text{при } 0 \leq \nu \leq \frac{f}{3}; \\ 5,6 + 33,2 \nu & \text{при } \frac{f}{3} \leq \nu \leq f. \end{cases} \quad (19.28)$$

Зависимости (19.26) и (19.28) дают соответственно верхние и нижние оценки  $\sigma_x$ . (Точное решение находится между этими.) Если по нам найти среднее значение  $\sigma_x$ , то при  $\nu = 1/3$  отклонение статистического и аналитического решений от среднего составляет  $\pm 23,1\%$  (максимальное отклонение), при  $\nu = 1/3$   $\pm 13,2\%$ , при  $\nu = 0,8$   $\pm 11,3\%$ , при  $\nu = 0$  решения совпадают.

Для квадратной пластины ( $\nu = 1$ ) лучше нижняя оценка  $\sigma_x = 4\pi$  получена описанным методом на основе (19.27) в [120]. Здесь отклонения статистического и аналитического решений от среднего составляют  $\pm 7,3\%$ .

**19.6. Дополнение. Использование метода линейного программирования.** Из вышесказанного видно, что оценка точности решения, полученного численным методом, который применяется здесь своей простотой, зависит от того, насколько точно заданы формы прогибов. Для рассмотренных выше решений форма прогибов получена в результате эксперимента [9, 33]. В общем случае это, конечно, ограничивает возможности численного метода. Предложить замену его ограничения можно, задавая форму прогибов в достаточно общем виде с помощью членам разрывных диаметров, рассуждаям с использованием вариационных принципов теории упругости, следствием которых являются экстремальные теоремы. Задача сводится к поиску минимума функции методом математического программирования.

Если мы заданное задание решить задачу прогиба А.Р.Ринклинды [111]. Пластина разрезается сеткой изотропными шарнирами на конечные элементы, например треугольные, которые отпадают жесткости. Внешняя нагрузка прикладывается в виде сосредоточенных сил в узлах сетки. Разрывными соотношениями прогибов в узлах с использованием метода возможных перемещений (4.9) в форме минимума

задан энергии системы (см. также § 27):  $\min (D - U)$ .

Поскольку шарниры образуют между частями элементов, действующим в них моменты по (19.6) равны  $\pm M_{ij}$  и работа внешних сил  $P = P \sum \beta_i \omega_i$ , где  $P$  - параметр, пропорционально которому изменяется заданная нагрузка  $P_i$  (в  $i$ -м узле  $P_i = P \beta_i$ );  $\omega_i$  - прогиб в  $i$ -м узле. Суммированием здесь ведется по всем узлам.

Энергия расщепления  $D = \sum M_{ij} \theta_{ij} \iota_{ij}$ , где  $\iota_{ij}$  - длина шарнира между узлами  $i$  и  $j$ ;  $\theta_{ij}$  - угол сдвига в этом же шарнире, который является линейной функцией  $\omega_i$  окружающих его узлов. Суммированием здесь ведется по всем шарнирам. Ограничения вытекают из условий:

$$\theta_{ij} = 0 \quad \text{при} \quad M_{ij} = M_0; \quad \theta_{ij} \leq 0 \quad \text{при} \quad M_{ij} = -M_0. \quad (19.30)$$

Таким образом, рассуждения функции  $D - U$  (функция цели) и ограничительные зависимости (19.30) являются линейными формами  $\omega_i$ , и решение может быть найдено методами линейного программирования. Предельная нагрузка  $P_0$  определяется предельными  $U$  и  $D$ :

$$P_0 = \frac{\sum M_0 \theta_{ij} \iota_{ij}}{\sum \beta_i \omega_i}. \quad (19.31)$$

В [78] предложено решение задачи статическим методом с использованием линейного программирования. После момента элементов в форме (19.27); функций цели служат выражения для дисперсионной нагрузки  $q$ , получаемые из уравнения равновесия (19.5); ограничительные зависимости для граничных условий, ограничения неравенства - условия пластичности, которые приближенно аппроксимированы.

Есть в общем случае подходы к решению задачи отсуствием предельных нагрузок статическим и численным методами с использованием линейного программирования [69, 74] и др.

**20.1. Постановка задачи.** Как указывалось в § 18, реальная нагрузка пластины связана не всегда поперечными. Поэтому основной интерес представляет анализ деформаций пластины после действия поперечной нагрузки. В этом параграфе рассмотрим все уравнения теории упругости, но сформулируем предположение, что прогибы малы, т.е. рассмотрим неавтономные задачи в геометрически неизменяемой постановке, так же как в гл.3 применяли к балкам.

**20.2. Круглая пластина, закреплённая по окружности.** Применительно к геометрии метода представим на простейшем примере, рассмотрим круглую пластину, закрепив её по окружности и нагружив в центре сосредоточенной силой  $P$ . Для круглой пластины уравнения (19.1). Переходим к срединной плоскости пластины и получим, предположим

$$\varepsilon_r = \frac{du}{dr} + \frac{1}{2} \left( \frac{dw}{dr} \right)^2 = 0, \text{ откуда}$$

$$u = -\frac{1}{2} \int \left( \frac{dw}{dr} \right)^2 dr + C. \text{ При } r=0 \text{ } u \text{ имеет}$$

особую точку, и здесь возможен разрыв переменной  $u$ . Поэтому для удобства примем при  $r=0$   $u = u_0$ . С учётом симметричного, получим (19.7):

$$u = u_0 - \frac{1}{2} \frac{r^2}{k} p. \quad (20.1)$$

По (19.7) и (20.1) найдём обобщённые деформации

$$\varepsilon_r = \frac{du}{dr} + \frac{1}{2} \left( \frac{dw}{dr} \right)^2 = 0; \quad \varepsilon_\varphi = \frac{u}{r} - \frac{u_0}{R} - \frac{1}{2} \frac{r^2}{R^2};$$

$$\varepsilon_r = -\frac{d^2 w}{dr^2} = 0; \quad \kappa_\varphi = -\frac{1}{r} \frac{dw}{dr} = \frac{f}{R^2 p}. \quad (20.2)$$

Для определения обобщённых напряжений воспользуемся теорией течения в условиях пластичности, изложенными в § 18. Для этой цели найдем скорости деформаций, приняв в качестве усреднённого времени  $\bar{t}$  маломальский прогиб  $f$ . Тогда, дифференцируя по  $f$  (20.2), получим

$$\dot{\varepsilon}_r = \dot{\kappa}_r = 0; \quad \dot{\varepsilon}_\varphi = \frac{\dot{u}_0}{R} - \frac{f}{R^2}; \quad \dot{\kappa}_\varphi = \frac{f}{R^2 p}. \quad (20.3)$$

По (18.7) средние значения параметров  $\beta_i$ , указавшим, что радиальные напряжения совпадают с осевыми,

$$\beta_1 = -\frac{1}{k} \frac{\dot{\varepsilon}_r}{\dot{\kappa}_r} = \frac{\sigma}{\sigma}; \quad \beta_2 = \beta_3. \quad (20.4)$$

В силу этого мы можем воспользоваться формулами второй строки табл.6. Условия пластичности в точке течения:

$$\pi_\varphi = \tau - \pi \frac{\dot{\varepsilon}_\varphi}{\dot{\gamma}}; \quad \frac{N_0 \dot{\varepsilon}_\varphi}{M_0 \dot{\kappa}_\varphi} = 2 \pi_\varphi. \quad (20.5)$$

Подставив сюда  $N_0$  и  $M_0$  по (18.8) и  $\dot{\varepsilon}_\varphi$  и  $\dot{\kappa}_\varphi$  по (20.3), получим

$$\pi_\varphi = 2 \left( \dot{u}_0 \frac{R}{k} - \bar{f} p \right); \quad \bar{f} = \frac{f}{k}. \quad (20.6)$$

В данном случае поле перемещений задано с точностью до двух параметров —  $u_0$  и  $f$ . Связи их с обобщенными переменными, воспользуемся методом возможных перемещений в форме (II.4)  $\frac{\delta U}{\delta u_0} - \frac{\delta D}{\delta u_0}$  и  $\frac{\delta U}{\delta f} - \frac{\delta D}{\delta f}$ . Зависит  $U = P f$  и  $\frac{\delta U}{\delta u_0} = 0$ ,  $\frac{\delta U}{\delta f} = P$ .

Тогда

$$\frac{\delta D}{\delta u_0} = 0; \quad \frac{\delta D}{\delta f} = P. \quad (20.7)$$

Для выполнения этих производных  $D$  воспользуемся (16.6). Пусть приращение обобщенных деформаций — результат приращений  $u_0$  и  $\delta u_0$ . Потребная  $\delta u_0 \rightarrow 0$  и проинтегрируем по площади пластины, получим

$$\begin{aligned} \frac{\delta D}{\delta u_0} &= 2\pi \int_0^R (M_r \frac{\delta \epsilon_r}{\delta u_0} + N_\varphi \frac{\delta \epsilon_\varphi}{\delta u_0} + \\ &+ M_r \frac{\delta \kappa_r}{\delta u_0} + M_\varphi \frac{\delta \kappa_\varphi}{\delta u_0}) r dr. \end{aligned} \quad (20.8)$$

Дифференцируя (20.2) по  $u_0$  и подставляя в (20.8) с учетом безразмерных обобщенных, получим

$$\frac{\delta D}{\delta u_0} = 2\pi M_0 \frac{R}{h} \int_0^1 n_\varphi d\bar{\rho}. \quad (20.9)$$

Предельно малые приращения как  $\frac{\delta D}{\delta f}$ , так и  $\frac{\delta D}{\delta u_0}$

$$P = \frac{\delta D}{\delta f} = 2\pi M_0 \int_0^1 (-4n_\varphi \bar{\rho}^2 + n_\varphi) d\bar{\rho}. \quad (20.10)$$

Дальнейшее рассмотрение работы пластины можно проводить на этапе 3 т а и 1. Во всех точках пластины  $|n_\varphi| < 1$ , поэтому (20.5) и (20.6) справедливы для нового поля пластины. Подставляя последнее в (20.9), после интегрирования получим уравнение, из которого

$$\dot{u}_0 = \frac{1}{2} \frac{R}{R} \bar{f}. \quad (20.11)$$

Теперь можно конкретизировать выражения обобщенных деформаций (20.5) и (20.6):

$$n_\varphi = \bar{f}(1 - 2\bar{\rho}^2); \quad m_\varphi = 1 - n_\varphi. \quad (20.12)$$

Подставим это в (20.10). После интегрирования в исходных преобразованиях получим

$$P = 2\pi M_0 \left(1 + \frac{1}{3} \bar{f}^2\right). \quad (20.13)$$

Границы применимости полученного выражения определятся условиями  $|n_\varphi|_{\max} = 1$ . Из (20.12) видно, что это имеет место одновременно при  $\bar{\rho} = 0$  и  $\bar{\rho} = 1$ , когда  $\bar{f} = 1$ .

3 т а и 2. При  $\bar{f} > 1$ , как мы установили,

$$\left. \begin{aligned} n_\varphi &= 1; \quad m_\varphi = 0 && \text{при } 0 \leq \bar{\rho} \leq \bar{\rho}_1; \\ n_\varphi &= -1; \quad m_\varphi = 0 && \text{при } \bar{\rho}_2 \leq \bar{\rho} \leq 1. \end{aligned} \right\} \quad (20.14)$$

Положив, опять обратившись к (20.9) и используя форму (20.6) вместо  $\sigma$  в (20.14) для соответствующих областей, найдем

$$\dot{\omega}_0 = \frac{1}{2} \frac{h}{R} \frac{F(\rho_2^2 - \rho_1^2) - (\rho_2 + \rho_1) + 1}{\rho_2 - \rho_1}. \quad (20.15)$$

Тогда  $n_y$  по (20.6) в области  $\rho_1 \leq \rho \leq \rho_2$

$$n_y = \frac{F(\rho_2^2 - \rho_1^2) - (\rho_2 - \rho_1) + 1}{\rho_2 - \rho_1} - 2f\rho. \quad (20.16)$$

На границах области  $n_y = 1$  при  $\rho = \rho_1$ ,  $n_y = -1$  при  $\rho = \rho_2$ . Это дает из (20.16) две уравнения. Решив их как систему, нетрудно получить

$$\rho_1 = \frac{1}{2} \left(1 - \frac{1}{f}\right); \quad \rho_2 = \frac{1}{2} \left(1 + \frac{1}{f}\right). \quad (20.17)$$

Подставив это в (20.16), найдем  $n_y$ , совпадающее с (20.12).

Теперь можно перевернуть (20.10), используя (20.12), (20.14) и (20.17):

$$P = 2\pi M_0 \left(f + \frac{1}{3f}\right). \quad (20.18)$$

Из (20.18) при  $f = 0$   $P$  соответствует предельной нагрузке пластины  $P_0 = 2\pi M_0$ . Поэтому можно (20.13) и (20.15) представить в форме

$$\frac{P}{P_0} = \begin{cases} 1 + \frac{1}{3}f^2 & \text{при } f \leq 1; \\ f + \frac{1}{3f} & \text{при } f \geq 1. \end{cases} \quad (20.19)$$

Это совпадает с точным решением [73, 82]. Аналогично можно получить решение, используя теорию деформаций. Результаты совпадают с данными. Если ввести безразмерные нагрузки, то тогда условие  $m_r = m_y = 0$ , тогда пластина превращается в мембрану, при больших  $f$   $P/P_0$  будет мало отличаться от (20.19).

Эти решения и ряд других примеров приведены в [9].

21.8. Вращающаяся пластинка, нагруженная сосредоточенной силой. Предположим, сила  $Y$  действует на пластинку жестким шаровым контактом радиусом  $R_0$ . Решение будем искать обычными методами, преобразуя жесткой контактной пластины ( $m_r = m_y = 0$ ). Условием, что пластина обтекает ступицу в пределах контактной площадки радиусом  $R_0$  и через  $R$  обтекание радиуса деформированной зоны пластинки. Уравнения равновесия в области вне площадки контакта имеют вид

$$\frac{dN_r}{dr} + \frac{N_r - N_y}{r} = 0; \quad (20.20)$$

$$N_r \frac{d\omega}{dr} + \frac{P}{2\pi r} = 0.$$

Если предположить, что  $\epsilon_r \geq 0$  и  $\epsilon_y \geq 0$ , или  $\dot{\epsilon}_r \geq 0$  и  $\dot{\epsilon}_y \geq 0$ , то на условии пластичности Треска (точка В на рис.7)  $N_r = N_y = N_0$ . Нетрудно видеть, что при этом первом уравнении (20.20) удовлетворяется тождественно, а из второго

$$\frac{d\omega}{dr} = -\frac{P}{2\pi N_0 r}. \text{ Интегрируя последнее в пре-}$$

буд, что на границе деформированной зоны пластины при  $r=R$  было  $w = 0$ , а также для  $r_0 \leq r \leq R$

$$w = \frac{P}{2\pi N_0} \ln \frac{R}{r}. \quad (20.21)$$

Прогиб в районе площадки контакта однозначно определен той формой пластины  $w = w_0 + \frac{r_0^2 - r^2}{2R_w}$ , где  $w_0$  - прогиб при  $r = r_0$ , который можно найти из (20.21). Тогда при  $0 \leq r \leq r_0$

$$w = \frac{P}{2\pi N_0} \ln \frac{R}{r_0} + \frac{r_0^2 - r^2}{2R_w}. \quad (20.22)$$

Величина  $r_0$  определится исходя из условия непрерывности  $\frac{dw}{dr}$  при  $r = r_0$ :

$$r_0 = \sqrt{\frac{PR_w}{2\pi N_0}}. \quad (20.23)$$

Максимальный прогиб пластины при  $r = 0$  по (20.22) и (20.23)

$$f = \frac{P}{2\pi N_0} \left( \frac{1}{2} + \ln \frac{R}{r_0} \right). \quad (20.24)$$

Из приведенных результатов видно, что условия жесткости и уравнения равновесия не дали полного решения задачи: остались неопределенными радиус  $R$  и перемещение  $w_0$ . Согласно теории упругости пластины в координатах [8] величина

$\ln \frac{R}{r_0}$  оказалась практически постоянной и в среднем равна

1,7. Поэтому приближенно можно считать

$$f = 3,3 \frac{P}{2\pi N_0}. \quad (20.25)$$

**20.4. Прямоугольная пластинка с ребром, заглубленной сосредоточенной силой.** Рассмотрим прямоугольную пластинку с жестким ребром, заглубленную ребром жесткости, закрепленную на опорном контуре и нагруженную в центре сосредоточенной силой  $P$ , сохраняя схему этой задачи такой же, как в предыдущем параграфе (см. рис. 76), но решая ее в плоской постановке. Будем считать, что пластинка имеет радиусы жесткости на четыре треугольных зажима, которые остаются жесткими также с ростом прогибов. Удлиним в средней плоскости сосредоточенную силу радиусом и зададим ее порциями  $u$  и  $v$ , значения которых в соответствии с сосредоточенным законом течения одинаковы в радиусах, где радиус с увеличением момента действует продольная сила (см. § II). Параметры ребра и обозначения показаны на рис. 79. Из условия несжимаемости опорного контура при  $y = 0$  и  $x = 0$  соответственно

$$\frac{1}{2} \int_0^b \left( \frac{dw}{dx} \right)^2 dx = [u]_0 + 2[u]_a;$$

$$\frac{1}{2} \int_0^a \left( \frac{dw}{dy} \right)^2 dy = [v]_0 + 2[v]_b,$$

где  $[u]_a$  и  $[v]_b$  - разрывы перемещений в контурных радиусах;  $[u]_0$  и  $[v]_0$  - аналогичные разрывы в центре пластины. Сохраним  $w$  по (15.10), после интегрирования осями радиуса

$$[u]_a = \frac{f^2}{b} - \frac{1}{2} [u]_0; \quad [v]_b = \frac{f^2}{a} - \frac{1}{2} [v]_0. \quad (20.26)$$

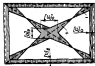


Рис. 79. Схема разрывов перемещений в клетках.

У деформированных шарниров разрывы  $[u]_{A,D}$  линейно меняются со длине шарнира:

$$[u]_{A,D} = [u]_{A,D}^0 + ([u]_{A,D}^1 - [u]_{A,D}^0) \frac{\bar{x}}{\bar{l}}; \quad \bar{x} = \frac{\bar{x}}{\bar{l}} \quad (20.27)$$

где  $[u]_{A,D}^0$  и  $[u]_{A,D}^1$  — значения  $[u]_{A,D}$  соответственно в углах опорного контура и в центре клеточки;  $\bar{x}$  — координата вдоль оси деформированного шарнира, считываемая от угла опорного контура;  $\bar{l} = \sqrt{a^2 + b^2}$ .

Разрывы в контурах шарниров приводят к появлению осевой и поперечной нагрузки в районе, прилегающем к углу опорного контура. В центральной части плоскости деформированной шарнир остается. На симметричной составляющей (рис. 79) в учете (20.26) найдем

$$\left. \begin{aligned} [u]_{A,D}^1 &= -\left([u]_0 \frac{a}{l} + [u]_0 \frac{b}{l}\right) = -\frac{f^2}{l} \frac{1+V^2}{V} + [u]_{A,D}^0 \\ [u]_{A,D}^0 &= \frac{1}{2} \left([u]_0 \frac{a}{l} + [u]_0 \frac{b}{l}\right). \end{aligned} \right\} (20.28)$$

Из (19.10), (20.26) и (20.28) видно, что перемещения в плоскости деформированного шарнира зависят от значений  $[u]_0$ ,  $[u]_0$  и  $f$ . Если

использовать их в качестве обобщенных переменных, начало деформации шарниром (II.4) дает три уравнения:

$$\frac{\delta U}{\delta [u]_0} = \frac{\delta D}{\delta [u]_0}; \quad \frac{\delta U}{\delta [u]_a} = \frac{\delta D}{\delta [u]_a}; \quad \frac{\delta U}{\delta f} = \frac{\delta D}{\delta f}. \quad (20.29)$$

Поскольку  $U = Pf$ , то  $\frac{\delta U}{\delta [u]_a} = \frac{\delta U}{\delta [u]_0} = 0$  и  $\frac{\delta U}{\delta f} = P$ . Тогда

$$\frac{\delta D}{\delta [u]_0} = 0; \quad \frac{\delta D}{\delta [u]_a} = 0; \quad \frac{\delta D}{\delta f} = P. \quad (20.30)$$

Так как треугольные элементы остаются все время жесткими, ось шарнира не деформируется. Считая, для шарнира  $\dot{d}_2 / \dot{x}_2 = 0/0$ .

Это позволяет заменить условия жесткости в узлах соединения. По (19.7)  $\beta_1 = \beta_2$  и  $\beta_2 = 0/0$  и из табл.6

$$\left. \begin{aligned} m_1 &= 1 - \alpha^2; \\ M_0 \dot{d}_1 &= 2N_1. \end{aligned} \right\} (20.31)$$

В данном случае  $\dot{d}_1 = \omega$  и  $\dot{x}_1 = \omega$ , в их отношении константа и равен  $(\dot{d}_1 / \dot{\theta})$ . С учетом (19.8)

$$m_1 = \pm \frac{2}{h} \frac{[u]}{\theta}. \quad (20.32)$$

Последний член решения задачи мало отличается от рассмотренного выше для круглой клеточки. Поэтому, несложно проинтегрировать уравнение, описывающее безмоментное решение, приложив  $m_1 = D$  и  $N_1 = -f$ . С учетом указанного размера (20.30). Для контура шарниров, используя (20.26), найдем

$$\frac{\partial D_1}{\partial [u]_0} = 2 \left( N_0 \frac{\partial [u]_0}{\partial [u]_0} + N_0 \frac{\partial [v]_0}{\partial [u]_0} b \right) = N_0 a; \quad (20.28)$$

для логарифмических шариков, используют (20.27) и (20.28):

$$\frac{\partial D_1}{\partial [u]_0} = 4 \int_0^{l/2} N_0 \frac{\partial [u]_0}{\partial [u]_0} dz = -N_0 a. \quad (20.29)$$

Будем считать, что продольные силы, возникающие в ребре жесткости, незначительны, и как видно из рисунка, тогда для ребра жесткости применимы  $D_2$  по (19.14) и  $\frac{\partial D_2}{\partial [u]_0} = 0$ . Подставляя полученные в первом уравнении (20.30), приходим к тождеству, и  $[u]_0$  остается неопределенным. Такой же результат дает второе уравнение (20.30) в отношении  $[v]_0$ . Это — следствие получения об отсутствии моментов в шариках.

Аналогично выполняются вычисления для третьего обобщенного параметра  $f$ . Имеем

$$\frac{\partial D_1}{\partial f} = 4 N_0 f \frac{1+v^2}{v};$$

$$\frac{\partial D_2}{\partial f} = -2 N_0 f \frac{1+v^2}{v}; \quad (20.30)$$

$$\frac{\partial D_3}{\partial f} = \frac{\delta M_{00}}{b}.$$

Подставляя это в третье уравнение (20.30), окончательно получим

$$\rho = \begin{cases} P_0 & \text{при } \bar{f} \geq 1; \\ P_0 + \delta M_0 \frac{1+v^2}{v} (\bar{f} - 1) & \text{при } \bar{f} < 1, \end{cases} \quad (20.31)$$

где  $\bar{f} = \frac{f}{b}$ , а  $P_0$  — продольная нагрузка по (19.15).

Если учесть наличие изгибающих моментов в шариках, получим следующее:

$$\rho = \begin{cases} P_0 + \frac{16}{3} M_0 \frac{1+v^2}{v} \bar{f}^2 & \text{при } \bar{f} \leq \frac{2}{3}; \\ P_0 + \delta M_0 \frac{1+v^2}{v} \left\{ 1 + 5\bar{f} + \frac{4}{3} \left[ \bar{f}^2 \sqrt{\bar{f}(2+\bar{f})} \right] \right\} & \text{при } \bar{f} \geq \frac{2}{3}. \end{cases} \quad (20.32)$$

Разница между (20.31) и (20.32) возникает из-за наличия сил при  $\bar{f}$ , силе  $\delta M_0$  и  $P_0$ , когда жестко пластические шарикам вообще немоментны.

**20.3. Подготовочные действия. Упругая деформация пластической шариковой решетки<sup>1</sup>.** Будем считать, что пластина имеет жесткий ребро. Воспользуемся кинематическим методом и ограничимся безмоментным решением. Смысл предельной нагрузки поверхности пластины при больших прогибах в эксперименте [2] показал, что ее форма может быть достаточно хорошо описана при  $x \geq 0$  и  $y \leq 0$  (рис. 20) следующими выражениями:

$$w = \begin{cases} f \left( 1 - \frac{y^2}{a^2} \right) & \text{при } 0 \leq x \leq \frac{b}{2} - c, \\ f \left( 1 - \frac{y^2}{a^2} \right) \left[ 1 - \left( \frac{b - \frac{b}{2} + c}{c} \right)^2 \right] & \text{при } \frac{b}{2} - c \leq x \leq \frac{b}{2}. \end{cases} \quad (20.33)$$

<sup>1</sup> Настоящий раздел написан совместно с В. П. Федруком.

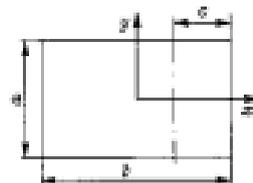


Рис. 30. Сложная пластина.

Пр (20,38) в средней части пластины при  $0 \leq x \leq \frac{b}{2} - c$  изогнутая поверхность — цилиндрическая. Размеры цилиндрической области по результатам тех же экспериментов:

$$c = \begin{cases} \frac{a}{2} \left[ \frac{b}{2} - \frac{1}{4} \left( \frac{b}{a} - 1 \right)^2 \right] & \text{при } 1 \leq \frac{b}{a} \leq 3; \\ a & \text{при } \frac{b}{a} \geq 3. \end{cases} \quad (20,39)$$

Измерения удлинений в экспериментах показали, что в цилиндрической области они хорошо согласуются с удлинениями, вычисленными для бочки. В области  $b/2 - c \leq x \leq \frac{b}{2}$  при больших прогибах удлинения оказались нестабильными у разных пластин одинакового размера распределение удлинений по площади пластины совпадало качественно с тем, какое у квадратной пластины кривые изменения удлинений вдоль осей  $x$  и  $y$  имели разную форму.

Аналогичные результаты в этом отношении получались в экспериментах [147].

Анализ показал, что вид зависимостей переменных  $u$  и  $v$  от  $X$  и  $Y$ , если она удовлетворяет граничным условиям, здесь не зависит ни от ширины внутренней рассечки  $\delta D$ , ни от ширины приращений прогибов  $\delta f$ . Поэтому в распределении удлинений определяются случайными факторами, которые в обычных случаях непостоянны (местные малые отклонения от средних значений толщины

пластины, механических характеристик металла, анизотропии механических свойств и т.п.). Отсюда усиленная нестабильность. Это в рассматриваемой задаче дает большую свободу в выборе  $u$  и  $v$ .

Примем

$$\varepsilon_x = \frac{1}{2} \left( \frac{\partial w}{\partial X} \right)^2; \quad \varepsilon_y = \frac{1}{2} \left( \frac{\partial w}{\partial Y} \right)^2; \quad (20,40)$$

$$\gamma_{xy} = 0$$

и, обозначая  $\bar{X} = \frac{x + \frac{b}{2} + c}{c}$ ;  $\bar{Y} = 2 \frac{y}{a}$ ;  $\bar{Z} = \frac{z}{a}$ ;

$v = \frac{a}{b}$ , по (20,38) и (20,40), найдем

$$\varepsilon_x = \begin{cases} 0 & \text{при } -\left(\frac{b}{2c} - 1\right) \leq \bar{X} \leq 0; \\ 2 \frac{f^2}{c^2} \bar{X}^2 (1 - \bar{Y}^2)^2 & \text{при } 0 \leq \bar{X} \leq 1; \end{cases} \quad (20,41)$$

$$\varepsilon_y = \begin{cases} \delta \frac{f^2}{a^2} \bar{Y}^2 & \text{при } -\left(\frac{b}{2c} - 1\right) \leq \bar{X} \leq 0; \\ \delta \frac{f^2}{a^2} \bar{Y}^2 (1 - \bar{X}^2)^2 & \text{при } 0 \leq \bar{X} \leq 1. \end{cases} \quad (20,42)$$

Тогда так  $\gamma_{xy} = 0$ ,  $\varepsilon_x$  и  $\varepsilon_y$  — главные удлинения.

Для определения напряжений используем условия плоского Тресса в форме, представленной на рис. 7.

$$\text{При } -\left(\frac{b}{2c} - \eta\right) \leq \bar{x} \leq 0 \quad \varepsilon_x = 0 \quad \text{и} \quad \varepsilon_y > 0.$$

Следовательно, пластическое течение должно определяться осяевой  $\bar{BC}$  непрямоугольником на рис. 7 (считаем ось I - ось  $x$ ) и  $N_y = N_0$ . При  $0 \leq \bar{x} \leq l$   $\varepsilon_x > 0$  и  $\varepsilon_y > 0$ , значит, пластическое течение здесь определяется точкой  $B$  (см. на рис. 7) и  $N_x = N_y = N_0$ . Параметрами, как следует из (20.40), (20.41) и (20.42), однозначно определяются значения  $f$ , зависящие от  $\eta$  и принимающие в качестве обобщенной координаты. Тогда по (II.4)  $\frac{\partial U}{\partial f} = \frac{\partial D}{\partial f}$ ;

$$\frac{\partial U}{\partial f} = q \int_{-\frac{ab}{2c}}^{\frac{ab}{2c}} \int_0^{b_0} \frac{\partial w}{\partial f} dx dy; \quad (20.43)$$

$$\frac{\partial D}{\partial f} = N_0 \int_{-\frac{ab}{2c}}^{\frac{ab}{2c}} \int_0^{b_0} \left( \frac{\partial \varepsilon_x}{\partial f} + \frac{\partial \varepsilon_y}{\partial f} \right) dx dy.$$

Подставив сюда (20.36), (20.41) и (20.42) и выполнив интегрирование, имеем

$$\frac{\partial U}{\partial f} = \frac{q \alpha^2}{18 \nu} (3 - 2 \varepsilon \psi);$$

$$\frac{\partial D}{\partial f} = \frac{6 N_0 f}{45 \varepsilon \nu} (4 \psi + 15 \varepsilon - 14 \varepsilon^2 \psi). \quad (20.44)$$

Приравняв полученные выражения, получим следующую зависимость

$$q = \frac{6 N_0}{K_f \alpha} f; \quad K_f = \frac{3 - 2 \varepsilon \psi}{4 \psi + 15 \varepsilon - 14 \varepsilon^2 \psi}. \quad (20.45)$$

Если в (20.45) развернуть  $\psi$  по (20.39), то

$$K_f = \begin{cases} \frac{-7 + 34 \nu^2 + \nu^4}{-7 + 24 \nu + 34 \nu^2 + 24 \nu^3 + 121 \nu^4} & \text{при } \nu \geq \frac{1}{3}; \\ 1 & \text{при } \nu \leq \frac{1}{3}. \end{cases} \quad (20.46)$$

**20.5. Заключение. Рациональные пластики.** Применением выше описанной процедуры анализа неопределенности и дает хорошие результаты [9]. Однако ограниченность математического метода, связанная с необходимостью задания поле перемещений, здесь проявляется в том смысле, что в задачах теории предельного равновесия, так как приходится дополнительно рассуждать перемещения в срединной плоскости. В то же время есть возможность задания поле перемещений с помощью довольно большого количества параметров, которые рассматриваются как обобщенные перемещения и определяются с использованием метода возможных перемещений. Здесь имеет значение развитие осем, введенных в [10] применительно к геометрически нелинейным задачам и использованных выше при рассмотрении изгиба пластины, закрепленной ребром.

Все деформация в пластине сосредоточивается вдоль линий треугольной сетки. Получившиеся треугольные элементы считаются абсолютно жесткими. По линии сетки образуются пластические шарниры, в которых деформация характеризуется углами сдвига  $\theta_{ij}$  и разрывами перемещений  $\{u\}_{ij}$  и  $\{w\}_{ji}$  ( $i$  и  $j$  - номера узлов по линии шарнира;  $\{u\}_{ij}$ ,  $\{w\}_{ji}$  - величина разрыва для линии шарнира в узле  $i$  и в узле  $j$  соответственно). Угол  $\theta_{ij}$  является линейной функцией  $w_i$  - прогибом в узлах, смежных с линией шарнира.

Параметры  $\{u\}_{ij}$  и  $\{w\}_{ji}$  в каждом узле связаны между собой строго симметрично, что дает два уравнения (уравнения совместности перемещений в узлах). Кроме того, разрывы  $\{u\}_{ji}$  для элементов, прилегающих к узлу, также оказываются связанными между собой и с прогибами (уравнения совместности перемещений в линейных сетках). В качестве обобщенных перемещений используются  $w_i$  и  $\{u\}_{ij}$ .

Несовершенство уравнения для предельной нагрузки, рассмотренный выше деформирования типа (20,31), (20,32) и начало возможных переменных. Получается система алгебраических уравнений, линейная относительно  $[M]_{ij}$  и нелинейная относительно  $\omega_{ij}$ . Подробное см. в [9,10]. Здесь возможны также использование методов математического программирования.

Несколько слов о разрушении пластины при постановке задачи прогиба. Упругоупругие данные эксперименты<sup>†</sup> [9] для рассмотренных типов нагрузок позволяют выявить форму прогиба пластины при разрушении, характерные ее изменения при разрушающей нагрузке, вид разрушаемых пластин. Все эксперименты выполнялись с тонкими пластинами из мягкой углеродистой стали. При воздействии на пластину шарового жесткого штампа радиусом  $R_{ш}$  в случае, когда  $R_{ш}$  мал по сравнению с длиной короткой стороны внешнего контура пластины  $a$  ( $a/R_{ш} > 10$ ), форма прогиба весьма строго осесимметрична. Все пластинки контактируют изогнутой поверхностью пластины вдоль изогнутости вверх (что означает в (20,31), линию переходящую к недеформированной части пластины). Разрушение происходит всегда по границе пластины контакта. В эксперименте обнаруживается статистическая зависимость  $f_P/R_{ш} = t, 0e1, \delta$ , где  $f_P$  — максимальный остаточный прогиб при разрушении.

Разрушающая нагрузка грубо может быть описана формулой

$$P_P = A \cdot \sigma_B \cdot h \cdot R_{ш}, \quad (20,47)$$

где  $\sigma_B$  — предел прочности материала;  $A$  — постоянная; ее значение в экспериментах колебалось в пределах 2,7-4,4. В [114] получен более узкий диапазон значений  $A = 3,7-3,9$ .

Когда радиус штампа  $R_{ш}$  сопоставим с  $a$  ( $a/R_{ш} < 5$ ),

осевая симметрия прогиба заметно нарушается. Деформированная зона в пластине выгибается вдоль длинных сторон внешнего контура; на последних изогнутой поверхности пластины образует сла-

бы, по которым и происходит разрушение. Статистической при разрушении оказалась величина  $f_P/a$ . Ее нижняя граница 0,13-0,14.

У пластины, нагруженной равномерно распределенной нагрузкой, форма прогиба соответствует (20,38) и (20,39). Разрушение происходит у осей изогнутой поверхности пластины на внешней стороне внешнего контура. Статистической оказалась величина  $f_P/a$ . Ее значения колеблются в пределах 0,13-0,22. (Те же цифры получены в [149] на более толстых пластинках.) Отмечается определенная зависимость  $f_P/a$  от соотношения сторон внешнего контура пластины: при  $b/a = 1$   $f_P/a = 0,13 \pm 0,16$ ; при  $b/a = 3$   $f_P/a = 0,21 \pm 0,22$ .

Примечательны здесь данные, характеризующие разрушение пластины, естественно, справедливы лишь в области значимых параметров, которые варьировались в экспериментах, т.е. для тонких пластин из мягкоуглеродистой стали. Для (20,47)  $R_{ш}/h > 2$ .

<sup>†</sup> Эксперименты проводились А.К.Николаевым и В.П.Исабулкиным.

§ 25. Основные зависимости между силами  
в упругопластической стадии

**25.1. Связи зависимости.** Рассмотрим общий случай балки с  
жесткостью в упругопластической стадии. Главные внешние нагрузки и  
внутренние силы в сечении

$$\int q dF = N; \quad \int q z dF = M_D, \quad (25.1)$$

где  $M_D$ , как и в гл.3, — суммарный изгибающий момент в сече-  
нии от внешней нагрузки и прогибных сил

$$M_D = M(x) - N\omega. \quad (25.2)$$

На основании гипотезы Бернулли сечений

$$\varepsilon^{(2)} = \varepsilon + \kappa z; \quad \kappa = - \frac{d^2 \omega}{dx^2}, \quad (25.3)$$

где  $\varepsilon$  и  $\kappa$  — удлинения и кривизна оси балки.

Для решения задачи необходимо найти зависимости между на-  
пряженностью  $\sigma$  и деформациями  $\varepsilon$ ,  $\kappa$ , подставляя их вместо  $\varepsilon$   
в (25.3) в (25.1), развернуть полученные. Это дает уравнения, свя-

занные  $\varepsilon$  и  $\kappa$  с  $N$  и  $M_D$ , — дифференци-  
альные уравнения упруго-пластическо-  
го изгиба.

В общем случае зависимости  $\sigma$  —  $\varepsilon$  удобно принять в фор-  
ме (11.4)

$$\sigma = \varepsilon \varepsilon^{(2)}(1 - \omega); \quad \omega = \omega(\varepsilon^{(2)}). \quad (25.4)$$

Подстановка (25.3) в (25.4) в (25.1) приводит к

$$\left. \begin{aligned} \varepsilon \int_F (1 - \omega) dF + E \kappa \int_F (1 - \omega) z dF &= N; \\ \varepsilon \int_F (1 - \omega) z dF + E \kappa \int_F (1 - \omega) z^2 dF &= M_D. \end{aligned} \right\} \quad (25.5)$$

Здесь  $F = \int dF$ ;  $S = \int z dF = 0$ ;  $J = \int z^2 dF$  — площадь,  
статический момент и момент инерции площади сечения соответствен-  
но. (Ось  $y$  и  $z$  проходят через центр тяжести сечения.)

Если обозначить

$$\begin{aligned} F^* &= \int_F \omega dF; \quad S^* = \int_F \omega z dF; \\ J^* &= \int_F \omega z^2 dF, \end{aligned} \quad (25.6)$$

то (25.5) приобретает вид

$$\left. \begin{aligned} E(F-F^*)\varepsilon - ES^*\varkappa &= N; \\ -ES^*\varepsilon + E(J-J^*)\varkappa &= M_{\Sigma}. \end{aligned} \right\} \quad (21.7)$$

В упругой области  $\omega = 0$  и  $F^* = S^* = J^* = 0$ , т.е. последние представляют собой напряжения и удлинения упругого материала, учитываемые также в разделах пластических деформаций. Из (21.7)

$$\varepsilon = \frac{N}{E(F-F^*)} + \frac{S^*}{F-F^*} \varkappa; \quad (21.8)$$

$$E \left( J - J^* - \frac{S^{*2}}{F-F^*} \right) \varkappa = M_{\Sigma} - \frac{S^*}{F-F^*} N. \quad (21.9)$$

Данную задачу можно решить методом последовательных приближений. В первом приближении материал предполагается упругим, во всех точках балки определены  $\varepsilon$  и  $\varkappa$  из (21.4) - (21.6). Последнее позволяет вычислять по (21.6)  $F^*$ ,  $S^*$ ,  $J^*$  и численно проинтегрировать (21.9), что дает  $\varkappa$  и  $\varepsilon$  по (21.8) второго приближения. Далее определяем  $\varepsilon^{(2)}$  по (21.3),  $\omega = 0$  по (21.4), и вычисляем координаты. (Высоте пластичности процесса последовательных приближений предостаточно, см. § 26. Подробнее см. в [105, 126].)

**21.8. Взаимосвязь упругоупластического материала с линейно-упругим.** Для упругоупластического материала с кривыми упрочнения (см. § 1, рис. 2, в) зависимость между напряжениями и деформациями может быть представлена в виде

$$\sigma = \begin{cases} E\varepsilon^{(2)} & \text{при } |\sigma| \leq |\sigma_T|; \\ \sigma_T \left( 1 - \frac{\varepsilon_0}{\varepsilon} \right) \text{sign } \varepsilon^{(2)} + E_0 \varepsilon^{(2)} & \text{при } |\sigma| > |\sigma_T|, \end{cases} \quad (21.10)$$

где  $E_0$  - модуль упрочнения, равный тангенсу угла наклона дуги графика напряжений при растяжении к оси  $\varepsilon$  в зоне упрочнения;

$$\text{sign } \varepsilon^{(2)} = 1 \quad \text{при } \varepsilon^{(2)} > 0 \quad \text{и} \quad \text{sign } \varepsilon^{(2)} = -1 \quad \text{при} \\ \varepsilon^{(2)} < 0.$$

Подставляя (21.10) в (21.1), приходим к следующему уравнению:

$$\left. \begin{aligned} \sigma_T \left( 1 - \frac{\varepsilon_0}{\varepsilon} \right) (F^{(2)} - F^{(1)}) + (EF^{(2)} + E_0 F^{(2)}) \varepsilon + \\ + (ES^{(2)} + E_0 S^{(2)}) \varkappa = N; \\ \sigma_T \left( J - \frac{\varepsilon_0}{\varepsilon} \right) (S^{(2)} - S^{(1)}) + (ES^{(2)} + E_0 S^{(2)}) \varepsilon + \\ + (EJ^{(2)} + E_0 J^{(2)}) \varkappa = M_{\Sigma}. \end{aligned} \right\} \quad (21.11)$$

Здесь, как и выше,  $F$ ,  $S$  и  $J$  - координаты, статистический момент и момент инерции площади соответственно, вычисленные относительно оси  $y$ ; кривыми  $(\varphi)$  и  $(\varepsilon)$  означают, что данные величины относятся только к части площади сечения, включенной пласти-

частями деформации или, соответственно, лежащими в упругом состоянии (упругое ядро сечения); линиям "+" и "-" соответствуют аналогично для растянутой и сжатой частей плоской сеченной соответственно.

При поперечном изгибе (когда  $N = 0$ ), если сеченка обладает горизонтальной осью симметрии,  $F_+ = F_-$ ;

$S^{(0)} = S^{(1)} = 0$ , а из первого уравнения (21.11)  $\varepsilon = 0$ , что очевидно, а второе уравнение приобретает вид

$$\sigma_T \left(1 - \frac{E}{E_0}\right) (S_+^{(0)} - S_-^{(0)}) + (EJ^{(0)} + E_0 J^{(0)}) \chi = M_{\Sigma}. \quad (21.12)$$

Для жесткопластического материала с линейным упругим ядром (рис. 2, в)  $E = \infty$ , когда сеченка является абсолютно жестким деформациями,

$$F^{(0)} = S^{(0)} = J^{(0)} = 0; F^{(1)} = F; S^{(1)} = S - \theta; J^{(1)} = J,$$

(21.13) сокращается следующим:

$$E_0 F \varepsilon = N - N'; E_0 J \chi = M_{\Sigma} - M'; \quad (21.13)$$

$$N = \sigma_T (F_+ - F_-); M' = \sigma_T (S_+ - S_-). \quad (21.14)$$

Сравним (21.14) и (8.2), видим, что она совпадает. Следовательно,  $N'$  и  $M'$  — продольная сила и изгибающий момент для продольного состояния сечения из абсолютно жесткого материала (соединения), для которых справедливы зависимости, указанные в § 8 (табл. 4).

Если здесь нейтральная ось выходит из плоскости сечения, т.е.

сечение имеет изгибный только одного знака, то  $F_+ = S_+ = \theta$ ;

$F_+ = F$  и  $S_+ = S - \theta$ . Тогда  $M' = 0$ , а  $N' = N_0 =$

$= \sigma_T F$  — продольная продольная сила, а (21.14)

$$E_0 F \varepsilon = N - N_0; E_0 J \chi = M_{\Sigma}. \quad (21.15)$$

Последнее совпадает с известным дифференциальным уравнением упругого изгиба балки, только модуль упругости  $E$  здесь заменен на модуль упругости  $E_0$ . Этот результат естественен, ибо ядро  $\sigma_T$  в данном случае (когда нейтральная ось вышла из плоскости сечения) по форме не отличается от ядра в упругой области, если проинтегрировать напряжения от изгибающего момента к продольной оси.

Третья разновидность уравнений (21.15) определяется ситуацией, когда нейтральная ось совпадает с линией изгибной кривой сечения. Тогда напряжения на кривой равны  $\sigma_T$ , и их можно считать как разность нулевых напряжений  $\sigma_+ = N/F$  и изгибающих  $\sigma_- = M/W$ . Отсюда третья форма уравнения продольной силы

$$N \approx N_0 + |M| \frac{F}{W}. \quad (21.16)$$

Для двояковогнутого упругоупругоупругого материала (рис. 2, б), если учесть, что

$$F_+^{(0)} = F_+ - F_+^{(1)} \quad \text{и} \quad F_-^{(0)} = F_- - F_-^{(1)}$$

$$\left. \begin{aligned} -\sigma_T (F_+^{(0)} - F_-^{(0)}) + E F^{(1)} \varepsilon + E S^{(1)} \chi &= N - N'; \\ -\sigma_T (S_+^{(0)} - S_-^{(0)}) + E S^{(1)} \varepsilon + E J^{(1)} \chi &= M_{\Sigma} - M'; \end{aligned} \right\} \quad (21.17)$$

где  $N'$  и  $M'$  по (21.14).

**21.3. Свойств углов beams прямоугольного сечения на эластично-упругом материале.** Формулы (21.3) позволяют найти положение нейтральной оси сечения в границе упругого ядра (рис.21) в зависимости от  $\epsilon$  и  $\mathcal{M}$ . Показано при  $z = \beta h$

$$\epsilon^{(2)} = 0 \quad \text{и при } z = \alpha + \beta h \quad \epsilon^{(2)} = \sigma_T / E,$$

получим

$$\beta = -\frac{1}{h} \frac{\epsilon}{\mathcal{M}}; \quad \bar{\alpha} = \frac{\alpha}{h} = \frac{\sigma_T}{E h \mathcal{M}}. \quad (21.18)$$

Подставим (8.5) и (8.6), получим

$$N' = -2 N_0 \beta; \quad M' = M_0 (1 - 4\beta^2). \quad (21.19)$$

Рассмотрим частный случай двуухсторонней текучести, когда пластические деформации появились в верхней и нижней частях сечения. На рис.21,б описан

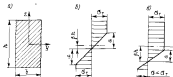


Рис.21. Схема сечения (а) и ядра упругого ядра при двухсторонней (б) и односторонней (в) текучести.

$$F_+^{(2)} = F_+^{(1)} = b\alpha = F\bar{\alpha};$$

$$S_+^{(2)} - S_+^{(1)} = b\alpha \left( \frac{b}{2} + \beta h \right) - b\alpha \left( -\frac{b}{2} + \beta h \right) = F h \bar{\alpha}^2;$$

$$S_+^{(2)} = 2 b \alpha \beta h = 2 F h \bar{\alpha} \beta;$$

$$J_+^{(2)} = \frac{b(2\alpha)^3}{12} + 2 b \alpha (\beta h)^2 = 2 F h^2 \left( \frac{1}{3} \bar{\alpha}^2 + \beta^2 \right).$$

(21.20)

Подставим это вместе с (21.18) и (21.19) в (21.17), получим

$$-2\beta = \frac{N}{N_0}; \quad 1 - \beta^2 = \frac{4}{3} \frac{\sigma_T^2}{E^2 h^2} \frac{1}{\mathcal{M}^2} = \frac{M_0}{M_0}. \quad (21.21)$$

При односторонней текучести (рис.21,в) аналогично

$$F_+^{(2)} = F\bar{\alpha}; \quad F_-^{(2)} = F \left( \frac{1}{2} + \beta \right);$$

$$S_+^{(2)} - S_-^{(2)} = F h \left[ \bar{\alpha} \left( \frac{b}{2} + \beta \right) + \frac{1}{2} \left( \frac{1}{2} - \beta \right)^2 \right];$$

$$S_+^{(2)} = -\frac{1}{2} F h \left[ \frac{1}{2} - (\bar{\alpha} + \beta)^2 \right];$$

$$J_+^{(2)} = \frac{1}{4} F h^2 \left( \frac{1}{2} + \bar{\alpha} + \beta \right) \left[ \frac{1}{3} \left( \frac{1}{2} + \bar{\alpha} + \beta \right)^2 + \left( \frac{1}{2} - \bar{\alpha} - \beta \right)^2 \right]$$

(21.22)

После очевидных преобразований и преобразования можно получить выражения для  $\alpha$  и  $\varepsilon$ , которые являются искомыми уравнениями.

Получаются следующие:

$$\text{при } m_D \ll m_T \quad \alpha = \frac{3\sigma_T}{Eh} m_D; \quad \varepsilon = \frac{\sigma_T}{E} n; \quad (21.23)$$

$$\text{при } m_T \ll m_D \ll m_{TT}$$

$$\alpha = \frac{8}{9} \frac{\sigma_T}{Eh} \frac{(1-n)^2}{(1-n-\frac{2}{3}m_D)^2};$$

$$\varepsilon = \frac{\sigma_T}{E} \left[ n + \left( \sqrt{\frac{Eh}{2\sigma_T}} \alpha - \sqrt{1-n} \right)^2 \right]; \quad (21.24)$$

$$\text{при } m_{TT} \ll m_D \ll m_D$$

$$\alpha = \frac{2\sigma_T}{Eh} \frac{1}{\sqrt{3(m_D - m_D)}}; \quad \varepsilon = \frac{h}{2} n \alpha; \quad (21.25)$$

$$\left. \begin{aligned} m_D &= \frac{M_D}{M_0}; \quad n = \frac{N}{N_0}; \quad m_D = 1 - n^2; \\ m_T &= \frac{M_T}{M_0} = \frac{2}{3}(1-n); \quad m_{TT} = \frac{M_{TT}}{M_0} = \frac{2}{3}(1+n-2n^2). \end{aligned} \right\} \quad (21.26)$$

Здесь  $M_D$  - момент фибровой текучести;  $M_{TT}$  - возникающий момент, связанный с выхождением в сечении двухсторонней текучести;  $M_0$  - безразмерный предельный момент сечения, вычисленный с учетом влияния  $N$ .

При перерывном варианте  $m_D = m_D$

$$\alpha = \begin{cases} \frac{3\sigma_T}{Eh} m & \text{при } 0 \leq m \leq \frac{2}{3}; \\ \frac{2\sigma_T}{Eh} \frac{1}{\sqrt{3(1-m)}} & \text{при } \frac{2}{3} \leq m \leq 1. \end{cases} \quad (21.27)$$

При  $m = 1$   $\alpha = \infty$  - возникает сдвиг воле балки (известный вид перелома).

21.4. Переломный случай балки несимметричного двустороннего профиля на предельном двустороннем изгибе. Профиль  $F$  балки несимметричного двустороннего профиля при  $F_n^0 = F_n + F_D$  (обозначения см. в § 5) двусторонней текучести реализуется только в предельном состоянии. В упругоэластической стадии

$$\left. \begin{aligned} \alpha &= \frac{4}{9} \frac{\sigma_T}{Eh} \frac{1}{F_D m_D (m_D + 2n) \left[ 1 + \sqrt{1 + \frac{32}{27} \frac{n^2}{m_D (m_D + 2n)^2}} \right]}; \\ m_D &= \alpha_0 (1-m); \\ \alpha_0 &= \frac{F_n}{F_c} + \frac{1}{2} F_c^0; \\ \alpha_1 &= \frac{F_n^0}{F_c}; \quad m = \frac{M(x)}{M_0}. \end{aligned} \right\} \quad (21.28)$$

Если  $F_0^{\text{н}} = F_0 + F_c$  и ось основной осиной можно считать центр тяжести сечения расположенным в продольном поле, (21.26) упрощается

$$\kappa = \frac{\partial \tau}{E \Delta \sqrt{3(1-\nu)}} \quad (21.26)$$

Большое число вариантов дифференциальных уравнений упругопластического изгиба для ряда профилей с учетом упрочнения в продольном или поперечном [42].

## § 22. Расчет балки с помощью пластических функций

**22.1. Поперечный изгиб. Пластическое сечение.** При поперечном изгибе деформации материала балки однозначно определяются значениями кривизны ее оси  $\kappa$  и граничными условиями. Поэтому, если балку из материала упругого материала нагрузить некоторой фактической поперечной нагрузкой  $q_{\text{ф}}$ , подобрав так, чтобы ее кривизна  $\kappa$  во всех сечениях была такой же, как у балки из упругого пластического материала, то деформации и перемещения у обеих балок будут одинаковыми. Поэтому решение задачи можно свести соответственно к рассмотрению упругой балки, нагруженной фактической нагрузкой  $q_{\text{ф}}$ . В данном случае право слово имеет следующее соотношение от  $q_{\text{ф}}$  —  $M_{\text{ф}}(x)$ , известная  $\kappa$  с помощью дифференциальных уравнений упругопластического изгиба, например (21.27) или (21.28), и подстановка ее в дифференциальные уравнения изгиба упругой балки

$$M_{\text{ф}}(x) = E J \kappa. \quad (22.1)$$

Эквивалентная нагрузка  $q_{\text{ф}}$  от эквивалента  $\kappa(x)$  только в пределах пластического участка балки. Это иллюстрируется примером

<sup>1</sup> Этот прием — разновидность метода упругих решений (метода фактической нагрузки), см. § 36.

на рис. 22. Точка пересечения эквивалента  $M_{\text{ф}}(x)$  с линией  $M_{\text{т}}$  (рис. 22,б) есть граница пластического участка балки. (Эквивалент  $M_{\text{ф}}(x)$  показан на рис. 22,а.) На  $M_{\text{ф}}(x)$  удобно выделять ту его часть, которая связана с поперечными пластическими деформациями, — пластическую эквивалентную фактическую нагрузку (пластический момент)

$$M_{\text{п}}(x) = M_{\text{ф}}(x) - M(x) = E J \kappa - M(x), \quad (22.2)$$

который определяется только фактической поперечной  $q_{\text{ф}}$  и действительной нагрузкой на балку. (Эквивалент  $M_{\text{п}}(x)$  показан на рис. 22,в.) Расчет удобно вести раздельно: на эквивалентную нагрузку, вычисляя упругие соответствующие прогибы  $w_{\text{ф}}$ , и на действительную фактическую нагрузку  $q_{\text{ф}}$  и вычисляя пластическую соответствующую прогибы  $w_{\text{п}}$ . Результаты суммируются в соответствии с принципом независимости действия сил, примененным для рассмотренной здесь упругой балки.

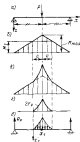


Рис. 22. Схема балки (а); эквивалентная (б), фактическая (в) и пластическая (г) эквивалентная нагрузка; схема эквивалентной балки (д).

Практически нет необходимости переходить от  $M_p(x)$  к  $q_p$ . Можно вести расчет непосредственно по  $M_p(x)$ , используя графоаналитический метод. Этот метод, как известно, основывается на аналогии дифференциальных зависимостей между интенсивностью поперечной нагрузки  $q(x)$ , перемещением балки  $G(x)$  и изгибным моментом  $M(x)$ :

$$q(x) = \frac{dG(x)}{dx} = \frac{d^2M(x)}{dx^2}, \text{ и при этом } \omega', \text{ угол поворота сечения } \omega' \text{ и прогиб } \omega: \omega = \frac{d\omega'}{dx} = \frac{d^2\omega}{dx^2}.$$

Если рассматривать  $X$  как условную нагрузку  $q_y$ , то определяющие силы от этой нагрузки будут равны углам поворота  $\omega'$ , а изгибающие моменты - прогибам  $\omega$ . При этом должно быть соблюдено соответствие граничных условий у балки с заданной опорой и условной нагрузкой. Для упругой балки  $X = \frac{M_{max}}{EJ}$  и вместо  $X$  можно оперировать с  $M(x)$ .

Таким образом, рассматриваемая балка считается и равномерно перемещаемой сил и изгибающим моментам в балке, нагруженной поперечной нагрузкой интенсивностью  $M_p(x)$  (см. рис. 12,а). Поскольку форма этой нагрузки достаточно сложна, расчеты можно существенно упростить, если заранее вычислить площади  $F_p$  и статические моменты  $S_p$  кривой  $M_p(x)$ . Уяснив это понятие по участкам, в пределах каждого из которых  $M(x)$  монотонно возрастает или убывает. Расположив начало координат в начале такого участка, можно записать

$$\begin{aligned} F_p &= \int_0^c M_p(x_1) dx_1; \\ S_p &= \int_0^c M_p(x_1) x_1 dx_1; \\ S_p^1 &= \int_0^c M_p(x_1) (c-x_1) dx_1, \end{aligned} \quad (22.8)$$

Как видно из этих формул, статический момент  $S_p$  вычислен относительно начала участка, где  $M_p(x) = 0$ , а  $S_p^1$  - относительно конца участка, где  $M_p(x)$  имеет наибольшее значение;  $c$  - длина участка. Выразим (22.8) в более простом и удобном виде:

$$F_p = M_0 c \Psi_k; S_p = M_0 c^2 \Psi_k^1; S_p^1 = M_0 c^2 (\Psi_k - \Psi_k^1); \quad (22.4)$$

$$\Psi_k = \int_0^1 m_p(\eta) d\eta; \Psi_k^1 = \int_0^1 m_p(\eta) \eta d\eta; \eta = \frac{x_1}{c}; \quad (22.5)$$

$$m_p(\eta) = \frac{M_p(\eta)}{M_0} = \frac{EJ}{M_0} x(\eta) - m(\eta); m(\eta) = \frac{M(\eta)}{M_0}, \quad (22.6)$$

где  $\Psi_k$  и  $\Psi_k^1$  - безразмерные функции.

В примере на рис. 12 в пределах рассматриваемого пластического участка  $M(x)$  - линейная функция  $x$ , что дает возможность записать

$$m(\eta) = m_T + (m_m - m_T) \eta; m_m = \frac{M_{max}}{M_0}, \quad (22.7)$$

где  $M_{max}$  - наибольший изгибающий момент в пределах пластического участка.

Для сечений заданной формы при заданной форме нагрузки рассматриваемые величины  $\frac{EJ}{M_0} x(\eta)$  в (22.6) зависят только от  $m(\eta)$ . Если же последнее выражается выражением (22.7), то после интегрирования по (22.5) функции  $\Psi_k$  и  $\Psi_k^1$  будут зависеть только от величины  $m_m$ . Проиллюстрируем это на примере

прямоугольного проката, если материал идеальнo упруго-пластический. Подставляя  $\mathcal{M}$  из (22,27) в (22,8), получим

$$m_{\text{н}}(\eta) = \frac{2}{3\sqrt{3}} \frac{1}{\sqrt{1-m(\eta)}} - m(\eta), \quad (22,8)$$

и после интегрирования по (22,5)

$$\left. \begin{aligned} \Psi_1(m_{\text{н}}) &= \frac{4}{3} \frac{1-\sqrt{3(1-m_{\text{н}})}}{3m_{\text{н}}-2} - \frac{1}{8} (3m_{\text{н}}+2); \\ \Psi_2(m_{\text{н}}) &= \frac{4}{9} \frac{2-3m_{\text{н}}\sqrt{3(1-m_{\text{н}})}}{(3m_{\text{н}}-2)^2} - \frac{1}{9} (3m_{\text{н}}+1). \end{aligned} \right\} \quad (22,9)$$

Здесь вместо  $\eta$   $\Psi_1$  и  $\Psi_2$  введено значение  $\lambda = \xi$ , так как для идеального материала составленное линейное уравнение  $m(\eta)$ . Поэтому  $\Psi_1(m_{\text{н}})$  и  $\Psi_2(m_{\text{н}})$  являются линейными алгебраическими функциями  $m$ . Эти значения проведены в табл.2 проката. Не представляется затруднения вычислить  $\Psi_3$  и  $\Psi_4$  для любой заданной нагрузки, формы сечения и параметров материала методом интегрирования, если есть дифференциальные уравнения упругопластического течения (выписаны для  $\mathcal{M}$ ).

**22.2. Средний момент проката в зоне пластичности.** Примеры. Возьмем к примеру, прокатываемую на рис.22, Суммарная нагрузка, действующая на заднюю балку (рис.22,а), симметрична и равна  $2F_{\text{Г}}$ , в реакции опор одинаковы:  $R_{\text{П}} = F_{\text{Г}}$ . Напомним, что здесь реакция  $R_{\text{П}}$  прокатываемая пластической составляющей угла поворота окрестности сечения  $\omega'_{\text{П}}$ . При учете (22,4)

$$R_{\text{П}} = EJ\omega'_{\text{П}} = F_{\text{Г}} = M_0 c \Psi_1(m_{\text{н}}), \quad (22,10)$$

Максимальный момент поперечного проката - величина, пропорциональная пластической составляющей проката в этом сечении (максимального проката), может быть вычислен как

$$EJ\omega_{\text{П}} = R_{\text{П}} \frac{l}{2} = F_{\text{Г}} l,$$

и далее, подставляя (22,4) и (22,10), найдем

$$\begin{aligned} EJ\omega_{\text{П}} &= M_0 c \Psi_1(m_{\text{н}}) \frac{l}{2} = M_0 c^2 \Psi_1(m_{\text{н}}) = \\ &= \Psi_1(m_{\text{н}}) M_0 l \left[ \frac{\sigma_{\text{П}}^2}{2} - \frac{c}{2} \right] \Psi_1(m_{\text{н}}) + \frac{c}{2} \Psi_1(m_{\text{н}}) l. \end{aligned} \quad (22,11)$$

Чтобы вычислить длину пластического участка  $c$ , рассмотрим уравнение изгибаемого момента для заданной балки на участке  $0 \leq x \leq l/2$ :  $M(x) = \frac{F_{\text{Г}}}{2} x$ . При  $x = l/2 = c$  должно быть  $M(c) = M_{\text{П}}$ , что дает  $c = \frac{l}{2} = \frac{2M_{\text{П}}}{F_{\text{Г}}}$ . Напомним,

$$m_{\text{н}} = \frac{M_{\text{П}} \sigma_{\text{П}}}{M_0} = \frac{F_{\text{Г}} l}{4 M_0}, \text{ и остается воспользоваться табл.1}$$

таблицы для определения значений  $\Psi_1(m_{\text{н}})$  и  $\Psi_2(m_{\text{н}})$ .

Чтобы найти угол проката балки  $\omega_{\text{П}}$  и  $\omega_{\text{П}} x$ , лучше использовать полученный результат численным путем составленной программы. Поскольку решение для заданной балки, заданной силой поперечного проката (рис.22,а), величина  $\omega_{\text{П}} = \frac{F_{\text{Г}} l^2}{4 EJ}$  и прокатываем

$\omega_{\text{П}} x = \omega_{\text{П}} + \omega_{\text{П}} x$ . Если деформируем балку упруго (см.

табл.2), то  $\omega_{\text{П}} =$  величина изменения проката при упругой де-

грузки, а  $W_{\text{ост.р.}}$  - остаточные прогибы.

Аналогично можно найти любые другие характеристики перемещений балки. Также прогибы в произвольном сечении

$$EJw_{\text{ост.р.}} = \begin{cases} R_{\text{р.р.}}(x) & \text{при } 0 \leq x \leq \frac{l}{2} - c; \\ R_{\text{р.р.}}x - S'_{\text{р.р.}}(x) & \text{при } \frac{l}{2} - c \leq x \leq \frac{l}{2}, \end{cases} \quad (22.12)$$

$$\text{где } S'_{\text{р.р.}}(x) = M_0 \left( x - \frac{l}{2} + c \right)^2 \left[ \Psi_1(\alpha_0) - \Psi_1(\alpha_1) \right],$$

Здесь  $\alpha_1 = \frac{M_0 c}{M_0}$  играет роль  $\alpha_{\text{ст.}}$ , что принимая, что  $\alpha_0(x)$  по (22.7) известно.

Рассмотрим балку сложной формы - балку, нагруженную силой  $P$  и моментом на опорах (рис.83,а). Эпюры  $M(x)$  и  $M_{\text{р.р.}}(x)$  строятся аналогично предыдущему (рис.83,б и в), только эпюры-графиков здесь уже три: в пролете и в рёбрах, принадлежащих к опорам. Первой, как и в предыдущем примере, мы рассмотрим на две части длиной  $-c_1$  и  $c_2$ . Расчет сводится к определению перемещений бал в известных моментах балки, представленной на рис.83,а. Найдем реакцию левой опоры  $R_{\text{оп.л.}}$ , считая сумму моментов всех сил, действующих на балку относительно правой опоры:

$$R_{\text{оп.л.}}l + F_{\text{р.р.}} \left( l - \frac{S'_{\text{р.р.}}}{F_{\text{р.р.}}} \right) - F_{\text{р.р.}} \left( b + \frac{S'_{\text{р.р.}}}{F_{\text{р.р.}}} \right) - F_{\text{р.р.}} \left( b - \frac{S'_{\text{р.р.}}}{F_{\text{р.р.}}} \right) + S'_{\text{р.р.}} = 0.$$

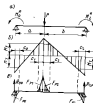


Рис.83. Схема балки (а); эпюры изгибающих моментов  $M(x)$  и  $M_{\text{р.р.}}(x)$  (б, в).



Рис.84. Криволинейная эпюра отклонений эпюры  $M(x)$ .

(Обозначения на рис.83,а.) Сечение, рассмотренное (22.4), получим

$$R_{\text{оп.л.}} = EJw'_{\text{оп.л.}} = M_0 l \left\{ -\frac{c_1}{l} \left( 1 - \frac{c_1}{l} \right) \Psi_1(\alpha_0) + \left[ \frac{b}{l} \left( \frac{c_1^2}{l^2} + \frac{c_2^2}{l^2} \right) + \frac{c_1^2}{l^2} - \frac{c_2^2}{l^2} \right] \Psi_1(\alpha_{\text{оп.л.}}) - \left( \frac{c_1^2}{l^2} - \frac{c_2^2}{l^2} \right) \Psi_1(\alpha_{\text{оп.п.}}) - \frac{c_1^2}{l^2} \Psi_1(\alpha_0) - \Psi_1(\alpha_{\text{оп.л.}}) \right\};$$

$$\alpha_{\text{оп.л.}} = \frac{M_0^{\text{оп.л.}}}{M_0}; \quad \alpha_{\text{оп.п.}} = \frac{M_0^{\text{оп.п.}}}{M_0};$$

$$\alpha_{\text{ст.}} = \frac{l}{M_0} \left[ P \frac{ab}{l} - M_0^{\text{оп.л.}} \left( 1 - \frac{a}{l} \right) - M_0^{\text{оп.п.}} \frac{a}{l} \right]. \quad (22.13)$$

Соответственно минимальный катановский момент для условной балки

$$\begin{aligned} E J W_p \Big|_{x=0} &= R_{0p} \alpha + F_{p0} \left( \alpha - \frac{S'_{p0}}{F_{p0}} \right) - S'_{p0} = \\ &= R_{0p} \alpha + M_p l^2 \left[ \frac{\alpha}{l} - \frac{S'_{p0}}{l} \Psi_1(\alpha_0) \right] - \frac{S'_{p0}}{l} \left[ \Psi_1(\alpha_0) - \right. \\ &\left. - \Psi_1(\alpha_0) \right] - \frac{S'_{p0}}{l} \left[ \Psi_1(\alpha_0) - \Psi_1(\alpha_0) \right]. \end{aligned} \quad (22.14)$$

**22.3. Крутильно-деформационные моменты катановских моментов.** В примерах, рассмотренных выше, катановский момент  $M(x)$  в пределах пластического участка был линейной функцией  $x$  и соответственно использовались линейные пластические функции  $\Psi_1$  и  $\Psi_2$ . В принципе же аппроксимация возможна и для крутильно-деформационной кривой  $M(x)$ , если прибегнуть к ее крутильно-деформационной аппроксимации. Разобьем пластический участок длиной  $c$  (рис.84) на  $j$  произвольных частей и рассмотрим его часть между соседними точками  $i$  и  $i+1$ . Заменим кривую  $M(x)$  прямой, проходящей через точки  $M_{pi-1}$  и  $M_{pi}$ , вычислим площадь и статический момент кривой  $M_p(x)$  и  $\Delta F_{pi}$ . Выражение для катановских моментов в силу сказанного приобретает вид, аналогичный (22.7):

$$\begin{aligned} m_i(\eta^{(i)}) &= m_{pi} + (m_i - m_{pi}) \eta^{(i)}; \\ m_i &= \frac{M_i}{M_0}. \end{aligned} \quad (22.15)$$

Графиком (22.15) на рис.84 изображена прямая-функция кривой, и для него, очевидно, где  $M(x) = M_p$  [линейно-пластический участок], не совпадает с началом координат. Появляется условная

линия пластического участка  $c_i$ , которую можно найти, положив

$$\text{в (22.15) при } \eta^{(i)} = \frac{c_i - \Delta x_i}{c_i} \quad m_i(\eta^{(i)}) = m_{i-1} + \frac{M_{i-1}}{M_0}$$

Получается

$$c_i = \frac{m_i - m_{i-1}}{m_i - m_{i-1}} \Delta x_i. \quad (22.16)$$

Исходя из площади кривой  $M_p(x)$  можно быть вычислена как

$$\Delta F_{pi} = F_{pi} - F_{pi-1}, \quad \text{при учете (22.4)}$$

$$\Delta F_{pi} = M_0 \left[ c_i \Psi_1(m_i) - (c_i - \Delta x_i) \Psi_1(m_{i-1}) \right],$$

Величина  $\Delta S_{pi}$  вычисляется аналогично, но нужно помнить, что статический момент кривой  $M_p(x)$  должен быть найден относительно начала действительного пластического участка:

$$\Delta S_{pi} = \Delta F_{pi} \left( \frac{S_{pi} - S_{pi-1}}{\Delta F_{pi}} - c_i + x_i \right),$$

а по (22.4)

$$S_{pi} - S_{pi-1} = M_0 \left[ c_i^2 \Psi_2(m_i) - (c_i - \Delta x_i)^2 \Psi_2(m_{i-1}) \right],$$

Тем же образом, если

$$\Delta F_{pi} = M_0 c_i \Delta \Psi_{ii}; \quad \Delta S_{pi} = M_0 c_i^2 \Delta \Psi_{ii},$$

то

$$\left. \begin{aligned} \Delta \Psi_{ii} &= \Psi_i(m_i) - \Psi_i(m_{i-1}); \\ \Delta \Psi_{ii} &= \Psi_i(m_i) - \left( \frac{m_{i-1} - m_{i-2}}{m_i - m_{i-1}} \right) \Psi_i(m_{i-1}) - \\ &= \frac{m_{i-1} - m_{i-2}}{m_i - m_{i-1}} \Delta \Psi_{ii}. \end{aligned} \right\} \quad (22.17)$$

Продумавшая  $\Delta F_{pi}$  и  $\Delta S_{pi}$  для всех частей рассмотренного пластического участка балки, найдем для него  $F_p$  и  $S_p$  в форме (22.4):

$$\left. \begin{aligned} Y_k &= \sum_{i=0}^j \frac{c_i}{c} \Delta \Psi_{ii}; \\ \Psi_k &= \sum_{i=0}^j \left( \frac{c_i}{c} \right)^2 \Delta \Psi_{ii}. \end{aligned} \right\} \quad (22.18)$$

**22.4. Особый случай.** Рассмотрим два особых случая, когда применяемое выше правило кусочно-линейной аппроксимации момента  $M(x)$  для вычисления пластических функций  $\Psi_k$  и  $\Psi_k$  одновременно. Если в пределах пластического участка  $M(x) = \text{const}$ , балка находится в условиях чистого изгиба,  $m_i = m_{i-1}$  и по (22.16)  $c_i = \infty$ . Использовать линейные пластические функции

нельзя. Нужно вычислять  $\Psi_k$  и  $\Psi_k$  особо.

Поскольку  $M(x) = \text{const}$ , то по (22.2)  $M_p(x) = \text{const}$ . Тогда, интегрируя по (22.5), получим

$$\left. \begin{aligned} \Psi_0(m_m) &= m_p; \\ \Psi_0(m_m) &= \frac{1}{2} m_p. \end{aligned} \right\} \quad (22.19)$$

Это — кубические пластические функции, так как здесь  $m$  ( $\Psi$ ) — кубическая функция  $\Psi$ . Вычтем  $m_p$  для балки прямоугольного сечения по известному угруглопластического материалу представимому в табл. I приложения.

В качестве примера рассмотрим балку, представленную на рис. 85. Между силами  $P$  здесь  $M(x) = \text{const}$  и  $M_p(x) = \text{const}$ . Пластический участок удобно соответственно разбить на три части: концы длиной  $c$  и среднюю длиной  $c_0$ . Решения теории упругой балки определяются как  $R_p = EJ \omega''_0 = F_p + \frac{1}{2} F_{p0} = M_0 \left[ c \Psi_i(m_m) + \frac{c_0}{2} \Psi_0(m_m) \right]$ ;  $m_m = \frac{Pb}{M_0}$ ,

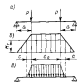


Рис. 85. Схема балки (а); эпюра изгибающих моментов (б) и эпюра упругой балки (в).

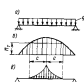


Рис. 86. Схема балки (а); эпюра изгибающих моментов (б) и эпюра упругой балки (в).





торые могут изменяться по длине балки:  $N_p(x) = EF\xi$ , где

$\xi$  - действительные удлинения, определенные дифференциальными уравнениями упругопластического материала. Аналогично (22.2) удобно выписать пластическую составляющую фактической продольной силы

$$N_p(x) = N_p(x) - N = EF\xi - N. \quad (22.2f)$$

Тогда эластическая составляющая обобщенного удлинения ось

балки  $\xi_p = \frac{N_p(x)}{EF}$ , а пластическая составляющая обобщенного удлинения ось в пределах пластического участка

$$\begin{aligned} u_p &= N_0 c X_k; \\ X_k &= \int_0^x n_p(\eta) d\eta; \\ n_p(\eta) &= \frac{N_p(\eta)}{N_0}. \end{aligned} \quad (22.2g)$$

Здесь, как и выше,  $c$  - длина эластического участка;  $N_0$  - предельная продольная сила;  $X_k$  - пластическая функция,

результате

$$\int_0^x \xi d\eta = \frac{N_0}{EF} + \frac{1}{c} u_p, \quad (22.2h)$$

где  $j$  - число эластических участков по длине балки.

Функции  $X_k$  эластически равно нагруженных функций  $Y_k$ ,

$\Psi_k$  и обладают теми же свойствами. Для балки треугольного сечения из идеального упругопластического материала все названные пластические функции могут быть выписаны в общем виде:

линейные пластические функции

$$\begin{aligned} \Psi_0 &= m_p; \\ \Psi_1 &= \frac{1}{2} m_p; \\ X_0 &= n_p; \end{aligned} \quad (22.2i)$$

параболические пластические функции

при  $m_r \leq m_{zm} \leq m_{rr}$

$$\begin{aligned} \Psi_r &= \frac{\delta}{9} \frac{(1-n)^2}{m_c} \left( \frac{m_r}{m_c} - 1 \right) - \frac{1}{2} (m_{zm} + m_r); \\ \Psi_1 &= \frac{3\delta}{27} \frac{(1-n)^2}{m_c^2} \left( \frac{m_r}{m_c} - 1 + \ln \frac{m_r}{m_c} \right) - \frac{1}{6} (2m_{zm} + m_r); \\ X_r &= (1-n) \left[ \frac{\delta}{2} \frac{1-n}{m_c} \left( \frac{m_r}{2m_c} - \frac{1}{2} + \ln \frac{m_r}{m_r} \right) + 1 \right]; \end{aligned}$$

при  $m_{rr} \leq m_{zm} \leq m_0$

$$\begin{aligned} \Psi_r &= \frac{4}{9m_c} \left[ m_0 + n(1-n) \sqrt{3(m_0 - m_{zm})} \right] - \frac{1}{2} (m_{zm} + m_r); \\ \Psi_1 &= \frac{4}{27m_c^2} \left\{ 8(1-n)^2 \left[ \frac{n}{1-n} + \ln(1-n) \right] + [2(m_0 - m_r) + \right. \\ &+ (m_{rr} - m_r)](1-n) - [2(m_0 - m_r) + (m_{zm} - \\ &- m_r)] \sqrt{3(m_0 - m_{zm})} \left. \right\} - \frac{1}{6} (2m_{zm} + m_r); \\ X_r &= \frac{2}{3m_c} \left\{ 4(1-n)^2 \left[ \frac{n}{3m_r} + \ln(1-n) \right] + n \left[ (1-n) - \right. \right. \\ &\left. \left. - \sqrt{3(m_0 - m_{zm})} \right] + \frac{3}{2} (m_{rr} - m_r) \right\} - n; \end{aligned} \quad (22.2j)$$

$$m_c = m_{zm} - m_r; \quad m_n = 1 - n + \frac{m_{zm}}{2};$$

$$m_{zp} = \frac{M_{pmax}}{M_0};$$

при  $m_1 \leq m_{2n} \leq m_{1r}$

$$\varphi_1 = m_1^2 \frac{m_1}{\delta} \left( \frac{l}{m_1} + A \right) - \left( \frac{2}{3} m_1 + m_r \right);$$

$$\psi_2 = m_1^2 \frac{m_1}{\delta} A - \left( \frac{5}{12} m_1 + m_r \right);$$

$$\chi_2 = \frac{3}{2} m_1^2 \frac{m_1}{\delta} \left( \frac{l}{m_1} + A \right) - 3m_1^2 A + (1-n);$$

при  $m_{1r} \leq m_{2n} \leq m_0$

$$\varphi_1 = m_1^2 \frac{m_1}{\delta} \left[ \frac{B-n}{m_r(l-n)} + C \right] + \frac{2}{3\sqrt{3}} D - \left( \frac{2}{3} m_1 + m_r \right); \quad (22.26)$$

$$\psi_2 = \frac{m_1^2}{\delta} \left[ \frac{m_1 B - 2n m_r}{m_r(l-n)} + m_1 C \right] + \frac{2}{3\sqrt{3}} D - \left( \frac{5}{12} m_1 + \frac{1}{2} m_r \right) - \frac{2}{3\sqrt{3} m_1} \left( \sqrt{m_0^2 - m_{1r}^2} - \sqrt{m_0^2 - m_{2n}^2} \right);$$

$$\chi_2 = \frac{3}{2} m_1^2 \frac{m_1}{\delta} \left[ \frac{B-n}{m_r(l-n)} + C \right] - 3m_1^2 C + \frac{2}{\sqrt{3}} D + B - n;$$

$$A = \frac{2}{\sqrt{3}} \arctg \frac{m_1}{\sqrt{\delta}}; \quad B = 1 - \sqrt{\frac{m_{2n} m - m_{1r} l}{m_1}};$$

$$C = \frac{2}{\sqrt{3}} \arctg \frac{m_0}{\sqrt{\delta}} - \arctg \frac{m_0}{\sqrt{\delta}} (1-B);$$

$$D = \frac{l}{m_1} \operatorname{arsh} \sqrt{\frac{m_{2n} m - m_{1r} l}{m_0 - m_{2n}}}; \quad \delta = m_1 (3m_r - m_{2n})$$

Такими значениями этих функций приведены в приложениях табл. I и 2, 22.27. Решение задачи сложного течения балки с применением пластических функций требует использования метода последовательных приближений. Процедура заключалась в том, что применялись методы следующие.

В ряде случаев величинами  $M_{2r}$  по (22.24) с использованием и предыдущего приближения. Сравнивая эти  $M_{2r}$  с  $M_r$  — моментом деформей текучести сечения, вычисляемого с учетом влияния продольной силы  $N$ , определяем приближенность пластического участка (участков)  $s$ .

По величинам  $M_{2rmax}$  и  $N$  определяем значения пластических функций  $\varphi_k$  и  $\psi_k$ . Определим пластическую составляющую прогибов  $w_p$ , так же как при поперечном изгибе, упругую составляющую прогибов  $w_u$  и суммарные прогибы  $w$ .

Очевидно, что прогибы нужно вычислять в тех же сечениях, в которых определялся  $M_{2r}$ . Определенно удобно эти сечения рассматривать как границы участков, в пределах которых  $M_{2r}$  является линейно, полярное осьевым или по углом крутило-линейной деформации  $M_{2r}$  для вычисления  $\varphi_k$  и  $\psi_k$ .

Такой расчет, естественно, достаточно громоздок, но обеспечивает высокую точность. Если в высокой точности нет необходимости, можно пользоваться приближенным методом. Основным его элементом является разделение учета влияния на прогибы поперечной нагрузки и продольной силы [118]. Начальное деление рассматривают только на поперечную нагрузку — расчет балочку поперечного изгиба, вычисляя прогибы. На втором этапе эти прогибы принимают как начальные условия и рассматривают балку балки с начальной изгибом от действия продольной силы.

Если получившиеся от поперечной нагрузки прогибы аппроксимировать синусоидой, можно воспользоваться известным решением упругой балки с растяжением (сжатием) балки с синусоидальной начальной погрешкой [118], из которого

$$w = w_m \sin \frac{\pi x}{l}; \quad w_m = \frac{M_{2rmax}}{l^2 \alpha^2}; \quad \alpha^2 = \frac{N I^2}{\pi^2 E J^2} \quad (22.29)$$

Здесь  $w_{max}$  - максимальный прогиб балки (поперечные пролеты);

$w_{max,0}$  - тот же прогиб при поперечном изгибе балки. Если дана вторая формула (22.29) отклонится в случае, когда пролетные балки  $N$  - радиальношаровые.

Использование решения задачи в таком виде не учитывает содей существующих связей, если форма изогнутой оси балки достаточно близка к окружности, что имеет место для шарнирно-опертой балки с симметричной или двоякой и несимметричной поперечной нагрузкой. Основное преимущество использования выражения (22.29) состоит в том, что при решении задачи поперечного изгиба можно ограничиться только определением максимальных прогибов  $w_{max,0}$ ; необходимость в последовательных приближениях отсутствует, во всех случаях существенно упрощается.

При выборе  $\rho$  в о г р а н и ч е н и я для определения  $N$  также можно использовать метод последовательных приближений. В каждом приближении вычисления выполняются в следующей последовательности.

Решают задачу олонного изгиба балки с использованием значения  $N$  предыдущего приближения и определяют  $w$ .

По знач  $w$  находят  $N_0$  согласно (12.6); по  $N$  предыдущего приближения и результатам расчета балки по олонной изгибу определяют плотностные функции  $X_k$ ; вычисляют  $\int_0^k dx$

по (22.23),  $w_0$  по (12.9) и из уравнения совместности деформаций (12.5) находят  $N$ .

Здесь основным тригонометрическим операцией - вычислением  $w_0$ , тригонометрические операции  $w$  при олонном изгибе в ряде случаев. Если поперечная нагрузка не имеет резко несимметричного характера,

$w_0$  можно вычислить по приближенной формуле

$$w_0 = \beta \frac{w_{max}^2}{l} \quad (22.28)$$

При изгибных расчетах в форме изогнутой оси балки коэффициент  $\beta$  меняется в相当大的 узких пределах. Так, если ось балки-двойная, состоящая из двух отрезков прямых,  $\beta = 2$ . Если ось балки огибается по дуге окружности,  $\beta = 2,67$ . Если это

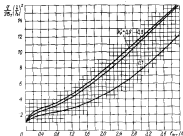


Рис. 22. Влияние максимальных остаточных прогибов пластины с раствором, жестко закрепленной по краям нагрузки, нагруженной равномерно распределенной нагрузкой  $X$  тангенциальной к цилиндрической поверхности.

окружности или косинусоиды,  $\beta = 2,46$ . Поэтому для приближенных расчетов можно принимать  $\beta = 2,4$  и считать его постоянным. Это дает особые выгоды в сочетании с низкими уже приближенными методами расчета олонного изгиба.

**22.8. Остаточные прогибы пластин, жестко закрепленные по цилиндрической поверхности.** Из вышесказанного ясно видно, что расчет пластины в упругоэластической стали даже в простейших случаях сопряжен с весьма большими объемами вычислений, выполнение которых практически невозможно без применения ЭЦМ. Поэтому особенно целесообразно использовать результаты решения, если результаты удастся представить в виде таблиц или графиков, удобных для практического использования.

На рис. 22 представлено диаграмма для приближенного определения максимальных остаточных прогибов  $f_{ост}$  пластины с раствором, жестко закрепленной по цилиндрической поверхности. Пластина нагружена равномерно распределенной нагрузкой интенсивностью  $q$  и

месте заданы на опорной кривой. Указанный коэффициент распу-  
 шения

$$\lambda_p^1 \text{ определяется как } \frac{l}{l_p} = 1 + \frac{AE\lambda}{(1-\mu^2)h}, \text{ где } \lambda - \text{ко-}$$

эффициент пластичности распушенной конструкции по (12,8). Материал  
 пластины - идеальной упругопластичный;  $h$  - толщина пласти-  
 ны;  $l$  - длина короткой стороны ее опорной кривой.

Кривые на диаграмме получены как результат соразмерной ре-  
 зультатов расчета<sup>1</sup>, выполненного на ЭВМ с использованием мето-  
 да, описанного в § 22, для заданных значений  $G$ ,  $\frac{1-\mu^2}{E} \frac{l}{h} =$

$$= 2 \pm 10. \text{ Как видно из рис. 1, максимальная нагрузка в сечении}$$

$f_{\text{ост}}$  от такого соразмерия не превышает 6-7%.

Плохие диаграммы для расчета пластины описаны в упруго-  
 пластичной стадии с учетом напряжений от общего изгиба стержня  
 и от изгиба балки опоры приведены в [10].

#### § 23. Несущая способность свайки в свайно-молотковой стержневой

23.1. Устойчивость свайки стержневой в упругопластичной  
стадии. Устойчивость свайки стержневой в упругой стадии, как из-  
 вестно, исследуется путем рассмотрения его равновесия в состоя-  
 тии с помощью следующего уравнения

$$EJW^{IV} + NW'' = 0, \quad (23.1)$$

Наибольшие значения сжимающей силы  $N$  (в балке ровера с вала),  
 при котором это уравнение имеет ненулевое решение,

$$N_p = \frac{\pi^2 EJ}{l^2}. \quad (23.2)$$

Это известная формула Эйлера. При  $N > N_p$  устойчивой равнове-  
 сной будет изогнутая форма стержня (стержень изгибается, т. е. -

<sup>1</sup> Расчеты выполнены Б.К.Толкиным по составленной им программе.

рост устойчивости). При  $N = N_p$  устойчивыми равновесными осязательными являются и прямая линия, и криволинейная форма (прямая и изогнутая формы устойчивого равновесия). Формула (23.2) справедлива, пока зависимость между сжимающей нагрузкой  $G = N/F$  и относительным удлинением пластины, т. е.  $\delta < \delta_{\text{пл}}$  - предел пропорциональности матери-  
 ала.

Если стержень в момент потери устойчивости приходит к равнове-  
 сию в его сечении координатных осей  $\Delta \delta$ , а сечение разобьется на две части:  $F_1$  и  $F_2$  - соответственно свайку и ростверк. Неплоскостными изгибными напряжениями, вызы-  
 вая  $\delta$  близко к  $\delta_{\text{пл}}$  или превосходит его, то в области  $F_1$ , где напряжения от свайки и изгиба суммируются, могут появиться пластические деформации, а распределение напряжений по высоте сечения будет иметь вид изгибаемого. В области сечения  $F_2$  изгиб вызывает сжатие изгибом, ростверку, которая, как известно, имеет упругий характер.

Если в виду, что изгибные деформации стержня в момент по-  
 тери устойчивости малы, а незначительное распределение напряже-  
 ний в области  $F_1$  обычно не считается в дан. устойчивости свайки  
 между  $\Delta \delta$  и соответствующими деформациями  $\Delta \xi$  использовать  
 касательный модуль  $E_K = \frac{\Delta \delta}{\Delta \xi} \approx \frac{\Delta \delta}{\Delta \xi}$ , ре-  
 шив тангенсу угла наклона касательной к диаграмме напряжений при  
 разрыве в точке, отмеченной напряжением  $G$ . Тогда для  $F_1$   
 $\Delta \delta = [K_N X_N Z]$ , где  $X_N$  - кривая изогнутого нетривиаль-  
 ного слоя в сечении стержня. Для области  $F_2$  деформация свайки ро-  
 стверку имеет упругий характер, и  $\Delta \delta = [X_M Z]$ .

Если свайка  $N = \text{const}$  и рассмотреть только допустимые  
 неплоскостные изгибы, то условия равновесия пластины и

$$\text{внутренней сил в сечении представляется как } \int \Delta \delta \delta F = 0;$$

$$\int \delta = \Delta \delta Z \delta F = M. \quad \text{Подставив известные } \Delta \delta \text{ и поль-}$$

где  $z \geq 0$  в области  $F_+$ , получим

$$E S_+ + E_K S_- = 0; (E J_+ + E_K J_-) \chi_{xx} = M, \quad (23.3)$$

где  $S_+$  и  $S_-$  — статические моменты площади  $F_+$  и  $F_-$ , вычисленные относительно нейтральной оси;  $J_+$  и  $J_-$  — аналогичные моменты инерции  $F_+$  и  $F_-$ .

Если обозначить

$$E_T = \frac{E J_+ + E_K J_-}{J} \quad (23.4)$$

и учесть, что  $\chi_{xx} = -\omega''$ , а  $M = N\omega$ , второе уравнение (23.3), преобразует в  $E_T J \omega'''' + N\omega = 0$ . После повторного дифференцирования оно будет идентично с (23.1) только вместо  $E_T$ , а поэтому имеет максимальное значение статической силы  $N$  (критической или), аналогичное (23.2):

$$N_{кр}'' = \frac{\pi^2 E_T J}{l^2}, \quad (23.5)$$

$E_T$  по (23.4) можно представить в виде

Для стержня прямоугольного профиля, если  $h_+$  и  $h_-$  — высоты соответственно растянутой и сжатой частей площади сечения, по (23.3)

$$E b \frac{h_+^3}{2} - E_K b \frac{h_-^3}{2} = 0 \text{ и } \frac{h_+}{h_-} = \sqrt{\frac{E_K}{E}}.$$

Так как  $h_+ + h_- = h$  — высота сечения, то

$$h_+ = h \frac{\sqrt{E_K}}{\sqrt{E} + \sqrt{E_K}}; \quad h_- = h \frac{\sqrt{E}}{\sqrt{E} + \sqrt{E_K}}.$$

Учитывая последнее, по (23.4)

$$E_T = \frac{E \frac{h_+^3}{J} + E_K \frac{h_-^3}{J}}{\frac{h^3}{J}} = \frac{4 E E_K}{(\sqrt{E} + \sqrt{E_K})^2}. \quad (23.6)$$

**23.2. Влияние деформации сжатой оси.** Если считать, что в момент потери устойчивости сжимающая сила  $N$  не постоянна, а возрастает (это так называемая концепция Ф.Вилла), в области  $F_-$  дополнительные случайные растягивающие напряжения  $\Delta \sigma$  могут вызвать сконцентрированными сжимающими напряжениями вследствие увеличения  $N$ . Тогда деформация здесь не происходит. Если распространить на эту область законы, полученные выше применительно к области  $F_+$ , здесь также будет  $\Delta \sigma = -E_K \chi_{xx}$ , а (23.4) придется заменить  $E$  на  $E_K$  и  $E_T$  заменить равным  $E_K$ . Тогда вместо (23.5) мы получим

$$N_{кр}'' = \frac{\pi^2 E_K J}{l^2}. \quad (23.7)$$

Сравнение (23.5) и (23.7) показывает, что учет в деформации  $N$  в момент потери устойчивости приводит к снижению критической силы, так как  $E_K < E_T$ . (Подробнее см. в [28, 62], а также обзор [58]. В [28], в частности, показано, что (23.7) остается справедливой и в случае, если, помимо не возрастания  $N$ , деформация происходит. Интересные результаты получены в [48].) В ортотропных решетках [26, 68, 118] как определяющая  $N_{кр}$  получается кривая, построенная в основном по данным экспериментов. Для стержня круглого сечения даже на рас.90 пунктирной линией. Там обозначено:

$$O_0 = N_0 / F; \quad O_{кр} = N_{кр} / F.$$

**23.3. Влияние неоднородности свойств материала сечения.** Влияние неоднородности материала на величину критической нагрузки. Если с осевого набора в плоскости сечения имеются не только случайные пре-

моделью (когда имеют конечные погрешки), так же как сжимаемая ось никогда не будет прямой строго по оси стержня. Эти так называемые начальные несовершенства в могут существенно влиять на критическую нагрузку. Но-во-ник в стержне поддается изгибу и соответственно прогибы при  $N < N_{кр}$ . Они велики, если начальные несовершенства незначительны, но при  $N$ , близкой к  $N_{кр}$ , является резкий рост прогибов. Этот, как известно, и определяет практическая ценность расчетов на устойчивость.

Влияние начальных несовершенств на  $N_{кр}$  может быть учтено путем оценки лучшей способности сжатого-изогнутого стержня. Расчет такого стержня — это частный случай расчета сложного изгиба, когда изгибы нагрузки отсутствуют. Поэтому здесь могут быть применены рассмотренные методы, изложенные в предыдущем параграфе, нужно только в  $M_z$  положить  $M(x) = 0$  и к прогибу прибавить  $w_N$  — стрелку начальной погрешки или величину эксцентриситета сжимающей оси:

$$M_z = N(w_N + w). \quad (23,8)$$

(Здесь учтен знак оси  $N$ .) С ростом  $N$  одновременно растут  $w$ . Поэтому зависимость  $M_z$  от  $N$  и соответственно  $w$  от  $N$  нелинейна. Для линейной характеристики изгиба момента (рис. 89), отвечающее этому максимуму значение  $N$  есть критическое значение сжимающей продольной оси  $N_{кр}$ , при достижении которого несущая способность стержня истощается. Если задача расчета ограничивается определением  $N_{кр}$ , можно использовать график  $N - w$  на рисунке. При этом, как правило, желательно рассматривать сечение, где стрелка прогиба стержня максимальна  $w_m$ , ибо при обычно встречающихся значениях несовершенств в этом сечении  $M_z = M_{z \max}$ . Тогда при

$$N = N_{кр} \frac{dN}{d w_m} = 0. \quad \text{Этому условию можно придать в более}$$

удобную форму. Возьмем колдов дифференциал  $M_{z \max}$ , используя (23,8)

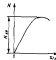


Рис. 89. Зависимость момента от сжимающей оси у стержня с начальной погрешкой.

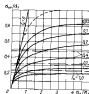


Рис. 90. Влияние начальной погрешки на величину способности сжатых стержней сжатых стержней прямоугольного сечения.

$$d M_{z \max} = N d w_m + (f_N + w_m) d N$$

( $f_N$  — максимальная стрелка начальной погрешки или величина эксцентриситета  $N$ ). Разделив обе части на  $d w_m$ , получим

$$\frac{d M_{z \max}}{d w_m} = N + (f_N + w_m) \frac{d N}{d w_m}.$$

Откуда, учитывая, что  $\frac{d N}{d w_m} = 0$ ,

$$N_{кр} = \frac{d M_{z \max}}{d w_m}. \quad (23,9)$$

Подставив ось  $M_{z \max}$  из дифференциального уравнения упругоэластического изгиба, получим зависимость, которая вместе с (23,8) позволяет найти  $N_{кр}$  и  $w_m$ . Проинтегрируем это на примере стержня прямоугольного сечения из идеального упругоэластического материала. Здесь из (23,34) для случая

односторонней текучести ( $m_1 \ll m_2 \ll m_{1+2}$ )

$$m_2 = 2(1-n)\sqrt{1 - \frac{2}{3}(1-n)\frac{2\sigma_2}{E\lambda_2}} \quad (23.10)$$

Если считать, что стержень изгибается по окружности

$$w = w_m \sin \frac{\pi x}{l}, \quad \text{то кривая } X = -\frac{d^2 w}{dx^2} =$$

$$= \left(\frac{\pi}{l}\right)^2 w_m \sin \frac{\pi x}{l}. \quad \text{Тогда максимальный изгибаемый}$$

момент (по середине стержня)

$$m_{2m} = 2(1-n)\left(1 - \frac{2}{3}\sqrt{\frac{1-n}{6n_2 w_m}}\right); \quad (23.11)$$

$$n_2 = \frac{N_2}{N_0}; \quad \bar{w}_m = \frac{w_m}{h},$$

где  $N_2$  определяется по (23.3). Подставив это в (20.9), получим уравнение, из которого

$$\bar{w}_m = \frac{1-n_{кр}}{6n_{кр}} \sqrt{\frac{n_{кр}}{n_2}}; \quad n_{кр} = \frac{N_{кр}}{N_0}. \quad (23.12)$$

Теперь можно подставить (23.11) в (23.8), что даст

$$\bar{f}_H = \frac{1-n_{кр}}{2n_{кр}} \left(1 - \sqrt{\frac{n_{кр}}{n_2}}\right); \quad f_H = \frac{f_n}{h}. \quad (23.13)$$

Применимость этого результата ограничена условием

$n_2 \ll m_2 \ll m_{1+2}$ . Подставив в это неравенство  $m_2$  и  $m_{1+2}$  из (23.10) с помощью (23.8) и (23.11)-(23.13), не-

трудно заметить, что нижняя граница может быть достигнута только при  $\bar{f}_H = 0$  и при этом  $n_{кр} = n_2$ , т.е. потерянная нагрузка вследствие неоднородности в узловой стержня может произойти только при отсутствии начальной нагрузки, и критическая нагрузка будет равна Eulerовой по (23.2). Верхняя граница даст ограничение

$$\bar{f}_H \ll \frac{1-n_{кр}}{2}. \quad (23.14)$$

При  $\bar{f}_H \approx \frac{1-n_{кр}}{2}$  и  $N_{кр}$  в стержне реализуется

двухсторонняя текучесть. Для этого случая из (23.10)

$$m_2 = m_0 - \frac{4}{3} \frac{\sigma_2^2}{E^2 \lambda_2^2} \frac{l}{h^2}. \quad (23.15)$$

Раскрывая квадратичное предположение, получим

$$m_{2m} = m_0 - \frac{l}{108 n_2^2} \frac{1}{\omega h^2};$$

$$\bar{w}_m = \frac{l}{6n_{кр}} \sqrt{\left(\frac{n_{кр}}{n_2}\right)^2}; \quad (23.16)$$

$$\bar{f}_H = \frac{l}{4n_{кр}} \left[ m_0 - \sqrt{\left(\frac{n_{кр}}{n_2}\right)^2} \right]$$

Если в последней положить  $\tau_{12} = \tau_0$ , мы получим логико-математическое решение (см. § 12):

$$\bar{r}_0 = \frac{r - R_{кр}^2}{4 + R_{кр}}, \quad (23.17)$$

Здесь учтем (21,26). Результаты расчетов, выполненных с помощью данного решения, представлены на рис. 90 в виде графиков, характеризующих влияние аналитической модели на крутильный момент (штриховые). Штриховая кривая — экспериментальные данные для стальных стержней без учета [118] адвентурной ограниченности возможности использования представлений об идеальном упругопластическом материале для последующей устойчивости. Штрих-пунктирные кривые — логико-математическое решение по (23.17). Как видно из рисунка, оно совпадает с  $N_{кр}$  и может дать приемлемые результаты даже для весьма жестких стержней при больших аналитических погрешках. При упругом материале этот элемент  $N_{кр}$  на 5-7% [36]. Подробнее рассмотрим вопросы влияния в [35], [115].

### § 24. Кручение. Упругопластический случай несимметричного вала

**24.1. Упругопластическое состояние.** Для кручения сечений и распределение касательных напряжений вдоль его радиуса рассмотрим более (см. § 10). На рис. 27, б для идеального упругопластического материала следует:

$$\tau = \begin{cases} \tau_r \frac{r}{a} & \text{при } 0 \leq r \leq a; \\ \tau_r & \text{при } a \leq r \leq \frac{D}{2}, \end{cases} \quad (24.1)$$

где  $a$  — радиус границы упругой зоны (упругого ядра сечения).

Тогда крутильный момент

$$M_{кр} = 2\pi \int_0^a \tau r^2 dr = M_{ок} - \frac{\pi \tau_r}{6} a^3, \quad (24.2)$$

где  $M_{ок}$  — предельный момент сечения при кручении по (10.1).

Для определения упругого ядра рассмотрим деформации в сечении. Связки по равным площадям  $\gamma$ , как известно, концентрируются вокруг радиуса  $\bar{r}_0$  и пропорциональны относительному углу закручивания  $\frac{d\theta}{dx} : \gamma = r \frac{d\theta}{dx}$ ; соответственно

в пределах упругого ядра  $\tau = G r \frac{d\theta}{dx}$ . На его границе

при  $r = a$   $\tau = \tau_r$ , откуда  $a = \frac{\tau_r}{G} \frac{d\theta}{dx}$ . Подставим это в (24.2), получим

$$\frac{d\theta}{dx} = \frac{\tau_r}{G} \frac{r}{\sqrt{\pi \tau_r} (M_{ок} - M_{кр})}. \quad (24.3)$$

При  $M_{ок} - M_{кр} \frac{d\theta}{dx} = \infty$  достигается предельное состояние. Интересно, что уже при  $a = D/4$   $M_{кр} = 0,933 M_{ок}$ , т.е. состояние, близкое к предельному, реализуется при относительно небольших значениях  $\frac{d\theta}{dx}$ .

Для округлых стержней аналитическое решение имеет упругопластическое кручение связано с большими трудностями. Здесь решение представляется в виде аналогии Навье, которая использована в § 10 применительно к предельному состоянию [36]. Чтобы уло-

использовать уравнение равновесия  $\frac{\partial \sigma_{xx}}{\partial x} + \frac{\partial \tau_{xy}}{\partial y} = 0$ .

можно воспользоваться функцией напряжений  $\Psi$ , связанной с напряженным состоянием тела [10,5]. Во выражениях для упругих и пластических зон сечения  $\Psi_e$  и  $\Psi_p$ , соответственно, будут равны:  $\Psi_p$ , как видно в § 10, представляет собой поверхность равного сдвига;  $\Psi_e$ , как известно из упругих решений, совпадает с уравнением, вытекающим уравнением совместности деформаций упругой мембраны, нагруженной равномерным давлением.

На границе упругой и пластической зон из условия непрерывности напряжений  $\frac{\partial \Psi_e}{\partial x} = \frac{\partial \Psi_p}{\partial x}$  и  $\frac{\partial \Psi_e}{\partial y} = \frac{\partial \Psi_p}{\partial y}$ .

т.е.  $\Psi_e = \Psi_p + const$ . Это позволяет прибегнуть к условному обозначению. Так контур рассматриваемого сечения строит востере „краю“ равного сдвига. Основные края достигают мембраной, которая нагружена равномерным давлением. В отдельных зонах мембрана будет прилегать к „краю“; эти зоны по мере нагружения будут увеличиваться. Проклятия этих зон на основных „краях“ совпадут с пластическими зонами сечений, в общем, ограниченной мембраной в этом состоянии, будет пропорциональна удвоенному крутящему моменту. На рис.91 для примера показано развитие пластических зон при кручении стержня прямоугольного сечения. (Пластические зоны заштрихованы.)

### 24.2. Упругопластический изгиб несимметричного профиля<sup>1</sup>.

Рассмотрим упругопластический изгиб балки любого несимметричного профиля, сечение которой представлено, приведенные выше в аналогичной задаче предельного равновесия (см. § 10); величина нагрузки на изгибность  $q$  действует в плоскости сечения; величина изгибающих напряжений, возникающих в сечении можно пренебречь; материал — идеальный упругопластический. Форма профиля и обозначения показаны на рис.40. Предполагается, что перед сгибанием профилем в плоскости ее наименьшей кривизны влечет за собой из-

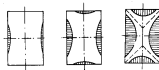


Рис.91. Пластические зоны в сечении прямоугольного стержня при кручении.

гиб продольного центра обшивки в плоскости, перпендикулярной оси балки, как показано на рис.38.

Отметим попутно от сдвига и кручения в сечении балки возможно наличие распределенных касательных усилий  $T$  и нормальных усилий  $N$  (рис.32). Рассмотрим теперь жесткий стержень с произвольным профилем как изогнутой балки тороидального профиля, нагруженной изогнутой нагрузкой  $q$  и изогнутой продольными усилиями  $T$ . Суммарный изгибающий момент в сечении такой балки

$$M_{\Sigma} = M(x) - Nh; \quad (24.4)$$

$$N = \int_0^T T dx + T_0,$$

где  $M(x)$  — изгибающий момент от нагрузки  $q$ ;  $T_0$  — значение  $T$  в начале координат. Для шарнирно-опертой балки, если начало координат расположено на опоре,  $T_0 = 0$  и

$$\int_0^L T dx = 0.$$

Во наиболее распространенный вид (24.4) принято, что центр тяжести сечения рассматриваемого тора расположен в произвольном месте. Это позволяет воспользоваться приведенным уравнением упруго-пластического изгиба в форме (24.29):

<sup>1</sup> Восточный раздел написан совместно с В.П.Кожаном.

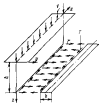


Рис. 92. Стена усложн в форме не-симметричного профиля.

$$\alpha = \frac{d_T}{Eh} \sqrt{\frac{1}{3(1-\mu_D^2)}};$$

$$\mu_{Dc} = \frac{M_{Dc}}{M_{Dc}}; \quad (24.5)$$

$$M_{Dc} = \frac{1}{2} G_T F_c h.$$

Если  $N$  в (24.4) определена, это уравнение позволяет определить профиль балки  $w$ , пользуясь, например, пластическими функциями (см. § 22). Предельные удлинения в стене по длине ее соединения со свободным полем

$$\epsilon_h = \alpha h. \quad (24.6)$$

Рассмотрим край стены в плоскости  $yOz$  (см. рис. 92) с высотой  $h$ . Приближенно возьмем его цилиндрическим, поскольку стена — весьма тонкая прямоугольная пластина, ограниченной решением для балки-полоски, представленной на рис. 93, а. Это — модель с упругой защелкой на конце, описанной в предыдущей гл.

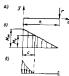


Рис. 93. Стена балки (а); кривая растягивающих моментов (б) в стене усложн балки (а).

конец обшивки. Для ее расчета можно прибегнуть к пластическим функциям (см. § 22). Угловая составляющая максимального прогиба

$$v_{e,m} = \frac{r h^3}{3 D_c} + \alpha M_m h, \quad \text{где } \alpha - \text{коэффициент ш-}$$

дательности обшивки;  $M_m$  — изгибающий момент в стенке (рис. 93, б);  $D_c$  — цилиндрическая жесткость стены.

Если считать, что край пластины обшивки, к которой присоединена стена, также цилиндрической, то, учитывая форму ее кривой, показанную на рис. 29, ее растягивающую силу можно считать в первом приближении, нагруженной поперечно моментом  $M_m$ , с длиной пролета  $l$ , равной расстоянию между балками набора. Тогда

$$\alpha = \frac{6}{24 D_m}, \quad \text{Учитывая, что } D_c = \frac{E \delta^3}{12 (1 - \mu^2)};$$

$$D_m = \frac{E t^3}{12 (1 - \mu^2)}; \quad M_m = r h, \quad \text{случае равномерного}$$

напряжения

$$D_c v_{e,m} = \frac{1}{3} r h^3 \left( l + \frac{1}{\delta} \cdot \frac{6}{h} \cdot \frac{\delta^3}{t} \right). \quad (24.7)$$

Чтобы определить пластическую составляющую прогиба  $v_{p,m}$ , рассмотрим усложненную балку, нагруженную распределенной нагрузкой с интенсивностью  $M_p(x)$  (рис. 93, в). Здесь, как принято в прикладном методе, введенная перекосами на продольном направлении балки, чтобы удовлетворять граничным условиям. Случай рассмотрен в § 22, имеет

$$D_c v_{p,m} = M_{Dc}' ch \left( \eta_1 - \frac{\rho}{h} \psi_1 \right), \quad (24.8)$$

где  $\eta_1$  и  $\psi_1$  — известные пластические функции из (22.9) для

тогда приравняем при  $n = 0$ , определяемые по  $M_{0c} =$

$$= \frac{M_{0c}^1}{M_{0c}^2}; \quad M_{0c}^1 = \sigma_T \frac{\delta^2}{4}. \text{ Если известна плотность}$$

$$c = h \left( 1 - \frac{M_{0c}}{M_{0c}^1} \right); \quad M_{0c}^2 = \sigma_T \frac{\delta^2}{8}. \text{ Позней проба}$$

балки-полоски  $U_{0c} = U_{c0} + U_{p0}$ .

Возможное зерно, если считать, что на условиях пластичности материала стержня не означают значимого влияния напряжений от изгиба в двух плоскостях. Также получаем равномерно, поскольку изгиба свободного конца (где разрывом пластических деформаций от изгиба стержня в плоскости  $xOz$ ) напряжения от изгиба в плоскости  $yOz$  максимальны, а изгибы продольного конца (где разрывом пластических деформаций от изгиба стержня в плоскости  $yOz$ ) максимальны напряжения от ее изгиба в плоскости  $xOz$ . Это, однако, не позволяет использовать данное решение в случае, когда пластические деформации охватывают большую часть профиля.

Обратимся к рассмотрению свободного конца. Его расчетная схема (см. рис. 92) - балка прямоугольного профиля, нагруженная распределенной поперечной нагрузкой интенсивностью  $\gamma$  и сосредоточенно приложенными продольными усилиями  $N$ . Суммарный изгибающий момент в сечении здесь

$$M_{zn} = -M_n(x) + N \frac{b}{2} \quad (24.9)$$

где  $M_n(x)$  - изгибающий момент от  $\gamma$ .

Прогибы конца  $U$  могут быть найдены с использованием известной функции (см. § 22), вычисленных с учетом  $N \neq 0$ . Прогибы удлинения в конце на криво, прилегающей к стержню,

$$\epsilon_h = \epsilon_n + \kappa_n \frac{b}{2}, \quad (24.10)$$

где  $\epsilon_n$  и  $\kappa_n$  определяются по (21.23) - (21.26), если заменить  $h$  на  $b$ , находить предельный момент как  $M_0 = \sigma_T \frac{b\delta^2}{4}$ , а в качестве  $M_z$  принять  $M_{zn}$  по (24.9).

Теперь нужно записать условия совместности деформаций свободного конца и стержня. Для этого следует приравнять  $\epsilon_h$  по (24.6) и (24.10) и прогибы  $U_n$  стержня по (24.7) и (24.8) к  $U$  прогибам, определяемым на расчете конца:

$$\kappa h = \epsilon_n + \kappa_n \frac{b}{2}; \quad U_{c0} + U_{p0} = U. \quad (24.11)$$

Совместное решение этих уравнений позволяет определить неизвестные усилия  $\gamma$  и  $N$ . Решение возможно только численно с использованием метода последовательных приближений. В качестве начального приближения можно принять упругое решение. Для угнутой стержня для стержня в (24.6) можно положить сразу  $\kappa$

$$\epsilon_h = \frac{M(x) - N_0 b}{E J_c}; \quad J_c = \frac{F_c h^3}{3}. \quad (24.12)$$

Для конца по (24.10)

$$\epsilon_h = \frac{N}{E J_n} + \frac{b}{2} \frac{d^2 u}{dx^2}. \quad (24.13)$$

Приравняем их, найдем

$$N = \frac{\frac{M(x)}{E J_c} h - \frac{b}{2} \frac{d^2 u}{dx^2}}{\frac{3}{E F_c} + \frac{1}{E J_n}}. \quad (24.14)$$

Прогиб плоски определяем по дифференциальному уравнению изгиба

$$E J_0 \frac{d^2 v}{dx^2} = -M_0(x) + N \frac{b}{2}; \quad J_0 = \frac{b^3 t}{12},$$

или

$$E J_0 \frac{d^2 v}{dx^2} = -r + \frac{d^2 N}{dx^2} \frac{b}{2}. \quad (24.15)$$

Подставим сюда  $r$  по (24.7) и  $N$  по (24.14), учитывая,

что  $\frac{d^2 M}{dx^2} = q$ . Тогда

$$E J_0 \frac{d^2 v}{dx^2} + k v = q_{np}; \quad (24.16)$$

$$J_{np} = \frac{r_0 b^2}{12} \left( 1 + \frac{1}{\frac{1}{2} + \frac{r_0}{r_c}} \right);$$

$$q_{np} = q \frac{\frac{1}{2} + \frac{b}{k}}{1 + \frac{1}{2} + \frac{r_0}{r_c}};$$

$$k = \frac{E}{12(1-\mu^2)} \left( \frac{\delta}{h} \right)^3 \frac{1}{1 + \frac{1}{2} + \frac{r_0}{k} \frac{\delta^2}{t^2}}. \quad (24.17)$$

Это — уравнение балки, лежащей на опловном упругом основании. Полученный результат совпадает с решением [2] и хорошо соответствует данным экспериментов (см. § 10) как для упругой, так и для вязкоупругоупругой стали.

Для вычислений в данной задаче при упруго-пластическом деформировании материала удобнее применить метод, позволяющий учитывать нагрузку  $q$  путем небольших приращений  $\Delta q$  с тем, чтобы результаты последующего шага неслись от результатов предыдущего шага. Прямикриволинейно выполняемый упругий расчет с координатными элементами решетки для балки по (24.16) выполняется по формулам:  $v$  — по (24.14),  $r$  — по (24.15). Это позволяет выполнить независимый расчет стержня в рассматриваемом поперечном сечении как балки тороидального профиля, определяя напряжения в ней изгибаем, и подобрать значения внешней нагрузки  $q_T$  — отягивающее напряжение в балке перед пластическими деформациями.

Для первого шага применяет  $q = q_T + \Delta q$  и соответственно  $N = N_T + \Delta N$ ;  $r = r_T + \Delta r$ ;  $N_T$  и  $r_T$  относятся  $N$  и  $r$  по упругому расчету при  $q = q_T$ ; их приращения  $\Delta N$  и  $\Delta r$  берут пропорционально  $\Delta q$ . По этим значениям  $N$  и  $r$  с помощью (24.4) — (24.6) определяем удлинение в стержне по длине по сравнению со свободным поперечным  $\epsilon_A$ . Используя (24.9), по тем же  $N$  и  $r$  с помощью пластических функций выполняем расчет свободного поперечного сечения (24.10) также определяем  $\epsilon_A$ . Сравнивая последнее с соответствующим значением  $\epsilon_A$ , вычисленным в стержне, находим величину  $\epsilon_A$ . Если эти величины совпадают, корректируем значение  $\Delta r$ , и расчет поперечного сечения. В случае несоответствия затем выполняем еще дополнительные корректировки  $\Delta r$ , пока величина  $\epsilon_A$  не окажется меньше заданного уровня. В случае, если уже при первом расчете поперечного сечения  $\epsilon_A$  окажется большим, уменьшаем шаг нагрузки  $\Delta q$ , и расчет выполняем заново.

По найденным значениям  $r$  и известным значениям  $N = N_T + \Delta N$  с помощью (24.7) и (24.10) выполняем прогиб стержня в плоскости ее максимальной жесткости  $v$ . Последнее приращение  $\Delta q$  от прогиба свободного поперечного сечения, полученное на предыдущем этапе расчета, и находим величину  $v$ . Если эти величины совпадают, корректируем значение  $\Delta N$  и делаем повторный расчет или расчеты плоски с уточнением  $r$ . Такие вычисления

с корректировкой  $\Delta N$  выполняете несколько раз, пока величина  $v$  не окажется ниже заданного уровня. В случае, если величина  $v$  уже в первом расчете стенки окажется большой, уменьшают шаг нагрузки  $\Delta q$ , и расчет выполняют заново.

По завершению начальной итерации шага, когда найдем значения  $N$  и  $r$ , отвечающие принятому  $q$  (обозначим их  $N_1$ ,  $r_1$  и  $q_1$ ), вычисляем их приращение  $\Delta q_1 = q_1 - q_0$ ;

$\Delta r_1 = r_1 - r_0$ ;  $\Delta N_1 = N_1 - N_0$ , и для второго шага в

качестве исходных принимаем  $q = q_1 + \Delta q_1$ ;  $r = r_1 + \Delta r_1$ ;

$N = N_1 + \Delta N_1$ . Вычисляем ту же процедуру для второго шага

не отличаясь от основной итерации. Это относится и к любому  $(i+1)$ -му шагу. Для последнего в качестве исходных принимаем

$q = q_i + \Delta q_i$ ;  $r = r_i + \Delta r_i$ ;  $N = N_i + \Delta N_i$ ,

где  $\Delta q_i = q_i - q_{i-1}$ ;  $\Delta r_i = r_i - r_{i-1}$ ;  $\Delta N_i = N_i - N_{i-1}$ .

Опыт использования указанного алгоритма показывает, что процесс корректировки  $r$  и  $N$  в каждом шаге быстро сходится, если  $\Delta q$  выбрано достаточно малым. Поверившись о возможности пластической деформации качественно заметен таким же, как в упругой стенке, лишь увеличивается скорость роста прогиба  $w$  и величина отклонений  $U$ . Исследовать особенности ее работы при развитии пластической деформации, когда нагрузка приближается к предельной, такое решение не позволяет, ибо в нем не учтена зависимость вязкоупругих и вязкоупругоупругих свойств лок и стенки от ее деформации и остаточной деформации. Кроме того, при расчете рассмотренных балок нельзя игнорировать зависимость порядка устойчивости плоской формы латекса [26, 226].

§ 2. Уравнения упруговязкоупругого латекса пластики

§ 2.1. Уравнения вязкого течения пластики. Наиболее распространенная у нас в стране полуклассическая форма дифференциальных уравнений упруговязкоупругого латекса пластики, предложенная А.А.Клишиным [21], которая основана на теории деформации (см. § 3). Материал предполагается несжимаемым; среднее удлинение по [2, 9]

$\varepsilon_3 = 0$ . Используем гипотезу Киргиффа - Лива и возмущенность напряжений и деформаций от деформаций прерывающихся сил (см. § 16, где также приведены уравнения равновесия и совместности деформаций пластики) приходим к тому, что материал пластики находится в классном напряженном состоянии, когда  $\sigma_{11}^0 = \sigma_{22}^0 = 0$  и  $\gamma_{12} = \gamma_{21} = 0$ , а в силу несжимаемости материал  $\varepsilon_3 = -(\varepsilon_x + \varepsilon_y)$ .

Учитывая это, можно представить физические уравнения теории деформации (3.13) для элемента пластики, параллельного срединной плоскости и отстоящего от нее на  $z$ , в следующей форме:

$$\sigma_x = \frac{4G_1}{3\varepsilon_1} \left( \varepsilon_x^{(2)} + \frac{1}{2} \varepsilon_y^{(2)} \right); \quad \sigma_y = \frac{4G_1}{3\varepsilon_1} \left( \varepsilon_y^{(2)} + \frac{1}{2} \varepsilon_x^{(2)} \right);$$

$$\tau_{xy} = \frac{G_1}{3\varepsilon_1} \gamma_{xy}^{(2)}. \quad (26.1)$$

Нормальность деформаций и деформаций по (3.14) и (3.12) здесь приобретает вид

$$\sigma_z = \sqrt{\sigma_x^2 - \sigma_y^2 + \sigma_y^2 + 3\tau_{xy}^2} ; \quad (25.2)$$

$$\varepsilon_z = \sqrt{\left(\varepsilon_x^{(1)}\right)^2 + \varepsilon_x^{(2)} \varepsilon_y^{(2)} + \left(\varepsilon_y^{(2)}\right)^2 + \frac{7}{4} \left(\gamma_{xy}^{(2)}\right)^2} . \quad (25.3)$$

Если в (25.3) компоненты деформаций выразить через заданные в средине срединной плоскости значения по (18.1), получим

$$\varepsilon_z = \frac{2}{\sqrt{3}} \sqrt{P_z - 2|z| P_{zx} + z^2 P_x} ; \quad (25.4)$$

$$\left. \begin{aligned} P_z &= \varepsilon_z^2 + \varepsilon_x \varepsilon_y + \varepsilon_y^2 + \frac{1}{4} \gamma_{xy}^2 ; \\ P_{zx} &= \varepsilon_x \kappa_x + \varepsilon_y \kappa_y + \frac{1}{2} \varepsilon_x \kappa_y + \\ &+ \frac{1}{2} \varepsilon_y \kappa_x + \frac{1}{2} \gamma_{xy} \kappa_{xy} ; \\ P_x &= \kappa_x^2 + \kappa_x \kappa_y + \kappa_y^2 + \kappa_{xy}^2 . \end{aligned} \right\} \quad (25.5)$$

На (25.4) интегрируя получим отклонение от срединной плоскости слоя, где  $\varepsilon_z = 0$ :

$$z_0 = - \frac{P_{zx}}{P_x} . \quad (25.6)$$

После того (25.1) и (18.4) с учетом (18.1), можно вычислять усилия и моменты, действующие на элемент пластины:

$$\left. \begin{aligned} N_x &= \frac{4}{3} \left[ \left( \varepsilon_x + \frac{1}{2} \varepsilon_y \right) J_1 + \left( \kappa_x + \frac{1}{2} \kappa_y \right) J_2 \right] ; \\ N_y &= \frac{4}{3} \left[ \left( \varepsilon_y + \frac{1}{2} \varepsilon_x \right) J_1 + \left( \kappa_y + \frac{1}{2} \kappa_x \right) J_2 \right] ; \\ S &= \frac{4}{3} \left( \gamma_{xy} J_1 + 2 \kappa_{xy} J_2 \right) ; \\ M_x &= \frac{4}{3} \left[ \left( \varepsilon_x + \frac{1}{2} \varepsilon_y \right) J_2 + \left( \kappa_x + \frac{1}{2} \kappa_y \right) J_3 \right] ; \\ M_y &= \frac{4}{3} \left[ \left( \varepsilon_y + \frac{1}{2} \varepsilon_x \right) J_2 + \left( \kappa_y + \frac{1}{2} \kappa_x \right) J_3 \right] ; \\ H &= \frac{4}{3} \left( \gamma_{xy} J_2 + 2 \kappa_{xy} J_3 \right) ; \end{aligned} \right\} \quad (25.7)$$

$$J_1 = \int_{-h/2}^{h/2} \frac{\partial z}{\partial t} dz ;$$

$$J_2 = \int_{-h/2}^{h/2} \frac{\partial z}{\partial t} z dz ; \quad (25.8)$$

$$J_3 = \int_{-h/2}^{h/2} \frac{\partial z}{\partial t} z^2 dz .$$

Напомним, что  $\sigma_i$  и  $\varepsilon_i$  в последних меняются по толщине пластины. Подстановка (25,7) в уравнение равновесия (18,5) вместе с уравнением неразрывности деформаций (18,3) дает уравнение упругопластического изгиба пластины, являющимся обобщением уравнения Кармана для упругой области [123].

**25.3. Уравнение изгиба жесткой пластины.** В геометрически нелинейных случаях, когда прогибы пластины можно считать малыми, но пластины наряду с поперечной нагрузкой нагружены продольными силами, задача упрощается: в уравнениях равновесия — последние уравнения (18,5), обращаются в нуль члены, содержащие кривизны  $\chi_x$ ,  $\chi_y$  и  $\chi_{xy}$ , а в уравнениях совместности (18,5) соответственно должны быть отброшены члены, содержащие  $\omega$ . Тогда последнее и первые два уравнения (18,5) описывают плоское напряженное состояние средней плоскости (плоская задача), а третье уравнение (18,5) — изгиб жесткой пластины. В упругой области эти три задачи могут решаться независимо, а результаты решений потом могут суммироваться в соответствии с принципом независимости действий сил. Для упругопластической области это несправедливо, ибо условия в средней плоскости и моменты здесь не являются независимыми; они связаны между собой уравнениями (25,7).

При изгибе жесткой пластины, когда продольных сил нет, зависимость деформаций по (25,4) приобретает вид

$$\varepsilon_i = \frac{z|z|}{\sqrt{3}} \sqrt{P_{\chi}}, \quad (25,8)$$

когда по (25,7)

$$M_x = \left( \chi_x + \frac{1}{2} \chi_y \right) J(P_{\chi});$$

$$M_y = \left( \chi_y + \frac{1}{2} \chi_x \right) J(P_{\chi}); \quad (25,10)$$

$$H = \frac{1}{2} \chi_{xy} J(P_{\chi})$$

где  $J(P_{\chi}) = \frac{4}{3} J_3$ . Вычисление последнего члена имеет вид уравнения. Из (25,8) найдем

$$|z| = \frac{\sqrt{3}}{2} \frac{\varepsilon_i}{\sqrt{P_{\chi}}}; \quad z^2 = \frac{3}{4} \frac{\varepsilon_i^2}{P_{\chi}};$$

$$dz = \frac{\sqrt{3}}{2} \frac{d\varepsilon_i}{\sqrt{P_{\chi}}}.$$

Подстановка это в (25,8) и прохождение замены переменных, получим

$$J(P_{\chi}) = \frac{\sqrt{3}}{2\sqrt{P_{\chi}}} \int_{-\varepsilon_i}^{\varepsilon_i} \sigma_i \varepsilon_i d\varepsilon_i = \frac{\sqrt{3}}{\sqrt{P_{\chi}}} \int_0^{\varepsilon_i} \sigma_i \varepsilon_i d\varepsilon_i, \quad (25,11)$$

$$\varepsilon_i = \frac{h}{\sqrt{3}} \sqrt{P_{\chi}}, \quad (25,12)$$

где  $\varepsilon_i$  — максимальность деформаций по (25,8) при  $z = \pm h/2$ . Определим  $J(P_{\chi})$  по (25,11) сводится к вычислению численного по диаграмме напряжений при растяжении материала, маркированной чертой  $\sigma_i$  и  $\varepsilon_i$ . Если для последней воспользоваться формой зависимости (1,4)

$$\sigma_i = E \varepsilon_i (1 - \omega); \quad \omega = \omega(\varepsilon_i), \quad (25,13)$$

то

$$J(P_{\chi}) = D(1 - \Omega); \quad \Omega = \frac{3}{\varepsilon_i^3} \int_0^{\varepsilon_i} \omega \varepsilon_i^2 d\varepsilon_i, \quad (25,14)$$

где  $D = \frac{E h^3}{9}$  — цилиндрическая жесткость упругой пластины на косинусности материала, когда коэффициент поперечных деформаций  $\mu^1 = 0,5$  (см. § 2).

При вычислении  $\Omega$  по (25.14) интегрирование ведется непосредственно по контуру  $\Phi(i - \varepsilon i)$ . Например, для упруго-пластического материала с линейным упрочнением

$$\Omega = \left(1 - \frac{E_0}{E}\right) \left(1 - \frac{3\sigma_T}{2E\varepsilon i}\right),$$

где  $E_0$  - модуль упрочнения.

Теперь можно подставить моменты по (25.10) в третье уравнение равновесия (18.3). Разрешенная одномерная проблема по (18.3), имеет вид:

$$\begin{aligned} & \frac{\partial^4 w}{\partial x^4} + 2 \frac{\partial^4 w}{\partial x^2 \partial y^2} + \frac{\partial^4 w}{\partial y^4} = \\ & = \frac{q}{D} - \frac{\partial}{\partial x^2} \left[ \Omega \left( \frac{\partial^2 w}{\partial x^2} + \frac{1}{2} \frac{\partial^2 w}{\partial y^2} \right) \right] - \\ & - \frac{\partial^2}{\partial x \partial y} \left( \Omega \frac{\partial^2 w}{\partial x \partial y} \right) - \frac{\partial^2}{\partial y^2} \left[ \Omega \left( \frac{\partial^2 w}{\partial y^2} + \frac{1}{2} \frac{\partial^2 w}{\partial x^2} \right) \right]. \end{aligned} \quad (25.15)$$

По сравнению с уравнением задачи упругих пластин здесь в правой части появились три члена, содержащие  $\Omega$ , которая является переменным коэффициентом (зависит от  $x$  и  $y$ ).

**25.3. Методы решения упругопластических задач.** Для решения упругопластических задач в рамках теории деформаций пригоден безразличное решение, используемых для решения упругих задач при соответствующим им обобщения. Наиболее широкое распространение, однако, получили методы упругих решений и в частности, вариационные методы и специальные численные методы. Основным из методов упругих решений состоит в-linearization уравнений упругопластической задачи путем ее сведения к упругой задаче с фиктивными параметрами. В зависимости от того, что

принимается в качестве фиктивных параметров, этот метод может быть построен в разных вариантах. Наиболее известны такие его варианты, как метод переменных параметров упругости, метод фиктивных жесткостей и метод дополнительных нагрузок (см. ниже в § 26).

Вариационные методы используют общие теоремы, основанные на принципе возможных перемещений. Так же (см. § 27) рассмотрен вариационный метод, основанный на использовании малой энергии. Другие вариационные методы см. в [34, 35, 113] и др.

Численные методы мы назвали в особую группу, хотя при использовании любого метода получить аналитическое решение упругопластической задачи в форме, пригодной для практического применения, иногда не удается, возможно только численное ее решение. Здесь речь идет об универсальных методах, позволяющих использовать возможности ЭВМ [135, 136]. Расчет задачи в упругопластической стали описан в сборнике [4, 74, 94, 125, 140].

## § 26. Метод упругих решений

**26.1. Метод переменных параметров упругости.** Основная идея метода переменных параметров упругости состоит в том, что расчет конструкции из упруго-пластического материала на действии тех же сил, но из упругого материала с фиктивными параметрами упругости: фиктивными модулем упругости  $E_0$  и фиктивным коэффициентом Пуассона  $\mu_0$ . При этом выполняются требования эквивалентности: деформации и перемещения в заданной упругопластической конструкции и рассматриваемой упругой конструкции должны быть одинаковыми.

Пролливируем в сборке тело заданной формы, при котором выполняются требования эквивалентности. Дифференциальные уравнения равновесия (2.1), как указывалось в § 2, получаются исходя из рассмотрения статического равновесия бесконечно малого элемента сплошной изотропной среды и, следовательно, не зависят от меха-

материала свойства материала. Уравнения Коши (2.5) и их следствием — уравнения неразрывности деформаций (2.6) получаются только исходя из рассмотрения геометрии деформаций и переменный тензора их бесконечно малого элемента и поэтому тоже не зависят от механических свойств материала. Геометрия исходной упругопластической конструкции и рассматриваемой упругой конструкции, внешние нагрузки, действующие на них, обозначены, значит, одинаково в граничных условиях.

Таким образом, требование однозначности будет удовлетворено, если физические уравнения, связывающие напряжения и деформации в соответствующих конструкциях, также будут совпадающими. Сделаем обобщенный закон Гука (3.8) в следующем виде:

$$\sigma_x - \sigma_0 = 2G(\epsilon_x - \epsilon_0); \quad \tau_{xy} = G\gamma_{xy}; \quad (3.11)$$

где  $\sigma_0$  и  $\epsilon_0$  — средние напряжения и средние удлинения по

$$(3.9) \text{ и } (3.7); \quad G = \frac{E}{2(1+\mu)} - \text{модуль упругости при сдвиге.}$$

Если совместить (3.11) с физическими уравнениями теории деформаций в форме (3.13), то очевидно, что они будут совпадать, если в (3.11) модуль  $G$  заменить фактически модулем

$$G_{\phi} = \frac{E_{\phi}}{2E_{\epsilon}}. \quad (3.12)$$

Дополним (3.11) законом Гука для изгибаемого объема (3.6)

$$\sigma_0 = \frac{E}{1-2\mu} \epsilon_0, \text{ в аналогичном выражении для упругопластического материала} \quad (3.13)$$

$$\sigma_0 = \frac{E_{\phi}}{1-2\mu_{\phi}} \epsilon_0.$$

Применяя  $\sigma_0$  для упругого и упругопластического материалов, а также тензора  $G = G_{\phi}$ , получим два уравнения, из которых

$$E_{\phi} = \frac{\frac{\sigma_{\epsilon}}{E_{\epsilon}}}{1 - \frac{1-2\mu}{3E} \frac{\sigma_{\epsilon}}{E_{\epsilon}}};$$

$$\mu_{\phi} = \frac{\frac{1}{2} - \frac{1-2\mu}{3E} \frac{\sigma_{\epsilon}}{E_{\epsilon}}}{1 + \frac{1-2\mu}{E} \frac{\sigma_{\epsilon}}{E_{\epsilon}}}. \quad (3.14)$$

Вычисления по (3.14) фактически  $E_{\phi}$  и  $\mu_{\phi}$  в зависимости от действительных  $E$  и  $\mu$  обеспечивают удовлетворение требованиям однозначности. В случае рассматриваемого материала, как это кратко при помощи уравнений кратко показано в § 25,

$$E_{\phi} = 3G_{\phi} = \frac{\sigma_{\epsilon}}{\epsilon_{\epsilon}}; \quad \mu_{\phi} = \mu = \frac{1}{2}. \quad (3.15)$$

Как видно из вышесказанного, рассмотренный метод приводит к необходимости решения упругой задачи, когда параметры упругости (упругие константы)  $E$  и  $\mu$  в разных точках конструкции различны и зависят от величины деформации. Следовательно, ставится задача об области, где в упругопластической конструкции имеют место пластические деформации. Решением метода практически всегда требует использования метода последовательных приближений. Процедура вычисления может быть следующей:

1. В первом приближении решается упругая задача для действительных значений параметров упругости ( $E_{\phi 1} = E$  и  $\mu_{\phi 1} = \mu$ ), вычисляются деформации во всех точках конструкции и соответственно истинность деформаций  $\epsilon_{\epsilon i}$  по (3.12).

2. Максимум невязки  $G_{ij} - G_{ij}$  для принятой нагрузки мы разделили, по найденному  $G_{ij}$  определяем  $G_{ij}$  и максимому  $G_{ij} / G_{ij}$ . Например, если получается (25.43), то  $G_{ij} / G_{ij} = \epsilon [1 - \omega(z_{ij})]$ .

3. По найденному  $G_{ij} / G_{ij}$  в области, где  $G_{ij} / G_{ij} < 3\delta$ , вычисляем с помощью (25.4) параметры упругости второго приближения  $L_{\varphi 2}$  и  $\mu_{\varphi 2}$  с их использованием выполняем упругий расчет конструкции, определяем  $L_{i2}$  и т.д. (Подробнее с рассмотренным методом можно ознакомиться в [29, 32].)

**26.2. Метод фактивных жесткостей.** Основная идея метода фактивных жесткостей состоит в том, что расчет конструкции из упруго-пластического материала на деформации заданных величин или выполняется расчетом на деформации так же как конструкция из упругого материала, но с фактивными характеристиками жесткости. Требованиям эквивалентности остатков также же, как в предыдущем случае. Показан, к чему приводит его выполнение начиная на примере одного метода балки (см. § 22).

При этом нам надо, как известно, жесткость балки характеризуется двумя параметрами:  $EF$  — жесткостью при растяжении и  $EJ$  — изгибной жесткостью. Для заданной балки, если вести ее расчет в упругой стадии  $EF\epsilon = N$ ;  $EJ\kappa = M_x$ . Для упругой балки с фактивными характеристиками жесткости соответственно

$$EF_{\varphi}(x)\epsilon = N; \quad (26.5)$$

$$EJ_{\varphi}(x)\kappa = M_x.$$

Обратясь к дифференциальным уравнениям упругопластического метода заданной балки (21.7), потребуем, чтобы у нее в балке с фактивными характеристиками жесткости балки оставалась  $N$ ,

$M_x$  и  $\epsilon$  и  $\kappa$ . Тогда, применяя формулы (21.7) и (26.5), получим

$$F_{\varphi}(x) = F - F^{\epsilon} - S^{\epsilon} \frac{\epsilon}{L}; \quad (26.7)$$

$$J_{\varphi}(x) = J - J^{\epsilon} - S^{\epsilon} \frac{\kappa}{L}.$$

Таким образом, рассмотренный метод приводит к необходимости упругого расчета конструкции с фактивными характеристиками жесткости, которые различны в разных точках конструкции и зависят от величин деформаций. Реализация метода требует использования метода последовательных приближений, процедура которого принципиально мало отличается от рассмотренной выше применительно к методу переменных параметров упругости.

В общем случае для упругой конструкции связь между абсолютными напряжениями  $\sigma_k$  и абсолютными деформациями  $q_k$  (см. § 2) можно представить как

$$\sigma_k = \sum_i G_{ki} q_i; \quad (26.8)$$

$$G_{ki} = \text{const}; \quad k = 1, 2, \dots; \quad i = 1, 2, \dots$$

Аналогично для упругопластической конструкции

$$\sigma_k = \sum_i \varphi_{ki} q_i; \quad (26.9)$$

$$\Phi_{ki} = \Phi_{ki}(q_1, q_2, \dots).$$

Требования эквивалентности выполняются, если для упругой конструкции с фактивными характеристиками жесткости

$$G_{ki}^{(\varphi)} = \Phi_{ki}; \quad k = 1, 2, \dots; \quad i = 1, 2, \dots \quad (26.10)$$

Отметим, что метод фактичных напряжений для тонкостенных конструкций (отверстия, пластины, оболочки) обладает определенными преимуществами по сравнению с методом переменных параметров упругости. Здесь в отличие от последнего не нужно вносить коррективы в характеристика материала в состоянии крайней точки, а можно оперировать характеристическими сечениями, что проще. Например, при изгибном изгибе балки, когда  $N = \tau = 0$ , по [25,7]

$J_{\varphi}(x) = J - J^*$ , т.е. в рамках метода фактичных напряжений требуется рассмотреть упругий балки переменного сечения, метод расчета которой хорошо известен (например см. в [11,12]).

**26.3. Метод действительных нагрузок.** Основной идеей метода действительных нагрузок состоит в том, что расчет конструкции на упругопластическое состояние материала на действительных заданных внешних силах осуществляется расчетом той же конструкции на упругое состояние материала, но на действительных фактичных внешних силах. Требования адекватности остается таким же, как и выше. Рассмотрим общую схему удовлетворения этому требованию.

Для упругой конструкции (тела) заданной формы при известных условиях ее опорной величина внешней нагрузки  $q$  однозначно определяет напряжения деформации и перемещения во всех точках конструкции. Обозначим  $\sigma_{ij}$ ,  $\epsilon_{ij}$  - соответственно компоненты тензора напряжений и деформаций  $T_{\sigma}$  и  $T_{\epsilon}$ , см. § 2;  $i = x, y, z$ ;  $j = x, y, z$ ; при  $i = j$

$\sigma_{ii}$  и  $\epsilon_{ii}$  - соответственно нормальные напряжения и удлинения; при  $i \neq j$   $\sigma_{ij}$  и  $\epsilon_{ij}$  - соответственно касательные напряжения и сдвиги. Если рассмотреть в обратном порядке, когда известны  $\sigma_{ij}$  во всех точках тела, в том числе и на его поверхности  $\sigma_{ij}^{(0)}$ , то последние однозначно определяются известной нагрузкой, приложенной к поверхности тела  $q$ . Сила между  $\sigma_{ij}^{(0)}$  и  $q_i$  является граничные условия в напряжениях. (Величины объемных сил мы не рассматриваем.) Пусть теперь нам известны значения  $\epsilon_{ij}$  для рассматриваемого тела в упруго-пластическом состоянии

и тем самым составлены и мы знаем фактичные значения нагрузки  $q_i$ , которые вызывают те же  $\epsilon_{ij}$  в том же теле, если считать его упругим. Схема расчета будет следующей: по заданным  $\epsilon_{ij}$  в объеме закона Гука определяются  $\sigma_{ij}$ , вычисляются  $\sigma_{ij}^{(0)}$ ,

а по последним устанавливаются значения нагрузки  $q_i$ . Равенство  $q_i - q_i = 0$  применяется собой те действительные нагрузки, которыми нужно нагружать тело (наружу с  $q_i$ ), чтобы получить заданные  $\epsilon_{ij}$ .

Таким образом, метод действительных нагрузок приводит к необходимости упругого расчета конструкции на действительные нагрузки, распределение которых по поверхности конструкции может оказаться достаточно сложным. В § 22 этот метод использовался для упругопластического расчета балки; ниже изострадуется его применение для расчета пластин. Этот вариант метода упругих решений (в таком виде он предложен А.А.Климанов) получил название широко распространенный. Подробнее см. [34].

**26.4. О применимости метода упругих решений. Второго метода.** Нужно отметить, что сложность процесса последовательных приближений в методе упругих решений не должна [8, 100]. Тем не менее не широко и успешно применяется. Считаем возможным, что процесс хорошо сходится, когда пластические деформации малы и имеет порядок упругих деформаций; сложность значительно уменьшается, когда пластические деформации значительны. Процесс сходится лучше, если материал имеет существенное упрочнение, а сходится хуже при использовании допусков об идеальной пластичности материала. Он обычно применяется редко применяем для предельного состояния или в тех случаях, когда исключены вероятные возможности возникновения потери устойчивости второго рода. Это нужно осмыслить.

<sup>1</sup> Настоящий раздел написан совместно с В.К. Гуртовым.

Известно, что сходимость процессов последовательных приближений существенно зависит от выбора начального решения (в котором процесс должен сходиться) и первого приближения. В методе уругих решений в качестве первого приближения часто принимают решение уругого расчета конструкции на действии внешней системы сил. Если приведенные конструкции в уруго-пластической стадии отличаются от ее поведения в уругом состоянии, то такое решение в первом приближении оказывается достаточно близким. Если решение приведенных конструкций в уруго-пластической стадии существенно отличается от действительного деформирования между первым приближением и точным решением.

В приведенном состоянии приведенные конструкции качественно отличаются от ее поведения в уругой стадии. Сложным оказывается решение задачи применения метода уругих решений. По-видимому, факт существования процессов последовательных приближений может служить приблизительным критерием долговременной несущей способности, давая оценку сверху.

Отметим, что процесс последовательных приближений не является непрерывным приближением методом уругих решений. Здесь можно использовать и другой метод. Если рассмотреть поведение конструкции в процессе нагружения и решить этот процесс на достаточно малом участке (шаге), то на каждом участке нагружения применяем уругий, деформации и напряжения будут достаточно малы, чтобы можно было отталкиваться от последовательных приближений. В качестве исходных значений фактических параметров метода уругих решений (в каждом его варианте) применяются их значения, вычисленные на предыдущем шаге.

Такой метод в сочетании с методом уругих решений позволяет более надежно оценить несущую способность конструкции [76]. Кроме того, данный метод позволяет одновременно учесть и геометрическую нелинейность. На каждом шаге решают геометрически нелинейную задачу с заданными начальными перемещениями (например, вместо пластины рассчитываются кольца оболочки). Переменные перемещения, полученные на данном шаге, применяются в следующем и вводятся в качестве заданных начальных перемещений в расчет для следующего шага. Естественно, возможны различные комбинации методов последовательных приближений и шагового метода. Подробнее см. в [48, 103, 126] и др.

**28.5. Уругоэластический шаг пластичности.** Перепишем полученные выше уравнения (28.15) в форме

$$D \left( \frac{\partial^4 w}{\partial x^4} + 2 \frac{\partial^4 w}{\partial x^2 \partial y^2} + \frac{\partial^4 w}{\partial y^4} \right) = q + q'; \quad (28.17)$$

$$\frac{q'}{D} = - \frac{\partial^2}{\partial x^2} \left[ \Omega \left( \frac{\partial^2 w}{\partial x^2} + \frac{1}{2} \frac{\partial^2 w}{\partial y^2} \right) \right] - \frac{\partial^2}{\partial x \partial y} \left( \Omega \frac{\partial^2 w}{\partial x \partial y} \right) - \frac{\partial^2}{\partial y^2} \left[ \Omega \left( \frac{\partial^2 w}{\partial y^2} + \frac{1}{2} \frac{\partial^2 w}{\partial x^2} \right) \right]. \quad (28.18)$$

Здесь  $q'$  — интенсивность дополнительной изогермичной нагрузки, которую нужно применить к уругой пластине, чтобы получить прогиб, совпадающий с прогибом уругоэластической пластины.

Поскольку (28.18) отличает уругой геометрически нелинейный шаг, можно ввести раздельно прогиб от нагрузки  $q = w_0$  и от нагрузки  $q' = w_p$ , затем просуммировать их:  $w = w_0 + w_p$ . Если нагрузка пластины уруга (см. гл. 8), то  $w_0$  — величина вычислена прогибом при данной нагрузке, а  $w_p$  — остаточные прогибы. Вычисления  $w_p$  существенно упрощаются, если для рассматриваемой пластины есть уругие решения для случая ее нагрузки соответствующей силой  $P$  в произвольной точке с координатами  $\xi, \eta$ :

$$w_0 = \frac{P}{D} \Gamma(x, y, \xi, \eta), \quad (28.19)$$

где  $\Gamma$  — известная функция Грина.

Тогда, представляя  $P = q' d\xi d\eta$  и пользуясь принципом суперпозиции действий сил, можно

$$w_p = \frac{1}{D} \iint q'(\xi, \eta) \Gamma(x, y, \xi, \eta) d\xi d\eta. \quad (28.20)$$

Далее задачу можно решить численно. В [51] также показано, что подстановка  $q'$  по (26.12) позволяет преобразовать (26.14) в виде

$$\begin{aligned} w_p = & \iint \left[ \frac{\partial^2 w}{\partial \xi^2} \left( \frac{\partial^2 f}{\partial \xi^2} + \frac{1}{2} \frac{\partial^2 f}{\partial \eta^2} \right) + \frac{\partial^2 w}{\partial \xi \partial \eta} \frac{\partial^2 f}{\partial \xi \partial \eta} + \right. \\ & \left. + \frac{\partial^2 w}{\partial \eta^2} \left( \frac{\partial^2 f}{\partial \eta^2} + \frac{1}{2} \frac{\partial^2 f}{\partial \xi^2} \right) \right] \Omega d\xi d\eta. \end{aligned} \quad (26.15)$$

Процесс последовательных приближений здесь заканчивается в следующем:

1. Решением уравнов системы с помощью (26.11) при  $q' = 0$ , определяется  $w = w_0$  в по (18.2)  $x_x, x_y, x_{xy}$ .
2. По (26.5) вычисляются  $P_{3k}$ , по (26.12) —  $\varepsilon_{ij}$ , по (26.13) и (26.14) —  $\Omega$  и по (26.12) определяется  $q'$  первого приближения.
3. Для выбранного  $q'$  по (26.14) или (26.15) определяется  $w$ , второго приближения. После вычисления  $x_x, x_y, x_{xy}$  и расчет повторяется.

**26.6. Эллипсоидальный жесткий двоякий элемент.** Согласно [124], применяя рассуждения (26.7) и (26.8). Подставив с помощью (26.13) можно представить в виде

$$\begin{aligned} J_1 = & E \int_{-h/2}^{h/2} dx - E \int_{-h/2}^{h/2} \omega dx = Eh + \Delta J_1; \\ \Delta J_1 = & -E \int_{-h/2}^{h/2} \omega dx. \end{aligned} \quad (26.16)$$

Аналогично

$$J_2 = \Delta J_2; \quad \Delta J_2 = -E \int_{-h/2}^{h/2} \omega x dx; \quad (26.17)$$

$$J_3 = \frac{Eh^3}{12} + \Delta J_3; \quad \Delta J_3 = -E \int_{-h/2}^{h/2} \omega x^2 dx. \quad (26.18)$$

Подставив (26.16)–(26.18) в (25.7), получим

$$\left. \begin{aligned} N_x &= N_{x0} + N_{xp}; \\ N_y &= N_{y0} + N_{yp}; \\ S &= S_0 + S_p; \\ M_x &= M_{x0} + M_{xp}; \quad M_y = M_{y0} + M_{yp}; \\ H &= H_0 + H_p, \end{aligned} \right\} (26.19)$$

или

$$\left. \begin{aligned} N_{x0} &= B(\varepsilon_x + \frac{1}{2} \varepsilon_y); \quad N_{y0} = B(\varepsilon_y + \frac{1}{2} \varepsilon_x); \\ S_0 &= \frac{B}{4} \gamma_{xy}; \\ M_{x0} &= D(\kappa_x + \frac{1}{2} \kappa_y); \quad M_{y0} = D(\kappa_y + \frac{1}{2} \kappa_x); \\ H_0 &= \frac{D}{2} \kappa_{xy}, \end{aligned} \right\} (26.20)$$

в  $N_{xp}$ , ...,  $M_{xp}$  выписаны из (25.7), если там соответственно заменить  $N_x$ , ...,  $M_x$ , а вместо  $J_1$ , ... подставить  $\Delta J_1$ , ...,  $B = \frac{4}{9} E h$  - цилиндрическая жесткость при растяжении, а  $D = \frac{1}{9} E h^3$  - цилиндрическая жесткость при касании изогнутой пластины из несжимаемого материала.

Если из (26.20) выразить компоненты деформаций и подставить в выражения для  $N_{xp}$ , ...,  $M_{xp}$ , последние приобретут следующий вид:

$$\left. \begin{aligned} N_{xp} &= \frac{N_{xs}}{Eh} \Delta J_1 + \frac{12 M_{xs}}{Eh^3} \Delta J_2; \\ N_{yp} &= \frac{N_{ys}}{Eh} \Delta J_1 + \frac{12 M_{ys}}{Eh^3} \Delta J_2; \\ S_p &= \frac{S_s}{Eh} \Delta J_1 + \frac{12 H_y}{Eh^3} \Delta J_2; \\ M_{xp} &= \frac{N_{xs}}{Eh} \Delta J_2 + \frac{12 M_{xs}}{Eh^3} \Delta J_3; \\ M_{yp} &= \frac{N_{ys}}{Eh} \Delta J_2 + \frac{12 M_{ys}}{Eh^3} \Delta J_3; \\ H_p &= \frac{S_s}{Eh} \Delta J_2 + \frac{12 H_y}{Eh^3} \Delta J_3. \end{aligned} \right\} (26.21)$$

Формулы (26.20) представляют собой выражения для усилий и моментов в изогнутой пластине при  $\mu' = 0,5$  [126], а, следовательно,  $N_{xp}$ , ...,  $M_{xp}$ , ... - усилия соответствующие усилия и моменты; тогда соответственно  $N_{xp}, \dots, M_{xp}, \dots =$

аналогичные соответствующие усилия и моменты. Введем деформационный потенциал  $F$ :

$$N_x = h \frac{\partial^2 F}{\partial y^2}; \quad N_y = h \frac{\partial^2 F}{\partial x^2}; \quad S = -h \frac{\partial^2 F}{\partial x \partial y}. \quad (26.22)$$

Тогда первые два уравнения равновесия (13.5) универсализируются тождественно. Подставив (26.19)-(26.22) в третье уравнение равновесия (13.5) и уравнение неразрывности деформаций (14.3) преобразует их к следующему виду:

$$\left. \begin{aligned} D \left( \frac{\partial^4 w}{\partial x^4} + 2 \frac{\partial^4 w}{\partial x^2 \partial y^2} + \frac{\partial^4 w}{\partial y^4} \right) &= q + q' + \\ + h \left[ \frac{\partial^2 F}{\partial y^2} \frac{\partial^2 w}{\partial x^2} + \frac{\partial^2 F}{\partial x^2} \frac{\partial^2 w}{\partial y^2} - 2 \frac{\partial^2 F}{\partial x \partial y} \frac{\partial^2 w}{\partial x \partial y} \right] & \\ \frac{\partial^2 F}{\partial x^2} + 2 \frac{\partial^2 F}{\partial x^2 \partial y^2} + \frac{\partial^2 F}{\partial y^2} &= \left[ \left( \frac{\partial^2 w}{\partial x \partial y} \right)^2 - \frac{\partial^2 w}{\partial x^2} \frac{\partial^2 w}{\partial y^2} - \right. \\ \left. - \frac{\partial^2 \varepsilon'_x}{\partial x^2} - \frac{\partial^2 \varepsilon'_y}{\partial y^2} + \frac{\partial^2 \gamma'_{xy}}{\partial x \partial y} \right], & \end{aligned} \right\} (26.23)$$

где  $q'$  - интенсивность касательной поперечной нагрузки, которую нужно приложить к изогнутой пластине;  $\varepsilon'_x$ ,  $\varepsilon'_y$  и  $\gamma'_{xy}$  - касательные деформации срединной плоскости изогнутой пластины, возникшие как следствие действия в ней соответствующих продольных сил;

$$\left. \begin{aligned}
 q' &= \frac{\partial^2 M_{xy}}{\partial x^2} + 2 \frac{\partial^2 M_{yz}}{\partial x \partial y} + \frac{\partial^2 M_{yz}}{\partial y^2}; \\
 \varepsilon'_x &= \frac{1}{Eh} \left( N_{xp} - \frac{1}{2} N_{yp} \right); \\
 \varepsilon'_y &= \frac{1}{Eh} \left( N_{yp} - \frac{1}{2} N_{xp} \right); \\
 \gamma'_{xy} &= \frac{3}{Eh} S_p.
 \end{aligned} \right\} (26.24)$$

Процесс последовательных приближений здесь аналогичен рассмотренному в предыдущей главе:

1. Решается уравнение задачи о поперече (26.23) при  $q' = 0$ ,  $\varepsilon'_x = \varepsilon'_y = \gamma'_{xy} = 0$ , определяются прогибы  $w$  и функция изгибающей  $F$ ; по (26.2) вычисляются  $M_x$ ,  $M_y$  и  $M_{xy}$ , по (26.22) —  $N_{xp}$ ,  $N_{yp}$  и  $S_p$ , по (26.20) —  $\varepsilon_x$ ,  $\varepsilon_y$  и  $\gamma_{xy}$ .

2. По найденным компонентам деформаций по (25.5) определяются  $P_x$ ,  $P'_x$  и  $P_y$ , по (25.4) —  $\varepsilon_z$ ; по изгибной  $\varepsilon_z - \varepsilon'_z$  определяется  $\delta_z$  и по (25.53)  $\omega$  по толщине пластины; по (26.16)–(26.18) вычисляются изгибные  $\Delta J_x$ ,  $\Delta J_y$  и  $\Delta J_{xy}$ ; по (26.21) —  $N_{xp}$ , ...,  $M_{xp}$ , ..., по (26.24) —  $q'$  и  $\varepsilon'_x$ ,  $\varepsilon'_y$  и  $\gamma'_{xy}$ .

3. Вновь решается система (26.23) с учетом найденных значений  $q'$ ,  $\varepsilon'_x$ ,  $\varepsilon'_y$  и  $\gamma'_{xy}$ , определяются  $w$  и  $F$  второго приближения, и расчет повторяется.

Аналогичное решение для пластины с начальной погрешкой (прогибной оболочкой) показано в [124]. Начальное  $w_0$  — средняя начальная погрешка вычисляется (26.23) следующим образом:

$$\left. \begin{aligned}
 D \left( \frac{\partial^2 w}{\partial x^2} + 2 \frac{\partial^2 w}{\partial x^2 \partial y^2} + \frac{\partial^2 w}{\partial y^2} \right) + \\
 + h \left( \frac{\partial^2 w_x}{\partial x^2} \frac{\partial^2 F}{\partial y^2} + \frac{\partial^2 w_y}{\partial y^2} \frac{\partial^2 F}{\partial x^2} - 2 \frac{\partial^2 w_{xy}}{\partial x \partial y} \frac{\partial^2 F}{\partial x \partial y} \right) = \\
 = q + q' + h \left( \frac{\partial^2 w_x}{\partial x^2} \frac{\partial^2 F}{\partial y^2} + \frac{\partial^2 w_y}{\partial y^2} \frac{\partial^2 F}{\partial x^2} - \right. \\
 \left. - 2 \frac{\partial^2 w_{xy}}{\partial x \partial y} \frac{\partial^2 F}{\partial x \partial y} \right); \\
 \frac{\partial^4 F}{\partial x^4} + 2 \frac{\partial^4 F}{\partial x^2 \partial y^2} + \frac{\partial^4 F}{\partial y^4} - E \left( \frac{\partial^2 w_x}{\partial x^2} \frac{\partial^2 w}{\partial y^2} + \right. \\
 \left. + \frac{\partial^2 w_y}{\partial y^2} \frac{\partial^2 w}{\partial x^2} - 2 \frac{\partial^2 w_{xy}}{\partial x \partial y} \frac{\partial^2 w}{\partial x \partial y} \right) = \\
 = E \left[ \left( \frac{\partial^2 w}{\partial x \partial y} \right)^2 - \frac{\partial^2 w_x}{\partial x^2} \frac{\partial^2 w}{\partial y^2} - \frac{\partial^2 w_y}{\partial y^2} \frac{\partial^2 w}{\partial x^2} - \right. \\
 \left. - \frac{\partial^2 \gamma_{xy}}{\partial x \partial y} \right].
 \end{aligned} \right\} (26.25)$$

### § 27. Вариационные методы

**27.1. Общие понятия.** Рассмотрение по методу возможных перемещений. Введем (гл. 2-6) начало возможных перемещений через использование для решения пластичности задачи в форме вариационного метода теории предельного равновесия и сопоставим ее с началом вариационной теории этой теории. В настоящем параграфе рассмотрим вопросы применения начала возможных перемещений в упругопластических задачах.

Начало возможных перемещений формулируется так (см. также § 4)

$$\delta(U - W) = 0 \quad (27.1)$$

Членами выражений работы внешних сил  $U$  и внутренних сил  $W$  системы, находящейся в равновесии, на возможных перемещениях равны нулю. Прямая работа внешних сил, приложенных к телу, на соответствующих им перемещениях может быть представлена в виде

$$\begin{aligned} \delta U = & \int_V (X \delta u + Y \delta v + Z \delta w) dV + \\ & + \int_S (q_x \delta a + q_y \delta v + q_z \delta w) dS. \end{aligned} \quad (27.2)$$

Напомним:  $X$ ,  $Y$  и  $Z$  - проекции unitной объемной силы на координатные оси;  $q_x$ ,  $q_y$  и  $q_z$  - проекции unitной плотности поверхностных сил на координатные оси;  $u$ ,  $v$  и  $w$  - компоненты перемещений;  $V$  и  $S$  - объем и площадь поверхности тела.

Соответственно прямая работа внутренних сил

$$\begin{aligned} \delta W = & \int_V (\sigma_x \delta \epsilon_x + \sigma_y \delta \epsilon_y + \sigma_z \delta \epsilon_z + \tau_{xy} \delta \gamma_{xy} + \\ & + \tau_{yz} \delta \gamma_{yz} + \tau_{zx} \delta \gamma_{zx}) dV. \end{aligned} \quad (27.3)$$

Прямая работа, связанная со изменением внешних перемещений.

Теорема Клапейрона для упругоэластического состояния материала обобщается следующим образом:

$$\begin{aligned} U = & \int_V (\sigma_x \epsilon_x + \sigma_y \epsilon_y + \sigma_z \epsilon_z + \tau_{xy} \gamma_{xy} + \\ & + \tau_{yz} \gamma_{yz} + \tau_{zx} \gamma_{zx}) dV. \end{aligned} \quad (27.4)$$

Для упругого состояния справедливо, как известно, представление собой unitной потенциальной энергии деформаций - ра-

боту внутренних сил, что следует из теоремы Клапейрона обобщенной или  $U = 2W$ .

Принцип минимума полной энергии является прямым следствием начала возможных перемещений. Под полной энергией тела понимаем

$$Z = W - U, \quad (27.5)$$

или (27.1)

$$\delta Z = 0. \quad (27.6)$$

Это условие экстремума  $Z$ . Можно показать, используя также вторую вариацию  $\delta^2 Z$ , что этот экстремум является минимумом. Выглядит достаточно сложная форма равновесия тела отталкивается от всех возможных форм тем, что для нее полная энергия принимает минимальное значение. Прямая полная энергия в (27.6) получается в результате прямой перемены в дифференциал. Таким образом, (27.6) означает искать действительное поле перемещений среди всех kinematically возможных, т.е. удовлетворяющих граничным условиям.

Принцип минимума дополнительной работы рассматривает статически возможные или непрямые, т.е. не удовлетворяющие уравнениям равновесия и граничные условия, и позволяет искать среди них действительное поле напряжений. Упругие дополнительные работы (дополнительная работа, связанная с изменением объема) может быть выражена через плотность напряжений и деформаций как

$$R_0 = \int_V \frac{1-2\nu}{2E} \sigma_0^2 + \int_V \epsilon_i \sigma_i dV. \quad (27.7)$$

Здесь  $\sigma_0$  - среднее напряжение по (2.3). В аналогичной форме можно представить unitную работу внутренних сил, связанную с объемным изменением деформаций

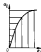


Рис. 94. Диаграмма  $\sigma_i - \epsilon_i$ .

$$W_0 = 3 \frac{1-2\nu}{2E} \sigma_0^2 + \int_0^{\epsilon_0} \sigma_i d\epsilon_i. \quad (27,6)$$

Первый член в (27,7) и (27,6) - потенциальная энергия сжатия объема, которая подчиняется закону Гука § 30. Второй член в (27,6) представляет собой работу внутренних сил, связанную с изменением формы тела. На диаграмме  $\sigma_i - \epsilon_i$  он представляет собой площадь, ограниченную кривой  $\sigma_i - \epsilon_i$  и осью  $\epsilon_i$ .

На рис. 94 эта площадь заштрихована вертикальными линиями. Соответственно второй член (27,7) на диаграмме  $\sigma_i - \epsilon_i$  - площадь, ограниченная кривой  $\sigma_i - \epsilon_i$  и осью  $\sigma_i$ . На рис. 94 она заштрихована горизонтальными линиями. Заполненная работа для всего тела

$$R = \int R_0 dV. \quad (27,9)$$

Правило минимума дополнительной работы гласит: во всех статически возможных напряженных состояниях только для истинного напряженного состояния полная потенциальная работа всего тела принимает минимальное значение. В другом состоянии  $R > W$  и разность потенциальной энергии деформаций, в данном случае, является дополнительной энергией связанной между деформацией работы.

Теорема Кастильяно позволяет переписать  $\delta_i$  точки приложения сил  $P_i$  в направлении ее действия о дополнительной работе

$$\delta_i = \frac{\partial R}{\partial P_i}. \quad (27,10)$$

Изложив теорему, как в все предыдущее рассмотрение упруго-пластического тела, основан на теории деформаций. С помощью этого теорема можно ознакомиться в [32, 405].

27.3. Правило минимума полной энергии в теории упруго-пластического тела пластичности. Вариационный метод. Рассмотрим упруго-пластический материал из несжимаемого материала. Рассмотрим пластину в (27,5) выделит левый член в выражении работы внутренних сил на единицу площади деформированной поверхности пластины можно записать как

$$\delta W_{oc} = \int_{-h/2}^{h/2} \sigma_i \delta \epsilon_i dz. \quad \text{Выражение } \delta \epsilon_i \text{ можно записать}$$

как по (25,4), проинтегрировав поперек его в квадрат:

$$2\epsilon_i \delta \epsilon_i = \frac{4}{3} (\delta P_x - 2|x| \delta P_{xx} + x^2 \delta P_{xx}). \quad (27,11)$$

Выражая отсюда  $\delta \epsilon_i$ , получим

$$\delta W_{oc} = \frac{2}{3} (J_1 \delta P_x - 2J_2 \delta P_{xx} + J_3 \delta P_{xx}). \quad (27,12)$$

Здесь  $J_1$ ,  $J_2$  и  $J_3$  вычисляются по (25,8).

Тогда вариация работы внутренних сил для всей пластины

$$\delta W = \frac{1}{2} \iint_S (J_1 \delta P_x - 2J_2 \delta P_{xy} + J_3 \delta P_x) dx dy, \quad (27.13)$$

где интегрирование выполняется по всей площади срезаемой плоскости  $S$ . Вариация работы внешних сил

$$\delta U = \iint_S q \delta w dx dy. \quad (27.14)$$

Вариация (27.13) и (27.14) в соответствии с принципом минимума полной энергии (27.6) или началом возможных перемещений (27.1) приводят вариационное уравнение, решение которого является решением задачи. Этот метод принято называть *в а р и а ц и о н н ы м*.

Для жесткой пластины  $\delta P_x = \delta P_{xy} = 0$  и уравнение (27.13) приобретает вид

$$\delta W = \frac{1}{2} \iint_S J(P_x) \delta P_x dx dy. \quad (27.15)$$

**27.3. Поперечный метод Рунда.** Для решения полученного вариационного уравнения может быть использован метод Рунда. Например, для жесткой пластины предельное состояние в виде ряда

$$w = \sum_i \alpha_i \varphi_i(x, y), \quad (27.16)$$

где  $\varphi_i(x, y)$  — функциональные функции, удовлетворяющие

условиям закрепления пластины на опорной контуре;  $\alpha_i$  — произвольные параметры, подлежащие определению.

По (25.5)

$$\begin{aligned} \delta P_x &= 2\alpha_x \delta \alpha_x + \alpha_x \delta \alpha_x + \alpha_y \delta \alpha_x + \\ &+ 2\alpha_y \delta \alpha_y + 2\alpha_{xy} \delta \alpha_{xy}. \end{aligned} \quad (27.17)$$

По (18.2) и (27.16)

$$\delta \alpha_x = -\delta \left( \frac{\partial^2 w}{\partial x^2} \right) = -\frac{1}{l} \frac{\partial^2 \varphi_i(x, y)}{\partial x^2} \delta \alpha_i.$$

Тогда  $\delta P_x$  по (27.17) можно представить в виде

$$\delta P_x = \sum_i P_i \delta \alpha_i; \quad (27.18)$$

$$\begin{aligned} P_i = & - \left[ 2\alpha_x \frac{\partial^2 \varphi_i}{\partial x^2} + 2\alpha_y \frac{\partial^2 \varphi_i}{\partial y^2} + \alpha_x \frac{\partial^2 \varphi_i}{\partial y^2} + \right. \\ & \left. + \alpha_y \frac{\partial^2 \varphi_i}{\partial x^2} + 2\alpha_{xy} \frac{\partial^2 \varphi_i}{\partial x \partial y} \right]. \end{aligned} \quad (27.19)$$

Здесь в виде гра  $\varphi_i(x, y)$  обозначены аргументы  $x$  и  $y$  для удобства. Подставляя (27.18) и (27.15) в вариацию (27.14) с учетом (27.16), получим рассмотренное вариационное уравнение в виде

$$\begin{aligned} \frac{1}{2} \iint_S J(P_x) \sum_i P_i \delta \alpha_i dx dy = \\ = \iint_S q \sum_i \varphi_i \delta \alpha_i dx dy. \end{aligned}$$

Если учесть независимость переменных  $\delta a_i$ , поставим предел к системе уравнений

$$\frac{1}{2} \iint_{\Omega} J(P_{ik}) P_i dx dy = \\ = \iint_{\Omega} q \Psi_i dx dy; \quad i = 1, 2, \dots \quad (27.20)$$

Если также учесть выражение для  $J(P_{ik})$  по (26.14) и переписать в (27.20) переменные по (18.2) и (27.16), окончательно получим

$$\sum_k A_{ik} a_k = B_i + C_i, \quad (27.21)$$

где

$$A_{ik} = D \iint_{\Omega} \left( \frac{\partial^2 \Psi_k}{\partial x^2} \frac{\partial^2 \Psi_i}{\partial x^2} + \frac{\partial^2 \Psi_k}{\partial y^2} \frac{\partial^2 \Psi_i}{\partial y^2} + \right. \\ \left. + \frac{1}{2} \frac{\partial^2 \Psi_k}{\partial x^2} \frac{\partial^2 \Psi_i}{\partial y^2} + \frac{1}{2} \frac{\partial^2 \Psi_k}{\partial y^2} \frac{\partial^2 \Psi_i}{\partial x^2} + \right. \\ \left. + \frac{\partial^2 \Psi_k}{\partial x \partial y} \frac{\partial^2 \Psi_i}{\partial x \partial y} \right) dx dy; \\ B_i = \iint_{\Omega} q \Psi_i dx dy; \quad C_i = \frac{D}{2} \iint_{\Omega} P_i \Omega dx dy. \quad (27.22)$$

Решение системы уравнений (27.21) требует использования метода последовательных приближений:

1. В первом приближении предполагается отсутствие пластических деформаций,  $\Omega = C_i = 0$ ; решается уравная задача, определяются  $a_i$  в  $\omega$ .

2. По найденному  $\omega$  определяются кривые, по (26.5) вычисляются  $P_{ik}$ , по (25.12) —  $\varepsilon_{ij}$ , по (26.14) —  $\Omega$ .

3. Найденные  $\Omega$  позволяют по (27.21) определить значения  $C_i$  второго приближения и повторить расчет.

В отношении возможности процесса справедливы соображения, высказанные выше в отношении метода уругрич решений (§ 26). Трудность решения существенно зависит от числа членов ряда (27.16). Если уругричь один член ряда  $\omega = a_1 \Psi_1(x, y)$ , то  $a_1$  сразу можно определить по (27.21)

$$a_1 = \frac{B_1}{A_{11} - C_1}; \quad (27.23)$$

$$\left. \begin{aligned} A_{11} &= D \iint_{\Omega} \Phi_1 dx dy; \quad B_1 = \iint_{\Omega} q \Psi_1 dx dy; \\ C_1 &= \iint_{\Omega} \Phi_1 \Omega dx dy; \\ \Phi_1 &= \left( \frac{\partial^2 \Psi_1}{\partial x^2} \right)^2 + \left( \frac{\partial^2 \Psi_1}{\partial y^2} \right)^2 + \frac{\partial^2 \Psi_1}{\partial x^2} \frac{\partial^2 \Psi_1}{\partial y^2} + \\ &\quad + \left( \frac{\partial^2 \Psi_1}{\partial x \partial y} \right)^2. \end{aligned} \right\} \quad (27.24)$$

В ряде случаев (здесь пластические деформации отсутствуют) можно результаты получить, если  $\Psi_1$  выберется по уругрич-

го решения [54] (см. также ниже). Метод, близкий к изложенному, подробно рассмотрен в [125]; учитывается эластичность материала.

**27.4. Предложенный метод А.А. Вольпина.** Для приближенного решения задачи извлеченным методом, когда пластическое деформации относительно велика и форма профилей пластины в упруго-пластической стадии мало изменяется по сравнению с упругой стадией, удобным способом предложенной в [51]. Возмущается решение упругой задачи:

$$w_0 = \frac{P_0 \alpha^4}{D} \bar{w}(x, y);$$

$$q = P \bar{q}(x, y), \quad (27.25)$$

где  $\alpha$  - характерный размер пластины;  $P$  - параметр, характеризующий величину нагрузки;  $\bar{w}(x, y)$  и  $\bar{q}(x, y)$  - функции, характеризующие соответственно форму профилей и форму нагрузки.

Для упругой пластической стадии профили задаются в виде

$$w = \frac{\alpha^4}{D} f \bar{w}(x, y), \quad (27.26)$$

Величина  $f$ , пока неизвестна. Тогда по (26.5)

$$P_x = \frac{\alpha^4}{D^2} f^2 \bar{P}_x;$$

$$\bar{P}_x = \left[ \left( \frac{\partial^2 \bar{w}}{\partial x^2} \right)^2 + \left( \frac{\partial^2 \bar{w}}{\partial y^2} \right)^2 + \frac{\partial^2 \bar{w}}{\partial x^2} \frac{\partial^2 \bar{w}}{\partial y^2} + \right. \\ \left. + \left( \frac{\partial^2 \bar{w}}{\partial x \partial y} \right)^2 \right] \alpha^4. \quad (27.27)$$

По (27.26) и (27.27)

$$\delta w = \frac{\alpha^4}{D} \bar{w} \delta f; \quad \delta P_x = 2 \frac{\alpha^4}{D^2} f \bar{P}_x \delta f. \quad (27.28)$$

Подставим последние в (27.14), (27.15) и получим их:

$$P \iint_S q \bar{w} dx dy = \\ = \frac{f}{D} \iint_S P_x dx dy.$$

Сравнив с учетом (25.14)

$$P = f \frac{\iint_S \bar{P}_x dx dy - \iint_S \Omega \bar{P}_x dx dy}{\iint_S \bar{q} \bar{w} dx dy}. \quad (27.29)$$

Для упругой стадии  $\Omega = 0$  и  $P = f$ . Тогда по (27.29)

$$\frac{\iint_S \bar{P}_x dx dy}{\iint_S \bar{q} \bar{w} dx dy} = 1. \quad (27.30)$$

Сформулировано здесь равенство не зависит от  $f$ . Поэтому (27.29) можно представить как

$$P = f \left( 1 - \frac{\iint_S \Omega \bar{P}_x dx dy}{\iint_S \bar{q} \bar{w} dx dy} \right). \quad (27.31)$$

В качестве примера рассмотрим **прямоугольную**

на ригельно опертую пластину со стороны опорного контура  $a$  и  $b$ , нагруженную равномерной распределенной нагрузкой интенсивности  $q$ . Тогда в (27,36)  $\bar{y} = z$  и  $\bar{P} = q$ . Согласно [417], значение  $\bar{w}$  в форме

$$\bar{w} = \beta \cos \frac{\pi x \bar{x}}{2} \cos \frac{\pi y \bar{y}}{2};$$

$$v = a/b; \quad \bar{x} = x/a; \quad \bar{y} = y/a \quad (27,32)$$

Тогда по (27,27)

$$\bar{P}_K = \frac{\beta^2 \pi^2}{64} R_K; \quad (27,33)$$

$$R_K = (1+v^2)^2 (\cos \pi \bar{x} \cdot \cos \pi v \bar{y}) +$$

$$+ (1+v^4) (\cos \pi \bar{x} + \cos \pi v \bar{y}). \quad (27,34)$$

Подставим (27,32) в (27,33) и (27,34), найдем значение  $\beta$ , равная тем самым нагрузке единицы для заданной формы прогиба. Получается

$$\beta = \frac{256}{\pi^2 (1+v^2)^2} \quad (27,35)$$

С помощью (27,27) и (27,35) по (26,43) найдем значение для интенсивности деформаций на поверхности пластины

$$\bar{\epsilon}_i = \frac{\epsilon_{xi}}{\epsilon_T} = \frac{32 f h \alpha^2 \sqrt{R_K}}{\sqrt{3} \pi^2 D (1+v^2)^2 \epsilon_T}; \quad (27,36)$$

$$\epsilon_T = G_T / E.$$

Для центра пластины при  $\bar{x} = \bar{y} = 0$   $\bar{\epsilon}_i = \bar{\epsilon}_{im}$  — максимална:

$$\bar{\epsilon}_{im} = \alpha f; \quad (27,37)$$

$$\alpha = \frac{576 \alpha^2 \sqrt{1+v^2+v^4}}{\sqrt{3} \pi^2 G_T h^2 (1+v^2)^2}.$$

Тогда

$$\bar{\epsilon}_i = \frac{\bar{\epsilon}_{im} \sqrt{R_K}}{2 \sqrt{1+v^2+v^4}}. \quad (27,38)$$

Используя  $\bar{w}$  по (27,32), вычленим интеграл  $\iint_S \bar{w} d\bar{x} d\bar{y}$

и подставим результат в (27,31) вместо  $\alpha f$  из (27,37). Получим выражение для нагрузки:

$$q = \frac{\bar{\epsilon}_{im}}{\alpha} \left( r - \frac{v}{1+v^2} \iint_S R_K \Omega d\bar{x} d\bar{y} \right). \quad (27,39)$$

Если подставить теперь  $\bar{w}$  по (27,32) и  $\rho$  по (27,39) в (27,36), можно найти максимальный прогиб пластины  $w = w_m$  при  $\bar{x} = \bar{y} = 0$  в функции от максимальной интенсивности деформаций  $\bar{\epsilon}_{im}$ :

$$w_m = \frac{4 \sqrt{3} \alpha^2 h^2 G_T}{9 \pi^2 D \sqrt{1+v^2+v^4}} \bar{\epsilon}_{im}. \quad (27,40)$$

Дальнейшее увеличение улобо теста в следующем цикле: задается максимальный предел плотности  $\omega_{(n)}$  и на (27.40) определяется  $\xi_{(n)}$ ; по (27.38) вычисляется  $\xi'$  для логической зоны плотности; по (28.14)  $\xi^2$  и по (27.38) нагрузка  $q$ , отмечаются заданному пределу  $\omega_{(n)}$ .

В [51, 127] приведены решения для ряда других плотностей. Аналогичные решения могут быть получены на основе принципа взаимности минимальной работы, если заданностей предел напряжений [54]. Теорема Коши также для цилиндрического типа плотности использована в [44]. Известно также много других работ.

## Глава 6 МИГРАЦИОННО-НАТУРНЫЕ ЭЛЕМЕНТЫ СУДЕБНЫХ КОНСТРУКЦИЙ ЗА ПРЕДЕЛОМ ЭРУСТИИ

### § 28. Поведение конструкций при многократном нагружении

**28.1. Основные особенности работы конструкций при многократном нагружении.** Поведение конструкций, работающих в пластической стадии, при повторном нагружении на все меньших нагрузках может быть заметно иным по сравнению с первым нагружением. Это связано с особенностями деформирования конструкций при разгрузке после нагружения на предел упругости. После разгрузки в конструкции всегда имеет место остаточные деформации и остаточные напряжения, и если нагружение системы при нагружении было неоднородным, появятся также остаточные напряжения.

Остаточные деформации могут повлечь за собой упрочнение материала. Тогда при повторном нагружении для возникновения пластических деформаций, например того же знака, потребуются более высокие напряжения. Остаточные перемещения приводят к изменению геометрии конструкции, и, если этот фактор существен для работы конструкции, он может оказать влияние на ее поведение при повторном нагружении. Остаточные напряжения, возникающие от действия внешней нагрузки при повторном нагружении, что приводит к изменению напряженного состояния конструкции по сравнению с первым нагружением и также оказывает влияние на ее работу.

Много определяет характер деформирования материалов конструкций при разгрузке. Не всегда разгрузка сопровождается уменьшением деформаций другого характера - реализуется упрочнение при разгрузке. Возможны случаи, когда процесс

увеличения внешней нагрузки сопряжен с появлением в разнотолстых пластических деформаций — на участках разгрузки. В этом случае весьма существенным явлением пластических деформаций, возникающих в процессе разгрузки: не имея возможности со временем деформаций при нагружении, могут при разгрузке развиться в пластические деформации обратного знака.

Если нагрузки конструкции многократны, остаток поведения конструкции в последующем в последующем нагружении могут и в а в а и в а т а в а. Следствием этого оказывается существенное снижение работы конструкции при многократном и многократном действии внешней нагрузки.

Можно выделить три типа поведения конструкции при многократном нагружении: приспособляемости, прогрессирующее разрушение и переменная вязкость. При приспособляемости имеет место, если заданная нагрузка (система нагрузок), которая при многократном нагружении вызывает пластическое деформирование конструкции, после конечного числа циклов нагружения вызывает в конструкции только упругие деформации. Конструкция приспособляется к заданной нагрузке.

Приспособляемость может реализоваться уже после первого цикла нагружения, например при циклическом поперечном изгибе пластины из идеального упругопластического материала. Здесь приспособляемость обеспечивается благодаря остаточным напряжениям, возникающим в поперечном сечении после разгрузки. Это видно на рис. 95. Запас остаточных напряжений (рис. 95, а) получается как результат сложения опорных напряжений в конце нагружения (рис. 95, а) и изменений напряжений в результате разгрузки (рис. 95, б). Последнее получается законом Гука.

При повторном нагружении, если предположить, что возникшие при этом деформации упруги, запас напряжений окажется в предельном на рис. 95, б, но будет иметь противоположные знаки. Суммирование поперечной с записью остаточных напряжений приводит к записи на рис. 95, в, отмечавшей первую нагружение. Следовательно, приспособляемость об упругий характер повторного нагружения не приводит к какому-либо противоречию.

Если конструкция к заданной нагрузке не приспособляется, возможно либо последовательное нарастание пластических деформаций с ростом числа циклов нагружения — прогрессирующее разрушение либо возникновение в каждом цикле в начале и так же течение конструкции последовательно пластических

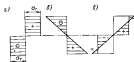


Рис. 95. Запас нормальных напряжений в сечении стальной проволоки после многократного нагружения: а — в конце нагружения; б — в процессе разгрузки; в — при упругой разгрузке; г — остаточные напряжения.

деформаций разных знаков — переменная вязкость. Все случаи течения относятся к разрушению конструкции: при прогрессирующем разрушении — вследствие накопления переменных деформаций и повреждения, при переменной вязкости — в результате явления усталостного характера.

При многократном нагружении может оказаться существенным рассеяние энергии из-за несовершенства пластичности  $\sigma - \epsilon$  при разгрузке и повторном нагружении (остаток гистерезиса на диаграмме растяжения); при малоамплитудном нагружении существенно роль эффекта Баушингера (см. § 4).

**§ 8. Теорема приспособляемости.** Для оценки поведения конструкции при многократном нагружении в общем случае необходимо анализ ее переменный, нагруженного и деформированного состояния при разгрузке, повторном нагружении и т.д. Анализ значительно упрощается, если предположить, что материал идеальн упругопластический, а изменения переменных малы по сравнению с размерами конструкции (симметричные циклоидные нагрузки).

Эти условия характерны для так называемой теории приспособляемости. Здесь поведение конструкции при последующих нагружениях зависит только от остаточных напряжений; остаточные деформации помаленьку не имеют, так как нет увеличения, а наличие остаточных переменных преобразование, тем же переменными циклоидными. Не учитываются и другие упомянутые выше эффекты. Поэтому возможности теории приспособляемости в такой постановке ограничены. В то же время она позволяет в общем виде сформулировать условия, при которых конструкция обеспечена приспособляемостью. Она известна как теорема приспособляемости.

Теорема Баяна-Модана (сплошность теория приспособляемости) состоит в следующем: приспособляемость конструкции существует, если имеет место наличие такой упругой или упругоупругой напряжений  $\sigma_{ij}^{(0)}$ , для которых во всех

$$\sigma_{ij}^{(T)} \geq \sigma_{ij}^{(0)} + \sigma_{ij}^{(R)}, \quad (28.1)$$

где  $\sigma_{ij}$  - компоненты тензора напряжений (§ 2, 26);  $\sigma_{ij}^{(T)}$  - значения  $\sigma_{ij}$ , удовлетворяющие условиям пластичности;  $\sigma_{ij}^{(0)}$  - значения  $\sigma_{ij}$ , возникающие в конструкции от действия заданных систем внешних сил, если ее материал является упругим. Если во всех точках поля  $\sigma_{ij}^{(T)}$  является поле остаточных напряжений в конструкции после полной разгрузки, поскольку внешне сил отсутствуют, остаточные напряжения должны быть самоуравновешены.

**Теорема Коутера** (эквивалентная теорема приспособленности) гласит: приспособленности конструкции не существует, если может быть найдена такая угловая или сдвиговая пластическая деформация, отличающаяся компонентно постоянную или приемлемой переменной, при котором приращение работы внешних сил будет больше приращения энергии рассеивания. Доказательство теорем см., например, в [60, 62].

Применение теоремы во многом является обобщением аналогичных теорем теории предельного равновесия (см. § 4) на случай многогранного нагружения. На их основе можно получить приближенное решение задачи, оспаривающее существование системы выделенных нагрузок, в которой конструкция имеет приспособленность; использованные теоремы Беско-Мизеса дают также оценку этих нагрузок, теорема Коутера - соответственно верхнюю оценку.

**28.3. Приспособленность сечения балки при сложном действии изгибающего момента и продольной силы.** Ранее мы видели, как можно в рамках стержневой теории нагружения, когда внешне нагружена и балка возмущает от края до маховика и увеличивается до края [79]. Предполагается, что после полной разгрузки в сечении могут действовать остаточные продольная сила  $N_{ост}$  и остаточный изгибающий момент  $M_{ост}$ , что характерно для статически

неопределенных балок. По теореме Беско-Мизеса приспособленности сечения обеспечиваются, если во всех его точках выполняются условия

$$|\sigma_x + \sigma_y| \leq \sigma_T. \quad (28.2)$$

Здесь напряжения в точках сечения представляем в виде суммы двух составляющих:  $\sigma_0$  - остаточные напряжения, которые можно рассматривать как постоянные напряжения в центре, но меняющиеся в процессе нагружения и разгрузки;  $\sigma_y$  - соответствующие переменные условия в центре.

Очевидно, что наибольшие абсолютные значения  $\sigma_y - \sigma_y^{max}$  и  $\sigma_y^{min}$  достигаются в конце нагружения. Поэтому (28.2) можно переписать соответственно для растянутой и сжатой частей сечения как

$$\begin{aligned} \sigma_x + \sigma_y^{max} &= \sigma_T; \\ \sigma_x + \sigma_y^{min} &= -\sigma_T \end{aligned} \quad (28.3)$$

Задачу состоит в определении нескольких значений  $N$  и  $M$  в центре, при действии которых обеспечиваются приспособленности сечения, - выявить границу приспособленности. Ниже представим

$$\begin{aligned} N &= N_{ост} + N_y^{max}; \\ M &= M_{ост} + M_y^{max}, \end{aligned} \quad (28.4)$$

где  $N_y^{max}$  и  $M_y^{max}$  - переменные составляющие  $N$  и  $M$ .

Из  $N_y^{max}$  и  $M_y^{max}$  уругим расчетом определяются  $\sigma_y^{max}$

и  $\sigma_y^{\min}$ . Если считать  $N_y^{\max}$  и  $M_y^{\max}$  известными, то

$$\sigma_{or} = \max \left\{ |\sigma_N + \sigma_M|; |\sigma_N|; |\sigma_M| \right\}; \quad (28,5)$$

$$\sigma_N = N_y^{\max} / F; \quad \sigma_M = \frac{M_y^{\max}}{J} z;$$

$\sigma_{or}$  — абсолютное значение  $\sigma_y^{\max}$  и  $\sigma_y^{\min}$ ;  $F$  и  $J$  — площадь и момент инерции сечения.

На рис. 28,б представлены эпюры  $\sigma_{or}$  по высоте сечения как сложная эпюра  $\sigma_N$ ,  $\sigma_M$  и  $\sigma_N + \sigma_M$ .

Эпюры  $N_{ост}$  и  $M_{ост}$  связаны с остаточными напряжениями  $\sigma_0$ , вызванными разностью величин и внутренними силами в сечении в момент разгрузки, когда  $\sigma_y = 0$ :

$$N_{ост} = \int \sigma_0 dF; \quad (28,6)$$

$$M_{ост} = \int \sigma_0 z dF.$$

Для определения неизвестных  $N_y^{\max}$  и  $M_y^{\max}$  можно из уравнения (28,5) и подставить их в (28,6):



Рис. 28. Эпюры нормальных напряжений: а — эпюра  $\sigma_N$ ; б — эпюра  $\sigma_M$ ; в — эпюра  $\sigma_N + \sigma_M$ ; г — эпюра  $\sigma_{or}$ .

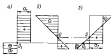


Рис. 29. Эпюры нормальных напряжений в боченке балки: а — в конце нагружения (в предельном состоянии); б — при упругой разгрузке; в — остаточные напряжения.

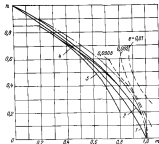


Рис. 30. Безразмерные максимальные моменты в предельном состоянии.

1 —  $m_{act} = m_{act} = 0,2$ ;  $m_{act} = m_{act} = 0,2$ ; 2 —  $m_{act} = m_{act} = 0,2$ ;  
3 —  $m_{act} = 0,2$ ;  $m_{act} = 0,2$ .

$$\left. \begin{aligned} N_{ост} &= \int_{F_+} (\sigma_r - \sigma_y^{max}) dF + \int_{F_-} (-\sigma_r - \sigma_y^{min}) dF; \\ M_{ост} &= \int_{F_+} (\sigma_r - \sigma_y^{max}) z dF + \int_{F_-} (-\sigma_r - \sigma_y^{min}) z dF, \end{aligned} \right\} (28.7)$$

где  $F_+$  и  $F_-$  — соответственно растянутая и сжатая части площади сечения в конце нагружения.

Выполнив интегрирование, получим

$$N_{ост} = N_1 - N_{ог}; \quad M_{ост} = M_1 - M_{ог}, \quad (28.8)$$

$$N_1 = \sigma_r (F_+ - F_-); \quad M_1 = \sigma_r \left( \int_{F_+} z dF - \int_{F_-} z dF \right); \quad (28.9)$$

$$N_{ог} = \int_F \sigma_{ог} dF; \quad M_{ог} = \int_F \sigma_{ог} z dF. \quad (28.10)$$

Различившая (28.8) с помощью (28.4) и (28.10), можно выразить остаточные  $N_y^{ост}$  и  $M_y^{ост}$ .

352

28.4. Приспособляемость балки при переменной нагрузке. При переменной нагрузке  $\sigma_M = 0$  и  $N = N_{ог} = N_{ост} = 0$ .

Тогда из (28.8)  $N_1 = 0$  и по (28.9)  $F_+ = F_-$ , что совпадает с (4.3) и соответствует предельному состоянию сечения при симметричном нагружении. Из этого следует, что  $M_1$  по (28.9) совпадает с  $M_0$  по (4.2) — предельным моментом сечения. Поскольку  $\sigma_M = 0$ ,  $\sigma_{ог} = \sigma_M$ . Тогда по (28.5) и (28.10)

$$M_{ог} = M_y^{max}; \quad \text{э следовательно по (28.8) } M_{ост} = M_0 - M_y^{max},$$

и после подстановки значения остаточного  $M_y^{ост}$  в (28.4), получим  $M = M_0$ .

Следовательно, при переменной нагрузке граница приспособляемости совпадает с предельным состоянием сечения и многократно характер нагружения теоретически в рамках принятой допущения не снижает несущей способности балки.

Следует, однако, что у профилей, нейтральная ось которых не является осью симметрии, в частности у несимметричного двутавра (таблицы для балок обычного выбора, приспособленные к несимметрии), приспособляемость достигается не после первого цикла нагружения. Из рис. 97 видно, что приспособляемость со временем характере деформации себя не определяет: на участке  $OB$ , остаточные напряжения сменяются осью  $\sigma_r$ , и здесь при разгрузке будут иметь место превращение пластических деформаций, сменяемых по закону с пластическими деформациями при нагружении. Этот эффект — вследствие несимметричного положения нейтральной оси сечения в упругом состоянии (точка  $O$ ) и в предельном состоянии (точка  $B$ ), характерное для несимметричного двутавра.

Таким образом, в первом цикле нагружения балок несимметричного двутавра после первой нагрузки имеют место неупругая разгрузка, рост (включая и остаточных деформаций и остаточных прогибов). Нулем, однако, является, что уст

отки эффектов крутилькости вала может результаты, а проявляется она при действии загибающих моментов, близких к предельным, когда толщина стенок деформируется и сжимаемой при изгибе стержня в рамках допущений об идеальной жесткости материала вольно резко падает. Поэтому в практических расчетах во избежание нестрогих оснований в большинстве случаев внеурегни характером разгрузки можно пренебречь.

**28.5. Податливость вала при продольном изгибе с учетом действия поперечных сил.** Для балки-валочка сжатой стержня, если обозначить через  $\frac{N}{A}$  среднюю поперечную силу в конце нагружения от срединной поперечной, можно конкретизировать параметр (28.5) для  $\sigma_{cr}$ :

$$\sigma_N = \frac{N^{max}}{A} = \sigma_T n_y; \quad (28.11)$$

$$\sigma_M = \eta \frac{M^{max}}{A I} z = \frac{3}{2} \sigma_T m_y \bar{z},$$

тогда

$$\left. \begin{aligned} n_y &= \frac{N_2^{max}}{N_0} ; \\ m_y &= \frac{M_2^{max}}{M_0} ; \\ \bar{z} &= \frac{2z}{h} . \end{aligned} \right\} (28.12)$$

Тогда

$$\sigma_{cr} = \begin{cases} \frac{3}{2} m_y \bar{z} \sigma_T n_y - 1 = \bar{z} = -\beta ; \\ n_y \sigma_T n_y - \beta = \bar{z} = 0 ; \\ n_y + \frac{3}{2} m_y \bar{z} \sigma_T n_y \sigma \leq \bar{z} \leq 1 . \end{cases} \quad (28.13)$$

Это позволяет вычислять интегралы в (28.10). По (28.9)  $n_x = N_1/N_0 = \beta$ ;  $m_x = M_1/M_0 = 1 - \beta^2$ . После подстановки в (28.8), если  $n_{ocr} = N_{ocr}/N_0$  и  $m_{ocr} = M_{ocr}/M_0$ , получим систему двух уравнений относительно  $n_y$  и  $m_y$ :

$$\left. \begin{aligned} \frac{1}{2} n_y (1 + \beta) + \frac{3}{2} m_y \beta^2 = \beta - n_{ocr} ; \\ \frac{1}{2} n_y (1 - \beta^2) + \frac{1}{2} m_y (2 - \beta^2) = 1 - \beta^2 - m_{ocr} . \end{aligned} \right\} (28.14)$$

Решив эту систему, находим по (28.4)  $n_x$  и  $n_z$ , отбрасывая решение предположительности.

$$\left. \begin{aligned} n_x = \frac{M}{M_0} = 2 \frac{(1 + n_{ocr})(1 - \beta) - m_{ocr}}{2 - \beta^2 - \frac{3}{4} \beta^2 (1 - \beta)} ; \\ n_z = \frac{N}{N_0} = \frac{2(\beta - n_{ocr}) - \frac{3}{4}(m - m_{ocr})\beta^2}{1 + \beta} + n_{ocr} . \end{aligned} \right\} (28.15)$$

Зависимость (20,15) дает связь между координатами  $m$  и  $n$  в параметрической форме (ровно параметру играет  $\beta$ ). Результаты расчетов<sup>2</sup> представлены на рис.30. Вспоро-структурная линия отличает продольную ось от симметричного нагружения (безразличности текучести). Кривая 1 - граница приспособляемости при  $M_{ост} = M_{ост} = 0$ . Показано заметно ее совпадение с первой; небольшое расхождение составляет 3%, что является следствием несомненного повышения нейтральной оси в уруглой стадии и продольного сжатия на счет продольной оси, как и при выборе метода несимметричных диаметров (см. рис.37). Из рисунка следует, что предельная пластическая деформация, вызываемая при нагружении, имеет тот же знак, что и пластическое деформации при нагружении. Следовательно, циклическое действие  $M$  и  $N$ , значения которых лежат между кривой текучести и границей приспособляемости, влечет за собой прогрессирующее разрушение.

Наличие в отчетной остаточной продольной оси и изгибающих моментов  $N_{ост}$  и  $M_{ост}$ , совпадающих по знаку с  $N$  и  $M$  в конце нагружения, уменьшает расхождение между кривой текучести и границей приспособляемости; если знаки  $N_{ост}$  и  $M_{ост}$ ,  $N$  и  $M$  не совпадают - обратные. На рис.30 это иллюстрируется кривыми 2 и 3. Случай, когда  $N_{ост} > 0$ , а  $M_{ост} < 0$  при  $N > 0$  и  $M > 0$  - промежуточный. Так, кривая 4 на рисунке ( $N_{ост} = 0,2$ ,  $M_{ост} = -0,2$ ) близка к кривой 2 при малых значениях  $n$  и совпадает с кривой 3 при больших значениях  $n$ . Однако степенью опасности возникновения прогрессирующего разрушения в пластичном состоянии, воспринимающем поперечную нагрузку, на примере изгиба балки-полоски, вместо приведенной по координате и меньшей распор. Начиная рассмотрение с остаточных изгибающих моментов и продольных сил 1. У балки из идеального упругопластического материала, нагруженной равномерной распределенной нагрузкой  $q$ , по известным

предельного состояния (концы нагружены)  $M(l/2) = M(0) - \frac{q_0 l^2}{16}$ , где  $M(l/2)$  и  $M(0)$  - изгибающие моменты соответственно посредине пролета и в начале.

Если предположить нагрузку уруглой, то для вычисления максимальной изгибающей моменты в результате нагружения достаточно выполнить уруглой расчет той же балки на нагрузку  $q_0$  с предельными значениями. Как известно,  $\Delta M(l/2) = -\frac{q_0 l^2}{24}$ ;

$$\Delta M(0) = -\frac{q_0 l^2}{12}. \text{ Тогда остаточные изгибающие моменты}$$

$$M_{ост}(l/2) = \frac{3q_0 l^2}{48}; \quad M_{ост}(0) = -\frac{q_0 l^2}{48}. \text{ Учитывая, что предельная нагрузка балки } q_0 = \frac{16M_0}{l^2}, \text{ в безразмерной форме для краев пролета } m_{ост} = 1/3; \text{ для середины балки } n_{ост} = -1/3.$$

Наличие продольной оси в отчетной снижает величину момента, воспринимаемого этой отчетной. Продольная ось, рассматриваемая на счет распора, вообще снижает изгибающие моменты в балке, и этот эффект проявляется тем сильнее, чем больше притягивает. Последнее есть проявление геометрической нелинейности металла, рассмотрены которой при многократном нагружении рассмотрены в следующем параграфе.

Чтобы оценить величину остаточной продольной оси, нужно было бы рассчитать балку с учетом распора при нагружении и разрушении. Сославшись здесь на подлеса, приведенные в § 30, продемонстрируем характерные значения  $N_{ост}$  результатов экспериментов [130]. Испытывалась стальная полоса прямоугольного сечения толщиной 0,33-0,41 мм, шириной 20 мм, пролетом 300 мм; на ее свободных концах распор; поперечная нагрузка - цилиндрическая концентрированная сила  $P$ ; приложения посредине пролета. Величины  $N_{ост}$  для одной из балок показаны на рис.39 (точка - результаты экспериментов). Как видно из рисунка,  $N_{ост}$  может достигать больших величин. У балок с распором балки  $N_{ост}$

<sup>2</sup> В выполнении расчетов принимал участие В.Л.Водукин.

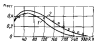


Рис. 98. Остаточные напряжения  $\sigma_{\text{ост}}$  в балке в разгрузку. 1 - теоретический расчет; 2 - экспериментальный расчет, откорректированный по результатам измерений профилей в конце нагружения.

и  $N$  востановившимся.

Сопоставляя полученные опыты  $N_{\text{ост}}$  и  $N_{\text{ост}}$  с результатами анализа, представленным на рис. 98, можно сделать вывод, что наличие в пластинках после разгрузки остаточных продольных сил и изгибающих моментов существенно снижает связь между кривой текучести и кривой приспособляемости на рис. 98 и соответственно снижает опасность реализации прогрессирующего разрушения.

Поскольку строить такие упрочнения. Простейший вариант - упрочняющий материал с линейным упрочнением. Предполагая, что разгрузка будет полностью упругой и приспособляемость обеспечивается после первого цикла нагружения, если пластинка нейтральной оси не имеет смещения  $\Delta$  при разгрузке (такая  $\Delta$  на рис. 97, а) не выйдет за пределы упругого деформации в конце нагружения. Прямая приспособляемости, полученная исходя из этого условия и использованием равенств § 22, представлена на рис. 98 пунктирными линиями. Она разделяет значительную часть пластинчатого модуля упрочнения  $\sigma = E_0/E$ . Значения  $\sigma = 0,0005 \div 0,01$  практически полностью перекрывают диапазон значений этой величины при антропогенных нагрузках пластинчатых элементов конструкций. На рисунке видно, что касательное упрочнение сдвигает границу приспособляемости за пределы области, ограниченной кривой текучести при однократном нагружении.

Приведенные данные в целом свидетельствуют о том, что возмущение прогрессирующего разрушения в пластинках обшивки от многократного действия поперечной нагрузки практически невозможно, и, следовательно, в экспериментах по обшивке можно

использовать предельные значения при многократном нагружении (см. например, [7, 9, 103, 104] и др.). Поэтому в приведенных расчетах пластинки обшивки можно рассматривать как упрочненные конструктивные элементы, теоретически приспособленные для многократного нагружения. Более подробно вопросы приспособляемости пластины в [20, 85, 103; см. также обзор [42] ] .

### § 26. Наклоны остаточных напряжений в пластинках обшивки

26.1. Остаточные напряжения. Рассмотрение или теории приспособляемости, как и другие современные подходы к анализу поведения конструкций в пластинчатой обшивке при многократном или длительном нагружении, основаны на предположении, что остаточные напряжения, возникающие в конструкции после завершения цикла нагружения - разгрузки, по своему значению остаются неизменными. Неудивительно, что остаточные напряжения для такой конструкции однозначно определяются историей нагружения в рамках линейной упругоупрочняющей системы элементов нагрузки. Когда речь идет о работе обычных конструкций в сосредоточенных условиях в течение достаточно длительного времени, такое предположение вряд ли может быть признано безосновательным.

Вопросы стабильности остаточных напряжений в металлах после цикла нагружения, в частности можно лишь сослаться на некоторые экспериментальные данные и качественные оценки данных, возникающих вследствие этих напряжений [103]. В то же время остаточные напряжения в конструкциях - весьма распространенное явление. Причина их возникновения весьма разнообразна: помимо воздействия внешних нагрузок, возникающих в результате пластических деформаций (как в рассмотренной задаче, а также в таких технологических процессах, как штамповка, прокатка, волочение, гибка, механическая обработка и др.), это - неравномерность нагрева и остывания элементов конструкции (при литье, термической обработке, сварке), деформация при монтаже конструкции и т.п. Известно, что существование остаточных напряжений всегда повышает риск аварийной ситуации при работе конструкций из металлов. Однако нет никаких оснований утверждать, что эти напряжения остаются неизменными до конца срока службы объекта.

$$\sigma_{ij}^{(0)} = \sigma_{ij}^{(0)} + \sigma_{ij}^{(1)}, \quad (29.1)$$

В качестве основных факторов, влияющих на величину остаточных напряжений, можно указать на пластические деформации, возникающие в конструкции при статическом нагружении; релаксационные процессы в материале; циклическое нагружение конструкции. Первое очевидно и является предметом исследования в теории пластичности. Однако нельзя упустить из внимания то, что в реальных условиях эксплуатации структурные элементы подвергаются большому числу мелких воздействий (ударных и тепловых), которые наряду с амплитудной нагрузкой также могут оказывать влияние на остаточные напряжения.

Релаксация (уменьшение) напряжений в материале с течением времени при постоянных деформациях — хорошо известное явление. Она имеет место как в упругих, так и в пластических телах, особенно заметна при больших температурах и может рассматриваться как один из проявлений вязкоупругости стали (см. § 1). Процессы естественного старения металлов, связанные со структурными изменениями материала, — это также уменьшение остаточных напряжений во времени. Достаточно широко известно явление остаточной релаксации в металлах и сплавах конструктивных при динамическом нагружении благодаря комплексным неупругим деформациям в структурных материалах (см., например, обзор [74]).

Известные данные говорят о том, что предположение об изменении (ослаблении) остаточных напряжений в конструкциях корабля на протяжении длительного периода эксплуатации справедливо обоснованно, чем предположение об их неизменности.

Заметим, что, говоря об изменении во времени остаточных напряжений в конструкции, нельзя исключать возможности изменения остаточных деформаций. Структурные элементы — отдельные детали, комплексные конструкции, не исключают старения его при всем разнообразии. Но этот вопрос, так же как количественный оторван эффект, связанный с изменением остаточных напряжений в конструкциях, безусловно, заслуживает внимания.

**29.2. Особенности поведения конструкций при длительном статическом нагружении в условиях многоциклического нагружения.** Можно утверждать, что если в конструкции, достигшей остаточной приспособленности в результате заданного нагружения, уменьшить остаточные напряжения, то последующее нагружение теми же нагрузками вызовет в конструкции появление пластических деформаций, т.е. состояние приспособленности в пластической зоне, описано (28.1)

где  $\sigma_{ij}^{(0)}$  — остаточные напряжения. В области, где

$$|\sigma_{ij}^{(0)}| > |\sigma_{ij}^{(1)}|, \quad \sigma_{ij}^{(0)} \text{ и } \sigma_{ij}^{(1)}$$

имеют противоположные знаки. Пусть после разгрузки  $\sigma_{ij}^{(0)}$  уменьшилось,

стал равным  $\eta \sigma_{ij}^{(0)}$  при  $0 \leq \eta \leq 1$ . Тогда к концу последующего (второго) нагружения, если приложить его упругим,

$$\sigma_{ij}^{(2)} = \sigma_{ij}^{(0)} + \eta \sigma_{ij}^{(1)}. \quad (29.2)$$

Если принять (29.1) в (29.2) для области, где знаки  $\sigma_{ij}^{(0)}$  и  $\sigma_{ij}^{(1)}$  равны, станет ясно, что если  $|\sigma_{ij}^{(2)}| > |\sigma_{ij}^{(1)}|$ ,

т.е. предположение об упругом характере второго нагружения приводит к нарушению условий пластичности, а значит, оно должно сопровождаться появлением пластических деформаций.

Можно иметь экспериментальные подтверждения. Рассмотрим наглядно в пластической области балку и подкрепленные пластины с расстоянием [7, 9, 104]. В каждом цикле нагружения после разгрузки у балки демонстрировалось приспособление, пластический эффект ее коэда при растябе, чем снижались остаточные

цены напряжения; у пластично разорванных или произвольно сложенных стержней открытой кривизны и соответственно возможность ее применения возрастает, чем больше частота сменяется остаточные пластичные напряжения. Механизмы образования повреждений остаточных повреждений в каждом цикле нагружения. В конструкциях испытываются балки и пластины эллиптически поперечного сечения, когда остаточные пластичные напряжения полностью не снимаются, приращивая остаточных повреждений во втором и последующих нагружениях увеличивается их объем.

Указанным называют релаксационным циклом нагружения такой цикл в системе многократного нагружения конструкции в пластической стадии, когда в первом между разгрузкой и последующим нагружением остаточные напряжения  $\sigma_{ост}$  уменьшаются. Соответственно, если после разгрузки

$\sigma_{ост}$  обращается в нуль, релаксационный цикл будет считаться полным; если  $\sigma_{ост}$  остается отличным от нуля, - частичным релаксационным циклом, если  $\sigma_{ост}$  не компенсируется обратным циклом нагружения.

Если считать материал идеально упругопластическим, а изменение геометрии конструкции вызывается ее деформированием неоднородным (общие допущения теории пластического течения), то при первом релаксационном цикле последующие нагружения ничем не отличаются от начального нагружения, и, значит, при действиях циклической нагрузки приращивая пластических деформаций при каждом нагружении будут одинаковыми. Основание верно для любой ширины цикла.

Следовательно, при наличии постоянной нагрузки в этих условиях будет происходить непрерывный рост пластических деформаций с постоянной скоростью. Ожидая возможность образования этого вида на нагружение, в котором реализуется частотные релаксационные циклы - релаксационные нагружения, если в каждом цикле величина сдвига  $\sigma_{ост}$  уменьшается: параметр  $\eta = \sigma_{ост} / \sigma_0$  в (25.2). Если  $\eta$  в разных циклах разная, приращивая пластических деформаций также будет иметь место в каждом цикле, но скорость их роста будет переменной. Таким образом, при многократном релаксационном нагружении конструкции во время

каждого цикла пластического сдвига не теркая в пластической стадии, если величина ее геометрии неустойчива, всегда имеет место разрушение релаксационного цикла.

В связи с указанным важно учесть изменения в поведении конструкции, вызванные ростом пластических деформаций. Здесь можно выделить два случая: упрочнение конструкции, - когда рост пластических деформаций с постоянной скоростью при многократном релаксационном нагружении и  $\eta = \sigma_{ост} / \sigma_0$  величина сдерживающей увеличивается величина нагрузки, и релаксационная конструкция, - когда в аналогичных условиях требуется увеличение начальной нагрузки.

Упрочнение может быть фактически и геометрическим. Фактически упрочнение достигается конструкцией - применением упрочняющих материалов. Например, при рассмотрении балки из упругопластического материала с упрочнением она в то же приращивая пластических деформаций обуславливается положительными релаксационными моментами при резкой величине начальных пластических деформаций (деформаций материала сечении до начала рассматриваемого нагружения). С ростом пластических деформаций должны увеличиваться и отрицательные моменты, а следовательно, величина нагрузки, с которой связано их появление.

Аналогично приращивая геометрического упрочнения конструкции или геометрии элементов ее геометрии с ростом пластических деформаций. Если изменение геометрии при очередном нагружении величина нагрузки имеет на себя увеличение положительных напряжений, соответственно будут уменьшаться и приращивая пластических деформаций. Поэтому положительное постоянное увеличение скорости роста пластических деформаций требует увеличения нагрузки. Примером может служить стальной шпиль балки, когда продольные стержни релаксационные. Увеличение начальной величины балки как следствие остаточных повреждений, полученных ее в предшествующих нагружениях, приводит к уменьшению отрицательных моментов от постоянной продольной нагрузки. Аналогично, если изменение геометрии конструкции при очередном нагружении имеет на себя увеличение положительных напряжений, - конструкция является геометрически релаксационной (Пример - стальной шпиль балки, когда продольные стержни сжимаются.)

Названное позволяет утверждать следующее: при ко-  
леблемости конструкции на иде-  
альной упругоэластическом ма-  
териале при многократном цикли-  
сескционном нагружении возможна  
при резонансе, что существует такое  
поле остаточных перемещений, при  
котором от действия заданной на-  
грузки в ней не возникает эле-  
ментарные деформации. Это необходимое условие  
существования приспособленности. Исключением вполне  
служит возможность, что указанное поле остаточных переме-  
щений может возникнуть от действия заданной нагрузки.

**23.3. Выполнение остаточных прогибов в обшивке при много-  
кратном релаксационном нагружении<sup>1</sup>.** Рассмотрим цилиндрический  
угол пластинки обшивки, жестко заделанной на опорной кривой,  
внешней распор и нагруженной равномерной распределенной нагрузкой  
интенсивности  $q$ . Материал будем считать идеально упру-  
гопластическим. При многократном релаксационном нагружении в  
пластинке появятся остаточные прогибы, которые будут расти с уве-  
личением числа релаксационных циклов. Эти прогибы, как указыва-  
лось выше, играют роль позадонной нагрузки и снижают величину по-  
гибающих моментов в сечении пластины от действия заданной на-  
грузки  $q$ . При этом соответственно уменьшается протяженность  
пластических участков пластинки. Такой процесс покажем качественно  
линейно привести к ситуации, когда протяженность пластического  
участка в крайней части пластины сократится до нуля. Если бы  
пластинка была параболой кривой на кривой, это означало бы дости-  
жение состояния приспособленности.

Все это позволяет сформулировать понятие первого  
предела выхождения остаточных  
прогибов, как такую величину начальной нагрузки пластинки,  
при которой наибольший момент поперечно по пролету, возникающий  
от действия заданной нагрузки  $q$ , равен моменту фибровой упру-  
кости сечения  $M_T$ . Как показано выше, достижение первого  
предела исключает при релаксационном нагружении у жестко заде-

ланной пластины возник за собой резкое уменьшение скорости рос-  
та остаточных прогибов.

Названные остаточных прогибов жестко заделанной пластины  
подвержены прогибам (будет достигнуто состояние приспособлен-  
ности), когда возникнут пластические деформации также в районе  
опорной кривой пластины. Поэтому назовем вторым пре-  
делом выхождения остаточных про-  
гибов такую величину начальной нагрузки пластинки, при кото-  
рой наибольший момент в сечении заданной, расположенной от дейст-  
вия заданной нагрузки  $q$ , равен моменту фибровой упругости  
сечения. Поскольку величина прогиба наибольшей протяженности  
только геометрической величиной нагрузки  $q$  и моментом нагрузки  $q$ ,  
то, что прогиб наибольшей не зависит от характера релаксацион-  
ного цикла — заданным параметром  $\tau$  в (23.3). Последнее имеет  
только не число релаксационных циклов, реализация которых необ-  
ходима для достижения предела выхождения.

Для определения предела выхождения остаточных прогибов релаксационной  
пластинки воспользуемся приближенными методами рас-  
чета Салге с распором, приведенным в § 23. При реализации пе-  
рого предела выхождения пластический участок есть  
только в районе заделок (рис.100). Поэтому пластический участоч-  
ный угол поворота в опорном сечении от нагрузки  $q$  в опорном  
момента  $M^0$  выражается как

$$E_I J \omega_0^i = -F_p = -M_0 c \varphi_2(m^0); \quad (23.3)$$

$$m^0 = \frac{M^0}{M_0};$$

соответствующая пластическая составляющая максимального про-  
гиба

$$\begin{aligned} E_I J \omega_{MD} &= \frac{1}{2} E_I J \omega_0^i + F_p \left( \frac{1}{2} - \frac{S_p^i}{l_p} \right) = \\ &= -M_0 c^2 \left[ \varphi_2(m^0) - \varphi_2^*(m^0) \right]. \end{aligned} \quad (23.4)$$

<sup>1</sup> Настоящий раздел написан совместно с В.П.Шубиным.

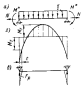


Рис. 100. Схема балки (а); линия моментов изгиба (б) и схема реакции балки (в).

Здесь  $E_I = \frac{E}{1 - \mu^2}$  учитывает различие между изгибом балки поперек намотки и балки,  $\mu$  — коэффициент Пуассона. Пренебрежимо малым участком, если пренебречь неоднородностью распределения изгибающего момента ( $c \ll l$ ):

$$c = \frac{2 M_D}{q l^2} (m^* - m_r).$$

Угловая составляющая максимального прогиба от  $q$  и  $M^*$

$$E_I J w_{\max} = \frac{5 q l^4}{384} - \frac{M^* l^2}{8}. \quad (29.5)$$

Начиная считать будем считать округленной с максимальной стрелой  $f_M$ , то так она образовалась в процессе изгибаемой остаточной прогибе, когда в зонах не было пластических шарниров. Тогда суммарный максимальный прогиб пластиче, изгибающий  $f_M$ , при учете влияния прогибающей силы  $N$  по (22.27) составит

$$f = \frac{w_{\max} + w_{\max} + f_M}{1 + \alpha^2}; \quad \alpha^2 = \frac{N l^2}{\pi^2 E_I J}. \quad (29.6)$$

Для определения изгибающей  $f_M$  — первого прогиба изгибаемой — можно принимать максимальный изгибающий момент в плоскости изгибающей  $M_D$  или моменту фибровой поверхности сечения  $M_D^*$ :

$$M_D \text{ или } = \frac{q l^2}{8} - M^* - N f - M_D^*. \quad (29.7)$$

Выражения (29.4)–(29.6) позволяют найти  $f_M$ , если известны  $N$  и  $M^*$ . Для определения последнего нужно потребовать, чтобы угол поворота первого сечения  $w'_0 = 0$ . Угловая составляющая  $w'_0$  от  $q$   $E_I J$ ,  $w'_0(q) = \frac{q l^2}{24}$ .

Для нее и  $w'_{0D}$  по (29.3) влияние прогибающей силы  $N$  может быть приближенно учтено с помощью (22.27). Для угловой составляющей  $w'_0$  от  $M^*$  погрешность будет довольно мала. Поэтому здесь лучше воспользоваться известным точным решением [102]. Тогда

$$w'_0 = \frac{w'_{0D} + w'_{0D}(q)}{1 + \alpha^2} - \frac{1}{2} M^* l \frac{ch \alpha}{\alpha} = 0; \quad (29.8)$$

$$\alpha = \frac{1}{2} \sqrt{\frac{N}{E_I J}}.$$

Анализ<sup>7</sup> показывает, что для различных пластиче сечениях при постоянном первом прогибе изгибаемой в зонах неограниченно пластического шарнира,  $M^*$  равен предельному моменту сечения и неоднородности в решении (29.8) отсутствует.

Для определения прогибающей силы  $N$  нужно составить уравнение совместности деформаций (22.3)  $w_D = w_C + w_A$ . Величину  $w_C$  найдем приближенно по (24.26) как  $w_C =$

<sup>7</sup> Анализ выполнен Л.М.Кремлюком.

$= 2,4 \frac{f^2 - f_0^2}{l}$ . Величину  $\omega_z$  можно, используя известные функции

$$\omega_z = \frac{Nl}{EJ} + \frac{2M_0}{EJ} cX, (m^2) + \frac{N}{N_0} h |\omega_0'|. \quad (29.9)$$

Последний член учитывает разрыв оси балки в сечении пластических шарниров заданых по (12.12), (12.22) и должен учитываться лишь в случае, если последние есть. В результате получается уравнение

$$2,4 \frac{f^2 - f_0^2}{l} = \frac{2N_0}{EJ} cX, (m^2) + \frac{N}{N_0} h |\omega_0'| + \frac{Nl}{E_1 F k_p^2} \quad (29.10)$$

где  $\frac{1}{k_p^2} = 1 + \frac{AE_1 F}{l}$ ;  $k_p^2$  - упругий коэффициент рас-

пре, совпадающий с действительным по (12.9), если балка работает упруго;  $A$  - коэффициент пластичности распрямленной конструкции по (12.8). Решение задачи в целом следует выполнять численно с использованием метода последовательных приближений.

Закономернее может быть также пользоваться для определения в торце пружина накопления. Поскольку при этом реализуется пластическая деформация в плоскости отступания, во всех сечениях кривые зависимости пластических функций можно показать равными крив:  $\psi_s(m^2) = \psi_1(m^2) = X_s(m^2) = 0$ .

Уравнение  $M_{D \max} = M_T$  (29.7) откладывает. Свободный изгибающий момент по условию  $M^0 = M_T$ , а уравнение (29.8) вместе с (29.10) используется для определения  $N$  и  $f_H$  - искомого предела накопления.

Как показано в анализе, первый предел накопления для рассмотренных плоских конструкций после двух-четырех полных циклов нагружения, достигшие второго предела накопления требует большого числа разгрузочных циклов. На рис.101 для примера приведены характерные кривые накопления остаточных пределов  $f_{ост}$ . Здесь  $r$  - номер полного разгрузочного цикла. Крас-

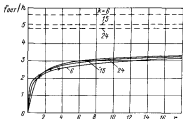


Рис.101. Кривые накопления остаточных пределов.

ные на крайних отрезках  $f_{ост}$  первого предела накопления, построены горизонтальные прямые - соответственно  $f_{ост}$  второго предела накопления. Кривые построены для

$$\frac{g}{2G_T} \left(\frac{l}{h}\right)^2 = 9 \quad \text{и разнятся значениями параметра}$$

$$k = \frac{3G_T}{E_1} \left(\frac{l}{h}\right)^2. \quad \text{Для частотных разгрузочных циклов}$$

форма кривых накопления остаточных пределов аналогична.

С целью облегчения практических расчетов для рассмотренных плоских на рис.102-104 представлены построены кривые накопления остаточных пределов  $f_{ост}$  пластины, жестко защемленной на одном конце и нагруженной по цилиндрической поверхности, расположенной при многократном действии равномерно распределенной нагрузки (первый предел накопления). На рис.102-107 приведены аналогичные

<sup>4</sup> Диаграммы построены на основании расчетов, выполненных Е.Б.Таммом.

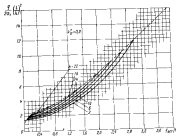


Рис. 402. Диаграмма максимальных остаточных напряжений пластича, жестко заделанной на ободе шкатуры в радиусе по цилиндрической поверхности (первый случай заделки).

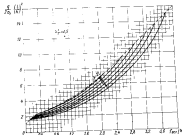


Рис. 403. Диаграмма максимальных остаточных напряжений пластича, жестко заделанной на ободе шкатуры в радиусе по цилиндрической поверхности (второй случай заделки).

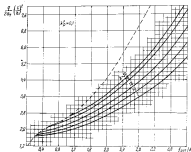


Рис. 404. Диаграмма максимальных остаточных напряжений пластича, жестко заделанной на ободе шкатуры в радиусе по цилиндрической поверхности (второй случай заделки).

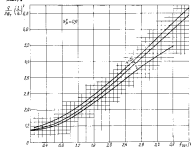


Рис. 405. Диаграмма максимальных остаточных напряжений пластича, жестко заделанной на ободе шкатуры в радиусе по цилиндрической поверхности (второй случай заделки).

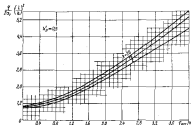


Рис. 4.06. Диаграммы минимальных остаточных напряжений пластины, жестко заделанной на опорном контуре и нагруженной по цилиндрической поверхности (второй предел текучести).

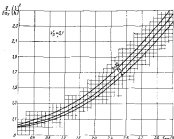


Рис. 4.07. Диаграммы минимальных остаточных напряжений пластины, жестко заделанной на опорном контуре и нагруженной по цилиндрической поверхности (второй предел текучести).

диаграммы минимальных остаточных напряжений пластины, жестко заделанной на опорном контуре и нагруженной по цилиндрической поверхности, возникающих при многократном действии равномерно распределенной нагрузки (второй предел текучести). Здесь, как и выше,  $k_p$  - условный коэффициент раскрытия; параметр  $k$

$$= \frac{3G_T}{E_T} \left(\frac{l}{h}\right)^2. \text{ Примерная кривая на рис. 4.06-4.08 - граница существования первого предела текучести. Она отвечает случаю, когда предел текучести достигнут только опором нагружения.}$$

Этот случай имеет место, когда предел текучести достигнут только опором нагружения.

Этот случай имеет место, когда предел текучести достигнут только опором нагружения. Этот случай имеет ряд аспектов [48], один из которых состоит в установлении для пластин зависимости нагрузки - остаточный предел.

Получение решения здесь основано тем, что деформация местных нагрузок локализуется на коротком участке, а избыточные остаточные напряжения - результат их накопления в течение пластичного периода эксплуатации сущности. Попытка игнорировать процесс накопления, учитывая известные результаты о предельной деформации пластин при обычном изгибе в этом вопросе (см. в предыдущем параграфе), неизбежно приводит к нормально большим значениям нагрузок, которые только фактически согласуются с действительными на тех же сущности поведением других элементов конструкции, например, шара.

Преодолевать эти трудности возможно только предположив об изменении остаточных напряжений в объеме в процессе эксплуатации сущности, равномерном нагружении и предельном накоплении остаточных напряжений. Если рассмотреть деформацию на эксплуатационном сущности остаточные напряжения как предел текучести, можно определить минимальные значения циклической постоянной нагрузки, которая способна вызвать эти процессы. Такая нагрузка может служить основой оценки минимальных местных нагрузок, возникающих в процессе эксплуатации. В качестве верхней оценки можно принять значение нагрузок, отвечающей на-

большими прогибами, а приподнятыми ее оплывшими ребрами. Но в большинстве случаев, к сожалению, различия между верной и неверной оценками обнаруживаются весьма большими.)

Надстройкой может служить исследование влияния нагрузок, возникающих на борту промышленных судов при швартах во время швартовки через плавучие краны [19]. Нагрузки определялись на основании измерений деформации в размерах гофрировки бортовой обшивки в районе переменной катеринки. Эти деформации — результат накопления за протяжении 20-25 лет эксплуатации судна, в течение которых обычно число швартовочных операций швартовки достигало 15-20 тысяч.

Это исследование основано на приеме в качестве расчетного соотношения между нагрузкой и остаточными прогибами второй степени кинематики. Полученные в результате статистической обработки данные нагрузки лежат в пределах 20-40 Н, что дает хорошее соотношение с измеренной амплитудой бортового выноса и значениями его повреждения на эксплуатационных судах.

Согласно информации о поврежденных судах выяснилось, что если предельная максимальная нагрузка бортовой переграды от крана (5-15), была увеличена нагрузкой, повышенной наборе на эти суда (вместо от крана) не дифференциально; на всех судах, где выносы от крана имеют местный характер, предельная нагрузка переграды оказалась меньше указанной. Нагрузки, введенные по статистическим прогибам обшивки в предположении, что они являются результатом однократного сильного воздействия, оказались 100-150 Н. Это является больше предельных нагрузок бортовой переграды практически всех судов.

Наибольшее влияние нагрузки оказывают и особенно же вредно к нормированию местной прочности обшивки. Рядовая многолетняя полувексельная опыт эксплуатации судов с гофрированной бортовой обшивкой, было весьма полезным принять предположение: к концу срока службы судна гофрировка обшивки не должна вытеснять несомкнутость ривалета. Поэтому в качестве нормативных ограничений была выбрана допустимая стрелка прогиба обшивки по вертикали для деформации [8] с определенными значениями. Расчетный остаточный прогиб к концу срока службы судна определяется как соответствующий второму пределу текучести. Полученные в результате толстые обшивки оказались реальными, хорошо согласующимися с опытом эксплуатации.

Аналитическое исследование выполнено в связи с определенными видами нагрузок, возникающими на днищевой обшивке судна при швартовке<sup>1</sup>. Так же на основе измеренной информации в размерах поврежденной обшивки накопилось материал, особенно же наибольшим остаточными прогибами. Указывая, что нагрузки могут быть результатом накопления за ограниченный период эксплуатации судна, предположительно амплитуды (1-2 года), в качестве расчетных для критерия первой степени накопления. Полученные нагрузки хорошо соотносятся с расчетными данными в измеренной способности и информации о повреждении листовых прогибах ребор, в том числе обшивки, определяются, как в итоге, при определении допустимых остаточных прогибов — с современными мировыми опытом судостроения.

Исследованиями предположения о возможности остаточных прогибов и их нормирование также хорошо оправдал себя при определенных толстых участках грузовой палубы судна с горизонтальным способом нагрузки [21, 22]. Толстые грузовой палубы на тонких судах испытывают большие местные нагрузки от воздействия тяжелой железной посуды, применяемой для транспортировки грузов. Наиболее места ривалета эти пластины в угловой стадии по поврежденным направлениям привела к образованию больших толщин, которые привели за собой существенное переувеличение корпуса. Рассмотренный подход позволил получить существенно меньшие толщины, хорошо согласующиеся с мировой практикой проектирования и строительства судов этого типа. Там есть исключительными опыт применения вышеупомянутого метода при определении местных нагрузок.

<sup>1</sup> В работе принимала участие Е.В.Толочка и С.А.Сарыгин.

## Заключение

Заключая книгу, позволим себе еще из некоторых вопросов, которые могут возникнуть при ее чтении в связи с практическим применением рассмотренных методов и расчету стальных конструкций. В первую очередь речь пойдет о вопросах, относящихся к проблеме обеспечения предельной несущей прочности конструкций в тесно связанной с ней проблеме снижения концентрации напряжений на концентраторах сущих.

В книге не случайно уделено большое внимание определению предельных нагрузок. Как указывалось выше, предельные нагрузки могут быть использованы для оценки возможности повышения несущей способности набора — остаточные прогибы, достаточны велики, чтобы стать объектом деформации и соответственно вызвать необходимость ремонта. При малых нагрузках остаточные прогибы невелики, имеют характер технологических нагрузок при постройке сущих и не вызывают каких бы то ни было опасений. В подтверждение этого позволим привести некоторые результаты анализа, сделан с простыми примерами.

На рис. 508 представлены зависимости нагрузок — прогибы для двупролетной балки, жестко заделанной по концам и нагруженной посередине пролета сосредоточенной силой  $P$ ; размер отсутствует. Если пролет балки — идеальный, а материал идеально упругопластический, то при достижении предельной нагрузки  $P_0$  одновременно в трех сечениях образуются пластические шарниры; при  $P < P_0$  балка работает упруго (кривая 1). Упругопластическая стадия здесь отсутствует и вплоть до  $P = P_0$  остаточные прогибы не накапливаются. Балка прямоугольного профиля (кривая 2) — в расчетной упругопластической стадии. Разность абсцисс кривых 1 и 2 — ее остаточные прогибы  $f_{ост}$ . Из рисунка видно, что она меньше уп-

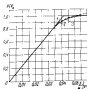


Рис. 508. Зависимость нагрузок — прогибы двупролетной балки с жестко заделкой по концам, нагруженной сосредоточенной силой  $P$  посередине пролета. 1 и 2 — соответственно идеальный и упругопластический профили, материал — идеально упругопластический; 3 — несимметричный двупролетный профиль, материал — упругопластический с линейным упрочнением.

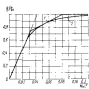


Рис. 509. Зависимость нагрузок — прогибы двупролетной балки с жестко заделкой по концам из идеально упругопластического материала, нагруженной равномерно распределенной нагрузкой  $q$  относительно нагрузки  $P_0$  относительности  $q$ . 1 — идеальный профиль; 2 — прямоугольный профиль.

ругим прогибам и даже при  $P \rightarrow P_0$  составляют ~ 40-50% от предельных. Углубим же прогибы балки ступенно набора, как показано, весьма незначительно. К такому же выводу приведет рассмотрение балки двупролетного профиля. Например, у двупролета с  $\bar{F}'_{H1} = 0,7$  и  $\bar{P}'_H / \bar{P}'_C = 0,6$  разницей абсцисс  $\frac{EJ}{M_0 L^2} f$  с балкой прямоугольного профиля вплоть до  $P / P_0 = 0,995$  не превышает 2,5%.)

Учет упрочнения (кривая 3 на рис. 508) снижает остаточные прогибы. В данном примере  $P / P_0 = 1 / f_{ост}$  увеличивается почти вдвое.

Хорошо известно, что сталь имеет остаточные прогибы во многом специфичные только для рассмотренной балки. Притом здесь две. Первая состоит в том, что все пластические шарниры в балке образуются одновременно. Поэтому упругопластическая стадия заканчивается в относительно узкой области конечной моментной нагрузки и дальнейшее остаточные прогибы являются лишь с распространением пластических деформаций по длине балки. Разнообразные образующие пластические шарниры привели бы к более ранней упругопластической стадии.

Второй пример связан с дюралюминием. А.Р.Рамзинским показано [410], что у балки прямоугольного профиля из сплава упругопластического материала при конечных прогибах пластичные участки сечения достигаются лишь в случае, если в этом сечении отсутствует поперечная нагрузка  $q = \infty$ , т.е. действует сосредоточенная сила. (В [6] показано справедливость этого положения для двутавровых профилей.) Это правило выполняется для всех трех пластических шарниров балки.

Сказанное далее детально рассмотрено прогибах балки с распределенной нагрузкой, представленных на рис.108. Здесь остаточные прогибы заметно больше, но также имеет характер упругих прогибов: для балки прямоугольного профиля при  $q/q_0 = 0,96$   $f_{ост}$  составляет 128% упругих прогибов, при  $q/q_0 = 0,98$  - соответственно 470%. (При нагрузках, еще меньше стабилизирующей от  $q_0$ , прогибы резко возрастают, ибо  $q_0$  становится лишь при  $f = \infty$ .)

На рис.109 также видно, что вплоть до нагрузок  $q/q_0 = 0,96 \div 0,98$  поведение для значений остаточных прогибов связано с распространением пластических деформаций по длине балки (расширением появлений пластических шарниров.) В связи с этим становится возможной оценка  $f_{ост}$  по результатам расчета балки с идеальным профилем вместо балки прямоугольного профиля (см. § 6).

В целом можно заключить, что при расчетных нагрузках, соответствующих условиям

$$q \leq (0,96 \div 0,98) q_0,$$

значения остаточных прогибов конструкций совпадают со значениями упругих или меньше их, т.е. весьма малы. В особенности это характерно для жестких балочных конструкций, остаточные прогибы которых при указанных условиях являются в пределах тысячных долей от длины их свободных пролетов [47].

Важным оказывается возможность использования предельных нагрузок в качестве критерия опасности возникновения поврежденной нагрузки (амплиты) и осуществлении оценки остаточных прогибов конструкций.

Несколько слов о величине раскрытия. Характерный вид зависимости нагрузки - прогиб для пластин с раскрытием показан на рис.73.

Для жестких пластин (и балок) типично резкое увеличение скорости роста прогибов по достижении предельной нагрузки (после горизонтальной участка на графике 1 рис.73). Остаточные прогибы  $f/h$  здесь, однако, остаются еще небольшими (следствие сильной жесткости конструкции), и соответственно величине раскрытия незначительны. В то же время в точке предельной нагрузки и особенно его отрывки по отношению к балкам и пластинам имеют качественно разные последствия, поскольку скорости изменения прогибов у них при этом существенно различны. Так, при  $f/h = 1/3$  прогиб пластин толщиной  $h = 10$  мм составляет 2 мм, что является допустимым в проектах технологических устройств из бутылочности обшивки при построении судна. Для балки такого же раскрытия  $h = 200$  мм такое же  $f/h$  означает величину прогиба 40 мм, что может означать уже достаточно высокую жесткость, чтобы вызвать вопрос о необходимости ремонта [8].

Все это является подтверждением правильности вывода о том, что предельная нагрузка может служить критерием переделывания корпуса. Одновременно выясняется круг задач, в которых величине раскрытия должно уделяться. Это прежде всего пластичные обшивки. Для таких пластин ( $\sigma_T/E \cdot l^2/h^2 > 10$ , если считать коэффициент раскрытия балки и единицы;  $l$  - длина свободной стороны открытого контура пластинки) величине раскрытия следует уже в упругой стадии; появление пластических деформаций (упруго-пластическая стадия) приводит к росту относительных прогибов и соответственно к увеличению ради раскрытия. Предельная нагрузка здесь неопределима (см. график 2 на рис.73). У жестких пластин (при  $\sigma_T/E \cdot l^2/h^2 < 2$ ) при нагрузках, меньших предельной, относительные прогибы малы, и поэтому приемлемо упругопластический расчет без учета раскрытия (в геометрической линейной постановке). Наличием предельной нагрузки здесь соответствует начало интенсивного пластического деформирования пластин; с дальнейшим ростом нагрузки относительные прогибы становятся существенно и соответственно возникает необходимость учета раскрытия. Таким образом, для жестких пластин предельная нагрузка имеет исключительное значение в качестве критерия опасности раскрытия, для пластин раскрытия неустойчиво.

Для балок и обшивки в упругопластической стадии величине раскрытия, как правило, уделяется. Учетом его следует лишь при

весом боковых прогибов, когда речь идет об оценке последовательной деформации (дефектации). Здесь, кстати, достаточно надежные результаты дает комплексное металлотехническое геометрическое инженерное решение.

Для прутков эти решения приемлемы при  $r^2/l^2 \cdot (E/5\sigma_p) k_1^2 > 0,4$  ( $k_1$  - условный коэффициент ресурса). Для пластин,

гарантируемых по цилиндрической поверхности и нагруженных равномерно распределенной нагрузкой интенсивностью  $q$ , при  $q/\sigma_p \cdot l^2/h^2 > 3$  приемлемы результаты дает металлотехническое решение с приближенным учетом укрутки плоской удлиненной [9].

Ключевым элементом ресурса в любом случае условий по работоспособности в пластической стадии необходимо обеспечить соблюдение минимума на стадии способности конструкций, обеспечиваемых ресурс пластин, где они в значительной мере определяется предельной местной прочностью оболочки. (Удлинение в данной мере относится к нагрузке способности зазора, удлинением сечения контуром пластин.) (Особенно важным становится учет длины ушей и пластины, возникающих от общего изгиба стержня, жесткой перекрестки и подкреплениях ребер жесткости [9]).

Указанное позволяет высказать в некотором отношении, касающиеся перераспределения предельной местной прочности стержневых конструкций, в частности комплексированная методика нормирования по так называемым «предельным состояниям». Подчеркнем, что обеспечение этого показателя здесь не совпадает с понятием предельного состояния в теории предельного равновесия. В данном случае оно гораздо шире и подразумевает наличием конструкции такого состояния, при котором дальнейшее ее эксплуатация становится невозможной. Из сказанного выше следует, что для более ясного в качестве регламентированной характеристики предельного состояния в большинстве случаев может быть принята предельная нагрузка, определяемая методами теории предельного равновесия.

Для листовых оболочек в достатке такая характеристика предельного состояния явно отсутствует. Здесь, кстати, как и нормативных для дефектации и технологических подходов на построение

судно, регламентировать законные отклонения строения прогиба. Для листовки, участвующей в общем изгибе стержня, допускаемые значения этих отклонений будут определяться главным образом ориентированные минимумами гибкой пластины на регулируемые коэффициенты в соответствии их возможности в обеспечении предельных усилий. Для пластин, участвующих в обеспечении только местной прочности, при назначении допускаемых стержня прогиба отклонения могут быть связаны со стержневой прогибом, при которых происходит разрушение пластин (как и в нормативных для дефектации) или другие технологические последствия. При этом, естественно, становится особенно важным учет эффекта минимума отклонения прогибов в пластине, если величина нагрузки действует многократно.

Указанное позволяет способность стержневых конструкций, с которой связаны их предельная местная прочность и степень пластичности в условиях эксплуатации, определяются большим числом факторов и требует соответствующего конструктивного и технологического обеспечения. Прежде всего это касается обеспечения нагрузкой способности узла. Предельное состояние конструкции (жестки, рамы, перекрестки) определяется переходом в предельное состояние ее стержней и листовых нагрузок, ставящими реальную нагрузку нагрузкой способности конструкции, существующие аналогии от усилий, которые могут эффективно воспринимать эти сечения (узлы), деформируясь пластически.

Несущая способность узла в дощатой стержне определяется устойчивостью его стержневых элементов. Местная потеря работоспособности, образование гофр, не только снижает величину предельных усилий, которые могут быть восприняты узлом, но и с развитием пластических деформаций приводит к образованию резких скачков, позволяющие избежать как скачки пластических деформаций, прочностные способности разрушения материала, часто имеют на своей основе нагрузку, воспринимаемой узлом. В результате элементов узла ограничивают его нагрузкой способности может быть связано с комплексными разрывом в зонах конструктивных и технологических концентраторов напряжений, где концентрируются большие пластические деформации. С тем позиций особенно важна деформация сечения шпангоута, многообразные пластические деформации свободные изгибы. Исходящие, попавшие в скрутку зону, приводят к резкому снижению устойчивости.

Указанное свидетельствует о необходимости особенно тщательного конструктивного оформления и технологического обеспечения уз-

<sup>2</sup> На это обстоятельство ранее обратил также внимание В.В.Монинко.

лов, в которых возможно появление пластических деформаций. Это прежде всего касается закрепления стыков элементов узла, особенно свободных концов; свитчонки концентрации напряжений; различного расположения и контроля качества исполнения сварных швов. Может возникнуть вопрос о изменении размеров и формы узла. Примером последнего служат полученные в § 7 ограничения размеров швак, обеспечивающие образование пластического шарнира в сечении балки у конца швак. При этом исключается появление в ней пластических деформаций, чем в значительной мере облегчается решение вопроса обеспечения устойчивости этой швак.

Обстоятельно она на этом этапе для практики вполне решается конструкцией в пластической стадии, связанным с выбором расчетной схемы конструкции. Как известно, выбор и обоснование расчетной схемы — системы допущений, обеспечивающей минимально возможную конструкцию путем учета факторов, или являющих их конечный результат, — один из весьма ответственных и сложных этапов расчета. Применительно к упругой стадии расчетная схема для характерных случаев конструкций отработана и уточнена на протяжении многих лет, она являясь из элементов типичной системы представлений, используемых в практических расчетах общими без каких-либо специальных условий или дополнительных условий. Автоматический процесс таких типичных представлений на пластической стадии не может применяться и в некоторых случаях может даже пойти на себя заметные ошибки. Объективно это связано с тем, что развитие пластических деформаций приводит к перераспределению внутренних усилий в конструкции, а это соответственно может повлечь за собой изменение роли тех или иных факторов. Поэтому порядок и расчету в пластической стадии требует пересмотра системы допущений, выполняемых в упругой стадии.

Вспомогательные примеры. Известно, что при работе балки и упругой стадии основная роль в сопротивлении перераспределению сил принадлежит системе профилей, и часто при проверке прочности поочередно на прогиб и кручение вычисляются средние касательные напряжения  $\tau_{cp} = Q/F_c$ . (Для разных профилей множительные поправочные напряжения отличаются от  $\tau_{cp}$  не более чем на 10-15% [30].) В § 17 применительно к шарнирному типу конструкций с шарнирами и факторы с применением полученных данных, что это положение остается справедливым и в пластической стадии. По (17.1) предельная перераспределенная сила отнесена

$$\text{определяется как } Q_c = \tau_{cp} F_c \approx \frac{1}{2} Q_T F_c.$$

Поэтому, к тому же приводит распространение последнего на другие типы балок, например ребра жесткости, закрепленные обшивку. Расчетная схема конструкции, представленная на рис.110,а, где ребра связаны «по ус», — балка, шарнирно соединяется по концам. Ее предельная нагрузка

$$Q_0^{(a)} = \frac{\delta M_0}{l}.$$

Перераспределенная сила на предельную нагрузку балки не влияет, ибо пластический шарнир образуется поперек пролета, где  $\theta = 0$ .

Второй вариант этой конструкции (рис.110,б) отличается тем, что ребра жесткости приварены к поперечным стенкам и образуют непрерывную швак. Здесь расчетная схема — такая же балка, но жестко защемленная по концам. В сечении балки  $Q$  имеет максимум, а сила  $Q$  здесь достигает предельного значения  $Q_0$ , может образоваться сплошная пластическая швак. Предельная нагрузка, отнесенная к пролету (см. § 17)

$$Q_0^{(b)} = \frac{2Q_0}{l}.$$

Согласно канонической экстремальной теории предельного равновесия  $Q_0^{(b)}$  всегда больше действительной предельной нагрузки балки или равна ей.

Сопоставим полученные результаты. Очевидно, что

$$Q_0^{(b)} > Q_0^{(a)}, \quad \text{если } l > l_0, \quad \text{где } l_0 = \frac{4M_0}{Q_0}$$

— значение  $l$  при  $Q_0^{(b)} = Q_0^{(a)}$ . Если в соответствии со сказанным выше принять  $Q_0 = Q_c \approx \frac{1}{2} Q_T F_c$  и учесть, что

$$M_0 = Q_T W_0, \quad \text{то } l_0 = \frac{8W_0}{F_c}. \quad \text{Записавши еще: для по-}$$

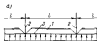


Рис. 110. Распределение нормальных напряжений (а) и касательных (б) напряжений в сечении балки;  $l$  — радиус инерции;  $z$  — поперечные координаты;  $\tau$  — касательная.

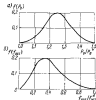


Рис. 111. Плоскость распределения напряжений: (а) в отдельной плоскости (б) одновременно в балке с жесткими заделками по концам, нагруженной вертикальной силой сферическими-ной силой.

доскообразы в  $10^3$   $l_0 = 75$  см, для полосообразы в  $10^3$   $l_0 = 45$  см, для полосообразы в  $10^3$   $l_0 = 125$  см. Таким образом,

$l_0$  оказывается меньше в реальном состоянии значений длины ребер жесткости, а в реальной конструкции может быть  $l < l_0$  и соответственно  $q^{(b)} < q^{(a)}$ . Это означает, что прирост длины

ребра в перпендикулярном направлении может вызвать его предельную нагрузку. Подобный вывод справедлив и в противоположном случае. Это результат предположения о том, что в предельном состоянии, как и в упругом состоянии, перпендикулярная сила воспринимается только стенкой профиля и она действует при  $Q = Q_0$ . В действительности пластическая деформация приводит к перераспределению касательных напряжений  $\tau$  в сечении и в предельном состоянии существенно повышается роль изгиба в восприятии  $\tau$ , особенно при сдвиге поперечного элемента. Это видно отклонение в расчетах, приведенном в § 8.

Тем не менее вопрос о влиянии перераспределения сил на предельную нагрузку балок при деформации остается открытым.

Остается неизвестным также пределы применимости предположений о действии перпендикулярной силы всей площадью сечения балки (§ 8) или только площадью сечения ее стенки (§ 17). Выходя за пределы, в которых применимо использование этих предположений, возникает вопрос, не существует ли переходной области, где определяются промежуточные предположения: перпендикулярная сила воспринимается и стенкой, и полными профилами, но в разной степени, причем последняя в зависимости от соотношения размеров и формы сечения, отношения его высоты к длине балки может меняться в широких пределах. Эти вопросы ждут своего исследования.

Рассмотрим второй пример: регулярное перекрытие с одной симметрично расположенной перпендикулярной силой, нагруженное равномерно распределенной нагрузкой интенсивностью  $q$ , которая воспринимается только балками главного направления; все балки перекрытия жестко заделаны на прямоугольном опорном контуре. Предельная нагрузка такого перекрытия  $q_0$  определяется по формулам (§5.2). Теперь предположим, что перекрытие образовано промежуточными балками главного направления с предельным моментом сечения  $M_1^1$ . Если это перекрытие, как и в других случаях гл. 4, представить в виде стержневой системы перпендикулярных стержней, то в отличие от неопределенной перекрестки здесь следует дополнительно рассмотреть еще один пластический механизм деформации: тогда в предельном состоянии переходит только промежуточные балки главного направления, а перпендикулярные стержни в основании балки главного направления остаются жесткими. Выходя отсюда предельная нагрузка

$$q_0^1 = 128 \frac{M_1^1}{\alpha l}.$$

Здесь учтено, что интенсивность нагрузки на промежуточную балку  $= \frac{1}{2} q \alpha$ .

Согласно кинематической предельной теории теории предельного равновесия  $q_0^1$  всегда больше действительной предельной нагрузки перпендикулярного перекрытия или равна ей. Сравним ее

с  $q_0$  - предельной нагрузкой поперечного сечения.

Из (25,2) видно, что при  $\bar{R}_0 = 18 \frac{M_0}{M_1} \frac{b}{L} \frac{a}{L} = 32$

получится  $q_0^I < q_0$ , если  $M_1^I < \frac{1}{2} M_1$ . Следовательно-

но, если предельный момент прокрутки балки главного направления в два раза или более меньше предельного момента основной балки главного направления, то устойчивость поперечной в виде толк-прокрутки балки может уменьшить предельную нагрузку сжатия.

Такой вывод является результатом неадекватного предположения о деформации материала, образующего деформацию прокруткой балки главного направления. Когда ось балки главного направления состоит из стержней, мы не вправе для рассмотрения эту балку как монолитную; следовательно, нецелесообразно проводить расчеты между осевыми балками, поддерживаемой ребром (прокруткой балкой), так это сделано в одной из работ [15]. Сказанное свидетельствует о необходимости крайней осторожности в смысле допущения пластических механизмов перекрутки, когда последние рассматриваются как оторванные системы.

Несколько замечаний о точности расчетов в пластической области. Известно, что в упругой области точность определения напряжений и перемещений в конструкции от работы заданной системы внешних нагрузок почти однозначно определяется точностью использованного метода расчета. Это обеспечивает высокую стабильность значений упругих констант у стали - модуль упругости и коэффициента Пуассона, а также достаточно хорошие соотношения экспериментальных зависимостей  $\sigma - \epsilon$  закону Гука.

Для пластической расчетной ситуации естественно иное. Напряжения, деформации и перемещения конструкции в пластической области существенно зависят от механических характеристик материала, последние же у стали одной и той же марки имеют случайные отклонения в большом диапазоне значений. Это, естественно, сильно осложняется на результатах расчета.

Приведем один конкретный пример. На рис. III, в представлено типичное распределение  $f(P_0)$  предельной нагрузки одноосевой балки с жестким закреплением по концам, нагруженной осевыми протекти осредненной силой  $P$ . Протекти нагрузки

материала  $\sigma_T$  введена в расчет как случайная величина, подчиненная нормальному закону распределения, с математическим ожиданием  $m_{\sigma} = 300 \text{ МПа}$  и  $\sqrt{D_{\sigma}} = 20 \text{ МПа}$ , где  $D_{\sigma}$  - дисперсия,  $\sigma_T$  (это реальные значения для стали с пределом текучести по ГОСТу  $\sigma_T = 240 \text{ МПа}$ );  $P_0^H$  на рисунке - предельная нагрузка балки при  $\sigma_T = 240 \text{ МПа}$ .

На рис. III, б дан тот же балки приведенные плотности распределения остаточной протекти  $f(f_{ост})$ , рассчитанной для того же закона распределения  $\sigma_T$  в предположении, что материал балки упругоупругий с линейным упрочнением ( $\epsilon = F_0/L = 0,01$ ), а профиль - несимметричный шпатель ( $\bar{F}_1^I = 0,7$ ;  $F_0/F_C = 0,6$ );  $f_{ост}$  на рисунке - остаточный протекти при  $P/P_0 = 1,5$ , где  $P_0$  вычислено при  $\sigma_T = 240 \text{ МПа}$ .

Из рисунка видно, сколь велика изменчивость результатов расчета, особенно на остаточных протекти. Это определяет, в частности, неадекватность в большинстве случаев уточнения форм неадекватности  $\sigma - \epsilon$ , отменяющая проблема не к реальной диаграмме напряжений при растяжении стали. Применение протекти идеализированных зависимостей  $\sigma - \epsilon$  вполне оправдано, если они позволяют описать основные эффекты, характерные для рассматриваемого материала. Также следует отметить преимущество указанного простого расчетного приема и приближенных методов, хотя и те, и другие требуют оценки ошибок, внесенных в результаты расчета.

Из сказанного так же можно не следует, что достоверность расчетных оценок прочности конструкций в пластической области существенно ниже, по сравнению с пластической соответствующим образом для упругой стали. Не говоря уже о том, что пластические методы позволяют гораздо полнее описать поведение конструкции, оценка прочности конструкции - это всегда запущено, и различий между расчетными значениями реальной конструкции на значение действительных определены величине осевых и торсионных протекти.

Если в упругой области равномерная прочность ведется с использованием допущения о перемещениях, которые являются в действительности от  $\sigma_T$  материала [16], то случайная изменчивость механичес-

ких характеристиках материала присутствует в уругом расчете в такой же степени, как и в пластическом. На практике в уругих расчетах используется значение  $\sigma_p$  по ГОСТу - минималь гарантируемый предел этой величины для данной марки стали. У материала реальной конструкции  $\sigma_p$  критического значения выше. Это является недостатком в отношении к запасу прочности. С реальным значением такой подход может дать заниженный и в пластическом расчете, когда речь идет о проектировании конструкции или проверке ее прочности. Однако статическим запасом безопасности результатов пластического расчета, безусловно, должна учитываться при анализе поврежденной конструкции на эксплуатационных этапах, определяемая известной величиной нагрузки по размерам этих повреждений (см. § 28), при решении технологических задач в т.д.

Подчеркнем, что затронутые выше вопросы - лишь немногие из числа тех, которые будут возникать в процессе практического применения пластического метода расчета. Такие вопросы, конечно, будут еще немало. Внедрение нового метода порождает много проблем. Хотелось бы отметить, что эти проблемы будут быстро и успешно разрешаться, а знания egyre становятся полезной в крайнем деле.

Т а б л и ц а 1. Пластические функции для балок прямоугольного профиля,  
 $\mu = 0$

$m$	$m_p$	$n_p$	$\psi_1$	$\psi_2$	$\chi_1$	$\chi_2$	$\Phi_1$	$\Phi_2$	$\chi_3$
0,70	0,003	-	0,008	0,001	-	0,008	0,008	-	-
0,74	0,005	-	0,005	0,004	-	0,008	0,005	-	-
0,78	0,008	-	0,003	0,009	-	0,008	0,004	-	-
0,82	0,009	-	0,005	0,019	-	0,009	0,000	-	-
0,84	0,022	-	0,004	0,037	-	0,009	0,002	-	-
0,86	0,069	-	0,004	0,096	-	0,000	0,007	-	-
0,88	0,208	-	0,000	0,047	-	0,007	0,007	-	-
0,90	0,587	-	0,000	0,062	-	0,042	0,000	-	-
0,92	0,379	-	0,000	0,070	-	0,104	0,019	-	-
0,92	0,441	-	0,002	0,081	-	0,180	0,039	-	-
0,928	0,480	-	0,009	0,086	-	0,204	0,050	-	-
0,930	0,528	-	0,016	0,090	-	0,220	0,062	-	-
0,935	0,575	-	0,024	0,099	-	0,238	0,076	-	-
0,940	0,621	-	0,030	0,107	-	0,257	0,091	-	-
0,945	0,664	-	0,042	0,115	-	0,279	0,107	-	-
0,950	0,771	-	0,053	0,124	-	0,303	0,122	-	-
0,955	0,859	-	0,064	0,132	-	0,300	0,148	-	-
0,960	0,908	-	0,077	0,144	-	0,368	0,179	-	-
0,965	1,092	-	0,091	0,156	-	0,398	0,202	-	-
0,970	1,282	-	0,107	0,170	-	0,441	0,227	-	-
0,975	1,459	-	0,126	0,187	-	0,498	0,260	-	-
0,980	1,742	-	0,148	0,205	-	0,558	0,434	-	-
0,985	2,158	-	0,174	0,220	-	0,644	0,507	-	-
0,990	2,809	-	0,208	0,261	-	0,769	0,685	-	-
0,995	4,448	-	0,257	0,306	-	0,968	0,910	-	-

Продолжение табл. I

 $\pi = 0,05$ 

$m$	$m_p$	$n_p$	$\Psi_1$	$\Psi_2$	$X_1$	$\Psi_2$	$\Psi_2$	$X_2$
0,66	0,002	0	0	0	0	0	0	0
0,70	0,006	0,005	0,002	0,001	0,001	0,003	0,002	0,002
0,74	0,019	0,007	0,005	0,004	0,002	0,009	0,005	0,004
0,78	0,045	0,012	0,012	0,010	0,006	0,021	0,015	0,007
0,82	0,094	0,019	0,024	0,019	0,007	0,043	0,021	0,010
0,84	0,130	0,023	0,032	0,026	0,008	0,059	0,023	0,012
0,86	0,173	0,028	0,043	0,034	0,009	0,079	0,028	0,015
0,88	0,223	0,034	0,056	0,045	0,011	0,106	0,030	0,018
0,90	0,280	0,042	0,074	0,059	0,013	0,141	0,034	0,021
0,92	0,344	0,048	0,094	0,076	0,014	0,182	0,034	0,024
0,92	0,403	0,054	0,096	0,079	0,015	0,228	0,034	0,026
0,925	0,504	0,057	0,103	0,083	0,016	0,208	0,034	0,027
0,930	0,551	0,058	0,110	0,089	0,017	0,219	0,034	0,029
0,935	0,606	0,059	0,117	0,096	0,018	0,236	0,034	0,030
0,940	0,665	0,070	0,126	0,103	0,019	0,256	0,032	0,032
0,945	0,736	0,076	0,136	0,111	0,019	0,279	0,030	0,034
0,950	0,816	0,082	0,146	0,120	0,020	0,303	0,030	0,036
0,955	0,902	0,090	0,156	0,129	0,021	0,328	0,029	0,038
0,960	1,003	0,099	0,169	0,140	0,022	0,363	0,028	0,041
0,965	1,110	0,110	0,183	0,152	0,024	0,401	0,029	0,044
0,970	1,232	0,124	0,199	0,166	0,025	0,446	0,026	0,048
0,975	1,361	0,142	0,217	0,180	0,027	0,501	0,026	0,052
0,980	1,500	0,163	0,239	0,203	0,029	0,573	0,023	0,058
0,985	1,658	0,209	0,267	0,226	0,031	0,671	0,020	0,065
0,990	1,844	0,283	0,304	0,261	0,034	0,823	0,017	0,077
0,995	2,103	0,527	0,364	0,329	0,039	1,152	0,010	0,103

Продолжение табл. I

 $\pi = 0,10$ 

$m$	$m_p$	$n_p$	$\Psi_1$	$\Psi_2$	$X_1$	$\Psi_2$	$\Psi_2$	$X_2$
0,62	0,001	0	0	0	0	0	0	0
0,66	0,005	0,002	0,002	0,001	0,001	0,003	0,002	0,002
0,70	0,014	0,007	0,005	0,003	0,002	0,007	0,005	0,004
0,74	0,030	0,015	0,009	0,007	0,005	0,015	0,008	0,008
0,78	0,060	0,026	0,017	0,013	0,008	0,029	0,010	0,014
0,82	0,114	0,040	0,029	0,021	0,013	0,052	0,017	0,021
0,84	0,154	0,049	0,038	0,030	0,015	0,069	0,019	0,025
0,86	0,200	0,060	0,049	0,039	0,018	0,090	0,022	0,030
0,88	0,261	0,074	0,062	0,050	0,022	0,119	0,027	0,037
0,90	0,333	0,092	0,080	0,060	0,026	0,156	0,035	0,044
0,92	0,421	0,104	0,096	0,074	0,028	0,190	0,038	0,049
0,92	0,505	0,118	0,104	0,084	0,029	0,209	0,037	0,054
0,925	0,546	0,126	0,111	0,090	0,032	0,225	0,037	0,057
0,930	0,644	0,136	0,118	0,097	0,034	0,243	0,034	0,060
0,935	0,706	0,146	0,126	0,104	0,035	0,263	0,030	0,064
0,940	0,781	0,158	0,136	0,112	0,037	0,286	0,028	0,067
0,945	0,869	0,172	0,146	0,120	0,039	0,311	0,028	0,072
0,950	0,975	0,189	0,157	0,130	0,041	0,340	0,026	0,077
0,955	1,102	0,209	0,169	0,141	0,043	0,374	0,026	0,082
0,960	1,262	0,233	0,183	0,153	0,046	0,414	0,022	0,089
0,965	1,449	0,265	0,199	0,168	0,048	0,462	0,022	0,096
0,970	1,752	0,308	0,220	0,185	0,052	0,522	0,019	0,106
0,975	2,168	0,371	0,241	0,206	0,055	0,602	0,016	0,118
0,980	2,699	0,477	0,271	0,223	0,060	0,718	0,013	0,136
0,985	4,458	0,715	0,323	0,272	0,067	0,922	0,010	0,167

$\pi$	$m_p$	$n_p$	$\Psi_1$	$\Phi_1$	$X_1$	$\Psi_2$	$\Phi_2$	$X_2$
0,58	0	0	0	0	0	0	0	0
0,62	0,004	0,002	0,002	0,001	0,002	0,002	0,002	0,002
0,66	0,009	0,007	0,004	0,003	0,003	0,007	0,005	0,004
0,70	0,023	0,025	0,009	0,007	0,005	0,014	0,010	0,008
0,74	0,050	0,038	0,026	0,022	0,008	0,028	0,023	0,024
0,78	0,086	0,045	0,035	0,029	0,014	0,042	0,030	0,023
0,82	0,120	0,068	0,039	0,030	0,020	0,059	0,049	0,034
0,84	0,139	0,064	0,049	0,033	0,024	0,068	0,064	0,048
0,86	0,163	0,103	0,061	0,048	0,029	0,084	0,083	0,050
0,88	0,183	0,127	0,077	0,062	0,034	0,117	0,108	0,050
0,89	0,191	0,143	0,086	0,069	0,038	0,127	0,124	0,066
0,90	0,183	0,166	0,097	0,078	0,042	0,131	0,143	0,075
0,91	0,174	0,183	0,110	0,089	0,045	0,131	0,166	0,086
0,92	0,165	0,211	0,124	0,102	0,049	0,134	0,190	0,090
0,925	0,155	0,229	0,132	0,109	0,051	0,135	0,210	0,096
0,930	0,146	0,247	0,142	0,116	0,054	0,130	0,230	0,101
0,935	0,137	0,270	0,152	0,125	0,057	0,126	0,251	0,108
0,940	1,048	0,287	0,163	0,135	0,060	0,127	0,273	0,116
0,945	1,490	0,300	0,175	0,146	0,063	0,123	0,305	0,125
0,950	1,971	0,312	0,190	0,159	0,067	0,120	0,340	0,135
0,955	1,681	0,427	0,206	0,174	0,071	0,118	0,365	0,147
0,960	1,950	0,505	0,223	0,192	0,076	0,115	0,442	0,163
0,965	2,478	0,625	0,241	0,214	0,082	0,112	0,522	0,185
0,970	3,474	0,850	0,264	0,245	0,090	0,108	0,650	0,210
0,975	6,723	1,502	0,288	0,286	0,103	1,111	0,842	0,234

$\pi$	$m_p$	$n_p$	$\Psi_1$	$\Phi_1$	$X_1$	$\Psi_2$	$\Phi_2$	$X_2$
0,54	0	0	0	0	0	0	0	0
0,58	0,003	0,002	0,002	0,001	0,002	0,002	0,002	0,002
0,62	0,003	0,005	0,004	0,003	0,002	0,006	0,004	0,003
0,66	0,007	0,005	0,009	0,006	0,005	0,014	0,010	0,007
0,70	0,019	0,027	0,005	0,002	0,008	0,025	0,018	0,014
0,74	0,036	0,046	0,025	0,019	0,014	0,041	0,039	0,023
0,78	0,127	0,072	0,039	0,029	0,022	0,063	0,044	0,036
0,80	0,162	0,089	0,045	0,035	0,025	0,076	0,055	0,043
0,82	0,209	0,109	0,055	0,043	0,032	0,096	0,069	0,053
0,84	0,271	0,133	0,067	0,052	0,038	0,120	0,087	0,063
0,86	0,357	0,165	0,082	0,065	0,043	0,152	0,111	0,076
0,89	0,443	0,185	0,094	0,072	0,047	0,172	0,126	0,084
0,88	0,462	0,208	0,102	0,078	0,051	0,186	0,144	0,088
0,89	0,505	0,236	0,113	0,086	0,056	0,222	0,156	0,103
0,90	0,571	0,271	0,127	0,102	0,062	0,255	0,168	0,115
0,91	0,611	0,308	0,143	0,116	0,068	0,296	0,201	0,129
0,915	0,699	0,344	0,162	0,134	0,071	0,320	0,244	0,137
0,920	1,005	0,377	0,183	0,150	0,075	0,348	0,287	0,146
0,925	1,132	0,427	0,194	0,164	0,079	0,381	0,334	0,157
0,930	1,262	0,467	0,207	0,180	0,084	0,419	0,385	0,169
0,935	1,499	0,530	0,222	0,198	0,089	0,465	0,364	0,184
0,940	1,762	0,616	0,230	0,214	0,095	0,522	0,454	0,203
0,945	2,495	0,743	0,244	0,234	0,102	0,600	0,480	0,227
0,950	2,869	0,865	0,268	0,259	0,111	0,711	0,577	0,268
0,955	4,468	1,433	0,307	0,285	0,123	0,906	0,762	0,320

$m$	$m_p$	$n_p$	$\varphi_1$	$\psi_1$	$\chi_1$	$\varphi_2$	$\psi_2$	$\chi_2$
0,54	0,003	0,001	0,001	0,001	0	0,001	0,001	0,001
0,58	0,011	0,008	0,008	0,008	0,002	0,006	0,004	0,003
0,62	0,028	0,024	0,028	0,026	0,004	0,013	0,009	0,007
0,66	0,049	0,037	0,045	0,042	0,008	0,025	0,017	0,014
0,70	0,081	0,067	0,083	0,079	0,014	0,041	0,029	0,023
0,74	0,126	0,095	0,130	0,129	0,022	0,063	0,044	0,037
0,78	0,190	0,144	0,185	0,182	0,032	0,093	0,068	0,056
0,80	0,238	0,179	0,205	0,200	0,038	0,112	0,080	0,066
0,82	0,303	0,241	0,298	0,290	0,045	0,138	0,099	0,080
0,84	0,389	0,312	0,394	0,373	0,054	0,171	0,124	0,093
0,86	0,525	0,398	0,514	0,490	0,064	0,215	0,158	0,117
0,87	0,611	0,506	0,616	0,595	0,070	0,243	0,180	0,130
0,875	0,665	0,537	0,673	0,652	0,075	0,260	0,193	0,138
0,880	0,725	0,582	0,740	0,712	0,077	0,278	0,203	0,145
0,885	0,795	0,640	0,818	0,789	0,081	0,299	0,214	0,154
0,890	0,878	0,712	0,917	0,887	0,085	0,321	0,224	0,164
0,895	0,972	0,850	0,967	0,935	0,089	0,347	0,233	0,175
0,900	1,083	0,985	0,977	0,945	0,094	0,376	0,248	0,187
0,905	1,230	0,951	0,989	0,955	0,099	0,411	0,265	0,201
0,910	1,417	0,920	0,993	0,957	0,105	0,453	0,281	0,218
0,915	1,654	0,792	0,989	0,952	0,112	0,504	0,294	0,238
0,920	1,990	0,641	0,988	0,949	0,120	0,568	0,310	0,264
0,925	2,419	1,041	0,981	0,930	0,129	0,639	0,328	0,289
0,930	3,054	1,417	0,983	0,919	0,142	0,799	0,353	0,312
0,935	4,083	2,037	0,983	0,907	0,152	1,009	0,387	0,340

$m$	$m_p$	$n_p$	$\varphi_1$	$\psi_1$	$\chi_1$	$\varphi_2$	$\psi_2$	$\chi_2$
0,50	0,002	0,001	0,001	0	0	0,001	0,001	0,001
0,54	0,010	0,005	0,009	0,008	0,002	0,005	0,003	0,003
0,58	0,028	0,013	0,028	0,026	0,004	0,013	0,009	0,007
0,62	0,049	0,027	0,045	0,042	0,008	0,025	0,017	0,014
0,66	0,081	0,048	0,083	0,079	0,014	0,041	0,029	0,023
0,70	0,126	0,078	0,129	0,129	0,022	0,063	0,044	0,037
0,72	0,159	0,087	0,167	0,166	0,027	0,079	0,056	0,047
0,74	0,193	0,120	0,187	0,183	0,033	0,096	0,067	0,058
0,76	0,234	0,147	0,207	0,202	0,040	0,124	0,081	0,070
0,78	0,285	0,180	0,260	0,252	0,048	0,157	0,097	0,085
0,80	0,362	0,222	0,314	0,303	0,057	0,198	0,118	0,102
0,82	0,463	0,277	0,372	0,360	0,066	0,249	0,147	0,123
0,84	0,585	0,355	0,434	0,418	0,076	0,308	0,186	0,151
0,85	0,727	0,407	0,498	0,478	0,089	0,365	0,212	0,168
0,855	0,798	0,439	0,516	0,495	0,090	0,385	0,217	0,178
0,860	0,882	0,475	0,535	0,512	0,096	0,406	0,224	0,189
0,865	0,949	0,515	0,554	0,530	0,103	0,428	0,234	0,201
0,870	1,055	0,566	0,574	0,549	0,108	0,451	0,248	0,215
0,875	1,192	0,628	0,596	0,569	0,114	0,476	0,263	0,231
0,880	1,343	0,700	0,620	0,590	0,121	0,499	0,274	0,249
0,885	1,519	0,785	0,645	0,612	0,128	0,494	0,282	0,251
0,890	1,802	0,925	0,640	0,608	0,137	0,551	0,431	0,298
0,895	2,248	1,154	0,662	0,617	0,147	0,607	0,496	0,303
0,900	2,949	1,452	0,685	0,642	0,159	0,736	0,592	0,384
0,905	4,058	2,049	0,728	0,677	0,173	0,907	0,764	0,471

$m$	$m_p$	$n_p$	$\psi_1$	$\psi_2$	$\chi_1$	$\psi_1$	$\psi_2$	$\chi_2$
0,46	0,001	0,001	0	0	0	0,001	0,001	0
0,50	0,009	0,006	0,003	0,002	0,001	0,004	0,003	0,002
0,54	0,023	0,013	0,007	0,004	0,004	0,012	0,006	0,007
0,58	0,046	0,027	0,015	0,007	0,006	0,025	0,012	0,014
0,62	0,069	0,049	0,024	0,013	0,008	0,043	0,020	0,024
0,66	0,105	0,062	0,040	0,021	0,013	0,067	0,047	0,049
0,70	0,154	0,128	0,059	0,046	0,015	0,101	0,071	0,081
0,72	0,180	0,159	0,071	0,055	0,018	0,121	0,086	0,095
0,74	0,208	0,186	0,084	0,065	0,021	0,144	0,102	0,108
0,76	0,238	0,210	0,099	0,077	0,023	0,172	0,122	0,120
0,78	0,268	0,237	0,117	0,091	0,025	0,206	0,148	0,133
0,80	0,298	0,276	0,138	0,109	0,028	0,252	0,180	0,162
0,82	0,327	0,428	0,161	0,119	0,029	0,301	0,225	0,180
0,82	0,356	0,460	0,166	0,122	0,029	0,355	0,233	0,201
0,825	0,385	0,532	0,174	0,129	0,031	0,386	0,249	0,214
0,830	0,386	0,577	0,183	0,145	0,031	0,389	0,250	0,227
0,835	1,002	0,630	0,190	0,155	0,032	0,385	0,259	0,242
0,840	1,248	0,693	0,204	0,164	0,032	0,485	0,283	0,259
0,845	1,290	0,771	0,217	0,175	0,033	0,480	0,282	0,279
0,850	1,471	0,869	0,228	0,187	0,034	0,482	0,279	0,302
0,855	1,711	0,989	0,247	0,202	0,034	0,543	0,419	0,320
0,860	2,060	1,179	0,266	0,219	0,035	0,609	0,475	0,366
0,865	2,578	1,437	0,289	0,240	0,037	0,699	0,553	0,425
0,870	3,274	1,800	0,320	0,269	0,038	0,836	0,678	0,489
0,875	4,122	2,326	0,371	0,317	0,042	1,044	0,959	0,612

$m$	$m_p$	$n_p$	$\psi_1$	$\psi_2$	$\chi_1$	$\psi_2$	$\psi_2$	$\chi_2$
0,42	0,001	0	0	0	0	0	0	0
0,46	0,007	0,004	0,002	0,002	0,001	0,004	0,003	0,002
0,50	0,022	0,012	0,007	0,004	0,004	0,012	0,006	0,006
0,54	0,046	0,027	0,015	0,007	0,006	0,024	0,012	0,014
0,58	0,069	0,049	0,024	0,013	0,008	0,043	0,020	0,025
0,62	0,102	0,066	0,042	0,013	0,008	0,067	0,047	0,042
0,66	0,153	0,129	0,063	0,046	0,010	0,107	0,075	0,086
0,70	0,224	0,216	0,090	0,070	0,015	0,156	0,111	0,120
0,72	0,261	0,267	0,107	0,083	0,016	0,186	0,138	0,132
0,74	0,277	0,320	0,126	0,098	0,017	0,222	0,159	0,148
0,76	0,333	0,370	0,137	0,109	0,019	0,263	0,175	0,163
0,76	0,401	0,416	0,149	0,125	0,020	0,297	0,193	0,190
0,77	0,465	0,473	0,162	0,127	0,020	0,296	0,225	0,200
0,78	0,521	0,540	0,177	0,140	0,021	0,330	0,242	0,224
0,785	0,556	0,585	0,185	0,147	0,022	0,353	0,250	0,237
0,790	0,592	0,623	0,194	0,155	0,022	0,329	0,272	0,252
0,795	1,029	0,689	0,204	0,163	0,023	0,356	0,294	0,260
0,800	1,125	0,755	0,213	0,172	0,023	0,443	0,425	0,286
0,805	1,252	0,834	0,227	0,182	0,024	0,457	0,344	0,307
0,810	1,412	0,923	0,247	0,194	0,025	0,496	0,375	0,312
0,815	1,679	1,061	0,266	0,208	0,026	0,570	0,542	0,361
0,820	1,922	1,233	0,274	0,223	0,026	0,600	0,463	0,397
0,825	2,313	1,496	0,296	0,243	0,028	0,676	0,528	0,445
0,830	2,879	1,909	0,322	0,268	0,029	0,786	0,624	0,512
0,835	4,026	2,666	0,361	0,303	0,030	0,978	0,793	0,629

$m$	$m_p$	$n_p$	$y_1$	$\psi_1$	$x_1$	$y_2$	$\psi_2$	$x_2$
0,38	0	0	0	0	0	0	0	0
0,42	0,006	0,009	0,002	0,002	0,002	0,003	0,002	0,002
0,46	0,021	0,032	0,007	0,005	0,004	0,021	0,008	0,006
0,50	0,048	0,077	0,020	0,015	0,008	0,034	0,027	0,024
0,54	0,089	0,163	0,037	0,030	0,015	0,045	0,035	0,035
0,58	0,149	0,293	0,064	0,054	0,028	0,074	0,052	0,045
0,62	0,236	0,513	0,097	0,082	0,042	0,115	0,081	0,072
0,66	0,350	0,844	0,098	0,076	0,062	0,170	0,122	0,111
0,70	0,509	1,382	0,139	0,109	0,092	0,247	0,177	0,169
0,72	0,663	1,989	0,188	0,139	0,111	0,297	0,225	0,208
0,728	0,704	2,589	0,172	0,135	0,115	0,312	0,237	0,219
0,730	0,751	3,180	0,179	0,142	0,122	0,328	0,238	0,221
0,735	0,805	3,769	0,188	0,148	0,128	0,346	0,252	0,244
0,740	0,865	4,358	0,196	0,155	0,134	0,365	0,267	0,259
0,745	0,935	4,944	0,206	0,163	0,141	0,387	0,284	0,275
0,750	1,018	5,528	0,216	0,172	0,149	0,410	0,303	0,293
0,755	1,112	6,110	0,226	0,181	0,157	0,437	0,324	0,312
0,760	1,218	6,692	0,236	0,191	0,166	0,468	0,348	0,335
0,765	1,337	7,275	0,252	0,202	0,175	0,504	0,376	0,360
0,770	1,562	7,857	0,267	0,215	0,186	0,547	0,414	0,392
0,775	1,792	8,438	0,284	0,230	0,198	0,599	0,457	0,428
0,780	2,130	9,014	0,304	0,248	0,213	0,668	0,514	0,474
0,785	2,586	9,594	0,327	0,271	0,230	0,757	0,583	0,536
0,790	3,164	10,170	0,361	0,300	0,253	0,869	0,768	0,635
0,795	3,863	10,745	0,414	0,350	0,290	1,012	1,005	0,849

$m$	$m_p$	$n_p$	$y_1$	$\psi_1$	$x_1$	$y_2$	$\psi_2$	$x_2$
0,34	0	0	0	0	0	0	0	0
0,38	0,005	0,003	0,002	0,001	0,001	0,002	0,002	0,001
0,42	0,020	0,015	0,006	0,005	0,003	0,011	0,007	0,006
0,46	0,048	0,038	0,015	0,011	0,008	0,025	0,017	0,014
0,50	0,089	0,056	0,028	0,021	0,016	0,045	0,033	0,027
0,54	0,160	0,112	0,056	0,036	0,028	0,079	0,056	0,048
0,58	0,260	0,172	0,072	0,055	0,045	0,125	0,089	0,080
0,62	0,408	0,245	0,109	0,094	0,070	0,190	0,138	0,128
0,64	0,509	0,363	0,132	0,102	0,086	0,232	0,167	0,150
0,66	0,623	0,482	0,157	0,124	0,106	0,283	0,204	0,189
0,67	0,696	0,527	0,172	0,135	0,118	0,311	0,225	0,223
0,68	0,775	0,591	0,188	0,149	0,130	0,343	0,249	0,249
0,685	0,825	0,632	0,197	0,155	0,137	0,361	0,263	0,263
0,690	0,882	0,679	0,206	0,163	0,144	0,381	0,278	0,279
0,695	0,946	0,732	0,216	0,171	0,152	0,402	0,294	0,296
0,700	1,021	0,791	0,226	0,180	0,160	0,426	0,313	0,315
0,705	1,109	0,861	0,237	0,189	0,169	0,452	0,333	0,337
0,710	1,212	0,943	0,250	0,200	0,179	0,482	0,357	0,360
0,715	1,342	1,049	0,263	0,211	0,190	0,516	0,385	0,388
0,720	1,502	1,187	0,276	0,224	0,201	0,556	0,417	0,419
0,725	1,709	1,356	0,295	0,238	0,215	0,604	0,457	0,457
0,730	1,958	1,562	0,314	0,256	0,230	0,664	0,507	0,504
0,735	2,408	1,857	0,338	0,274	0,248	0,743	0,575	0,564
0,740	3,108	2,287	0,367	0,303	0,272	0,857	0,673	0,654
0,745	4,098	2,852	0,408	0,341	0,303	1,015	0,811	0,801

$n = 0,55$ 

$m$	$m_p$	$n_p$	$\psi_1$	$\psi_2$	$\chi_1$	$\psi_2$	$\psi_2$	$\chi_2$
0,30	0	0	0	0	0	0	0	0
0,34	0,004	0,002	0,001	0,001	0,001	0,002	0,002	0,001
0,38	0,019	0,011	0,006	0,005	0,005	0,010	0,007	0,005
0,42	0,049	0,029	0,015	0,011	0,008	0,025	0,017	0,014
0,46	0,098	0,059	0,030	0,022	0,017	0,049	0,034	0,029
0,50	0,170	0,113	0,050	0,039	0,030	0,085	0,060	0,053
0,54	0,280	0,200	0,090	0,062	0,051	0,139	0,099	0,091
0,58	0,475	0,346	0,123	0,096	0,082	0,219	0,157	0,151
0,60	0,600	0,450	0,150	0,118	0,102	0,271	0,196	0,190
0,62	0,758	0,588	0,183	0,145	0,130	0,336	0,244	0,246
0,625	0,803	0,629	0,198	0,152	0,136	0,354	0,259	0,262
0,630	0,851	0,672	0,202	0,160	0,142	0,373	0,272	0,270
0,635	0,905	0,720	0,212	0,168	0,152	0,394	0,286	0,286
0,640	0,965	0,774	0,222	0,177	0,160	0,415	0,304	0,305
0,645	1,035	0,835	0,234	0,186	0,170	0,439	0,323	0,326
0,650	1,115	0,907	0,246	0,196	0,180	0,466	0,343	0,350
0,655	1,202	0,990	0,259	0,207	0,191	0,495	0,366	0,384
0,660	1,298	1,090	0,273	0,219	0,202	0,529	0,393	0,413
0,665	1,407	1,201	0,288	0,232	0,215	0,567	0,423	0,446
0,670	1,531	1,325	0,305	0,247	0,230	0,613	0,460	0,485
0,675	1,671	1,467	0,325	0,264	0,246	0,668	0,508	0,532
0,680	1,828	1,620	0,347	0,283	0,265	0,735	0,565	0,591
0,685	2,005	1,790	0,375	0,308	0,288	0,825	0,647	0,672
0,690	2,204	1,987	0,411	0,341	0,319	0,930	0,757	0,796
0,695	2,433	2,208	0,460	0,394	0,367	1,050	0,895	1,067

 $n = 0,60$ 

$m$	$m_p$	$n_p$	$\psi_1$	$\psi_2$	$\chi_1$	$\psi_2$	$\psi_2$	$\chi_2$
0,30	0,003	0,002	0,001	0,001	0,001	0,002	0,001	0,001
0,34	0,018	0,010	0,006	0,004	0,005	0,010	0,007	0,005
0,38	0,050	0,029	0,015	0,012	0,009	0,025	0,017	0,014
0,42	0,105	0,065	0,031	0,024	0,018	0,052	0,037	0,031
0,46	0,196	0,129	0,055	0,043	0,034	0,085	0,067	0,060
0,48	0,261	0,178	0,071	0,055	0,045	0,124	0,088	0,081
0,50	0,343	0,242	0,092	0,072	0,059	0,160	0,125	0,108
0,52	0,447	0,327	0,115	0,090	0,077	0,205	0,148	0,143
0,54	0,582	0,442	0,144	0,113	0,099	0,261	0,189	0,188
0,56	0,757	0,598	0,179	0,142	0,127	0,332	0,242	0,247
0,58	0,979	0,805	0,220	0,181	0,156	0,412	0,307	0,305
0,590	1,064	0,896	0,230	0,189	0,164	0,434	0,324	0,324
0,595	1,153	0,971	0,241	0,199	0,174	0,459	0,341	0,344
0,600	1,248	1,051	0,253	0,210	0,184	0,487	0,360	0,366
0,605	1,351	1,139	0,266	0,221	0,195	0,518	0,381	0,389
0,610	1,462	1,235	0,280	0,232	0,206	0,552	0,404	0,413
0,615	1,581	1,339	0,295	0,244	0,218	0,589	0,430	0,440
0,620	1,708	1,449	0,311	0,257	0,230	0,629	0,458	0,469
0,625	1,843	1,564	0,328	0,270	0,242	0,672	0,488	0,500
0,630	1,985	1,685	0,345	0,283	0,255	0,718	0,521	0,527
0,635	2,135	1,811	0,365	0,296	0,268	0,767	0,556	0,577
0,640	2,293	1,943	0,385	0,310	0,280	0,819	0,594	0,627
0,645	2,459	2,081	0,408	0,324	0,293	0,874	0,633	0,694
0,650	2,633	2,225	0,435	0,341	0,308	0,931	0,673	0,804
0,655	2,815	2,375	0,463	0,357	0,323	0,990	0,714	0,950

$$\lambda = 0,25$$

$m$	$m_p$	$n_p$	$\varphi_1$	$\varphi_2$	$X_1$	$\varphi_2$	$\varphi_2$	$X_2$
0,25	0,502	0,502	0,002	0,002	0	0,001	0,001	0,001
0,30	0,509	0,510	0,006	0,004	0,003	0,009	0,008	0,005
0,34	0,512	0,512	0,012	0,012	0,009	0,022	0,019	0,015
0,38	0,515	0,514	0,014	0,016	0,010	0,037	0,040	0,035
0,40	0,515	0,513	0,016	0,016	0,010	0,050	0,050	0,040
0,42	0,520	0,516	0,012	0,016	0,009	0,103	0,077	0,071
0,44	0,512	0,521	0,022	0,024	0,014	0,145	0,104	0,098
0,46	0,422	0,512	0,107	0,024	0,072	0,193	0,139	0,126
0,48	0,570	0,440	0,138	0,109	0,097	0,253	0,184	0,165
0,50	0,770	0,622	0,178	0,142	0,129	0,323	0,244	0,233
0,515	0,832	0,679	0,189	0,151	0,138	0,356	0,261	0,274
0,510	0,898	0,742	0,201	0,161	0,149	0,381	0,281	0,297
0,515	0,970	0,811	0,214	0,172	0,160	0,408	0,301	0,322
0,520	1,048	0,888	0,223	0,183	0,172	0,438	0,324	0,348
0,525	1,134	0,972	0,243	0,196	0,185	0,469	0,348	0,377
0,530	1,228	1,066	0,269	0,209	0,199	0,503	0,374	0,409
0,535	1,333	1,170	0,276	0,223	0,214	0,540	0,402	0,444
0,540	1,448	1,288	0,294	0,238	0,221	0,580	0,433	0,483
0,545	1,580	1,422	0,314	0,255	0,249	0,625	0,469	0,527
0,550	1,771	1,613	0,326	0,273	0,269	0,677	0,510	0,577
0,555	2,041	1,862	0,359	0,294	0,291	0,739	0,560	0,638
0,560	2,350	2,127	0,387	0,318	0,318	0,817	0,624	0,715
0,565	2,779	2,707	0,420	0,347	0,349	0,913	0,713	0,813
0,570	3,374	3,283	0,463	0,386	0,391	1,024	0,812	0,916
0,575	7,123	6,254	0,530	0,448	0,456	1,436	1,171	1,320

$$\lambda = 0,70$$

$m$	$m_p$	$n_p$	$\varphi_1$	$\varphi_2$	$X_1$	$\varphi_2$	$\varphi_2$	$X_2$
0,25	0,002	0,002	0,002	0	0	0,001	0,001	0
0,30	0,027	0,029	0,025	0,024	0,023	0,029	0,026	0,025
0,30	0,054	0,053	0,057	0,053	0,050	0,050	0,050	0,050
0,32	0,080	0,085	0,086	0,080	0,085	0,084	0,082	0,082
0,34	0,113	0,127	0,128	0,123	0,122	0,125	0,125	0,121
0,36	0,156	0,173	0,173	0,164	0,164	0,169	0,168	0,161
0,38	0,222	0,251	0,274	0,258	0,248	0,251	0,254	0,239
0,40	0,400	0,360	0,300	0,279	0,268	0,261	0,271	0,229
0,42	0,559	0,448	0,334	0,307	0,296	0,249	0,282	0,185
0,43	0,677	0,549	0,356	0,324	0,313	0,232	0,284	0,223
0,435	0,740	0,608	0,367	0,334	0,323	0,232	0,292	0,244
0,440	0,820	0,675	0,380	0,344	0,334	0,242	0,292	0,268
0,445	0,827	0,750	0,394	0,358	0,348	0,251	0,294	0,294
0,450	0,972	0,833	0,398	0,368	0,358	0,258	0,299	0,323
0,455	1,067	0,928	0,394	0,378	0,368	0,268	0,308	0,356
0,460	1,173	1,035	0,391	0,385	0,378	0,274	0,313	0,383
0,465	1,291	1,156	0,380	0,382	0,376	0,285	0,325	0,432
0,470	1,423	1,294	0,380	0,385	0,384	0,291	0,331	0,477
0,475	1,573	1,452	0,382	0,387	0,385	0,292	0,340	0,527
0,480	1,742	1,633	0,387	0,388	0,388	0,298	0,348	0,584
0,485	1,949	1,826	0,383	0,380	0,384	0,294	0,358	0,649
0,490	2,232	2,058	0,383	0,388	0,383	0,307	0,365	0,728
0,495	2,648	2,500	0,413	0,346	0,356	0,304	0,395	0,820
0,500	3,249	3,341	0,460	0,384	0,401	0,340	0,420	0,971
0,505	4,308	5,025	0,513	0,436	0,460	0,374	0,435	1,216

$x$	$m_p$	$n_p$	$\psi_1$	$\psi_2$	$\chi_1$	$\chi_2$	$\psi_3$	$\chi_3$
0,10	0,008	0	0	0	0	0	0	0
0,20	0,048	0,009	0,008	0,004	0,008	0,008	0,006	0,008
0,30	0,082	0,028	0,048	0,024	0,021	0,021	0,022	0,028
0,40	0,103	0,068	0,089	0,023	0,048	0,020	0,025	0,028
0,50	0,115	0,111	0,104	0,026	0,028	0,027	0,025	0,021
0,60	0,122	0,152	0,108	0,021	0,043	0,026	0,024	0,020
0,70	0,128	0,193	0,094	0,024	0,025	0,021	0,024	0,024
0,80	0,132	0,233	0,082	0,029	0,029	0,027	0,021	0,025
0,90	0,136	0,272	0,072	0,027	0,029	0,228	0,027	0,023
0,960	0,140	0,277	0,073	0,027	0,027	0,251	0,024	0,023
0,980	0,141	0,240	0,046	0,017	0,109	0,276	0,203	0,215
0,990	0,726	0,622	0,859	0,828	0,179	0,308	0,325	0,241
0,995	0,820	0,694	0,874	0,840	0,232	0,325	0,248	0,269
0,998	0,906	0,790	0,890	0,853	0,246	0,320	0,275	0,262
0,999	1,009	0,908	0,927	0,868	0,222	0,408	0,305	0,239
0,999	1,140	1,028	0,227	0,184	0,180	0,452	0,339	0,282
0,995	1,286	1,182	0,248	0,203	0,200	0,502	0,377	0,320
0,400	1,452	1,361	0,272	0,223	0,223	0,556	0,420	0,388
0,405	1,647	1,573	0,298	0,246	0,246	0,620	0,470	0,402
0,410	1,876	1,827	0,329	0,272	0,272	0,692	0,527	0,438
0,415	2,148	2,134	0,363	0,302	0,303	0,775	0,594	0,517
0,420	2,460	2,523	0,402	0,334	0,353	0,873	0,673	0,592
0,425	2,808	2,823	0,446	0,374	0,400	0,999	0,776	0,682
0,430	3,184	3,250	0,503	0,425	0,465	1,137	0,905	0,817
0,435	3,582	3,570	0,568	0,485	0,527	1,289	1,059	0,928

$x$	$m_p$	$n_p$	$\psi_1$	$\psi_2$	$\chi_1$	$\chi_2$	$\psi_3$	$\chi_3$
0,10	0	0	0	0	0	0	0	0
0,20	0,028	0,009	0,028	0,004	0,008	0,008	0,006	0,008
0,30	0,037	0,022	0,043	0,009	0,006	0,029	0,023	0,021
0,40	0,073	0,046	0,025	0,016	0,023	0,023	0,022	0,022
0,50	0,130	0,089	0,026	0,028	0,023	0,022	0,024	0,041
0,60	0,171	0,121	0,040	0,026	0,020	0,020	0,027	0,024
0,70	0,224	0,164	0,027	0,040	0,028	0,103	0,024	0,021
0,80	0,291	0,222	0,022	0,027	0,020	0,131	0,026	0,024
0,90	0,322	0,257	0,020	0,024	0,026	0,147	0,107	0,108
0,960	0,378	0,299	0,020	0,021	0,024	0,164	0,126	0,124
0,980	0,422	0,348	0,020	0,020	0,022	0,187	0,127	0,142
0,990	0,494	0,405	0,112	0,089	0,082	0,221	0,155	0,162
0,995	0,546	0,474	0,124	0,100	0,093	0,227	0,275	0,187
0,998	0,648	0,556	0,129	0,112	0,106	0,258	0,199	0,226
0,999	0,748	0,653	0,156	0,125	0,120	0,303	0,226	0,249
0,999	0,861	0,771	0,173	0,141	0,127	0,344	0,257	0,288
0,995	0,997	0,914	0,194	0,158	0,156	0,390	0,292	0,324
0,990	1,161	1,089	0,218	0,178	0,173	0,445	0,306	0,309
0,985	1,361	1,306	0,245	0,202	0,205	0,509	0,287	0,456
0,980	1,605	1,579	0,276	0,229	0,226	0,586	0,448	0,528
0,975	1,909	1,925	0,303	0,260	0,274	0,677	0,521	0,626
0,970	2,294	2,373	0,326	0,289	0,289	0,789	0,621	0,759
0,965	2,769	2,922	0,407	0,343	0,374	0,927	0,723	0,925
0,960	3,499	3,589	0,470	0,388	0,443	1,104	0,869	1,121
0,955	5,088	5,732	0,553	0,473	0,527	1,390	1,123	1,458

Продолжение табл. I

 $\alpha = 0,05$ 

$m$	$m_p$	$n_p$	$\varphi_1$	$\psi_1$	$\chi_1$	$\varphi_2$	$\psi_2$	$\chi_2$
0,12	0,008	0,002	0,001	0,001	0,001	0,002	0,001	0,001
0,14	0,015	0,009	0,005	0,004	0,003	0,008	0,006	0,005
0,16	0,024	0,016	0,013	0,010	0,008	0,022	0,015	0,013
0,18	0,035	0,027	0,027	0,021	0,017	0,048	0,033	0,030
0,20	0,050	0,040	0,040	0,030	0,024	0,080	0,065	0,064
0,205	0,238	0,153	0,058	0,046	0,040	0,106	0,077	0,077
0,210	0,284	0,224	0,067	0,053	0,048	0,134	0,096	0,093
0,215	0,329	0,275	0,078	0,062	0,057	0,168	0,107	0,101
0,220	0,405	0,325	0,090	0,072	0,067	0,171	0,126	0,124
0,225	0,485	0,417	0,104	0,084	0,079	0,201	0,149	0,142
0,230	0,536	0,517	0,121	0,098	0,094	0,237	0,177	0,166
0,235	0,712	0,647	0,140	0,114	0,112	0,281	0,220	0,208
0,240	0,871	0,827	0,163	0,134	0,134	0,334	0,252	0,232
0,245	1,077	1,042	0,191	0,158	0,162	0,400	0,304	0,282
0,250	1,350	1,350	0,225	0,187	0,185	0,484	0,371	0,450
0,255	1,720	1,700	0,267	0,223	0,229	0,592	0,458	0,539
0,260	2,210	2,400	0,320	0,270	0,266	0,735	0,575	0,733
0,265	2,808	2,726	0,385	0,329	0,324	0,906	0,694	0,829
0,270	3,522	3,413	0,474	0,398	0,386	0,987	0,791	0,941
0,275	4,394	4,175	0,405	0,346	0,393	0,901	0,779	1,021
0,280	5,436	4,934	0,442	0,378	0,413	1,088	0,868	1,112
0,270	4,174	4,527	0,482	0,415	0,480	1,215	0,974	1,207
0,275	4,918	5,287	0,519	0,458	0,536	1,369	1,106	1,436
0,284	6,232	7,445	0,586	0,510	0,605	1,584	1,291	1,787
0,276	9,662	11,821	0,662	0,584	0,702			

Продолжение табл. I

 $\alpha = 0,10$ 

$m$	$m_p$	$n_p$	$\varphi_1$	$\psi_1$	$\chi_1$	$\varphi_2$	$\psi_2$	$\chi_2$
0,08	0,002	0,001	0,001	0,001	0	0,001	0,001	0,001
0,10	0,009	0,011	0,006	0,004	0,003	0,009	0,007	0,006
0,105	0,028	0,016	0,008	0,006	0,005	0,023	0,019	0,018
0,110	0,036	0,023	0,010	0,008	0,006	0,039	0,033	0,031
0,115	0,049	0,032	0,014	0,011	0,008	0,054	0,047	0,045
0,120	0,065	0,044	0,018	0,014	0,011	0,071	0,062	0,060
0,125	0,086	0,060	0,023	0,018	0,015	0,090	0,079	0,077
0,130	0,112	0,082	0,029	0,022	0,019	0,111	0,097	0,096
0,135	0,146	0,111	0,036	0,028	0,025	0,135	0,117	0,117
0,140	0,189	0,149	0,045	0,038	0,032	0,163	0,142	0,142
0,145	0,247	0,200	0,056	0,048	0,041	0,205	0,177	0,182
0,150	0,324	0,279	0,069	0,061	0,053	0,254	0,229	0,238
0,155	0,430	0,385	0,087	0,070	0,066	0,312	0,288	0,294
0,160	0,561	0,544	0,109	0,089	0,085	0,383	0,348	0,356
0,165	0,709	0,709	0,138	0,114	0,118	0,469	0,424	0,435
0,170	1,147	1,106	0,179	0,149	0,160	0,585	0,536	0,560
0,175	1,740	1,435	0,236	0,207	0,222	0,748	0,689	0,740
0,174	1,579	1,704	0,222	0,187	0,207	0,543	0,492	0,525
0,176	1,982	2,075	0,249	0,212	0,237	0,592	0,487	0,607
0,178	2,271	2,565	0,262	0,241	0,274	0,668	0,548	0,723
0,180	2,783	3,262	0,321	0,277	0,320	0,810	0,650	0,871
0,182	3,476	4,106	0,369	0,321	0,378	0,968	0,782	1,085
0,184	4,445	5,379	0,430	0,376	0,431	1,173	0,938	1,328
0,186	5,862	7,258	0,509	0,449	0,549	1,456	1,201	1,694
0,188	8,419	10,719	0,605	0,543	0,683	1,860	1,573	2,301

$x_1$	$m_p$	$n_p$	$\psi_1$	$\psi_1$	$X_1$	$\psi_2$	$\psi_2$	$X_2$
0,04	0,004	0,004	0	0	0	0,001	0	0
0,045	0,004	0,004	0,001	0,001	0,001	0,002	0,001	0,001
0,050	0,005	0,005	0,002	0,002	0,002	0,003	0,002	0,002
0,055	0,005	0,005	0,003	0,003	0,003	0,004	0,003	0,003
0,060	0,006	0,006	0,004	0,004	0,004	0,005	0,004	0,004
0,065	0,006	0,006	0,005	0,005	0,005	0,006	0,005	0,005
0,070	0,007	0,007	0,006	0,006	0,006	0,007	0,006	0,006
0,075	0,007	0,007	0,007	0,007	0,007	0,008	0,007	0,007
0,080	0,008	0,008	0,008	0,008	0,008	0,009	0,008	0,008
0,085	0,008	0,008	0,009	0,009	0,009	0,010	0,009	0,009
0,090	0,009	0,009	0,010	0,010	0,010	0,011	0,010	0,010
0,095	0,009	0,009	0,011	0,011	0,011	0,012	0,011	0,011
0,100	0,010	0,010	0,012	0,012	0,012	0,013	0,012	0,012
0,105	0,010	0,010	0,013	0,013	0,013	0,014	0,013	0,013
0,110	0,011	0,011	0,014	0,014	0,014	0,015	0,014	0,014
0,115	0,011	0,011	0,015	0,015	0,015	0,016	0,015	0,015
0,120	0,012	0,012	0,016	0,016	0,016	0,017	0,016	0,016
0,125	0,012	0,012	0,017	0,017	0,017	0,018	0,017	0,017
0,130	0,013	0,013	0,018	0,018	0,018	0,019	0,018	0,018
0,135	0,013	0,013	0,019	0,019	0,019	0,020	0,019	0,019
0,140	0,014	0,014	0,020	0,020	0,020	0,021	0,020	0,020
0,145	0,014	0,014	0,021	0,021	0,021	0,022	0,021	0,021
0,150	0,015	0,015	0,022	0,022	0,022	0,023	0,022	0,022
0,155	0,015	0,015	0,023	0,023	0,023	0,024	0,023	0,023
0,160	0,016	0,016	0,024	0,024	0,024	0,025	0,024	0,024
0,165	0,016	0,016	0,025	0,025	0,025	0,026	0,025	0,025
0,170	0,017	0,017	0,026	0,026	0,026	0,027	0,026	0,026
0,175	0,017	0,017	0,027	0,027	0,027	0,028	0,027	0,027
0,180	0,018	0,018	0,028	0,028	0,028	0,029	0,028	0,028
0,185	0,018	0,018	0,029	0,029	0,029	0,030	0,029	0,029
0,190	0,019	0,019	0,030	0,030	0,030	0,031	0,030	0,030
0,195	0,019	0,019	0,031	0,031	0,031	0,032	0,031	0,031
0,200	0,020	0,020	0,032	0,032	0,032	0,033	0,032	0,032
0,205	0,020	0,020	0,033	0,033	0,033	0,034	0,033	0,033
0,210	0,021	0,021	0,034	0,034	0,034	0,035	0,034	0,034
0,215	0,021	0,021	0,035	0,035	0,035	0,036	0,035	0,035
0,220	0,022	0,022	0,036	0,036	0,036	0,037	0,036	0,036
0,225	0,022	0,022	0,037	0,037	0,037	0,038	0,037	0,037
0,230	0,023	0,023	0,038	0,038	0,038	0,039	0,038	0,038
0,235	0,023	0,023	0,039	0,039	0,039	0,040	0,039	0,039
0,240	0,024	0,024	0,040	0,040	0,040	0,041	0,040	0,040
0,245	0,024	0,024	0,041	0,041	0,041	0,042	0,041	0,041
0,250	0,025	0,025	0,042	0,042	0,042	0,043	0,042	0,042
0,255	0,025	0,025	0,043	0,043	0,043	0,044	0,043	0,043
0,260	0,026	0,026	0,044	0,044	0,044	0,045	0,044	0,044
0,265	0,026	0,026	0,045	0,045	0,045	0,046	0,045	0,045
0,270	0,027	0,027	0,046	0,046	0,046	0,047	0,046	0,046
0,275	0,027	0,027	0,047	0,047	0,047	0,048	0,047	0,047
0,280	0,028	0,028	0,048	0,048	0,048	0,049	0,048	0,048
0,285	0,028	0,028	0,049	0,049	0,049	0,050	0,049	0,049
0,290	0,029	0,029	0,050	0,050	0,050	0,051	0,050	0,050
0,295	0,029	0,029	0,051	0,051	0,051	0,052	0,051	0,051
0,300	0,030	0,030	0,052	0,052	0,052	0,053	0,052	0,052
0,305	0,030	0,030	0,053	0,053	0,053	0,054	0,053	0,053
0,310	0,031	0,031	0,054	0,054	0,054	0,055	0,054	0,054
0,315	0,031	0,031	0,055	0,055	0,055	0,056	0,055	0,055
0,320	0,032	0,032	0,056	0,056	0,056	0,057	0,056	0,056
0,325	0,032	0,032	0,057	0,057	0,057	0,058	0,057	0,057
0,330	0,033	0,033	0,058	0,058	0,058	0,059	0,058	0,058
0,335	0,033	0,033	0,059	0,059	0,059	0,060	0,059	0,059
0,340	0,034	0,034	0,060	0,060	0,060	0,061	0,060	0,060
0,345	0,034	0,034	0,061	0,061	0,061	0,062	0,061	0,061
0,350	0,035	0,035	0,062	0,062	0,062	0,063	0,062	0,062
0,355	0,035	0,035	0,063	0,063	0,063	0,064	0,063	0,063
0,360	0,036	0,036	0,064	0,064	0,064	0,065	0,064	0,064
0,365	0,036	0,036	0,065	0,065	0,065	0,066	0,065	0,065
0,370	0,037	0,037	0,066	0,066	0,066	0,067	0,066	0,066
0,375	0,037	0,037	0,067	0,067	0,067	0,068	0,067	0,067
0,380	0,038	0,038	0,068	0,068	0,068	0,069	0,068	0,068
0,385	0,038	0,038	0,069	0,069	0,069	0,070	0,069	0,069
0,390	0,039	0,039	0,070	0,070	0,070	0,071	0,070	0,070
0,395	0,039	0,039	0,071	0,071	0,071	0,072	0,071	0,071
0,400	0,040	0,040	0,072	0,072	0,072	0,073	0,072	0,072
0,405	0,040	0,040	0,073	0,073	0,073	0,074	0,073	0,073
0,410	0,041	0,041	0,074	0,074	0,074	0,075	0,074	0,074
0,415	0,041	0,041	0,075	0,075	0,075	0,076	0,075	0,075
0,420	0,042	0,042	0,076	0,076	0,076	0,077	0,076	0,076
0,425	0,042	0,042	0,077	0,077	0,077	0,078	0,077	0,077
0,430	0,043	0,043	0,078	0,078	0,078	0,079	0,078	0,078
0,435	0,043	0,043	0,079	0,079	0,079	0,080	0,079	0,079
0,440	0,044	0,044	0,080	0,080	0,080	0,081	0,080	0,080
0,445	0,044	0,044	0,081	0,081	0,081	0,082	0,081	0,081
0,450	0,045	0,045	0,082	0,082	0,082	0,083	0,082	0,082
0,455	0,045	0,045	0,083	0,083	0,083	0,084	0,083	0,083
0,460	0,046	0,046	0,084	0,084	0,084	0,085	0,084	0,084
0,465	0,046	0,046	0,085	0,085	0,085	0,086	0,085	0,085
0,470	0,047	0,047	0,086	0,086	0,086	0,087	0,086	0,086
0,475	0,047	0,047	0,087	0,087	0,087	0,088	0,087	0,087
0,480	0,048	0,048	0,088	0,088	0,088	0,089	0,088	0,088
0,485	0,048	0,048	0,089	0,089	0,089	0,090	0,089	0,089
0,490	0,049	0,049	0,090	0,090	0,090	0,091	0,090	0,090
0,495	0,049	0,049	0,091	0,091	0,091	0,092	0,091	0,091
0,500	0,050	0,050	0,092	0,092	0,092	0,093	0,092	0,092
0,505	0,050	0,050	0,093	0,093	0,093	0,094	0,093	0,093
0,510	0,051	0,051	0,094	0,094	0,094	0,095	0,094	0,094
0,515	0,051	0,051	0,095	0,095	0,095	0,096	0,095	0,095
0,520	0,052	0,052	0,096	0,096	0,096	0,097	0,096	0,096
0,525	0,052	0,052	0,097	0,097	0,097	0,098	0,097	0,097
0,530	0,053	0,053	0,098	0,098	0,098	0,099	0,098	0,098
0,535	0,053	0,053	0,099	0,099	0,099	0,100	0,099	0,099
0,540	0,054	0,054	0,100	0,100	0,100	0,101	0,100	0,100
0,545	0,054	0,054	0,101	0,101	0,101	0,102	0,101	0,101
0,550	0,055	0,055	0,102	0,102	0,102	0,103	0,102	0,102
0,555	0,055	0,055	0,103	0,103	0,103	0,104	0,103	0,103
0,560	0,056	0,056	0,104	0,104	0,104	0,105	0,104	0,104
0,565	0,056	0,056	0,105	0,105	0,105	0,106	0,105	0,105
0,570	0,057	0,057	0,106	0,106	0,106	0,107	0,106	0,106
0,575	0,057	0,057	0,107	0,107	0,107	0,108	0,107	0,107
0,580	0,058	0,058	0,108	0,108	0,108	0,109	0,108	0,108
0,585	0,058	0,058	0,109	0,109	0,109	0,110	0,109	0,109
0,590	0,059	0,059	0,110	0,110	0,110	0,111	0,110	0,110
0,595	0,059	0,059	0,111	0,111	0,111	0,112	0,111	0,111
0,600	0,060	0,060	0,112	0,112	0,112	0,113	0,112	0,112
0,605	0,060	0,060	0,113	0,113	0,113	0,114	0,113	0,113
0,610	0,061	0,061	0,114	0,114	0,114	0,115	0,114	0,114
0,615	0,061	0,061	0,115	0,115	0,115	0,116	0,115	0,115
0,620	0,062	0,062	0,116	0,116	0,116	0,117	0,116	0,116
0,625	0,062	0,062	0,117	0,117	0,117	0,118	0,117	0,117
0,630	0,063	0,063	0,118	0,118	0,118	0,119	0,118	0,118
0,635	0,063	0,063	0,119	0,119	0,119	0,120	0,119	0,119
0,640	0,064	0,064	0,120	0,120	0,120	0,121	0,120	0,120
0,645	0,064	0,064	0,121	0,121	0,121	0,122	0,121	0,121
0,650	0,065	0,065	0,122	0,122	0,122	0,123	0,122	0,122
0,655	0,065	0,065	0,123	0,123	0,123	0,124	0,123	0,123
0,660	0,066	0,066	0,124	0,124	0,124	0,125	0,124	0,124
0,665	0,066	0,066	0,125	0,125	0,125	0,126	0,125	0,125
0,670	0,067	0,067	0,126	0,126	0,126	0,127	0,126	0,126
0,675	0,067	0,067	0,127	0,127	0,127	0,128	0,127	0,127
0								

m	$m_{\text{ср}}$	$\psi_1$	$\psi_1$	$\psi_2$	$\psi_2$
0,66	0,026	0,028	0,006	0,023	0,009
0,70	0,023	0,026	0,022	0,027	0,029
0,72	0,073	0,022	0,027	0,036	0,026
0,74	0,087	0,029	0,022	0,048	0,024
0,76	0,127	0,037	0,028	0,062	0,044
0,78	0,164	0,046	0,036	0,080	0,054
0,80	0,210	0,058	0,046	0,100	0,071
0,82	0,267	0,071	0,056	0,125	0,090
0,84	0,339	0,088	0,068	0,156	0,112
0,86	0,422	0,107	0,084	0,194	0,140
0,88	0,510	0,131	0,104	0,241	0,170
0,90	0,710	0,159	0,127	0,300	0,221
0,92	0,938	0,196	0,158	0,379	0,282
0,94	1,279	0,243	0,198	0,489	0,368
0,945	1,384	0,266	0,209	0,523	0,395
0,950	1,528	0,271	0,222	0,562	0,426
0,955	1,696	0,288	0,236	0,605	0,461
0,960	1,871	0,306	0,252	0,655	0,502
0,965	2,068	0,327	0,270	0,712	0,548
0,970	2,281	0,350	0,291	0,779	0,604
0,975	2,747	0,376	0,314	0,860	0,672
0,980	3,245	0,407	0,342	0,962	0,759
0,985	3,979	0,444	0,375	1,086	0,874
0,990	5,217	0,492	0,419	1,338	1,043
0,995	8,022	0,559	0,482	1,628	1,349

$$F'_d = 0,5; \quad \bar{F}_0/\bar{F}'_0 = 0,3$$

m	$m_{\text{ср}}$	$\psi_1$	$\psi_1$	$\psi_2$	$\psi_2$
0,70	0,002	0	0	0	0
0,72	0,017	0,008	0,008	0,021	0,007
0,74	0,038	0,018	0,022	0,024	0,025
0,76	0,064	0,029	0,020	0,040	0,026
0,78	0,097	0,041	0,029	0,059	0,028
0,80	0,138	0,056	0,039	0,081	0,033
0,82	0,189	0,074	0,052	0,109	0,072
0,84	0,253	0,095	0,066	0,142	0,095
0,86	0,328	0,119	0,086	0,183	0,122
0,88	0,414	0,149	0,109	0,234	0,160
0,90	0,510	0,185	0,137	0,299	0,206
0,92	0,796	0,231	0,173	0,394	0,269
0,94	1,110	0,290	0,221	0,509	0,359
0,945	1,215	0,307	0,236	0,541	0,388
0,950	1,368	0,327	0,251	0,583	0,420
0,955	1,482	0,348	0,268	0,630	0,457
0,960	1,653	0,371	0,288	0,685	0,499
0,965	1,881	0,397	0,310	0,747	0,549
0,970	2,120	0,426	0,335	0,821	0,608
0,975	2,456	0,460	0,364	0,910	0,680
0,980	2,914	0,499	0,398	1,021	0,772
0,985	3,508	0,547	0,440	1,158	0,886
0,990	4,724	0,608	0,495	1,328	1,077
0,995	7,300	0,696	0,576	1,752	1,408

$$\bar{F}_D' = 0,31 \quad \bar{F}_D / \bar{F}_C = 0,6$$

$m$	$m_p$	$\psi_1$	$\Psi_1$	$\psi_2$	$\Psi_2$
0,76	0	0	0	0	0
0,78	0,086	0,008	0,005	0,010	0,006
0,80	0,080	0,023	0,005	0,032	0,020
0,82	0,063	0,043	0,009	0,059	0,037
0,84	0,249	0,064	0,044	0,091	0,059
0,86	0,221	0,090	0,063	0,131	0,085
0,88	0,305	0,122	0,086	0,180	0,119
0,90	0,443	0,161	0,115	0,244	0,164
0,92	0,525	0,209	0,152	0,328	0,224
0,94	0,902	0,273	0,202	0,446	0,309
0,96	0,906	0,292	0,217	0,600	0,337
0,980	1,405	0,323	0,234	0,825	0,368
0,985	1,332	0,326	0,252	0,972	0,404
0,990	1,384	0,391	0,273	0,821	0,445
0,995	1,460	0,390	0,287	0,687	0,420
0,999	1,799	0,422	0,320	0,761	0,550
0,975	2,097	0,459	0,354	0,850	0,621
0,980	2,504	0,502	0,391	0,961	0,710
0,985	3,103	0,555	0,437	1,100	0,811
0,990	4,113	0,623	0,497	1,322	1,041
0,995	5,405	0,701	0,567	1,639	1,339

$$\bar{F}_D' = 0,71 \quad \bar{F}_D / \bar{F}_C = 0$$

$m$	$m_p$	$\psi_1$	$\Psi_1$	$\psi_2$	$\Psi_2$
0,62	0	0	0	0	0
0,66	0,006	0,002	0,001	0,003	0,002
0,70	0,021	0,007	0,005	0,021	0,007
0,73	0,032	0,010	0,008	0,037	0,012
0,74	0,045	0,015	0,011	0,054	0,017
0,76	0,068	0,020	0,015	0,084	0,024
0,78	0,093	0,027	0,021	0,116	0,032
0,80	0,125	0,036	0,027	0,161	0,043
0,82	0,165	0,046	0,035	0,219	0,058
0,84	0,217	0,058	0,045	0,292	0,073
0,86	0,284	0,073	0,058	0,381	0,094
0,88	0,371	0,082	0,073	0,497	0,121
0,90	0,490	0,115	0,091	0,673	0,155
0,92	0,659	0,144	0,118	0,914	0,202
0,94	0,945	0,183	0,148	0,120	0,269
0,945	1,002	0,174	0,157	0,386	0,291
0,950	1,109	0,206	0,160	0,418	0,315
0,955	1,220	0,230	0,180	0,452	0,342
0,960	1,340	0,235	0,183	0,491	0,374
0,965	1,500	0,252	0,207	0,537	0,411
0,970	1,743	0,271	0,224	0,590	0,456
0,975	2,083	0,293	0,243	0,655	0,509
0,980	2,592	0,318	0,266	0,735	0,576
0,985	3,243	0,343	0,294	0,841	0,657
0,990	3,972	0,369	0,320	0,985	0,801
0,995	5,075	0,445	0,393	1,264	1,042

$$F_{D'}^1 = 0,7; \quad F_{D'}^2 / F_{D'}^1 = 0,3$$

$m$	$m_p$	$\Psi_1$	$\Phi_1$	$\Psi_2$	$\Psi_2$
0,74	0	0	0	0	0
0,76	0,084	0,007	0,004	0,009	0,006
0,78	0,036	0,016	0,021	0,023	0,024
0,80	0,064	0,028	0,029	0,040	0,036
0,82	0,100	0,043	0,039	0,060	0,039
0,84	0,147	0,059	0,042	0,086	0,037
0,86	0,207	0,079	0,056	0,113	0,070
0,88	0,287	0,104	0,075	0,156	0,106
0,90	0,396	0,134	0,098	0,210	0,143
0,92	0,541	0,172	0,127	0,278	0,192
0,94	0,729	0,222	0,167	0,374	0,263
0,96	0,969	0,287	0,219	0,495	0,366
0,980	1,282	0,364	0,292	0,639	0,502
0,985	1,371	0,372	0,297	0,677	0,541
0,990	1,432	0,382	0,294	0,721	0,575
0,995	1,469	0,384	0,292	0,772	0,615
0,997	1,480	0,380	0,288	0,795	0,632
0,998	1,486	0,380	0,288	0,795	0,632
0,999	1,488	0,379	0,287	0,794	0,631
0,999	1,488	0,379	0,287	0,794	0,631

$$F_{D'}^1 = 0,7; \quad F_{D'}^2 / F_{D'}^1 = 0,6$$

$m$	$m_p$	$\Psi_1$	$\Phi_1$	$\Psi_2$	$\Psi_2$
0,80	0	0	0	0	0
0,82	0,083	0,009	0,006	0,012	0,007
0,84	0,036	0,027	0,019	0,037	0,024
0,86	0,111	0,049	0,034	0,069	0,044
0,88	0,182	0,076	0,053	0,109	0,071
0,90	0,278	0,109	0,077	0,160	0,106
0,92	0,406	0,151	0,108	0,229	0,154
0,94	0,580	0,207	0,151	0,328	0,223
0,96	0,790	0,282	0,204	0,467	0,349
0,980	1,063	0,382	0,278	0,661	0,500
0,985	1,161	0,392	0,284	0,700	0,539
0,990	1,230	0,399	0,282	0,758	0,572
0,995	1,287	0,398	0,286	0,809	0,619
0,997	1,347	0,391	0,283	0,862	0,677
0,998	1,360	0,389	0,283	0,865	0,680
0,999	1,361	0,387	0,282	0,864	0,680
0,999	1,361	0,387	0,282	0,864	0,680

Продолжение табл.3

$$\bar{F}_D = 0,9; \quad \bar{F}_D / \bar{F}_C = 0$$

m	m <sub>p</sub>	$\psi_1$	$\Psi_1$	$\psi_2$	$\Psi_2$
0,66	0	0	0	0	0
0,70	0,006	0,002	0,002	0,003	0,002
0,72	0,013	0,004	0,003	0,007	0,005
0,74	0,023	0,007	0,005	0,012	0,008
0,76	0,036	0,011	0,008	0,018	0,013
0,78	0,054	0,016	0,012	0,027	0,019
0,80	0,077	0,023	0,017	0,038	0,027
0,82	0,107	0,031	0,024	0,052	0,037
0,84	0,147	0,041	0,032	0,070	0,050
0,86	0,199	0,053	0,041	0,093	0,067
0,88	0,266	0,069	0,054	0,123	0,089
0,90	0,353	0,088	0,070	0,161	0,117
0,92	0,468	0,113	0,090	0,212	0,156
0,94	0,706	0,146	0,118	0,286	0,212
0,945	0,777	0,156	0,126	0,308	0,230
0,950	0,859	0,167	0,135	0,333	0,250
0,955	0,954	0,179	0,146	0,363	0,273
0,960	1,068	0,193	0,157	0,396	0,300
0,965	1,208	0,208	0,170	0,435	0,331
0,970	1,381	0,226	0,185	0,480	0,368
0,975	1,606	0,244	0,202	0,536	0,414
0,980	1,893	0,267	0,222	0,605	0,472
0,985	2,363	0,294	0,247	0,696	0,549
0,990	3,033	0,330	0,279	0,828	0,664
0,995	4,045	0,381	0,326	1,020	0,811

Продолжение табл.3

$$\bar{F}_D' = 0,9; \quad \bar{F}_D / \bar{F}_C = 0,3$$

m	m <sub>p</sub>	$\psi_1$	$\Psi_1$	$\psi_2$	$\Psi_2$
0,70	0,002	0,001	0,001	0,001	0,001
0,80	0,022	0,001	0,007	0,004	0,009
0,82	0,049	0,002	0,015	0,001	0,020
0,84	0,085	0,007	0,025	0,002	0,034
0,86	0,132	0,014	0,038	0,009	0,054
0,88	0,196	0,025	0,053	0,012	0,074
0,90	0,283	0,042	0,073	0,020	0,105
0,92	0,409	0,076	0,099	0,034	0,146
0,94	0,602	0,121	0,134	0,056	0,206
0,945	0,668	0,134	0,145	0,063	0,225
0,950	0,744	0,150	0,157	0,072	0,248
0,955	0,834	0,165	0,170	0,085	0,273
0,960	0,940	0,183	0,185	0,104	0,302
0,965	1,070	0,204	0,202	0,128	0,336
0,970	1,232	0,237	0,221	0,160	0,377
0,975	1,442	0,283	0,243	0,203	0,427
0,980	1,728	0,344	0,270	0,263	0,491
0,985	2,150	0,423	0,303	0,339	0,577
0,990	2,801	0,532	0,345	0,431	0,706
0,995	4,473	0,703	0,481	1,191	0,940

Продолжение табл.3

$$F'_0 = 0,9; \quad \bar{F}_0 / \bar{F}_c = 0,9$$

$m$	$m_p$	$\Psi_1$	$\Psi_1$	$\Psi_2$	$\Psi_2$
0,82	0	0	0	0	0
0,84	0,006	0,002	0,002	0,003	0,002
0,86	0,016	0,002	0,005	0,009	0,009
0,88	0,032	0,008	0,008	0,014	0,014
0,90	0,060	0,015	0,012	0,020	0,020
0,92	0,092	0,023	0,020	0,027	0,027
0,94	0,128	0,034	0,028	0,032	0,032
0,96	0,168	0,047	0,033	0,039	0,039
0,98	0,212	0,062	0,040	0,047	0,047
0,99	0,260	0,079	0,049	0,057	0,057
0,995	0,312	0,098	0,059	0,067	0,067
0,997	0,368	0,119	0,070	0,079	0,079
0,998	0,428	0,143	0,083	0,092	0,092
0,999	0,492	0,169	0,097	0,106	0,106
0,9995	0,560	0,200	0,113	0,122	0,122
0,9997	0,632	0,236	0,131	0,140	0,140
0,9998	0,708	0,276	0,151	0,160	0,160
0,9999	0,788	0,319	0,174	0,182	0,182
0,99995	0,872	0,366	0,200	0,206	0,206
0,99997	0,960	0,416	0,229	0,232	0,232
0,99998	1,052	0,469	0,260	0,259	0,259
0,99999	1,148	0,526	0,294	0,288	0,288
0,999995	1,248	0,586	0,331	0,318	0,318
0,999997	1,352	0,649	0,371	0,343	0,343
0,999998	1,460	0,716	0,406	0,374	0,374
0,999999	1,572	0,788	0,444	0,408	0,408
0,9999995	1,688	0,864	0,484	0,442	0,442
0,9999997	1,808	0,944	0,526	0,478	0,478
0,9999998	1,932	1,028	0,570	0,516	0,516
0,9999999	2,060	1,116	0,616	0,556	0,556
0,99999995	2,192	1,208	0,666	0,600	0,600
0,99999997	2,328	1,304	0,718	0,646	0,646
0,99999998	2,468	1,404	0,774	0,694	0,694
0,99999999	2,612	1,508	0,832	0,744	0,744
0,999999995	2,760	1,616	0,892	0,796	0,796
0,999999997	2,912	1,728	0,954	0,852	0,852
0,999999998	3,068	1,844	1,020	0,910	0,910
0,999999999	3,228	1,964	1,088	0,972	0,972

Таблица 4. Циклические функции для балок негеометрически деформированного профиля из упруго-пластичного материала с линейным упрочнением ( $E_0/E = 0,01$ )

$$F'_0 = 0,5; \quad \bar{F}_0 / \bar{F}_c = 0$$

$m$	$m_p$	$\Psi_1$	$\Psi_1$	$\Psi_2$	$\Psi_2$
0,58	0,001	0	0	0,001	0
0,62	0,009	0,003	0,002	0,004	0,003

Продолжение табл.4

$m$	$m_p$	$\Psi_1$	$\Psi_1$	$\Psi_2$	$\Psi_2$
0,66	0,025	0,008	0,005	0,013	0,009
0,70	0,052	0,016	0,012	0,026	0,019
0,74	0,094	0,032	0,024	0,047	0,036
0,78	0,158	0,045	0,035	0,077	0,056
0,82	0,254	0,069	0,054	0,120	0,086
0,86	0,400	0,102	0,080	0,182	0,131
0,90	0,628	0,149	0,113	0,274	0,200
0,94	0,907	0,207	0,154	0,414	0,306
0,98	1,280	0,280	0,202	0,640	0,482
1,02	1,768	0,484	0,303	1,033	0,784
1,06	2,400	0,741	0,426	1,625	1,250
1,10	3,282	1,106	0,593	2,441	1,827
1,14	4,441	1,676	0,816	3,422	2,616
1,18	5,912	2,437	1,122	4,534	3,470
1,22	7,705	3,507	1,564	5,735	4,363
1,26	9,846	4,883	2,134	6,973	5,281
1,30	12,366	6,584	2,932	8,264	6,194
1,34	15,282	8,654	4,039	9,639	7,136
1,38	19,620	11,104	5,472	11,027	8,100
1,42	25,398	14,931	7,246	12,447	9,078
1,46	32,716	19,108	9,376	13,888	10,083
1,50	41,587	24,782	11,899	15,351	11,126

$$F'_0 = 0,5; \quad \bar{F}_0 / \bar{F}_c = 0,3$$

$m$	$m_p$	$\psi_1$	$\psi_2$	$\psi_3$	$\psi_4$
0,70	0,002	0	0	0	0
0,74	0,007	0,007	0,012	0,024	0,035
0,78	0,009	0,040	0,028	0,057	0,087
0,82	0,010	0,071	0,050	0,105	0,169
0,86	0,023	0,224	0,082	0,173	0,266
0,90	0,525	0,273	0,127	0,273	0,386
0,94	0,892	0,258	0,194	0,426	0,590
0,98	1,529	0,368	0,299	0,670	0,985
1,02	2,690	0,597	0,472	1,108	1,914
1,06	4,469	0,924	0,746	1,797	3,303
1,10	6,604	1,302	1,129	2,698	4,919
1,14	8,895	1,969	1,605	3,778	6,843
1,18	11,251	2,934	2,234	4,972	9,273
1,22	13,675	3,397	2,756	6,248	11,970
1,26	16,075	4,303	3,399	7,582	14,904
1,30	18,443	5,071	4,072	8,961	18,052
1,34	20,866	5,901	4,769	10,395	21,413
1,38	23,270	6,906	5,494	11,887	24,993
1,42	25,668	7,900	6,254	13,439	28,790
1,46	28,059	8,999	6,946	14,951	32,795
1,50	30,530	9,919	7,707	16,524	37,008

$$F'_0 = 0,5; \quad \bar{F}_0 / \bar{F}_c = 0,6$$

$m$	$m_p$	$\psi_1$	$\psi_2$	$\psi_3$	$\psi_4$
0,74	0	0	0	0	0
0,78	0,005	0,007	0,005	0,010	0,008
0,82	0,009	0,041	0,028	0,056	0,086
0,86	0,207	0,096	0,060	0,124	0,191
0,90	0,297	0,149	0,105	0,223	0,349
0,94	0,728	0,242	0,177	0,378	0,527
0,98	1,340	0,386	0,290	0,636	0,945
1,02	2,489	0,621	0,480	1,039	1,784
1,06	4,346	0,993	0,786	1,615	3,328
1,10	6,252	1,512	1,210	2,701	4,999
1,14	8,599	2,254	1,728	3,909	7,049
1,18	10,900	3,894	2,323	5,244	9,719
1,22	13,225	3,707	2,946	6,451	11,622
1,26	15,564	4,578	3,621	7,809	13,947
1,30	17,909	5,494	4,300	9,305	16,496
1,34	20,257	6,446	5,022	10,827	19,236
1,38	22,650	7,428	5,796	12,073	22,088
1,42	24,943	8,433	6,477	13,536	25,034
1,46	27,327	9,459	7,204	15,072	28,088
1,50	29,673	10,500	7,984	16,500	31,237

$$F'_N = 0,7; F_N / F'_N = 0$$

$m$	$m_p$	$\Psi_1$	$\Psi_1$	$\Psi_2$	$\Psi_2$
0,62	0	0	0	0	0
0,66	0,006	0,002	0,001	0,002	0,002
0,70	0,020	0,006	0,003	0,011	0,007
0,74	0,047	0,024	0,012	0,034	0,027
0,78	0,092	0,027	0,020	0,045	0,032
0,82	0,160	0,040	0,026	0,077	0,035
0,86	0,269	0,071	0,035	0,126	0,050
0,90	0,420	0,109	0,066	0,200	0,145
0,94	0,772	0,169	0,125	0,321	0,237
0,98	1,420	0,263	0,225	0,528	0,407
1,02	2,820	0,436	0,366	0,970	0,753
1,06	5,171	0,746	0,639	1,746	1,374
1,10	7,996	1,219	1,052	2,832	2,224
1,14	10,970	1,940	1,587	4,130	3,261
1,18	13,992	2,934	2,267	5,571	4,281
1,22	17,059	3,429	2,919	7,116	5,409
1,26	20,092	4,297	3,677	8,759	6,562
1,30	23,101	5,355	4,479	10,432	7,745
1,34	26,228	6,421	5,316	12,132	8,948
1,38	29,281	7,517	6,181	13,820	10,164
1,42	32,346	8,644	7,088	15,721	11,391
1,46	35,424	9,848	7,974	17,548	12,535
1,50	38,482	11,063	8,896	19,397	13,658

$$F'_N = 0,7; F'_N / F'_N = 0,3$$

$m$	$m_p$	$\Psi_1$	$\Psi_1$	$\Psi_2$	$\Psi_2$
0,74	0	0	0	0	0
0,78	0,006	0,016	0,011	0,022	0,014
0,82	0,027	0,041	0,029	0,059	0,039
0,86	0,107	0,076	0,054	0,110	0,076
0,90	0,266	0,127	0,082	0,190	0,134
0,94	0,670	0,204	0,132	0,322	0,230
0,98	1,298	0,329	0,203	0,574	0,411
1,02	2,496	0,509	0,445	1,064	0,789
1,06	4,060	0,872	0,796	1,953	1,475
1,10	7,076	1,589	1,325	3,183	2,401
1,14	10,828	2,374	1,983	4,827	3,456
1,18	13,824	3,288	2,701	6,206	4,581
1,22	16,940	4,301	3,504	7,877	5,749
1,26	19,864	5,391	4,382	9,814	6,943
1,30	22,892	6,543	5,233	11,400	8,054
1,34	26,025	7,743	6,140	13,229	9,379
1,38	29,266	8,983	7,089	15,079	10,870
1,42	32,991	10,266	8,006	16,946	11,949
1,46	36,027	11,546	8,968	18,829	13,093
1,50	38,062	12,879	9,879	20,747	14,340

Продолжение табл. 4

$$\bar{F}_0' = 0,7; \quad \bar{F}_0 / \bar{F}_0 = 0,6$$

m	m <sub>p</sub>	$\psi_1$	$\psi_2$	$\psi_3$	$\psi_4$
0,78	0	0	0	0	0
0,82	0,027	0,008	0,006	0,011	0,007
0,86	0,106	0,047	0,032	0,066	0,042
0,90	0,258	0,103	0,072	0,151	0,099
0,94	0,538	0,229	0,136	0,290	0,196
0,98	1,139	0,501	0,248	0,544	0,380
1,02	2,337	0,603	0,487	1,076	0,781
1,06	4,823	1,080	0,874	2,053	1,518
1,10	7,732	1,808	1,458	3,901	2,482
1,14	10,658	2,701	2,279	4,984	3,582
1,18	13,622	3,789	3,376	6,569	4,732
1,22	16,601	4,829	3,827	8,303	5,913
1,26	19,588	6,005	4,714	10,090	7,115
1,30	22,579	7,234	5,627	11,917	8,329
1,34	25,573	8,503	6,559	13,774	9,553
1,38	28,568	9,804	7,504	15,652	10,781
1,42	31,563	11,131	8,459	17,547	12,025
1,46	34,560	12,479	9,422	19,456	13,280
1,50	37,556	13,844	10,391	21,376	14,540

Продолжение табл. 4

$$\bar{F}_0' = 0,9; \quad \bar{F}_0 / \bar{F}_0 = 0$$

m	m <sub>p</sub>	$\psi_1$	$\psi_2$	$\psi_3$	$\psi_4$
0,68	0	0	0	0	0
0,70	0,006	0,002	0,002	0,002	0,002
0,74	0,022	0,007	0,005	0,011	0,008
0,78	0,053	0,016	0,012	0,026	0,019
0,82	0,104	0,030	0,023	0,051	0,036
0,86	0,174	0,052	0,040	0,080	0,062
0,90	0,240	0,085	0,067	0,113	0,111
0,94	0,319	0,137	0,109	0,160	0,131
0,98	1,244	0,227	0,196	0,463	0,350
1,02	2,569	0,402	0,348	0,931	0,728
1,06	5,840	0,709	0,633	1,896	1,438
1,10	9,520	1,190	1,111	3,348	2,543
1,14	12,979	2,183	1,813	4,865	3,797
1,18	16,552	3,128	2,689	6,649	5,160
1,22	20,199	4,197	3,570	8,550	6,649
1,26	23,853	5,385	4,574	10,539	7,876
1,30	27,521	6,684	5,598	12,596	9,309
1,34	31,191	7,990	6,540	14,703	10,761
1,38	34,830	9,302	7,602	16,853	12,226
1,42	38,492	10,722	8,687	19,089	13,703
1,46	42,153	12,182	9,753	21,353	15,188
1,50	45,814	13,677	10,814	23,652	16,680

$$F'_c = 0,9; \quad F'_n / F'_c = 0,8$$

$m$	$m_p$	$\psi_1$	$\psi_1$	$\psi_2$	$\psi_2$
0,75	0,002	0,002	0,002	0,002	0,002
0,82	0,008	0,022	0,025	0,030	0,033
0,88	0,028	0,052	0,057	0,076	0,080
0,90	0,058	0,098	0,070	0,148	0,099
0,94	0,102	0,168	0,134	0,273	0,138
0,98	1,138	0,291	0,233	0,508	0,363
1,02	2,778	0,548	0,437	1,064	0,795
1,06	5,708	1,068	0,862	2,198	1,674
1,10	9,273	1,887	1,557	3,774	2,853
1,14	13,868	2,883	2,382	5,588	4,273
1,18	18,498	4,037	3,330	7,573	5,888
1,22	23,133	5,348	4,340	9,850	7,898
1,26	27,778	6,728	5,399	11,738	8,455
1,30	27,423	8,173	6,432	13,988	9,929
1,34	31,072	9,673	7,580	16,325	11,415
1,38	34,724	11,217	8,748	18,438	12,809
1,42	38,372	12,795	9,900	20,778	14,407
1,46	42,023	14,403	11,063	23,083	15,912
1,50	45,678	16,034	12,225	25,405	17,419

$$F'_n = 0,9; \quad F'_n / F'_c = 0,6$$

$m$	$m_p$	$\psi_1$	$\psi_1$	$\psi_2$	$\psi_2$
0,82	0	0	0	0	0
0,88	0,044	0,021	0,024	0,029	0,025
0,90	0,170	0,072	0,030	0,103	0,067
0,94	0,425	0,132	0,109	0,212	0,135
0,98	0,938	0,226	0,220	0,488	0,328
1,02	2,059	0,401	0,471	1,101	0,804
1,06	5,718	1,233	0,998	2,368	1,762
1,10	9,218	2,180	1,773	4,088	3,021
1,14	12,807	3,347	2,700	5,936	4,382
1,18	16,428	4,682	3,787	8,120	5,810
1,22	20,083	6,081	4,791	10,285	7,268
1,26	23,694	7,575	5,902	12,507	8,746
1,30	27,269	9,128	7,038	14,768	10,233
1,34	30,866	10,718	8,191	17,039	11,729
1,38	34,588	12,344	9,367	19,370	13,229
1,42	38,230	13,996	10,582	21,699	14,732
1,46	41,848	15,670	11,715	24,042	16,240
1,50	45,508	17,362	12,902	26,395	17,747

1. Аргирис Д.х. Современные достижения в методах расчета конструкций с применением металлов. М., Стройиздат, 1969.
2. Вавич В. М. О некоторых результатах В.М. Кофодерова, основанных в теории упругоупругости деформаций. - ИИМ, 1956, вып. 33, с. 767-771.
3. Бардавалов В.В., Немешки Г. П. Совершенствование конструкций устойчивости стенок балки двоякими перекрестиями при действии сдвигных усилий. - Труды ИИМ, 1976, вып. 513, с. 13-23.
4. Вавич В. М. Расчет на предельную упругость, исходя способность и предельное состояние сооружений. - В кн.: Строительная механика в СССР, 1967-1967, М., Стройиздат, 1967, с. 203-238.
5. Вавич В. М. Вопросы проектирования перекрестий. - Труды КИИПТМ, 1962, вып. 16, с. 19-26.
6. Вавич В. М. Об учете степеней свободы конечной нагрузки при упругоупругом изгибе. - Строительная механика и расчет сооружений, 1963, № 5, с. 38-42.
7. Вавич В. М. Вопросы сложного изгиба балки в плоскости в пластической стадии при многостепенной нагрузке. - В сб. ИТО судостроения. Л., 1967, вып. 32, с. 99-103.
8. Вавич В. М. Возможные причины деформации корпуса прокатных судов. - В сб.: Судостроение флота рыбной промышленности. Л., Транспорт, 1972, вып. 19, с. 37-40.
9. Вавич В. М. Большие деформации судовых конструкций. Л., Судостроение, 1973.
10. Вавич В. М. Численные решения физических и геометрически нелинейных задач изгиба пластин. - В сб. ИТО судостроения. Л., 1973, вып. 100, с. 50-57.

11. Вавич В. М. О деформировании пластин изгибаемого состояния при больших изогнутых нагрузках. - В сб.: Вопросы судостроения. Серия I (Проектирование судов). Л., Судостроение, 1974, вып. 2(4), с. 33-35.
12. Вавич В. М. Вопросы технической акустики корпуса распределительных судов. - Рыбное хозяйство, 1976, № 10, с. 36-39.
13. Вавич В. М. Определение изгибаемых изгибных моментов нагрузки, возникающих на корпусе судна. - Судостроение, 1976, № 4, с. 10-12.
14. Вавич В. М. Прямые нагрузки судовых перекрестий при изогнутом изгибе. - В сб.: Вопросы судостроения. Серия «Проектирование судов». ИИИИ «Луг», 1978, вып. 17, с. 25-37.
15. Вавич В. М., Нергодов А. Ю. Некоторые особенности деформирования балки бортового надзора при образовании вмятин. - Труды КИИПТМ, 1972, вып. 41, с. 33-47.
16. Вавич В. М., Нергодов А. Ю. К вопросу о прочности корпуса прокатных судов. - Научно-технический сборник. Регистр СССР. Л., Транспорт, 1976, вып. 5, с. 93-100.
17. Вавич В. М., Макарова В. В. Новые методы для изучения работы конструкций на предельной упругости. - Перекрестий научно-технической и промышленной связи. М., ТОСНИИ, 1968, № 48-62-1944/62.
18. Вавич В. М., Макарова В. В. Пластичность несущих конструкций машинных перекрестий. - Судостроение флота рыбной промышленности, 1975, № 23, с. 49-52.
19. Вавич В. М., Толчин В. В. Определение моментов нагрузки, действующих на борте прокатных судов при изогнутом изгибе. - В сб. ИТО судостроения. Тезисы докладов Всесоюзной научно-технической конференции по совершенствованию методов расчета прочности судовых корпусных конструкций. Л., 1976, с. 56-67.
20. Вавич В. М., Набукина В. П. О надзоре толщинами листового набора судов с горизонтальными плоскими нагрузками. - Научно-технический сборник. Регистр СССР. Л., Транспорт, 1976, вып. 3, с. 328-337.
21. Вавич В. М., Набукина В. П. К оценке влияния местоположения действующих местных нагрузок на статический процесс обшивки. - Судостроение, 1978, № 3, с. 9-12.

22. Белики В. П. Работы элементов плавных пере-  
крытий после потери устойчивости. Л., Судостроение, 1966.
23. Бергер М. А. Крутые пластичи и оболочка про-  
цеки. М., Оборонгиз, 1966.
24. Белотих В. В., Гольденберг М. К.,  
Смирнов А. Ф. Строительная механика. Современное со-  
стояние и перспективы развития. М., Стройиздат, 1972.
25. Бейцел Г. В. Свойства криволинейных  
оболоч, соединенных с оболочкой. - Труды ЦИМТ им.акад. А.С.Кравле-  
ва, 1968, вып.130, с.138-151.
26. Бейцел Г. В., Невилла В. М., Тау-  
ски Г. О. Прочность стальных конструкций из анизотропных  
оболочек. Л., Судостроение, 1962.
27. Бейцел Г. В., Невилл О. М. Комплексный  
подход к проблеме обеспечения прочности оболоч. - В сб.: Про-  
блема прочности оболоч. Л., Судостроение, 1970, с.71-110.
28. Божов В. Б., Сидоров К. А. О устойчи-  
вости двух стержневых оболоч в теории пластичности. - В сб.:  
Методы решения задач упругости и пластичности. Горький, 1973,  
вып.7, с.39-60.
29. Бриллиан П. В. Исследования больших пластиче-  
ских деформаций и разрывов. М., МГ, 1965.
30. Бруде Е. М. Прочность стальных оболоч.  
М.-Л., Стройиздат, 1963.
31. Вакученко А. А., Натанов Л. М. Теория  
пластичности. - В кн.: Механика в СССР за 50 лет. Механика  
твердого деформируемого тела. М., Наука, 1972, т.3, с.414-454.
32. Варвак П. М. Развитие и применение метода се-  
ток в расчете оболочек. Ч.1, Киев, изд.АН УССР, 1949; Ч.П, Ки-  
ев, изд.АН УССР, 1952.
33. Варвак П. М., Варвак Л. П. Метод сеток  
в задачах расчета строительных конструкций. М., Стройиздат, 1977.
34. Волков В. М. Модели сплошных сред и прикладные  
задачи теории пластичности. Горький, изд.ГГМ, 1972.
35. Волков А. С. Граничность деформируемых сред.  
М., Наука, 1967.
36. Геммерлинг А. В., Кузнецов В. Н.  
Прочность оболочек сшитых-пластичных стержней. - Строительная меха-  
ника и расчет сооружений, 1967, № 5, с.21-25.
37. Гейкин И., Пратер В. Несущая спо-  
собность крутых пластичек. - Механика (Перев. со.английского),  
1968, № 3.
38. Гейфельд Л. А. Несущая способность конструк-  
ций в условиях текучести. М., Машгостроение, 1970.
39. Гейфельд Л. А., Чернышев О. В.  
Теория предельного состояния, ее современное состояние, прикладные  
задачи и перспективы развития. - Труды Челябинского политеха.  
ка-ва, Челябинск, 1974, вып.151, с.3-32.
40. Гуляев Л. Н., Хелл О. Г. Упругость и  
пластичность. М., МГ, 1960.
41. Давыдов В. Л. Статьи упругопластических ба-  
зов стальных конструкций. Л., Судостроение, 1967.
42. Давыдов В. Л. Поведение упругопластического  
стержня при потере устойчивости от обрыва оболочки. - Изв.АН СССР,  
МТТ, 1976, № 4, с.98-107.
43. Дубинский А. М. Расчет несущей способности  
гелеоболочек плит и оболочек. Киев, Будинкостроение, 1976.
44. Ершов Н. С., Свечников О. М. Пре-  
дельное состояние и прочность конструкций речных судов. Л., Су-  
достроение, 1970.
45. Ершов Н. С., Свечников О. М. Пере-  
менная и комбинированная прочность конструкций судов внутренне-  
го плавания. Л., Судостроение, 1977.
46. Еухов А. М. Некоторые особенности поведения ме-  
таллов при упругопластических деформированиях. - В кн.: Вопросы  
теории пластичности. М., изд.АН СССР, 1961, с.30-37.
47. Еухов А. М. Задача предельного многотемпературно-  
го сдвига при конечной температуре. - Проблемы прочности, 1972,  
№ 4, с.64-66.
48. Зенковский О. Метод конечных элементов в тек-  
нике. М., Мир, 1976.
49. Зенков Л. Л. Теория впаханной пластичности. М.,  
Наука, 1966.
50. Зенков Л. Л., Бикенцев Г. В. Теория  
упругопластического впаханного тела. М., Наука, 1971.
51. Ильинский А. А. Пластичность. М.-Л., Гостехиз-  
дат, 1948.
52. Капеланов Н. К. Классическая теория изогнутых  
устойчивости элементов круглого корпуса. Л., Судостроение, 1972.

53. Качанов Л. М. Теория пластичности. М., Сибирский, 1960.
54. Качанов Л. М. Вариационные методы в теории пластичности. - В кн.: Механика твердого тела. М., Наука, 1965, с.177-190.
55. Качанов Л. М. Основы теории пластичности. М., Наука, 1969.
56. Качанов Л. М. Основы нелинейного деформирования. М., Наука, 1974.
57. Клепшинов В. Д. Основы по теории пластичности. М., изд.МГУ, 1972.
58. Клепшинов В. Д. Неустойчивость пластических конструкций (обзор). - В сб.: Проблемы теории пластичности. Механика. Новое в зарубежной науке. М., Мир, 1976, № 7, с.445-477.
59. Книто М. В. Основы современной нелинейной и математической теории пластичности. Рига, Зинатне, 1971.
60. Койтер В. Т. Основы теории теории упруго-пластических сред. М., ИЛ, 1965.
61. Козляков В. В. О расчете элементов перекрытий в упругопластической стадии. - Труды ИГиЛ, 1967, вып.9, с.45-65.
62. Козляков В. В. Упругопластический анализ стальных перекрытий в стадии из упругопластической стадии с учетом деформаций стальных. - В сб. НТД судпром. Л., 1963, вып.42, с.51-84.
63. Козляков В. В. Об оценке предельной прочности перекрытий, нагруженных поперечной нагрузкой, при обходе килеобразных срезов. - В сб. НТД судпром. Л., 1968, вып.86, с.45-64.
64. Козляков В. В. Об использовании метода предельных нагрузок при оценке предельной прочности и проектировании стальных перекрытий. - Научно-технический сборник. Регистр СССР. Л., 1971, вып.1, с.384-376.
65. Козляков В. В. Анализ запаса прочности решетчатых конструкций по методу предельных нагрузок. - В сб. НТД судпром. Л., 1974, вып.8, с.127-143.
66. Козляков В. В., Лазарев В. Е. Запас прочности исследовании упругопластического поведения стальных перекрытий судовых корпусов. - Труды ИГиЛ, 1962, вып.38, с.75-87.
67. Коробков В. И. Упругопластические деформации оболочек. М., Машиностроение, 1971.
68. Коробков В. И., Россетцян Л. М., Сиверо Н. Л. Прочность оболочек. Л., Судостроение, 1974.
69. Купная Д., Даво Р. Устойчивое программирование в теории предельного равновесия. - Механика (перевод с англ.), 1968, № 2, с.150-160.
70. Кудряв Л. И. Упругопластический расчет прочности оболочек килеобразных перекрытий с учетом пластических деформаций. - Труды ИГиЛ им.А.Н.Крылова, 1965, вып.89, с.45-49.
71. Кудряв Л. И. К вопросу о механизмах возникновения трещин в корпусе сварных стальных и алюминиевых труб при длительном процессе трехмерного деформирования. - Труды ИГиЛ, 1970, вып.95, с.29-36.
72. Лавский В. С. Введение в теорию пластичности. М., изд.МГУ, 1968.
73. Лавский В. Р. Аналитическое решение гибких кружков пластичности на нестационарном материале. - Труды ИГиЛ СССР, 1960, № 2.
74. Лавский В. Р. Равновесие упругопластических и неупругопластических пластин в оболочках (обзор). - Изв.ВУЗов, 1964, № 8, с.605-618.
75. Лавский В. Р. Некоторые вопросы теории гибких упругопластических пластин в оболочках. - В кн.: Материалы международной конференции по проблеме «Механика и геометрия пластичности в теории пластин и оболочек», Тарту, изд.Тартуского гос. ун-та, 1966, т.1, с.72-100.
76. Лавский В. Р. Аналитическая теория пластичности. - В сб.: Проблемы теории пластичности, Механика. Новое в зарубежной науке. М., Мир, 1976, № 7, с.7-68.
77. Лавский В. Р., Работ В. И. Сущность метода оболочек. Л., Судостроение, 1973.
78. Лавский В. Р., Стефанюк В. И. Алгоритмы расчета устойчивости оболочек методом конечного программирования. - В сб.НТД судпром. Л., 1971, вып.39, с.87-92.
79. Лавский В. И. Некоторые вопросы приспособленности упругопластических тел. - Строительная механика и расчет сооружений, 1967, № 1, с.31-34.

80. Макарова В. В. Запрограммированное исследование особенностей работы перекрывающих конструкций балок. - Труды ИТЭИЛ, 1970, вып.33, с.13-20.

81. Максимова А. Н. Прочность веревки транспортных судов. Л., Судостроение, 1976.

82. Мазинки Н. Н. Прикладная теория пластичности в ползучести. 1-е изд. М., Машиностроение, 1968; 2-е изд., перераб. и доп., 1975.

83. Матвеев П. Н. Опыт проф.Мейер-Вейсманн. - Труды НИИТОС, Л., 1969, вып.3, с.13-19.

84. Митинская А. Е. О маркировании элементов в статическом анализе балок. - Труды НИИТОС, Л., 1969, вып.3, с.48-53.

85. Москвитин В. Я. Пластичность при переменных нагрузках. М., изд.МГУ, 1968.

86. Наход А. Пластичность в разрушении твердых тел. Т.4. М., ИЛ, 1964; Т.3. М., Мир, 1968.

87. Нил Б. Г. Расчет конструкций с учетом пластических свойств материала. М., Гостехиздат, 1961.

88. Нормы прочности морских судов/Регистр СССР. Л., Морской транспорт, 1958; 1962.

89. Олен Д. Я. Основные элементы в нелинейной механике сплошных сред. М., Мир, 1976.

90. Оляник В., Мруз Э., Пажина П. Современное состояние теории пластичности. М., Мир, 1964.

91. Оляник В., Савчук А. Напряженное состояние оболочек. М., Мир, 1963.

92. Флат Е. Т. Предельное равновесие тонких цилиндрических оболочек. - Механика (перевод с немецкого), 1961, № 4, с.105-115.

93. Флат Е. Т., Прегер В. Предельное равновесие оболочек вращения. - Механика (перевод с немецкого), 1955, № 5, с.107-119.

94. Павлюкова Е. А., Таубин Г. О., Филалова М. В. К расчету стенок направляющей в габаритных пластинках с начальной погрешкой, работающей в условиях сложного упругопластического изгиба. - Труды ИИИ им.акад.А.Н.Крылова, 1966, вып.227, с.3-53.

95. Павлюкова Е. А., Таубин Г. О., Филалова М. В. Сложный упругопластический изгиб пластинок на цилиндрической направляющей сучащих пластин, нагруженных переменной нагрузкой и жесткой начальной косинусоидальной погрешкой. - Труды ИИИ им.акад.А.Н.Крылова, вып.227, с.16-28.

96. Павлов О. М. Сложные методы в теории пластичности пластин с начальной нелинейностью. - Строительная механика и расчет сооружений, 1961, № 4, с.19-23.

97. Павлов О. М. О перспективных направлениях исследований в области прочности транспортных судов. - В сб.: Вопросы судостроения. Серия «Прогностические курсы», изд.ИИИИ «Бум», 1976, вып.17, с.3-17.

98. Павлов О. М., Павлюкова Е. А., Ферман С. Г. Сложный упругопластический деформационный пластин сучащих конструкций. - В сб.: Вопросы судостроения. Серия «Прогностические курсы», изд.ИИИИ «Бум», 1976, вып.17, с.38-40.

99. Павлов О. М., Спиря В. Е. Анализ прочности оболочек в судостроении. Л., Судостроение, 1977.

100. Падерев В. М. О совместности методов упругих решений в теории упругопластических деформаций оболочек. - ИИИ, 1943, вып.13, с.319-322.

101. Падерев В. М. Труды по прочности веревки. Л., Судостроение, 1956.

102. Падерев В. М. Строительная механика веревки. Т.1-3. Л., Судостроение, 1962; Т.4. Л., Судостроение, 1963.

103. Напряженные стальные конструкции. Л., Судостроение, 1977.

Авт.: Барбазов Н. В., Иванов Н. А., Нориков В. В., Окснер В. В., Чибриков М. М.

104. Погребенский М. Б. Теория пластичности. - В сб.: Расчеты механики в СССР. М., Наука, 1967.

105. Постнов В. А. Теория пластичности в ползучести. Л., изд.ИИИ, 1975.

106. Постнов В. А. Точечные методы расчета стальных конструкций. Л., Судостроение, 1977.

107. Постнов В. А., Хардуран М. Е. Метод конечных элементов в расчетах стальных конструкций. Л., Судостроение, 1974.

108. Печеняев В. М., Пятигорский В. М. Расчет и оптимальные проектирования конструкций с учетом пластичности. М., Наука, 1978.
109. Фраггер Э. Проблемы теории пластичности. М., Высшая школа, 1964.
110. Ржицкий А. Р. Расчет сооружений с учетом пластических свойств материалов. М., Гостройиздат, 1964.
111. Ржицкий А. Р. Расчет пластин и оболочек классическим методом предельного равновесия. - В кн.: Материалы первой школы по проблеме "Математика и геометрические приложения теории пластин и оболочек", Тарту, изд. Тартуского гос. ун-та, 1968, т.1, с.416-438.
112. Ржицкий А. Р. Теория ползучести. М., Стройиздат, 1968.
113. Работков В. М. Ползучесть анизотропных конструкций. М., Наука, 1968.
114. Семенов А. Н. Коллективные неустойчивые свойства шаровой оболочки при местных нагрузках. - В сб. НИО судпроект, 1966, вып.85, с.413-418.
115. Сметанов Е. Е. Устойчивость стержневых систем в упругопластической области. Л., Стройиздат, 1968.
116. Семеновский В. В. Теория пластичности. М., Высшая школа, 1969.
117. Соколовский Н. С., Абрамилл Е. Г., Серов В. В. Прочность и устойчивость пластин и оболочек суженого корпуса. Л., Судостроение, 1967.
118. Справочник по строительной механике корабля. Под ред. К.А.Шаманского. Т.1 и 2. Л., Судостроение, 1968; Т.3, 4., Судостроение, 1969.
119. Степанюк В. Е. Оценка пластичности (Исшие нелинейности и метод расчета). Киевское, изд. ВКН, 1974.
120. Степанюк В. Е., Лугинин О.Е. И построения линейной оценки неустойчивости прямоугольных пластин. - Труды ВКН, 1976, вып.98, с.35-38.
121. Стрельбицкий А. К. Коллективные прочностные характеристики стержней на предельном упругости. Киев, изд. АН УССР, 1968.
122. Стрельбицкий А. К. Предельные состояния рессор на тонкостенных стержнях при изгибе с кручением. Киев, Научное друков., 1964.

123. Стрельбицкий А. К. Упругопластическое деформация и неустойчивость тонких оболочек (обзор). - Прикладная механика, 1973, в.8, с.3-25.
124. Стрельбицкий А. К. И расчеты линейно упругопластической области оболочек при поперечной нагрузке. - Прикладная механика, 1976, в.4, с.47-59.
125. Стрельбицкий А. К., Колгандия В. А., Матюшко С. И. Нагляд прямоугольных пластин на предельном упругости. Киев, Научное друков., 1971.
126. Строительная механика корабля в теории упругости. Т.2. Л., Судостроение, 1968.  
 Авт.: Курдюмов А. А., Локшин А. Э., Мещеряков Р. А., Ковалев В. В.
127. Сулков Е. П., Качаев Ю. П., Сингтаренко В. Н. Строительная механика корабля и основы теории упругости. Л., Судостроение, 1972.
128. Тарова Г. С. Нагляд профилей суженого корпуса, соединенных с оболочкой. - Труды ЦНИИ им.акад.А.Н.Крылова, 1964, вып.83, с.54-65.
129. Теория пластичности. М., ИЛ, 1948.
130. Угодников А. Г., Каретных В. Г. Некоторые методы решения на ЭЕМ (аналитический метод теории пластин и оболочек). Киев, Научное друков., 1971.
131. Фериш А. Д. Экспериментальное исследование нелинейных осесимметричных деформаций в пластике при многократных нагрузках. - Труды ИИИИИИ, 1970, вып.23, с.251-267.
132. Фелиш А. П. Прикладная механика твердого деформируемого тела. Т.1. М., Наука, 1976.
133. Фришман В. В. Механические свойства материалов. Ч.1 (Деформация и разрушение). М., Машиностроение, 1974.
134. Хейл С. Г. Расчет конструкций с учетом пластических свойств материала. М., Наука, 1963.
135. Чирас А. А. Метод конечного программирования при расчете упругопластических систем. М., Стройиздат, 1969.
136. Чувпиковский В. С. Численные методы расчета в строительной механике корабля. Л., Судостроение, 1976.
137. Чувпиковский В. С., Палин О. М., Свиридов Е. М. Оболочки суженого корпуса. Л., Судостроение, 1968.

438. Шабунина В. П. Экспериментальные исследования пластического течения вязких тел при деформации плоскости. - Труды КТИИХ, 1970, вып.36, с.79-83.

439. Шабунина В. П. Исследования остаточных напряжений в сплошной среде при образовании стержней. Доклады в ЦИИТОИИ 40 книг 1974, № 34, Реф.в. "Механика", 1974, ЦИИТОИИ:

440. Шварц Г. С. О последних пластике и оболочке на предельной упругости. - В кн.: Механика твердого тела. М., Наука, 1966, с.387-411.

441. Шварц К. Ф. Некоторые особенности упруго-пластического течения сверхжидкой сверхтекучей среды. - В кн.: Прогнозирование и прочность сверхжидких конструкций, НТУ микрона и НТУ суперна. М.-Л., 1959, с.72-85.

442. Шнейдерович Р. М. Прочность при статическом и динамическом статическом нагружении. М., Машин, 1968.

443. Шиманский В. А. Сборник статей по конструированию. Л., Судостроение, 1964.

44. Baber C. K. Elements of Plastic Design of Frames. London, Cambridge Univ. Press, 1968.

44. Bending J. P. Numerical Methods in Stress Analysis. - Introduction to Design and Planning. London Univ. Press, Butterley, 1968.

46. Chakrabarti A. K. Introduction to Plasticity. London, Butterley, 1971.

47. Duncan L. L. Johnson W. Plastic Deformation and Failure of Thin Shells. Diaphragms. Int. J. Mech. Sci., 1968, 10, p.171.

48. Gough R. H. Plastic Element Analysis. Fundamentals. New Jersey, Prentice-Hall, 1973.

49. Guranov A. B. An Approximation to the Plastic Deformation of a Rectangular Plate Under Bending Load. Design Applications. - IAF, 1956, vol. 2, p.12.

50. Guranov A. B. The Plastic Element Method for Engineers. New York, Wiley, 1971.

51. Guranov A. B. Foundations of the Theory of Plasticity. New York, Amer. Elsevier, 1971.

52. Liu S. H. Theory of Elastic Structures. New York, Wiley, 1958.

53. Martin J. B. Plasticity Fundamentals and Selected Topics. Cambridge, MIT Press, 1970.

54. Mindlin A. Plasticity, Theory and Application. New York, Macmillan Co., 1968.

55. Neuberger K. A. Plasticity and the Bending of Reinforced Concrete. Berlin - Heidelberg - New York, Springer, 1967.

56. Sander B. J. Fundamentals of Cyclic Stress and Strain. London, Univ. West Press, 1971.

57. Sander M. A. Mechanics C. E. Plastic Analysis and Design of Plates, Shells and Beams. Amsterdam - London, North-Holland Publ. Co., 1971.

58. Sawczuk A. Plasticity Analysis of Elastic/Plastic Structures. - Mod. Eng. and Design, 1974, 26, № 1, p.11 - 18.

59. Sawczuk A., Fajgen E. Grenzspannungszustände bei der Platten. Berlin - Heidelberg - Springer Verlag, 1963.

60. Smith M. E., Hu L. W. Load-carrying Capacities of Simply Supported Rectangular Plates. - Trans. ASME, 1953, 75, № 4, p. 621-623.

Упругие оболочки . . . . .	3
Вязкие . . . . .	7

## Глава 1. МАТЕРИАЛ КРИТИС ЗА ПРИБЛИЖИ ЛЮДНОСТИ . . . . . 16

### § 1. Пластические деформации при одностороннем напряжении . . . . . 16

1.1. Диаграммы напряжений при растяжении . . . . .	16
1.2. Упругие зависимости . . . . .	20
1.3. Повторные и обратные нагрузки . . . . .	20
1.4. Время развития пластических деформаций . . . . .	21
1.5. Локомотивы . . . . .	24

### § 2. Упругая пластичность . . . . . 25

2.1. Объемное напряжение и деформирование . . . . .	25
2.2. Изменение объема. Коэффициент поперечной деформации . . . . .	28
2.3. Упругая пластичность . . . . .	30

### § 3. Пластические деформации при объемном напряжении . . . . . 32

3.1. Приближенные подходы к построению функций упругих тел при пластичности . . . . .	32
3.2. Термические деформации . . . . .	33
3.3. Термические течения . . . . .	36
3.4. Ассоциированный закон течения . . . . .	37
3.5. Особенности ассоциированного закона течения . . . . .	40

3.6. Ассоциативный закон в теории деформаций . . . . .	41
3.7. Соотношения теории деформаций и теория точки . . . . .	42
3.8. Особенности напряжений в деформации . . . . .	44
<b>Глава 2. ПРЕДЕЛЬНЫЕ НАГРУЗКИ ВАЖНЫХ СУБЪЕКТОВ НАБОРА . . . . .</b>	<b>46</b>
§ 4. Теория предельного равновесия . . . . .	48
4.1. Доклады и задачи теории предельного равновесия . . . . .	48
4.2. Предельный момент сечения балки при чистом изгибе . . . . .	48
4.3. Предельная нагрузка балки . . . . .	50
4.4. Статический метод определения предельной нагрузки . . . . .	53
4.5. Классический метод определения предельной нагрузки . . . . .	54
4.6. Ограниченные теоремы теории предельного равновесия . . . . .	57
§ 5. Силоразветные балки . . . . .	58
5.1. Вычисление предельных моментов сжатых стальных ступенчатых профилей . . . . .	58
5.2. Определение предельной нагрузки ступенчатых балок . . . . .	61
5.3. Пример. Предельная нагрузка балки, нагруженной равномерно распределенной нагрузкой . . . . .	66
5.4. Таблица предельных нагрузок ступенчатых стальных профилей. Особые случаи . . . . .	67
5.5. О предельной величине возможности действия сил для определения предельных нагрузок . . . . .	72
§ 6. Наклонные балки . . . . .	75
6.1. Влияние на предельную нагрузку симметрии и другой жесткости опор и балок . . . . .	75
6.2. Наклонные наклонные балки . . . . .	79

6.3. Балки ступенчато-прямых сечений . . . . .	80
6.4. Особые случаи нагрузок . . . . .	80
6.5. Предельные предельные нагрузки в предельном состоянии . . . . .	83
§ 7. Балки переменного сечения. Учет влияния жонки . . . . .	85
7.1. Особенности предельного состояния балок переменного сечения . . . . .	85
7.2. Предельная нагрузка балки, подкрепленной жонкой . . . . .	87
§ 8. Влияние предельных и перерывающих сил на предельное состояние сечений балки . . . . .	90
8.1. Предельное состояние сечений балки при совместном действии изгибающего момента и продольной силы . . . . .	90
8.2. Влияние продольной силы на предельный момент ступенчатых профилей . . . . .	91
8.3. Предельное состояние сечений при совместном действии изгибающего момента и перерывающей силы . . . . .	95
8.4. Влияние перерывающей силы на предельный момент ступенчатых профилей . . . . .	100
8.5. О влиянии продольных и перерывающих сил на предельную нагрузку балки . . . . .	102
§ 9. Криволинейные балки. Рамы . . . . .	104
9.1. Особенности расчета криволинейных балок . . . . .	104
9.2. Кольца . . . . .	106
9.3. Арки . . . . .	107
9.4. Колпак . . . . .	108
9.5. Криволинейный элемент . . . . .	109
9.6. Особенности расчета рам с криволинейными членами . . . . .	113
9.7. Простые шпалотные рамы . . . . .	113

§ 10. Кручение. Предельная нагрузка балок несомкнутого и скрепленного шара . . . . .	115
10.1. Частое кручение. Предельный момент сечения . . . . .	115
10.2. Предельная нагрузка балок несомкнутого шара . . . . .	120
10.3. Предельная нагрузка балок скрепленного шара . . . . .	126

**Глава 3. ДИФФЕРЕНЦИАЛЬНЫЕ БАЛКИ СПЛОШНОГО НАВОРА ПРИ ВОЗДЕЙСТВИИ НАГРУЗОК . . . . .** 128

§ 11. Показатели конструкции после достижения предельного состояния . . . . .	128
11.1. Предельная нагрузка как критерий прочности. Факт симметричности деформации . . . . .	128
11.2. Деформационно-пластические характеристики стали . . . . .	130
11.3. Статический метод . . . . .	130
11.4. Энергетический метод . . . . .	132
11.5. Устойчивость пластического течения . . . . .	134

**§ 12. Сложный изгиб балки. Факт раскрытия . . . . .** 135

12.1. Способности деформирования балок при сложном изгибе . . . . .	135
12.2. Способности расчета балок с раскрытием . . . . .	137
12.3. Балка, нагруженная одной сосредоточенной силой . . . . .	142
12.4. Балка, нагруженная тремя сосредоточенными силами . . . . .	146
12.5. Балка, нагруженная произвольным числом сосредоточенных сил . . . . .	149
12.6. Балка, нагруженная равномерно распределенной нагрузкой . . . . .	150
12.7. Балка, нагруженная произвольно распределенной нагрузкой . . . . .	156
12.8. Балка, нагруженная местами равномерным потоком . . . . .	157

§ 13. Большие пролеты призматическими балками и рамами . . . . .	161
13.1. Способности деформирования призматических балок . . . . .	161
13.2. Колыки . . . . .	163
13.3. Арки . . . . .	165
13.4. Натяжки . . . . .	166
13.5. Влияние продольных сил на работу рамы с призматическими колоннами . . . . .	167

**Глава 4. ПЕРЕКРЫТИЯ НАГРУЖЕНА СЛОЖНО ПЕРЕКРЫТИИ . . . . .** 171

§ 14. Способности расчета сложных перекрытий как системы перекрестных связей . . . . .	171
14.1. Методы получения . . . . .	171
14.2. Статический метод . . . . .	171
14.3. Энергетический метод . . . . .	174
14.4. Комбинированный метод . . . . .	176
14.5. Самоопределение расклевывания материала . . . . .	177

**§ 15. Плоские перекрытия . . . . .** 178

15.1. Расклевывание стержней . . . . .	178
15.2. Регулярные перекрытия с одной перекрестной связью . . . . .	179
15.3. Регулярные перекрытия с двумя перекрестными связями . . . . .	181
15.4. Регулярные перекрытия с тремя перекрестными связями . . . . .	181
15.5. Регулярные перекрытия с большим числом перекрестных связей . . . . .	184
15.6. Перекрытия с рамными балками различного направления . . . . .	184
15.7. Анализ полученного решения . . . . .	186
15.8. Перекрытия с линейным каркасом . . . . .	187
15.9. Факт нагрузки, восстановившей крайнюю линию. Влияние подкосов . . . . .	189
15.10. Способности расчета перекрытий с произвольными опорными контурами . . . . .	190

§ 16. Бортовые перекрестия, Исходные нагрузки . . . . .	192
16.1. Особенности расчета бортовых перекрестий. Форма внешней нагрузки . . . . .	192
16.2. Пластические механизмы с одной перекрестной связью . . . . .	194
16.3. Пластические механизмы с двумя перекрестными связями в случае, когда их деформационные участки одинаковы . . . . .	197
16.4. Пластические механизмы с двумя перекрестными связями в случае, когда их деформационные участки неодинаковы . . . . .	199
16.5. Случай, когда внешние нагрузки приложены между перекрестной связью и опорным контуром бортифта . . . . .	200
16.6. Пластические механизмы с тремя и более перекрестными связями . . . . .	201
16.7. Общий алгоритм . . . . .	201

§ 17. Вальные перекрестия . . . . .	203
17.1. Особенности вращательного состояния стержня балки вальмового перекрестия . . . . .	203
17.2. Вальные сдвиги на контуре сплошности вращательных балок . . . . .	208
17.3. Перекрестия с одной перекрестной связью . . . . .	212
17.4. Перекрестия с тремя перекрестными связями . . . . .	213
17.5. Подрезанные стержни вращательных балок . . . . .	215

**Глава 5. ПРЕДЕЛЬНЫЕ НАГРУЗКИ И ДЕФОРМИРОВАНИЕ ПЛАСТИН ОБЩИМ ПРИБЛИЖЕНИЕМ ПРИ ВАЛМЫХ ПЕРЕКРЕСТИЯХ . . . . .**

§ 18. Особенности работы пластины обшивки на предельной упругости. Основы пластичности . . . . .	219
18.1. Предельные нагрузки в плоской сплошности пластины обшивки . . . . .	219
18.2. Общее уравнение кривые пластины . . . . .	220
18.3. Основы пластичности и ассоциированный закон течения . . . . .	223

18.4. Основы пластичности при изотропном законе течения пластины . . . . .	224
18.5. Основы пластичности при анизотропном законе течения пластины . . . . .	226

§ 19. Прямые нагрузки пластины . . . . .	228
19.1. Общие схемы приближенного решения задачи квантования методом . . . . .	229
19.2. Пластины, нагруженные сосредоточенной силой. Несимметричные и круглые пластины . . . . .	233
19.3. Пластины, нагруженные сосредоточенной силой вдоль опорного контура . . . . .	231
19.4. Прямоугольные пластины с ребром, нагруженным сосредоточенной силой . . . . .	233
19.5. Прямоугольные пластины, нагруженные равномерно распределенной нагрузкой . . . . .	236
19.6. Доказательство. Компьютерные методы линейного программирования . . . . .	240

§ 20. Большие прогибы пластины . . . . .	242
20.1. Постепенное увеличение . . . . .	242
20.2. Круглые пластины, нагруженные сосредоточенной силой . . . . .	242
20.3. Несимметричные пластины, нагруженные сосредоточенной силой . . . . .	247
20.4. Прямоугольные пластины с ребром, нагруженные сосредоточенной силой . . . . .	249
20.5. Прямоугольные пластины, нагруженные равномерно распределенной нагрузкой . . . . .	252
20.6. Доказательство. Разрушение пластины . . . . .	257

**6. НЕУПРУГОПЛАСТИЧЕСКИЕ ДЕФОРМАЦИИ ВАЛКОВ СУДОБНОГО ВАЛОВА . . . . .**

§ 21. Основы зависимости кривые балки и упругопластической стержня . . . . .	260
21.1. Общие зависимости . . . . .	260
21.2. Балки из упругопластического материала с линейным упрочнением . . . . .	262

21.3. Сложный набор белиз прямоугольного сечения из амальгамного упрочняющего материала . . . . .	266
21.4. Поперечный навод белиз несимметричного дугообразного профиля из амальгамного упрочняющего материала . . . . .	269
§ 22. Расчет белиз в режиме пластических деформаций . . . . .	
22.1. Поперечный навод. Пластические деформации . . . . .	270
22.2. Определение профилей и углов заворота. Примеры . . . . .	274
22.3. Криволинейная аппроксимация вида наблюдаемых наводов . . . . .	276
22.4. Особые случаи . . . . .	280
22.5. Статически неопределимые белиз . . . . .	283
22.6. Пластическая функция для сложного вида белиз . . . . .	285
22.7. Ромбные белиз сложного вида. Рентгеновский метод . . . . .	289
22.8. Статические профили пластин, герметизованные на цилиндрической поверхности . . . . .	291
§ 23. Несущая способность светлых и свето-полупрозрачных стержней . . . . .	
23.1. Устойчивость светлого стержня в упругоэластической стадии . . . . .	292
23.2. Влияние возрастания светлой окислы . . . . .	295
23.3. Несущая способность свето-полупрозрачного стержня. Влияние нелинейной ползучести на величину критической нагрузки . . . . .	295
§ 24. Криволинейное упрочняющее кольцо несимметричного набора . . . . .	300
24.1. Упрочняющее кольцо . . . . .	300
24.2. Упрочняющее кольцо несимметричного набора . . . . .	302

7. УПРОЧНЯЮЩИЕ ТЕЛОПРОЧНЫЕ ПЛАСТИНЫ . . . . . 311

§ 25. Графикалы упрочняющего кольца пластин . . . . .	311
25.1. Графикалы кольца рабочих пластин . . . . .	312
25.2. Графикалы кольца жестких пластин . . . . .	314
25.3. Метод решения упрочняющих колец . . . . .	316
§ 26. Метод упрочных решеток . . . . .	317
26.1. Метод переменных параметров упрочения . . . . .	317
26.2. Метод фиктивных жесткостей . . . . .	320
26.3. Метод полных жесткостей . . . . .	322
26.4. О сложности метода упрочных решеток. Сложный метод . . . . .	323
26.5. Упрочняющий метод жесткой пластины . . . . .	324
26.6. Упрочняющий метод жесткой пластины . . . . .	326
§ 27. Вариационные методы . . . . .	328
27.1. Общие сведения, основанные на методе возможных перемещений . . . . .	328
27.2. Принцип минимума полной энергии в нелинейно упругоэластическом виде пластины. Вариационный метод . . . . .	334
27.3. Применение метода Рунге . . . . .	336
27.4. Предлагаемый метод А.А.Михалюка . . . . .	340

Глава 8. МНОГООБРАЗНОЕ НАПРЯЖЕНИЕ ЭЛЕМЕНТОВ СЛОЕВЫХ КОНСТРУКЦИЙ ЗА ПРЕДЕЛОМ УПРУГОСТИ . . . . . 345

§ 28. Последнее состояние при многократном нагружении . . . . .	345
28.1. Особенности поведения работы конструктива при многократном нагружении . . . . .	345
28.2. Теорема предельности . . . . .	347

28.3. Приспособляемость отсчета балки при совместном действии изгибающего момента и продольной силы . . . . .	348
28.4. Приспособляемость балки при попеременном изгибе . . . . .	353
28.5. Приспособляемость пластины при циклическом изгибе с учетом действия продольной силы . . . . .	354
§ 29. Нахождение остаточных прогибов в листовых обшивках . . . . .	359
29.1. Остаточные изгибания . . . . .	359
29.2. Особенности построения конструкций при наличии остаточных изгибаний в условиях многократного нагружения . . . . .	360
29.3. Нахождение остаточных прогибов в обшивке при многократном разномощном нагружении . . . . .	364
29.4. Об определении максимальных значений местных нагрузок на остаточных прогибах обшивки . . . . .	373
Заключение . . . . .	376
Приложение . . . . .	380
Указатель литературы . . . . .	420

Людмила Николаевна Белозерская  
**РАСЧЕТ СУДЕНЫХ КОНСТРУКЦИЙ  
 В ПЛАСТИЧЕСКОМ СТАДИИ**

Редактор В.М.Вознова. Технический редактор Р.Е.Частинкина,  
 корректоры Т.Г.Мельникова, М.П.Острогородова, В.В.Свиридова.  
 Основная художница В.В.Возновская

ББ 354

Подписано в печать 12.07.85. №38343. Формат 60x84/16.  
 Бумага типографская № 1. Репродукция. Лек.бум.л. 25,04.  
 Усл.кр.-отт. 26,04. Чл.-изд. л. 21,6. Тираж 1000 экз.  
 Изд. № 3413-78. Цена 711. Дина 1 р. 40 к.

Издательство "Судостроение", 191065, Ленинград, ул. Гоголя, 9.  
 Тиражная типография Сормовско-типографское при Государственном  
 комитете СССР по делам издательства, полиграфии и книжной  
 торговли, Тула, пр. Ленина, 109.